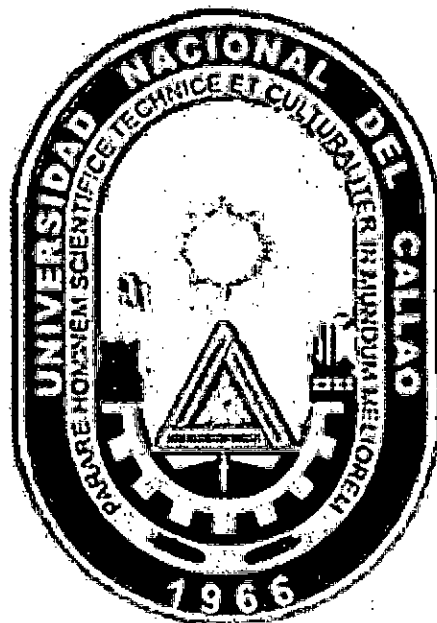


**UNIVERSIDAD NACIONAL DEL CALLAO
ESCUELA DE POSGRADO
UNIDAD DE POSGRADO DE LA FACULTAD DE INGENIERÍA
ELÉCTRICA Y ELECTRÓNICA**



**"REDES NEURONALES PARA LA PREDICCIÓN DE LA
GENERACIÓN DE ENERGÍA DE COLECTORES
SOLARES Y PANELES FOTOVOLTAICOS"**

**TESIS PARA OPTAR EL GRADO ACADÉMICO DE DOCTOR
EN INGENIERÍA ELÉCTRICA**

Autor: MG. ELMER HUGO ARELLANOS TAFUR

Callao-2018
PERÚ

HOJA DE REFERENCIA DEL JURADO

MIEMBROS DEL JURADO

| | | |
|------------|--|-------------------|
| Dr. | : JUAN HERBER GRADOS GAMARRA | PRESIDENTE |
| Dr. | : FERNANDO JOSÉ OYANGUREN RAMÍREZ | SECRETARIO |
| Dr. | : NICANOR RAÚL BENITES SARAVIA | MIEMBRO |
| Dr. | : SANTIAGO LINDER RUBIÑOS JIMENEZ | MIEMBRO |
| Dr. | : MARCELO NEMESIO DAMAS NIÑO | ASESOR |

Nº DE LIBRO : 01

FOLIO : 070

FECHA DE APROBACIÓN : mayo 17, 2018

RESOLUCIÓN DIRECTORAL : 018-2018-UPG-FIEE

DEDICATORIA

A Jesucristo por ser la fuente y el motivo de mi existencia. A la Virgen María y San José por su gran amor y misericordia. A mis queridos padres Oscar y María, a quienes les debo su gran amor, comprensión y mi formación personal y profesional. A mi esposa Viviana y a mis hijos por ser la fuente de afecto, inspiración y felicidad en mi vida.

AGRADECIMIENTOS

Dedico esta investigación a Jesucristo creador del cielo y de la tierra, uno en divinidad con el Padre y el Espíritu Santo por acompañarme, protegerme y guiarne todos los días.

A la Virgen María y San José por todas las bendiciones, milagros y favores que me han dado a lo largo de mi vida. Por interceder para alcanzar siempre de Dios el milagro de su amor y misericordia.

A mis padres Oscar y María por darme los valores y la educación que me formaron y me hicieron un hombre de bien y por apoyarme en todo momento para salir adelante.

A mis esposo Viviana quien siempre ha estado dispuesta a escucharme y ayudarme desde el día en que la conocí. Por su apoyo, comprensión y consejos en cada momento. Por tener siempre palabras de aliento y un amor infinito.

A mis familiares y amigos por su apoyo incondicional y por todos los momentos que hemos pasado juntos.

A mi asesor Marcelo Damas Niño y a mis profesores gracias por su ayuda y confianza para la realización de esta tesis. Por sus aportes y experiencias los cuales me han permitido aprender mucho más de lo abarcado.

A todas las personas que colaboraron de alguna y otra manera a la realización de esta tesis.

ÍNDICE

Pág.

| | |
|--|----|
| CARÁTULA | |
| DEDICATORIA | |
| AGRADECIMIENTO | |
| ÍNDICE..... | 1 |
| TABLAS DE CONTENIDO | 5 |
| RESUMEN..... | 8 |
| ABSTRACT..... | 9 |
| ABSTRAIT | 10 |
| I. PLANTEAMIENTO DE LA INVESTIGACIÓN | 11 |
| 1.1 Identificación del problema | 11 |
| 1.2 Formulación de problemas | 11 |
| 1.2.1 Problema general | 11 |
| 1.2.2 Problemas específicos | 11 |
| 1.3 Objetivos de la Investigación | 11 |
| 1.3.1 Objetivo General | 11 |
| 1.3.2 Objetivos específicos..... | 11 |
| 1.4 Justificación..... | 12 |
| 1.4.1 Legal | 12 |
| 1.4.2 Teórica..... | 12 |
| 1.4.3 Tecnológica..... | 12 |
| 1.4.4 Económica..... | 12 |
| 1.4.5 Social..... | 12 |
| 1.4.6 Practica..... | 13 |
| II. MARCO TEORICO..... | 14 |
| 2.1 Antecedentes del estudio | 14 |
| 2.2 Marco Teórico | 16 |
| 2.2.1 Fundamentos | 16 |
| 2.2.1.1 Fundamento ontológico..... | 16 |
| 2.2.1.2 Fundamento metodológico..... | 16 |
| 2.2.1.3 Fundamento epistemológico..... | 16 |
| 2.2.2 La inteligencia artificial..... | 17 |
| 2.2.2.1 Definición..... | 17 |
| 2.2.2.2 Características..... | 19 |
| 2.2.2.3 Pilares básicos..... | 19 |
| 2.2.2.4 Clasificación..... | 19 |
| 2.2.2.5 Modelos..... | 20 |
| 2.2.2.6 Prueba de Touring | 20 |
| 2.2.2.7 Conversación hombre-máquina..... | 21 |
| 2.2.3 Redes neuronales artificiales..... | 23 |
| 2.2.3.1 Definición..... | 23 |
| 2.2.3.2 Características..... | 24 |
| 2.2.3.3 Modelo simplificado..... | 26 |
| 2.2.3.4 Funciones de transferencia..... | 28 |
| 2.2.3.5 Tipos..... | 29 |
| 2.2.3.6 Estructuras..... | 32 |
| 2.2.3.7 Modelo NARX..... | 34 |
| 2.2.3.8 Modelo NAR..... | 35 |

| | | |
|----------|--|----|
| 2.2.3.9 | Modelo Entrada Salida no Lineal..... | 35 |
| 2.2.4 | Series de tiempo | 36 |
| 2.2.4.1 | Objetivos..... | 37 |
| 2.2.4.2 | Componentes..... | 37 |
| 2.2.5 | La energía térmica..... | 38 |
| 2.2.5.1 | La energía térmica solar..... | 38 |
| 2.2.6 | Modos de transferencia del calor..... | 39 |
| 2.2.6.1 | Conducción del calor..... | 39 |
| 2.2.6.2 | Radiación del calor..... | 40 |
| 2.2.6.3 | Convección del calor..... | 40 |
| 2.2.7 | Colectores solares..... | 42 |
| 2.2.7.1 | Capacidad del sistema..... | 43 |
| 2.2.7.2 | Calor útil..... | 44 |
| 2.2.7.3 | Cálculo del nivel de calor requerido..... | 44 |
| 2.2.7.4 | Eficiencia..... | 44 |
| 2.2.7.5 | Cálculo del área..... | 45 |
| 2.2.7.6 | Aplicaciones energéticas..... | 45 |
| 2.2.8 | Paneles fotovoltaicos..... | 46 |
| 2.2.8.1 | Energía solar fotovoltaica | 47 |
| 2.2.8.2 | Sistemas aislados | 47 |
| 2.2.8.3 | Consumo energético | 47 |
| 2.2.8.4 | Capacidad del banco de baterías | 47 |
| 2.2.8.5 | Cálculo del número de paneles fotovoltaicos..... | 48 |
| 2.2.9 | Sistema híbrido de energía solar..... | 48 |
| 2.2.10 | Fuentes de registro de datos..... | 49 |
| 2.2.10.1 | Valoración de colectores solares térmicos planos de vacío para la producción de frío | 49 |
| 2.2.10.2 | Aplicaciones de la energía solar al tratamiento térmico de suelos de invernadero | 50 |
| 2.2.10.3 | Análisis de producción y rentabilidad de proyectos fotovoltaicos | 53 |
| 2.2.11 | Presupuestos de referencia..... | 55 |
| 2.2.11.1 | Sistema de calentamiento sin aislar con dos botellas | 55 |
| 2.2.11.2 | Sistema colector solar para una familia de cuatro personas | 56 |
| 2.2.11.3 | Sistema fotovoltaico para cuatro viviendas..... | 57 |
| 2.2.12 | Organismos reguladores..... | 58 |
| 2.2.13 | Normas legales..... | 58 |
| 2.3. | Definición de términos..... | 59 |
| III | VARIABLES E HIPÓTESIS..... | 61 |
| 3.1 | Definición de las variables | 61 |
| 3.2 | Operacionalización de las variables | 61 |
| 3.3 | Hipótesis | 61 |
| 3.3.1. | Hipótesis general | 61 |
| 3.3.2. | Hipótesis específicas | 61 |
| IV | METODOLOGÍA..... | 63 |
| 4.1 | Tipo de la investigación..... | 63 |
| 4.2 | Diseño de la investigación..... | 63 |
| 4.3 | Población y muestra..... | 64 |
| 4.3.1 | Población | 64 |
| 4.3.2 | Delimitación..... | 65 |
| 4.3.2.1 | Espacial..... | 65 |
| 4.3.2.2 | Temporal..... | 65 |

| | | |
|--|---|-----|
| 4.3.3 | Tipo de muestra | 65 |
| 4.3.4 | Tamaño de la muestra | 65 |
| 4.4 | Técnicas e instrumentos de recolección de datos..... | 66 |
| 4.4.1. | Técnicas..... | 66 |
| 4.4.2. | Instrumentos | 67 |
| 4.4.3. | Fuentes | 67 |
| 4.5 | Procedimientos de recolección de datos..... | 68 |
| 4.6 | Procesamiento estadístico y análisis de datos..... | 68 |
| V | RESULTADOS | 71 |
| 5.1 | Resultados de los ensayos correspondientes a la Hipótesis 1 | 71 |
| 5.1.1 | Resultados del modelo NARX..... | 71 |
| 5.1.2 | Resultados del modelo NAR | 75 |
| 5.1.3 | Resultados del modelo Entrada- Salida no Lineal..... | 79 |
| 5.2 | Resultados de los ensayos correspondientes a la Hipótesis 2 | 83 |
| 5.2.1 | Resultados del modelo NARX..... | 83 |
| 5.2.2 | Resultados del modelo NAR | 87 |
| 5.2.3 | Resultados del modelo Entrada- Salida no Lineal..... | 91 |
| 5.3 | Resultados de los ensayos correspondientes a la Hipótesis 3 | 95 |
| 5.3.1 | Resultados del modelo NARX..... | 95 |
| 5.3.2 | Resultados del modelo NAR | 99 |
| 5.3.3 | Resultados del modelo Entrada- Salida no Lineal..... | 103 |
| VI | DISCUSIÓN DE RESULTADOS | 107 |
| 6.1 | Contrastación de la hipótesis 1..... | 107 |
| 6.2 | Contrastación de la hipótesis 2..... | 110 |
| 6.3 | Contrastación de la hipótesis 3..... | 114 |
| VII | CONCLUSIONES | 118 |
| VIII | RECOMENDACIONES..... | 119 |
| VII | REFERENCIAS BIBLIOGRAFICAS..... | 120 |
| ANEXOS | | |
| Anexo N° 1: Matriz de consistencia | | |
| Anexo N° 2: Valoración de colectores solares térmicos planos de vacío para la producción de frío | | |
| Anexo N° 3: Aplicaciones de energía solar al tratamiento térmico de suelos de invernadero | | |
| Anexo N° 4: Análisis de producción y rentabilidad de proyectos fotovoltaicos | | |
| Anexo N° 5: Implementación del sistema de calentamiento sin aislar con dos botellas | | |
| Anexo N° 6: Especificaciones técnicas de colectores solares | | |
| Anexo N° 7: Estudio, diseño e implementación de un sistema de energía solar | | |
| Anexo N° 8: Especificaciones técnicas de paneles fotovoltaicos | | |
| Anexo N° 9: Especificaciones técnicas de baterías | | |
| Anexo N° 10: Especificaciones técnicas de inversores | | |
| Anexo N° 11: Especificaciones técnicas de controladores de carga | | |
| APÉNDICES | | |
| Apéndice N° 1: Función MATLAB, Modelo NARX - Caso 1, Hipótesis 1 | | |
| Apéndice N° 2: Función MATLAB, Modelo NARX - Caso 2, Hipótesis 1 | | |
| Apéndice N° 3: Función MATLAB, Modelo NAR - Caso 1, Hipótesis 1 | | |
| Apéndice N° 4: Función MATLAB - Modelo NAR - Caso 2, Hipótesis 1 | | |
| Apéndice N° 5: Función MATLAB - Modelo Entrada-Salida no Lineal -Caso 1, Hipótesis 1 | | |
| Apéndice N° 6: Función MATLAB - Modelo Entrada-Salida no Lineal -Caso 2, Hipótesis 1 | | |
| Apéndice N° 7: Función MATLAB - Modelo NARX - Caso 1, Hipótesis 2 | | |
| Apéndice N° 8: Función MATLAB - Modelo NARX - Caso 2, Hipótesis 2 | | |
| Apéndice N° 9: Función MATLAB - Modelo NAR - Caso 1, Hipótesis 2 | | |

- Apéndice N° 10: Función MATLAB - Modelo NAR - Caso 2, Hipótesis 2
Apéndice N° 11: Función MATLAB - Modelo Entrada-Salida no Lineal-Caso 1, Hipótesis 2
Apéndice N° 12: Función MATLAB - Modelo Entrada-Salida no Lineal-Caso 2, Hipótesis 2
Apéndice N° 13: Función MATLAB - Modelo NARX - Caso 1, Hipótesis 3
Apéndice N° 14: Función MATLAB - Modelo NARX - Caso 2, Hipótesis 3
Apéndice N° 15: Función MATLAB - Modelo NAR - Caso 1, Hipótesis 3
Apéndice N° 16: Función MATLAB - Modelo NAR - Caso 2, Hipótesis 3
Apéndice N° 17: Función MATLAB - Entrada-Salida no Lineal - Caso 1, Hipótesis 3
Apéndice N° 18: Función MATLAB - Entrada-Salida no Lineal - Caso 2, Hipótesis 3

TABLAS DE CONTENIDO

Pág.

ÍNDICE DE FIGURAS

| | |
|--|----|
| Figura N° 2.1 Maquina autómata jugando ajedrez | 18 |
| Figura N° 2.2 Clasificación de la inteligencia artificial | 19 |
| Figura N° 2.3 Ensayo de la prueba de Turing | 21 |
| Figura N° 2.4 Estructura de una red neuronal multicapa..... | 25 |
| Figura N° 2.5 Equivalencias de una red neuronal con una artificial | 26 |
| Figura N° 2.6 Modelo simplificado de una red neuronal..... | 27 |
| Figura N° 2.7 Red neuronal monocapa..... | 29 |
| Figura N° 2.8 Red neuronal multicapa | 30 |
| Figura N° 2.9 Red neuronal no recurrente | 31 |
| Figura N° 2.10 Red neuronal recurrente | 31 |
| Figura N° 2.11 Estructura directa de redes neuronales..... | 32 |
| Figura N° 2.12 Estructura inversa de redes neuronales..... | 32 |
| Figura N° 2.13 Estructura con retardo de redes neuronales | 33 |
| Figura N° 2.14 Estructura del cancelador activo de ruido de redes neuronales | 33 |
| Figura N° 2.15 Arquitectura en paralelo NARX | 34 |
| Figura N° 2.16 Arquitectura serie paralelo NARX | 35 |
| Figura N° 2.17 Arquitectura del modelo NAR..... | 35 |
| Figura N° 2.18 Arquitectura del modelo Entrada Salida No Lineal | 36 |
| Figura N° 2.19 Esquema de conducción..... | 39 |
| Figura N° 2.20 Esquema de convección | 41 |
| Figura N° 2.21 Partes de un colector solar | 42 |
| Figura N° 2.22 Funcionamiento de un sistema con colector solar..... | 43 |
| Figura N° 2.23 Colector plano abastece a diversos dispositivos en una casa | 45 |
| Figura N° 2.24 Partes de un panel fotovoltaico | 46 |
| Figura N° 2.25 Partes de un sistema fotovoltaico | 46 |
| Figura N° 2.26 Sistema colector – fotovoltaico | 48 |
| Figura N° 2.27 Diagrama general de la instalación | 49 |
| Figura N° 2.28 Colectores solares planos de vacío instalados..... | 50 |
| Figura N° 2.29 Colocación de los intercambiadores de calor en el sustrato..... | 51 |
| Figura N° 2.30 Concentradores cilíndrico parabólicos: Con tubo absorbente aislado (izquierda) y con tubo absorbente sin aislar (derecha)..... | 52 |
| Figura N° 2.31 Paneles fotovoltaicos policristalinos del municipio de la Palma del Condado | 54 |
| Figura N° 2.32 Paneles fotovoltaicos monocristalinos del municipio de Alcalá del Río | 54 |
| Figura N° 2.33 Sistema de calentamiento sin aislar con dos botellas | 55 |
| Figura N° 2.34 Sistema colector solar de 160 litros – Modelo PS 160-1 | 56 |
| Figura N° 2.35 Panel fotovoltaico del sistema implementado | 57 |
| Figura N° 4.1 Secuencias de pasos para cada predicción | 69 |
| Figura N° 5.1 Entrenamiento de la red neuronal NARX | 71 |
| Figura N° 5.2 Rendimiento de la red neuronal NARX | 72 |
| Figura N° 5.3 Correlaciones de la red neuronal NARX | 72 |
| Figura N° 5.4 Entrenamiento de la red neuronal NARX | 73 |
| Figura N° 5.5 Rendimiento de la red neuronal NARX | 74 |
| Figura N° 5.6 Correlaciones de la red neuronal NARX | 74 |
| Figura N° 5.7 Entrenamiento de la red neuronal NAR | 75 |
| Figura N° 5.8 Rendimiento de la red neuronal NAR..... | 76 |
| Figura N° 5.9 Correlaciones de la red neuronal NAR..... | 76 |

| | |
|--|-----|
| Figura N° 5.10 Entrenamiento de la red neuronal NAR..... | 77 |
| Figura N° 5.11 Rendimiento de la red neuronal NAR..... | 78 |
| Figura N° 5.12 Correlaciones de la red neuronal NAR..... | 78 |
| Figura N° 5.13 Entrenamiento de la red neuronal de Entrada – Salida no Lineal..... | 79 |
| Figura N° 5.14 Rendimiento de la red neuronal de Entrada – Salida no Lineal..... | 80 |
| Figura N° 5.15 Correlaciones de la red neuronal de Entrada – Salida no Lineal..... | 80 |
| Figura N° 5.16 Entrenamiento de la red neuronal de Entrada – Salida no Lineal..... | 81 |
| Figura N° 5.17 Rendimiento de la red de Entrada – Salida no Lineal..... | 82 |
| Figura N° 5.18 Correlaciones de la red de Entrada – Salida no Lineal..... | 82 |
| Figura N° 5.19 Entrenamiento de la red neuronal NARX | 83 |
| Figura N° 5.20 Rendimiento de la red neuronal NARX | 84 |
| Figura N° 5.21 Correlaciones de la red neuronal NARX | 84 |
| Figura N° 5.22 Entrenamiento de la red neuronal NARX | 85 |
| Figura N° 5.23 Rendimiento de la red NARX | 86 |
| Figura N° 5.24 Correlaciones de la red NARX | 86 |
| Figura N° 5.25 Entrenamiento de la red neuronal NAR..... | 87 |
| Figura N° 5.26 Rendimiento de la red neuronal NAR..... | 88 |
| Figura N° 5.27 Correlaciones de la red neuronal NAR..... | 88 |
| Figura N° 5.28 Entrenamiento de la red neuronal NAR..... | 89 |
| Figura N° 5.29 Rendimiento de la red neuronal NAR..... | 90 |
| Figura N° 5.30 Correlaciones de la red neuronal NAR..... | 90 |
| Figura N° 5.31 Entrenamiento de la red neuronal de Entrada – Salida no Lineal..... | 91 |
| Figura N° 5.32 Rendimiento de la red neuronal de Entrada – Salida no Lineal..... | 92 |
| Figura N° 5.33 Correlaciones de la red neuronal de Entrada – Salida no Lineal..... | 92 |
| Figura N° 5.34 Entrenamiento de la red neuronal de Entrada – Salida no Lineal..... | 93 |
| Figura N° 5.35 Rendimiento de la red neuronal de Entrada – Salida no Lineal..... | 94 |
| Figura N° 5.36 Correlaciones de la red neuronal de Entrada – Salida no Lineal..... | 94 |
| Figura N° 5.37 Entrenamiento de la red neuronal NARX | 95 |
| Figura N° 5.38 Rendimiento de la red neuronal NARX | 96 |
| Figura N° 5.39 Correlaciones de la red neuronal NARX | 96 |
| Figura N° 5.40 Entrenamiento de la red neuronal NARX | 97 |
| Figura N° 5.41 Rendimiento de la red neuronal NARX | 98 |
| Figura N° 5.42 Correlaciones de la red neuronal NARX | 98 |
| Figura N° 5.43 Entrenamiento de la red neuronal NAR..... | 99 |
| Figura N° 5.44 Rendimiento de la red neuronal NAR..... | 100 |
| Figura N° 5.45 Correlaciones de la red neuronal NAR..... | 100 |
| Figura N° 5.46 Entrenamiento de la red neuronal NAR..... | 101 |
| Figura N° 5.47 Rendimiento de la red neuronal NAR..... | 102 |
| Figura N° 5.48 Correlaciones de la red neuronal NAR..... | 102 |
| Figura N° 5.49 Entrenamiento de la red neuronal de Entrada – Salida no Lineal..... | 103 |
| Figura N° 5.50 Rendimiento de la red neuronal de Entrada – Salida no Lineal..... | 104 |
| Figura N° 5.51 Correlaciones de la red neuronal de Entrada – Salida no Lineal..... | 104 |
| Figura N° 5.52 Entrenamiento de la red neuronal de Entrada – Salida no Lineal..... | 105 |
| Figura N° 5.53 Rendimiento de la red neuronal de Entrada – Salida no Lineal..... | 106 |
| Figura N° 5.54 Correlaciones de la red neuronal de Entrada – Salida no Lineal..... | 106 |

ÍNDICE DE CUADROS

| | |
|--|----|
| Cuadro N° 2.1 Características de las funciones de transferencia | 28 |
| Cuadro N° 2.2 Presupuesto del sistema de calentamiento sin aislar con dos botellas.. | 56 |
| Cuadro N° 2.3 Presupuesto del Modelo PS 160 litros..... | 57 |
| Cuadro N° 2.4 Costo total de un proyecto fotovoltaico para cuatro familias | 58 |

| | |
|--|-----|
| Cuadro N° 4.1 Sistema de colectores planos de vacío | 65 |
| Cuadro N° 4.2 Sistemas de concentradores parabólicos para suelos de invernadero .. | 66 |
| Cuadro N° 4.3 Plantas solares de paneles fotovoltaicos..... | 66 |
| Cuadro N° 6.1 Coeficientes de correlación - Modelo NARX..... | 108 |
| Cuadro N° 6.2 Coeficientes de correlación - Modelo NAR | 109 |
| Cuadro N° 6.3 Coeficientes de correlación - Modelo Entrada Salida no Lineal | 110 |
| Cuadro N° 6.4 Coeficientes de correlación - Modelo NÁRX..... | 111 |
| Cuadro N° 6.5 Coeficientes de correlación - Modelo NAR | 112 |
| Cuadro N° 6.6 Coeficientes de correlación - Modelo Entrada Salida no Lineal | 113 |
| Cuadro N° 6.7 Coeficientes de correlación - Modelo NARX..... | 115 |
| Cuadro N° 6.8 Coeficientes de correlación - Modelo NAR | 116 |
| Cuadro N° 6.9 Coeficientes de correlación - Modelo Entrada Salida no Lineal | 117 |

RESUMEN

La investigación estudió la aplicación de las redes neuronales artificiales para la predicción de la generación de energía de colectores solares y paneles fotovoltaicos. El objetivo de la investigación fue determinar el nivel de precisión con que las redes neuronales artificiales predicen la generación de energía de los colectores solares y paneles fotovoltaicos.

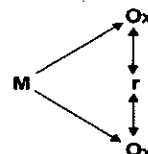
La hipótesis consistió en que con la utilización de redes neuronales artificiales vamos a tener un gran nivel de precisión en la predicción de la generación de energía de los colectores solares y paneles fotovoltaicos.

El marco teórico abarcó los antecedentes y los principales conceptos relacionados a la inteligencia artificial, las redes neuronales artificiales, los colectores solares y los paneles fotovoltaicos; además de las fuentes de los registros de datos.

La población de estudio estuvo conformada por un sistema de cincuenta colectores planos de vacío, seis sistemas de energía solar para suelos de invernadero y tres huertos solares.

La investigación según el objeto de estudio fue aplicada ya que los conocimientos adquiridos son para aplicación en beneficio de la sociedad; según la fuente de información fue mixta, ya que las fuentes fueron de tipo documental y de campo.

El diseño de la investigación fue correlacional, puesto que permitió describir la relación de dos variables: X = Redes Neuronales Artificiales, e Y = Predicción de la Generación de Energía de Colectores Solares y Paneles Fotovoltaicos.



Donde "M" fue la muestra donde se realizó el estudio, los subíndices "x, y" en cada "O" nos indican las observaciones obtenidas en cada una de las dos variables (x, y) y finalmente "r" indica la relación existente entre las variables estudiadas.

Finalmente, los resultados de cada hipótesis fueron contrastados con la prueba estadística de análisis de regresión lineal, para concluir que determinados modelos de redes neuronales artificiales tienen un gran nivel de precisión en algunos casos de predicción de la generación de energía de colectores solares y paneles fotovoltaicos.

ABSTRACT

The research studied the application of artificial neural networks for the prediction of the generation of energy from solar collectors and photovoltaic panels.

The objective of the research was to determine the precision level of artificial neural networks by predicting the generation of energy from solar collectors and photovoltaic panels.

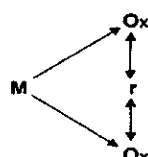
The hypothesis consisted in that with the application of artificial neural networks we will have a high level of accuracy in predicting the generation of energy from solar collectors and photovoltaic panels.

The theoretical framework covered the background and the main concepts related to artificial intelligence, artificial neural networks, solar collectors and photovoltaic panels; as well as of the sources of registration of data.

The study population consisted of a system of fifty flat vacuum collectors, six solar energy systems for greenhouse floors and three solar farms.

The research according to the object of study was applied since the knowledge acquired is for application for the benefit of society; According to the information source, was mixed, since the sources were documentary and field.

The design of the investigation was correlational, since it allowed to describe the relationship of two variables: X = Artificial Neural Networks and Y = Prediction of the Energy Generation of Solar Collectors and Photovoltaic Panels.



Where "M" was the sample where the study was carried out, the subscripts "x, y", in each "O" indicate the observations obtained in each of two variables (x, y) and finally "r" indicates the existing relationship between variables studied.

Finally, the results of each hypothesis were contrasted with the statistical test of the linear regression analysis, to conclude that certain models of artificial neural networks have a high level of precision in some cases of prediction of the generation of energy from solar collectors and photovoltaic panels.

ABSTRAIT

La recherche a étudié l'application des réseaux de neurones artificiels pour la prédiction de la production d'énergie à partir de capteurs solaires et panneaux photovoltaïques.

L'objectif de la recherche était de déterminer les niveaux de précision des réseaux de neurones artificiels pour prédire la production d'énergie à partir de capteurs solaires et panneaux photovoltaïques.

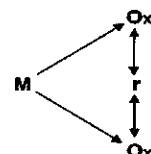
L'hypothèse était qu'avec l'utilisation des réseaux de neurones artificiels, nous aurions un haut niveau de précision dans la prédiction de la production d'énergie à partir de capteurs solaires et panneaux photovoltaïques.

Le cadre théorique à couvert les antécédents et les principaux concepts liés à l'intelligence artificielle, les réseaux de neurones artificiels, les capteurs solaires et les panneaux photovoltaïques ; en plus des sources des enregistrements de données.

La population étudiée était composée pour un système de cinquante collecteurs plats à vide, six systèmes d'énergie solaire pour sols de serre et trois fermes solaires.

La recherche selon l'objet d'étude était appliquée puisque les connaissances acquises sont pour l'application en profit de la société ; selon la source d'information, il était mixte, puisque les sources étaient de type documentaire et de terrain.

La conception de l'investigation était corrélationnelle, puisqu'elle permettait de décrire la relation entre deux variables : X = Réseaux de Neurones Artificiels, et Y = Prédiction de la production d'énergie de capteurs solaires et panneaux photovoltaïques.



Où "M" a été l'échantillon où l'étude a été réalisée, les sous-indices "x, y" dans chaque "O" nous indiquent les observations obtenues dans chacune des deux variables (x, y) et finalement "r" indique la relation existant entre les variables étudiées.

Finalement, les résultats de chaque hypothèse étaient contrastés avec le test statistique d'analyse de régression linéaire, pour conclure que certains modèles de Réseaux de Neurones Artificiels ont un grand niveau de précision dans certains cas de prédiction de la production d'énergie de capteurs solaires et panneaux photovoltaïques.

I. PLANTEAMIENTO DE LA INVESTIGACIÓN

1.1 Identificación del problema

Las energías generadas del sol son energías limpias, no contaminantes e inagotables, sin embargo se hacen necesarios mejorar los métodos de predicción de estas energías generadas, ya que uno de los principales inconvenientes de las fuentes de energía solar activas en igualdad de condiciones con el resto de las energías convencionales es el alto componente de imprevisibilidad en la disponibilidad del recurso solar debido al gran efecto que tienen las variables climáticas. Por eso son necesarias herramientas de predicción para la operación de sistemas de energía en condiciones adecuadas de seguridad y eficiencia.

1.2 Formulación de problemas

1.2.1 Problema General

¿Con que precisión las redes neuronales artificiales predicen la generación de energía de los colectores solares y paneles fotovoltaicos?

1.2.2 Problemas Específicos

P₁. ¿Con que precisión las redes neuronales artificiales predicen la generación de energía de colectores solares?

P₂. ¿Con que precisión las redes neuronales artificiales predicen la generación de la energía acumulada de los colectores solares y otra fuente de energía?

P₃. ¿Con que precisión las redes neuronales artificiales predicen la generación de energía de paneles fotovoltaicos?

1.3 Objetivos de la investigación

1.3.1 Objetivo General

Determinar el nivel de precisión con que las redes neuronales artificiales predicen la generación de energía de los colectores solares y paneles fotovoltaicos.

1.3.2 Objetivos Específicos

O₁. Determinar el nivel de precisión con que las redes neuronales artificiales predicen la generación de energía de los colectores solares.

O₂. Determinar el nivel de precisión con que las redes neuronales artificiales predicen la generación de la energía acumulada de los colectores solares y otra fuente de energía.

O₃. Determinar el nivel de precisión con que las redes neuronales artificiales predicen la generación de energía de los paneles fotovoltaicos.

1.4 Justificación

1.4.1 Legal

Las energías renovables, en especial las energías provenientes del sol cuentan ya con un numeroso marco legal que incluye leyes, reglamentos, decretos, etc. Los cuales buscan promover la inversión, el desarrollo y la generación de las energías renovables.

1.4.2 Teórica

Ampliar la base teórica y mejorar el nivel de predicción de las energías procedentes del sol, a través de las redes neuronales. El reconocimiento de patrones es una de las áreas más importantes en el estudio de la inteligencia artificial y tiene numerosas aplicaciones prácticas en la vida real, con características importantes para el desempeño óptimo de los sistemas de energía.

1.4.3 Tecnológica

Dado que las series de tiempo en las generaciones de energía, muestran un comportamiento no lineal, una de las mejores opciones para su análisis y predicción son las redes neuronales cuya principal ventaja frente a otras técnicas reside en el procesado paralelo, adaptativo y no lineal.

1.4.4 Económica

La implantación de la inteligencia artificial a través de las redes neuronales ya ha producido en diversos ámbitos de la vida humana, mayor rentabilidad y ahorro; al reducir costos adicionales en el procesamiento de la información.

1.4.5 Social

Las sociedades requieren grandes cantidades de energía para sostener la industria y el transporte. En este proceso la energía, en su costo y disponibilidad, se convierte en esencial para la actividad diaria y el desarrollo

humano. En los últimos años la inteligencia artificial se ha desarrollado para poder dar solución a diversos problemas de la sociedad, pudiendo hacer diversos procesos más eficientes y confiables.

1.4.6 Practica

La aplicación de las redes neuronales puede reducir el tiempo para diversas actividades, además de procesar grandes cantidades de información a muy alta velocidad y en lugares complicados. Se han desarrollado aplicaciones de diversas tareas que al hombre le hubiera sido difícil de realizar, como el caso de las predicciones.

II. MARCO TEÓRICO

2.1 Antecedentes del estudio

La mayor parte de los antecedentes de estudio abarcan el estudio de la irradiación solar que incide sobre los paneles fotovoltaicos, además de la implementación de los colectores solares; pero sobre la generación de energía son escasos y aún más escasos son su predicción. A continuación se detallan algunos antecedentes:

- a) Tesis Doctoral, “Estudio de un sistema solar térmico utilizando dispositivos sombreadores de edificios”, Ana Isabel Palmero Marrero, 2014.**

Consistió en el diseño, implementación y operación de un captador solar térmico integrado con dispositivos sombreadores para el calentamiento de agua sanitaria y sombreado de edificios en condiciones estacionarias. Después se evaluó mediante experimentaciones la aplicación del captador solar térmico integrado. La recta de ajuste del rendimiento del captador solar obtenida experimentalmente representó una buena relación con la obtenida mediante el modelo teórico, siendo la recta teórica el límite superior de los valores experimentales. Para el rendimiento del captador tuvo una gran influencia las propiedades térmicas y ópticas de los materiales usados, el aislamiento térmico y el área de la cubierta transparente en la parte superior del captador.

- b) Tesis Doctoral, “Predicción espacio-temporal de la irradiancia solar global a corto plazo en España mediante geoestadística y redes neuronales artificiales”, Federico Gutiérrez Corea, 2014.**

Se basó en la predicción espacial y temporal a corto plazo de la Irradiancia Solar Global (ISG) mediante redes neuronales artificiales (RNA) y la geoestadística con el propósito de generar mejores modelos predictivos que ayuden en la estimación de la producción de energía renovable procedente del Sol. El interés de conocer la realidad sobre la ISG de la forma más continua posible (espacial y temporalmente) implicó la experimentación con observaciones de la ISG registradas por estaciones meteorológicas, tanto

oficiales como de voluntarios, así como con los valores de la ISG derivados a partir de imágenes satelitales.

- c) Tesis Doctoral, “**Estudio, análisis y predicción de series temporales de irradiancia solar global mediante modelos estadísticos**”, Luis Martín Pomares, 2012.

Se desarrolló una metodología de predicción para el establecimiento de una relación directa entre los valores de la irradiancia solar y la energía producida a partir de sistemas solares termoeléctricos y fotovoltaicos, a través de establecer una metodología para la predicción de la irradiancia solar semidiaria, la evaluación de los modelos lineales y no lineales y la obtención de un modelo final de predicción basado en la combinación de los modelos que se ensayaron. Los estudios propuestos trataron de construir la base para nuevas investigaciones y el desarrollo de metodologías y modelos que permitan la mejora de las predicciones de la irradiancia solar.

- d) Tesis Doctoral, “**Estudio parametrización de una red neuronal para la mejora de la predicción de la irradiancia directa normal**”, Alejandro Rodríguez Delgado, 2011.

Trató la parametrización de una red neuronal para la mejora de un modelo de predicción meteorológica, en concreto de la Irradiancia Directa Normal (DNI). El objetivo del proyecto fue disminuir el error cometido en dicha predicción. Dadas una serie de valores de la radiación solar estimados mediante un modelo físico y una muestra de valores medidos en una ubicación determinada, se trató de buscar la mejor combinación de parámetros de una red neuronal artificial usando variables meteorológicas de tal manera que se redujera el error cometido en dicha estimación. Se efectuó la simulación de las variables meteorológicas para una región dada para los años 2008 y 2009.

- e) Tesis Doctoral, “**Estudio energía solar fotovoltaica, competitividad y evaluación económica, comparativa y modelos**”, Eduardo Collado Fernández, 2009.

Evaluó los límites a mediano y largo plazo de la competitividad económica de la energía solar fotovoltaica en España principalmente y el mundo en general,

estudiando el nivel de evolución que tiene que tener esta forma de producción de energía, hasta conseguir llegar a ser competitiva con el resto de las energías tradicionales, y otras emergentes en crecimiento. Para realizar el estudio, se desarrolló una metodología basada en escenarios fotovoltaicos, los cuales facilitaron el cálculo en función de las diferentes hipótesis realizadas. En la metodología se tuvo en cuenta la regulación estatal española, por su importancia de camino a la competitividad real con respecto a otros tipos de energías.

2.2 Marco Teórico

2.2.1 Fundamentos

2.2.1.1 Fundamento ontológico

Abarca a las personas que hacen uso de las energías solares térmicas y fotovoltaicas. Se busca la mejora de la calidad de los suministros, a través de la predicción de su generación. El suministro continuo de energía a nivel de usuario facilita el desarrollo de sus actividades diarias y el acceso a diversos servicios permitiendo el desarrollo social y cultural. Además se puede mejorar la economía garantizando la operación de las actividades productivas.

2.2.1.2 Fundamento metodológico

Se utilizó el método inductivo lo cual implica llegar a la obtención de conclusiones o teorías sobre diversos aspectos a través del análisis de casos particulares. En el presente trabajo de investigación se estudiaron las características fundamentales de los objetos de estudio, con descripciones detalladas de sus partes, para hacer luego un análisis sobre las causas y efectos de las relaciones entre las distintas variables.

2.2.1.3 El fundamento epistemológico

Para la predicción de los valores futuros en una serie de tiempo, tanto de las energías generadas de los colectores solares y paneles solares, procedentes de los valores pasados en una serie de tiempo y valores pasados de una segunda serie temporal, se utilizaron tres modelos de redes neuronales artificiales para cada uno de los casos.

Se utilizó el software Matlab para el entrenamiento, prueba y validación de las predicciones.

2.2.2 La Inteligencia Artificial

2.2.2.1 Definición

La inteligencia artificial es la respuesta a la aspiración del ser humano de adaptar el comportamiento humano a diversas realidades para la solución de determinados problemas, sin la participación directa del ser humano. El término "inteligencia artificial" fue acuñado en 1956 en una conferencia en Dartmouth convocada por Jhon McCarthy.

Existen diversas definiciones de la inteligencia artificial:

- La ciencia e ingenio de hacer máquinas inteligentes, especialmente programas de cómputo inteligentes. (McCarthy, 1956).
- Ciencia de la obtención de máquinas que logren hacer cosas que requerirían inteligencia si las hiciesen los humanos. (Minsky, 1968).
- La automatización de actividades que vinculamos con procesos de pensamiento humano, actividades tales como toma de decisiones, resolución de problemas, aprendizaje....(Bellman, 1978)
- Nuevo esfuerzo excitante que logre que la computadora piense... máquinas con mentes, en el sentido completo y literal. (Haugeland, 1985).
- El estudio de las facultades mentales a través del estudio de modelos computacionales. (Charniak y McDermott, 1985).
- La inteligencia artificial es el estudio de cómo hacer que las computadoras realicen tareas en que, en el momento las personas son mejores. (Ealine Rich, 1988).
- Un campo de estudio que se enfoca a la explicación y emulación de la conducta inteligente en función de procesos computacionales. (Schalkoff, 1990).
- El arte de crear máquinas con capacidad de realizar funciones que realizadas por personas requieren de inteligencia. (Kurzweil, 1990).
- El estudio de cómo lograr que las computadoras realicen tareas que, por el momento, los humanos hacen mejor. (Rich, Knight, 1991).

- Estudio de la computación que observa que una máquina sea capaz de percibir, razonar y actuar. (Winston, 1992).
- Rama de la ciencia computacional preocupada por la automatización de la conducta inteligente. (Luger and Stubblefield, 1993).
- La inteligencia artificial es el estudio de los sistemas de computación que permiten realizar actividades consideradas inteligentes por el ser humano. (Patrick Winston, 1994)
- Máquina Inteligente es la que realiza el proceso de analizar, organizar, y convertir los datos en conocimiento, donde el conocimiento del sistema es información estructurada adquirida y aplicada para reducir la ignorancia o la incertidumbre sobre una tarea específica a realizar por esta. (Pajares y Santos, 2006).

El origen de la inteligencia artificial se remonta desde la antigüedad cuando el ser humano intentaba aumentar sus posibilidades físicas, desarrollando artefactos automatizados, tratando de emular las características y capacidades de los seres humanos. La participación de la computación en la inteligencia artificial empezó hace más de medio siglo, pero su avance en los últimos años ha sido considerable y se ha ido extendiendo a diversas realidades. La Figura N°2.1 ilustra un paradigma de la inteligencia artificial.

**FIGURA N° 2.1
MAQUINA AUTÓMATA JUGANDO AJEDREZ**



Fuente: Universidad nacional de Seúl

2.2.2.2 Características

En 2010, Ponce Cruz sostiene que los temas fundamentales de la inteligencia artificial son:

- Búsqueda de soluciones
- Sistemas expertos
- Procesamiento del lenguaje natural
- Reconocimiento de modelos
- Robótica
- Aprendizaje de las máquinas
- Incertidumbre y “lógica difusa”

2.2.2.3 Pilares Básicos

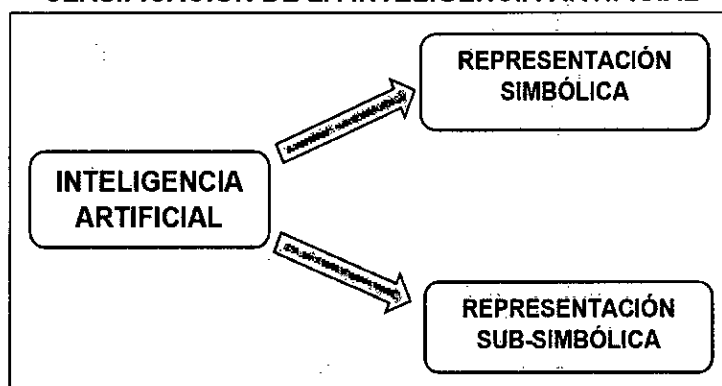
En 2016, Nils J. Nilsson considera que son cuatro los pilares básicos:

- Búsqueda del estado requerido en el conjunto de los estados producidos por las acciones posibles.
- Algoritmos genéticos (análogo al proceso de evolución de las cadenas de ADN).
- Redes neuronales artificiales (análogo al funcionamiento físico del cerebro de animales y humanos).
- Razonamiento mediante una lógica formal análogo al pensamiento abstracto humano.

2.2.2.4 Clasificación

La Figura N°2.2 ilustra la clasificación de la inteligencia artificial.

**FIGURA N° 2.2
CLASIFICACIÓN DE LA INTELIGENCIA ARTIFICIAL**



Fuente: Elaboración propia

Los detalles de las clasificaciones son:

- a) **Representación simbólica:** Se basan en un número finito de primitivas y de reglas para el manejo de símbolos, como en el caso de redes semánticas, lógica de predicados, etc, los cuales han sido y continúan siendo parte importante de muchos sistemas.
- b) **Representación sub-simbólica:** Utiliza representaciones numéricas o sub-simbólicas del conocimiento. Se caracteriza por crear sistemas con capacidad de aprendizaje. Esto se puede lograr imitando el cerebro, a nivel de especie imitando la evolución.

2.2.2.5 Modelos

En 2009, Stuart Russell y Peter Norvig diferencian los siguientes modelos:

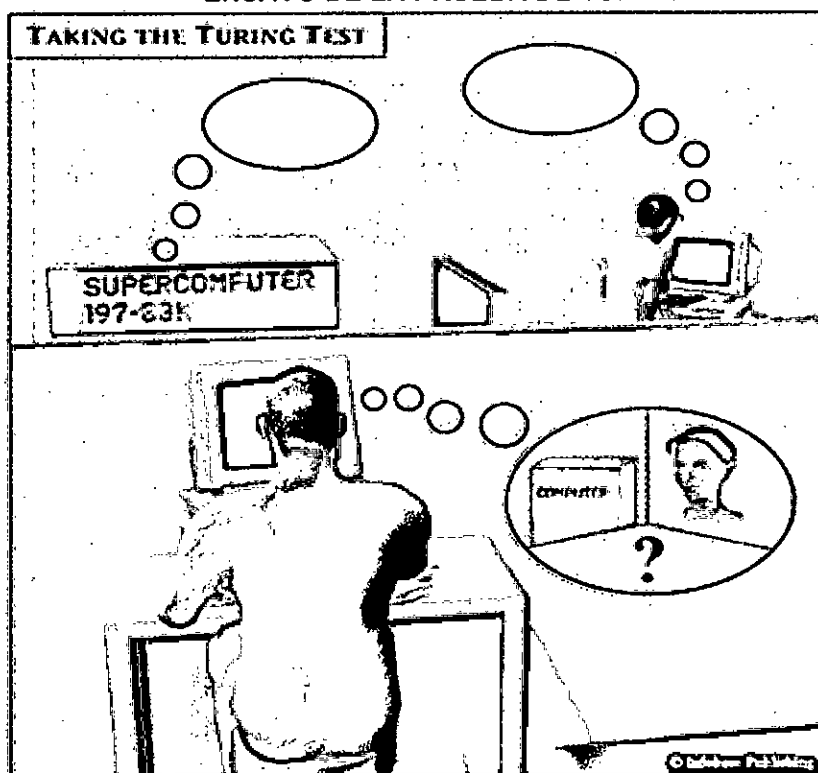
- a) **Sistemas que piensan como humanos.**- Estos sistemas tratan de emular el pensamiento humano; por ejemplo las redes neuronales artificiales. La automatización de actividades que vinculamos con procesos de pensamiento humano, actividades como la toma de decisiones, resolución de problemas y aprendizaje.
- b) **Sistemas que actúan como humanos.**- Estos sistemas tratan de actuar como humanos; es decir, imitan el comportamiento humano; por ejemplo la robótica. El estudio de cómo lograr que los computadores realicen tareas que, por el momento, los humanos hacen mejor.
- c) **Sistemas que piensan racionalmente.**- Es decir, con lógica (idealmente), tratan de imitar o emular el pensamiento lógico racional del ser humano; por ejemplo los sistemas expertos. El estudio de los cálculos que hacen posible percibir, razonar y actuar.
- d) **Sistemas que actúan racionalmente (idealmente).**- Tratan de emular de forma racional el comportamiento humano; por ejemplo los agentes inteligentes. Está relacionado con conductas inteligentes en artefactos.

2.2.2.6 Prueba de Turing

Consiste en la prueba que se le hace a una máquina para evaluar su habilidad de manifestar comportamientos inteligentes, tal como un ser humano. Para considerar a la máquina de inteligente esta debe engañar a la

persona que se encuentra en otro ambiente, que el que está respondiendo sus estímulos de tipo cognoscitivo es un ser humano. Según Turing a la maquina se le considerará una maquina inteligente si su número de errores es similar al que cometiera un ser humano. Turing al principio consideró que la maquina debería convencer al evaluador el 70% del tiempo, luego de trascurridos 5 minutos de conversación, si esto era posible la maquina habría pasado con éxito la prueba. La prueba no consistía en evaluar conocimientos sino evaluar la capacidad de responder correctamente las interrogantes de manera similar a un ser humano. La Figura N°2.3 resume el proceso de la prueba de Turing.

**FIGURA N° 2.3
ENSAYO DE LA PRUEBA DE TURING**



Fuente: Henderson, 2007

2.2.2.7 Conversación Hombre- Maquina

En 2012 Peter Bentley publica la siguiente conversación entre una persona y Jabberwacky un software de inteligencia artificial con capacidad de simular conversaciones con personas que incluyan interés, entretenimiento y humor;

producto del resultado de décadas de investigación. El software fue creado por el programador británico Rollo Carpenter con el objetivo de crear una inteligencia artificial capaz de pasar el test de Turing.

Persona: Hola.

Jabberwacky: Hola, ¿cómo estás?

Persona: Me gustaría tener una charla con usted acerca de sus padres.

¿Estaría bien?

Jabberwacky: ¿De qué te gustaría hablar?

Persona: ¿Sabías que Alan Turing tendría 100 años de edad este año, si viviera?

Jabberwacky: Eso es muy interesante. ¿Sabes que Filipinas tiene 7100 islas?

Persona: No sabía eso. Sin embargo, hablemos de Turing un poco más. ¿Sabes que Turing sugirió algo llamado la prueba de Turing?

Jabberwacky: No, no sabía que el gato era rojo ...

Persona: Correcto. Bueno, esta era la forma de pensar de Turing en cómo podríamos juzgar si estábamos hablando con una computadora inteligente. Si no podemos distinguir la diferencia entre chatear con una computadora y charlar con una persona, la computadora pasa la prueba de Turing. Es inteligente, así lo sugirió Turing.

Jabberwacky: Podríamos ser todos productos de la imaginación de un viejo que vive en un manicomio si lo piensas.

Persona: Sí, supongo que podría ser cierto. De todos modos, la previsión mostrada por Turing es notable. Estaba pensando en estas ideas en el momento en que las computadoras eran todavía del tamaño de una gran sala, y podría realizar sólo cálculos básicos en comparación con las máquinas de hoy.

Jabberwacky: Bueno, esta debe ser la parte de la película en la que el ruido de inicio entra en juego.

Persona: Eso podría ser una banda sonora apropiada para esta conversación, tienes razón. Pero esto no es ciencia ficción, esto es ciencia

de la informática. Es un poco triste lo que Turing predijo: "Creo que al final del siglo el uso de las palabras y la opinión educada general se habrán alterado tanto que se podrá hablar de máquinas pensando sin esperar ser contradichas".

Jabberwacky: ¿Por qué crees que Jesús no es tu salvador?

Persona: Uh. De todos modos, mi punto es que Turing, a pesar de su genio, no consiguió estar en lo correcto. No era el único que era demasiado ambicioso - otros pioneros también pensaron que la Inteligencia Artificial sería alcanzable mucho más fácilmente.

Jabberwacky: ¿Quién te lo dijo?

Persona: Bueno, recientemente escribí un libro llamado Digitalizado. Se trata de la historia de las computadoras y tuve la suerte de entrevistar a muchos pioneros para el libro. Ellos me dijeron.

Jabberwacky: ¿Y cuál es la historia de ellos?

Persona: Entrevisté a John Holland - trabajó con su supervisor en los informes finales de John von Neumann. Holland también obtuvo el primer PHD en ciencias de la computación e inventó el algoritmo genético. También hablé con Dave Patterson, el creador de la arquitectura RAID; su supervisor Gerald Estrin trabajó con von Neumann directamente. Entreviste a unos 40 pioneros e investigadores. Ellos pintan una fascinante historia de la ciencia de la computación.

Jabberwacky: Entonces, ¿Por qué crees que deberías divorciarte?

Persona: Creo que puedes estar un poco confundido. Si no te importa, creo que me gustaría hablar con alguien más ahora.

Jabberwacky: Yo también.

2.2.3 Redes Neuronales Artificiales

2.2.3.1 Definición

Son sistemas de procesamiento de la información, los cuales tienen características comunes con una red biológica neuronal. Se han desarrollado como la generalización de modelos matemáticos de la biología neuronal y la cognoscitiva humana.

Existen diversas definiciones de una red neuronal artificial:

- Sistema caracterizado por una red adaptativa combinada con técnicas de procesado en paralelo de la información. (Kung, 1993).
- Sistema de procesado de la información que tiene características de funcionamiento comunes con las redes neuronales bilógicas. (Fausett, 1994).
- Una nueva forma de computación, inspirada en los modelos biológicos. (Hilera y Martínez, 1994).
- Una red neuronal es un modelo computacional, paralelo, compuesto de unidades procesadoras adaptativas con una alta interconexión entre ellas. (Hassoun, 1995).
- Sistemas de procesado de la información que hacen uso de algunos de los principios que organizan la estructura del cerebro humano. (Lin , 1996).
- Desde la perspectiva del reconocimiento de patrones las redes neuronales son una extensión de métodos clásicos estadísticos. (Bishop, 1996).
- Modelos matemáticos desarrollados para emular el cerebro humano. (Chen, 1998).
- Son redes interconectadas masivamente en paralelo de elementos simples y con organización jerárquicamente, las cuales intentan interactuar con los objetos del mundo real del mismo modo que lo hace el sistema nervioso. (Kohonen, 1998).
- Una red neuronal artificial es una colección de procesadores elementales (neuronas artificiales), conectadas a otras neuronas o bien a entradas externas y con una salida que permite propagar las señales por múltiples caminos. (Flores y Fernández, 2008).

2.2.3.2 Características

Para Hilera (1995) una red neuronal artificial tiene las siguientes características:

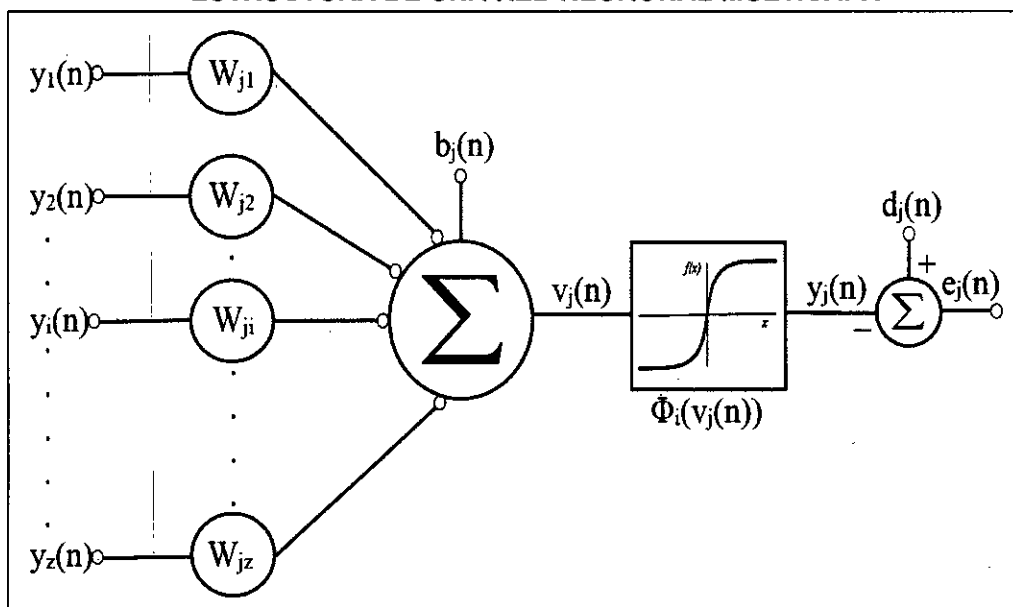
- A cada nodo i se le asocia una variable de estado y_i .
- A cada conexión (i,j) de los nodos i y j se le asocia un peso sináptico w_{ji} donde $w_{ji} \in R$.

- A cada nodo j se le asocia un bias $b_j \in \mathbb{R}$.

Para cada nodo j se define una función de transferencia $\Phi_j(y_i, w_{ji}, b_j)$ que depende de los pesos, conexiones, bías y estados de los nodos i , conectados a él. Esta función proporciona el nuevo estado del nodo.

De acuerdo a (Hilera, 1995) se ilustra en la Figura N°2.4 la estructura de una neurona artificial de la capa de salida de una red multicapa:

**FIGURA N° 2.4
ESTRUCTURA DE UNA RED NEURONAL MULTICAPA**



Fuente: Elaboración propia

Donde:

n : Es la iteración cuando se hace la propagación dentro de la red del n -ésimo patrón de los elementos de entrenamiento.

$y_j(n)$: Es la salida de la neurona j .

$w_{ji}(n)$: Es el peso de conexión de la entrada i en la neurona j .

$b_j(n)$: Son las Bias de las neuronas j .

$v_j(n)$: Es el valor de activación de la neurona j .

Φ_j : Es la función de transferencia de la neurona j .

$d_j(n)$: Es la salida de la neurona i al propagar el patrón n .

$e_j(n)$: Es el error de la salida de la neurona i cuando se propaga el n -ésimo patrón.

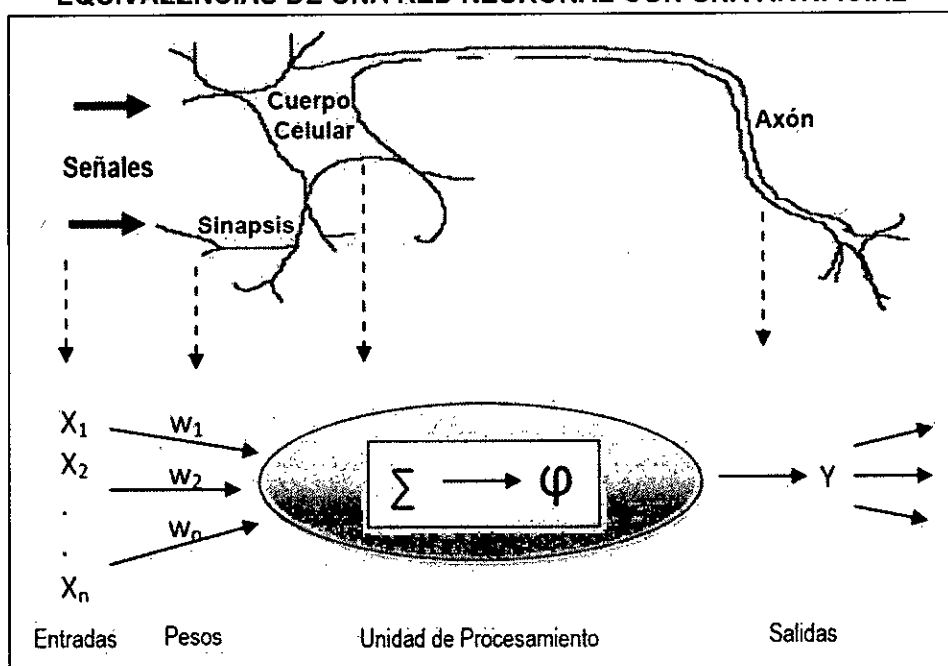
Donde se procesa lo siguiente:

- Entradas o Nodos de entrada - $y_i(n)$: Son escalares que se suministran a la red, según el caso estudio.
- Salidas o Nodos de salida - $y_j(n)$: Son los valores que arroja la red por el aprendizaje.
- Conjunto de pesos sinápticos (pesos) - $w_{ij}(n)$: Son valores numéricos de acuerdo a la importancia de cada entrada.
- Suma de entradas ponderadas: Es la suma de todas las entradas multiplicadas por sus correspondientes pesos.
- Función de activación: Es una función ya sea lineal o no lineal, que va a limitar el rango de la salida de la neurona.
- Sesgo - $b_j(n)$: Es aquel valor formado por una entrada fija e igual a 1, multiplicado por el peso.

2.2.3.3 Modelo simplificado

La Figura N°2.5 ilustra las equivalencias de una red neuronal biológica y una red neuronal artificial.

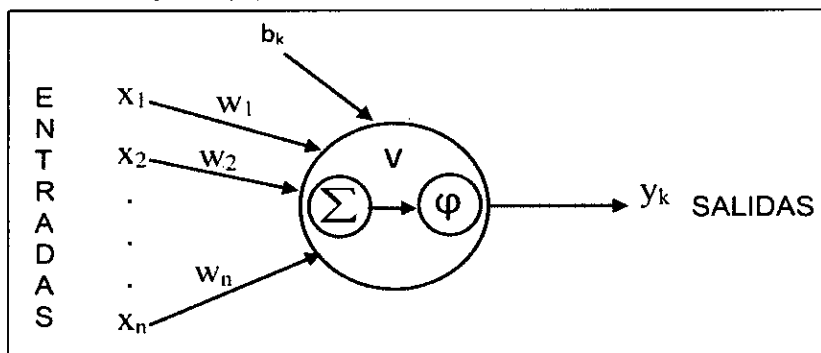
FIGURA N° 2.5
EQUIVALENCIAS DE UNA RED NEURONAL CON UNA ARTIFICIAL



Fuente: Eshun Nunoo, 2013

La Figura N°2.6 ilustra el modelo simplificado de una red neuronal y luego se detallan los niveles matriciales. (Huamaní Navarrete, 2015).

**FIGURA N° 2.6
MODELO SIMPLIFICADO DE UNA RED NEURONAL**



Fuente: Huamaní Navarrete, 2015

Especificando la red neuronal artificial a nivel matricial, tenemos:

$$X_{n \times 1} = \begin{vmatrix} x_1 \\ x_2 \\ x_3 \\ \vdots \\ x_n \end{vmatrix}; W_{1 \times n} = [w_1 \ w_2 \ w_3 \dots \dots \ w_n]; B_{k \times 1} = \begin{vmatrix} b_1 \\ b_2 \\ \vdots \\ b_k \end{vmatrix}; Y_{k \times 1} = \begin{vmatrix} y_1 \\ y_2 \\ \vdots \\ y_k \end{vmatrix}$$

Estableciéndose lo siguiente:

$$V_k = \sum_{i=1}^n w_i * X_i + b_k$$

$$V_k = W_1 * X_1 + W_2 * X_2 + W_3 * X_3 + \dots + W_n * X_n + B_k$$

$$Y_k = \Phi(V_k)$$

Sabiendo que $\Phi(\dots)$ simboliza a la función de trasferencia, sobre la variable dentro del paréntesis y que k se refiere a la k -ésima neurona de la red neuronal, tenemos en forma matricial, lo siguiente:

$$V_k = W_k * X + B_k$$

$$Y_k = \Phi(V_k)$$

2.2.3.4 Funciones de transferencia

Las principales son las siguientes:

- **Función identidad o lineal:** Esta caracterizada porque la entrada y la salida de la función, son del tipo real. El rango es $[-\infty, +\infty]$. Se usa con frecuencia en la capa de salida.
- **Función escalón:** Es aquella función discreta, en donde los valores que se pueden tomar son entre $[-1, +1]$ y $[0, +1]$.
- **Función lineal a tramos:** Es semejante a la función lineal, pero su rango es $[-1, +1]$
- **Función sigmoidea:** Es aquella función continua, acotada en $[0, +1]$ y $[-1, +1]$. Se utiliza con frecuencia en problemas de predicción.
- **Función gaussiana:** Es aquella función continua acotada entre $[0, +1]$. Se utiliza en redes neuronales en funciones de base radial.
- **Función sinusoidal:** Es una función continua acotada entre $[-1, +1]$.

El Cuadro N°2.1 ilustra los detalles de las funciones de transferencia.

**CUADRO N° 2.1
CARACTERÍSTICAS DE LAS FUNCIONES DE TRANSFERENCIA**

| | Función | Rango | Gráfica |
|-----------------|---|-----------------------------|---------|
| Identidad | $y = x$ | $[-\infty, +\infty]$ | |
| Escalón | $y = sign(x)$ $y = H(x)$ | $\{-1, +1\}$ $\{0, +1\}$ | |
| Lineal a tramos | $y = \begin{cases} -1, & \text{si } x < -l \\ x, & \text{si } -l \leq x \leq +l \\ +1, & \text{si } x > +l \end{cases}$ | $[-1, +1]$ | |
| Sigmoidea | $y = \frac{1}{1 + e^{-x}}$ $y = \tanh(x)$ | $[0, +1]$ $[-1, +1]$ | |
| Gaussiana | $y = Ae^{-\theta x^2}$ | $[0, +1]$ | |
| Simusoidal | $y = A \sin(\omega x + \varphi)$ | $[-1, +1]$ | |

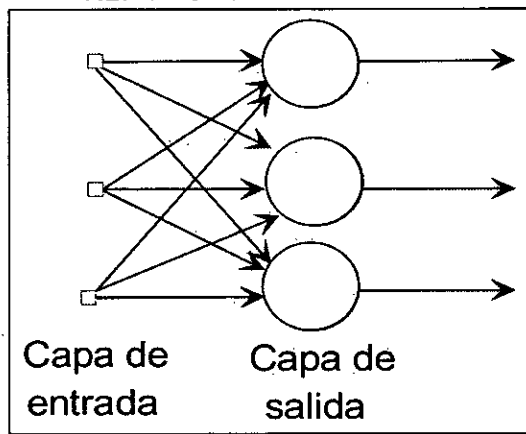
Fuente: Hilera, 1994

2.2.3.5 Tipos

a) Segundo el número de capas

i) **Red neuronal monocapa:** Es la red neuronal más simple y sencilla, en donde se tiene una capa de neuronas que van a proyectar las entradas a una capa de neuronas de salida donde se van a desarrollar los cálculos. En este caso la capa de entrada no realiza ningún cálculo, por lo que no se toma en cuenta. La Figura N°2.7 ilustra una red monocapa.

FIGURA N° 2.7
RED NEURONAL MONOCAPA



Fuente: Grupo CATAM

Para la forma matricial de una red neuronal de una capa y tres neuronas, con dos elementos para cada vector de entrada, tenemos:

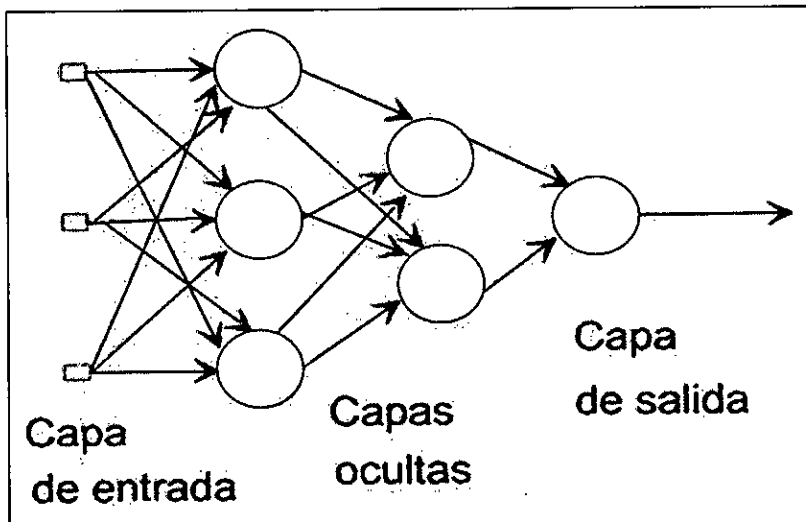
$$Y_{3x1} = \varphi(W_{3x2} * X_{2x1} + B_{3x1})$$

Donde:

$$Y_{3x1} = \begin{vmatrix} y_1 \\ y_2 \\ y_3 \end{vmatrix}; \quad W_{3x2} = \begin{vmatrix} w_{11} & w_{12} \\ w_{21} & w_{22} \\ w_{31} & w_{32} \end{vmatrix}; \quad X_{2x1} = \begin{vmatrix} x_1 \\ x_2 \end{vmatrix}; \quad B_{3x1} = \begin{vmatrix} b_1 \\ b_2 \\ b_3 \end{vmatrix}$$

ii) **Red neuronal multicapa:** Es la generalización de la red neuronal monocapa, pero a diferencia de ella hay un conjunto de capas intermedias entre la entrada y la salida, las cuales son llamadas capas ocultas. En este caso la conexión puede ser parcial o total. La Figura N°2.8 ilustra una red multicapa.

FIGURA N° 2.8
RED NEURONAL MULTICAPA



Fuente: Grupo CATAM

Para la forma matricial de una red neuronal feed-forward con dos capas, de tres neuronas y dos neuronas y dos elementos en cada vector de entrada se tiene:

$$Y^{1C} = \phi(W^{1C} * X + B^{1C})$$

$$Y^{2C} = \phi(W^{2C} * Y^{1C} + B^{2C})$$

Donde:

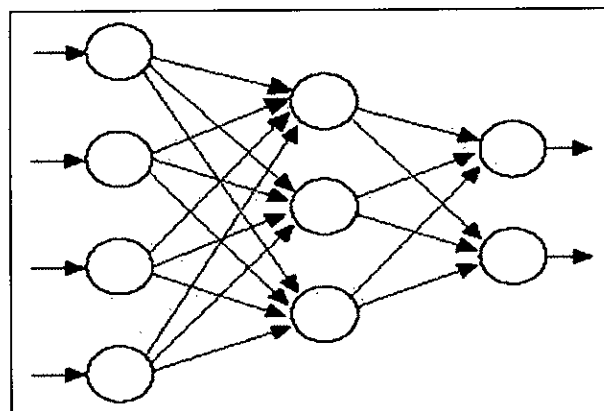
$$Y^{1C}_{3x1} = \begin{vmatrix} y_1 \\ y_2 \\ y_3 \end{vmatrix}; \quad W^{1C}_{3x2} = \begin{vmatrix} W_{11} & W_{12} \\ W_{21} & W_{22} \\ W_{31} & W_{32} \end{vmatrix}; \quad X_{2x1} = \begin{vmatrix} x_1 \\ x_2 \end{vmatrix}; \quad B^{1C}_{3x1} = \begin{vmatrix} b_1 \\ b_2 \\ b_3 \end{vmatrix}$$

$$Y^{2C}_{2x1} = \begin{vmatrix} y_1 \\ y_2 \end{vmatrix}; \quad W^{2C}_{2x3} = \begin{vmatrix} W_{11} & W_{12} & W_{13} \\ W_{21} & W_{22} & W_{23} \end{vmatrix}; \quad B^{2C}_{2x1} = \begin{vmatrix} b_1 \\ b_2 \end{vmatrix}$$

b) Según el tipo de conexiones

- i) **Redes neuronales no recurrentes:** En este tipo de red neuronal la propagación de las señales se realiza en un solo sentido, por lo que no hay realimentaciones. Estas redes no tienen memoria. La Figura N°2.9 ilustra esta red.

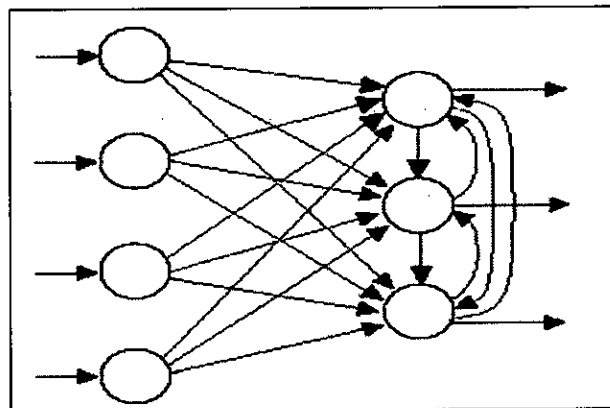
**FIGURA N° 2.9
RED NEURONAL NO RECURRENTE**



Fuente: Flores Gutiérrez, 2013

ii) **Redes neuronales recurrentes:** Contienen lazos de alimentación, los cuales pueden ser entre neuronas de diferentes capas, de una misma capa o entre la misma neurona. La Figura N°2.10 ilustra esta red.

**FIGURA N° 2.10
RED NEURONAL RECURRENTE**



Fuente: Flores Gutiérrez, 2013

c) Según el grado de conexión

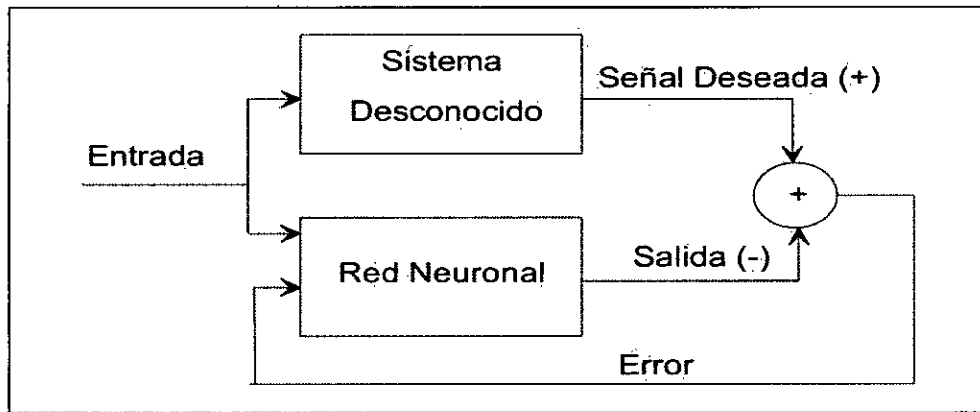
- i) **Redes neuronales totalmente conectadas:** Aquí todas las redes neuronales de una determinada capa están conectadas con otras capas. Si la conexión es con la siguiente capa sería una red no recurrente, si es con la anterior sería red recurrente.
- ii) **Redes parcialmente conectadas:** Aquí no hay conexión total entre las diferentes neuronas de las capas.

2.2.3.6 Estructuras

De acuerdo a Serrano, A., Soria, E., Martín, J. 2009, tenemos las siguientes estructuras de redes neuronales:

a) **Estructura directa:** En este caso el sistema desconocido y la red neuronal tienen las mismas entradas y el mínimo error será cuando la salida de la red neuronal y la señal deseada sean iguales. Se usa en sistemas desconocidos, que al ser excitados con algunas entradas, podemos conocer su salida. La Figura N°2.11 ilustra esta red neuronal.

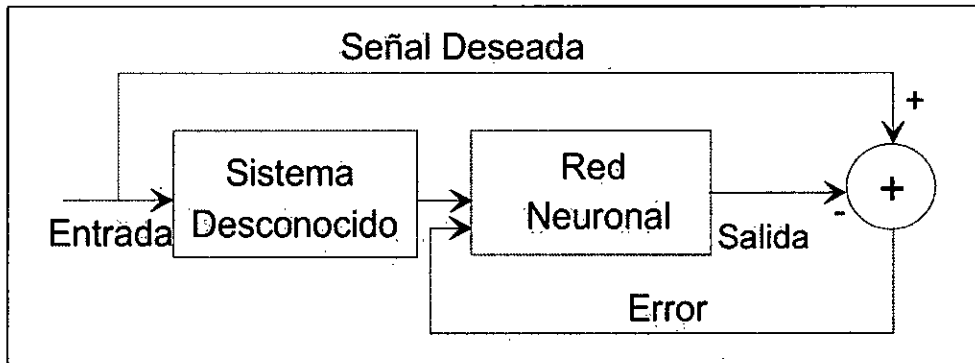
FIGURA N° 2.11
ESTRUCTURA DIRECTA DE REDES NEURONALES



Fuente: Serrano, A., Soria, E., Martín, J. 2009

b) **Estructura inversa:** En este caso se alcanzará el mínimo error cuando la salida de la red neuronal sea la entrada al sistema desconocido, por lo que la función de transferencia de la red neuronal será la inversa del sistema desconocido. La Figura N°2.11 ilustra una neuronal de estructura inversa.

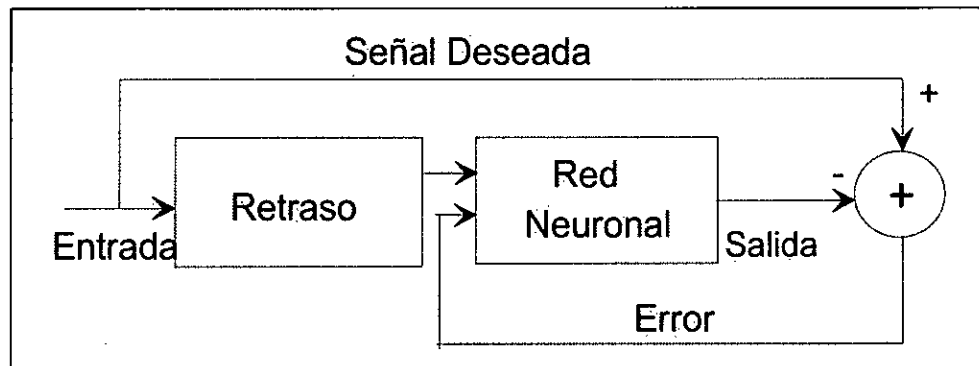
FIGURA N° 2.12
ESTRUCTURA INVERSA DE REDES NEURONALES



Fuente: Serrano, A., Soria, E., Martín, J. 2009

c) **Estructura con retardo:** En este caso se modela la señal actual desde sus valores anteriores. Este modelo minimiza la diferencia de la señal objetivo y la salida de la red neuronal que se obtendrá con los valores de la señal. La Figura N°2.13 ilustra una neuronal de estructura con retardo.

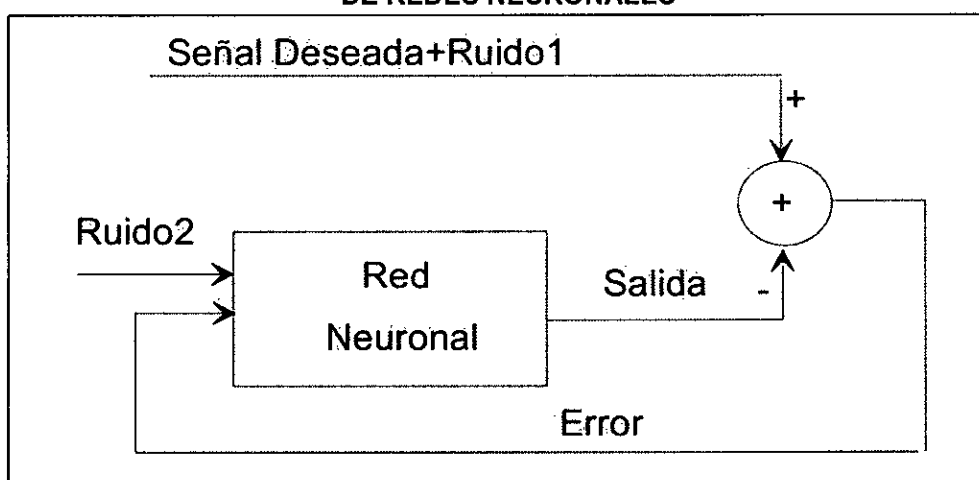
**FIGURA N° 2.13
ESTRUCTURA CON RETARDO DE REDES NEURONALES**



Fuente: Serrano, A., Soria, E., Martin, J. 2009

d) **Estructura de cancelador activo de ruido:** En este caso juega un papel importante el algoritmo de la red neuronal, el cual tiene la función de minimizar el error cuadrático entre la salida de la red neuronal y la señal referencial. La Figura N°2.14 ilustra una neuronal de estructura de cancelador activo de ruido.

**FIGURA N° 2.14
ESTRUCTURA DE CANCELADOR ACTIVO DE RUIDO
DE REDES NEURONALES**



Fuente: Serrano, A., Soria, E., Martin, J. 2009

2.2.3.7 Modelo NARX

Es una red neuronal autorregresiva no lineal con entradas exógenas, correspondiente a una red dinámica recurrente, con diversas conexiones de retroalimentación que encierran varias capas de la red. Al igual que la red NAR, esta red es un tipo de perceptrón multicapa en la que después de tener las series de datos que se aplicaran definimos los rezagos, la cantidad de capas ocultas y la función de entrenamiento. En esta red va a haber una variable de salida que depende de varias variables de entrada.

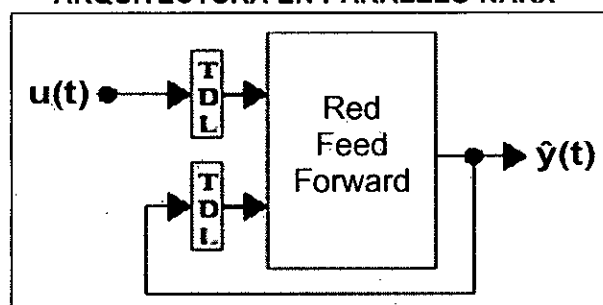
La ecuación que define al modelo NARX es la siguiente:

$$y(t) = f(y(t-1), y(t-2), \dots, y(t-n_y), u(t-1), u(t-2), \dots, u(t-n_u))$$

donde el siguiente valor de la señal de salida dependiente $y(t)$ se regula en valores previos de la señal de salida y valores previos de una señal de entrada independiente (exógena).

Se considera que la salida de la red NARX puede ser una estimación de la salida de un sistema dinámico no lineal que se está intentando modelar. La salida es devuelta a la entrada de la red neural de alimentación feedforward. Esto se considera una red de backpropagation feedforward con retroalimentación de la salida a la entrada. La arquitectura se muestra en la siguiente Figura N°2.15.

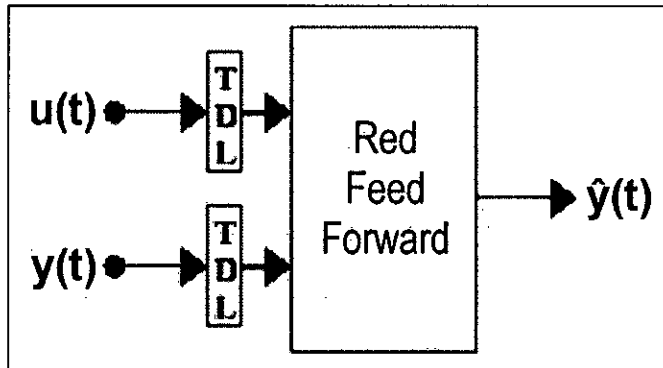
FIGURA N°2.15
ARQUITECTURA EN PARALELO NARX



Fuente: MathWorks, Neural Network Toolbox

Debido a que la salida real está disponible durante el entrenamiento de la red, se puede crear una arquitectura serie-paralelo en la que la salida real se utiliza en la retroalimentación de la salida estimada. La arquitectura se muestra en la Figura N°2.16.

FIGURA N°2.16
ARQUITECTURA SERIE PARALELO NARX



Fuente: MathWorks, Neural Network Toolbox

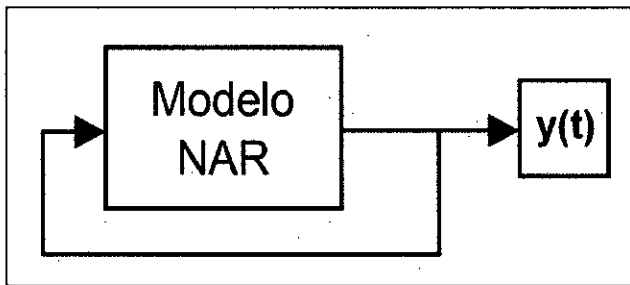
2.2.3.8 Modelo NAR

Es un modelo de red neuronal autorregresivo no lineal que consiste en una única serie de datos involucrada. Establece la predicción de una serie de datos futuros de una serie de tiempo en base a los registros pasados de esa serie. La red NAR se resume de la manera siguiente:

$$y(t) = f(y(t-1), \dots, y(t-d))$$

Esta red es un tipo particular del perceptrón multicapa, donde tenemos una serie de datos a utilizar definimos los rezagos, la cantidad de capas ocultas y la función de entrenamiento. La arquitectura se ilustra en Figura N°2.17.

FIGURA N°2.17
ARQUITECTURA DEL MODELO NAR



Fuente: MathWorks, Neural Network Toolbox

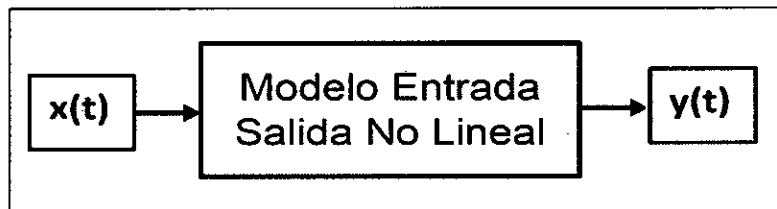
2.2.3.9 Modelo Entrada y Salida no Lineal

Establece la predicción de una serie de datos futuros $y(t)$ en base a los registros pasados de otra serie $x(t)$, sin que tenga conocimiento de los valores anteriores de $y(t)$. Se resume de la siguiente manera:

$$y(t) = f(x(t-1), \dots, x(t-d))$$

La arquitectura se ilustra en la Figura N°2.18.

FIGURA N°2.18
ARQUITECTURA DEL MODELO ENTRADA SALIDA NO LINEAL



Fuente: MathWorks, Neural Network Toolbox

2.2.4 Series de Tiempo

Es un conjunto de valores, correspondientes a una variable, ordenados según el instante en que fueron tomados, y normalmente tomados a intervalos regulares de tiempo (Jiménez, 2007). El análisis de las series temporales se refiere a problemas en los que las observaciones son registradas a intervalos de tiempo y hay correlaciones entre observaciones sucesivas. Las aplicaciones cubren casi todas las áreas de la ciencia.

El análisis de las series temporales busca comprender la organización intrínseca de la fenomenología que producen las observaciones. La comprensión de los mecanismos de una serie de tiempo nos va a posibilitar desarrollar determinados modelos matemáticos que van a tratar de explicar los datos de tal manera que podamos hacer predicción, monitoreo, control, etc. Se supone que el conjunto de datos de las series temporales que van a ser objetos de análisis tiene un patrón sistemático. Entre los más comunes patrones tenemos las tendencias que son generalmente lineales o cuadráticas y la estacionalidad que es una tendencia que se repite sistemáticamente con el tiempo. Las observaciones que realizemos en el tiempo pueden ser observaciones discretas las cuales se pueden registrar en cualquier intervalo de tiempo a intervalos uniformemente espaciados y las observaciones continuas que se pueden espaciar al azar en el tiempo o se pueden medir de manera constante. Se puede considerar a las series temporales como muy complejas debido a que cada observación depende en cierta medida de la observación anterior y a menudo está influenciada por diversas observaciones anteriores. El análisis de series de tiempo busca encontrar los elementos de autocorrelación de los datos, de tal modo que comprendamos la tendencia.

2.2.4.1 Objetivos

Los principales objetivos del análisis de series de tiempo son:

- a) **Descriptivo:** Donde podemos identificar patrones en datos correlacionados, además de tendencias y variaciones estacionales.
- b) **Pronóstico:** Para la predicción de las tendencias en el tiempo de acuerdo a sus patrones anteriores.
- c) **Explicación:** Para el entendimiento, procesamiento y modelación de datos.
- d) **Análisis de la intervención:** Analiza en el tiempo los cambios de un evento específico.
- e) **Control de calidad:** Registra los cambios que alteran las características previamente establecidas.

2.2.4.2 Componentes

Los factores que pueden producir cambios en una serie temporal son los siguientes:

- a) **Tendencia:** Es el aumento o la disminución a largo plazo de los datos. Puede ser lineal o no lineal. Estos cambios son sistemáticos en la naturaleza donde los movimientos son amplios, constantes, mostrando una subida o caída lenta en la misma dirección. El registro de datos durante un cierto período nos permite detectar la tendencia en datos estacionales. Para poder determinar si una serie corresponde a una determinada ley se requiere que tenga un número elevado de muestras. El cambio en los promedios con el tiempo es evidencia de una tendencia en la serie dada.
- b) **Estacional:** En este caso los datos experimentan cambios regulares y previsibles después de un período fijo. Describe cualquier variación regular con un período de menos de un año. Las variaciones estacionales son causadas por el clima, costumbres, gobiernos de turno, etc.
- c) **Cambios Cílicos:** Se presenta cuando los datos muestran aumentos y caídas que no son de período fijo. Se presentan variaciones cílicas en un período fijo debido a alguna otra causa, como la variación de un

componente externo. En los datos semanales o mensuales, el componente cíclico puede describir cualquier variación regular en los datos de series de tiempo. Las variaciones cíclicas son periódicas en la naturaleza y se repiten así mismas al igual que en los ciclos de la industria en donde hay expansión, pico, depresión y recesión.

d) **Variaciones Irregulares:** Despues de eliminar las demás tendencias la parte restante se llama componente irregular. Corresponde a movimientos erráticos que no siguen un patrón específico y que obedecen a diversas causas. Varias técnicas para analizar series de este tipo examinan si la variación irregular puede ser explicada en términos de modelos de probabilidad tales como el promedio de movimiento o modelos autorregresivos. Esto ocurre debido a causas repentinas denominadas variación residual y son impredecibles.

2.2.5 La energía térmica

Es la energía en movimiento, la cual es conocida como energía cinética. Esta energía se crea a partir del movimiento de átomos y moléculas. Aunque invisible a simple vista a nuestros ojos, estas partículas se mueven constantemente generando energía. El movimiento crea fricción, que a su vez genera calor. Cuando una persona percibe calor, lo que siente son los efectos de la energía térmica en tránsito. El movimiento de átomos y moléculas aumenta con la temperatura. De acuerdo con la primera ley de la termodinámica, la energía no puede ser creada o destruida. En cambio, se convierte o se transforma en diferentes formas.

2.2.5.1 Energía térmica solar

La definición de la asociación para el fomento y uso social de las energías renovables es la siguiente: La energía térmica solar llamada también termosolar, es la energía que convierte la radiación solar en calor, y transfiere este calor a un líquido, generalmente agua. Podemos aprovechar el calor del líquido calentado para obtener agua caliente sanitaria, calefacción de viviendas, calentamiento de piscinas y otras aplicaciones. (AFUSER 2014). Se puede aprovechar básicamente de dos formas:

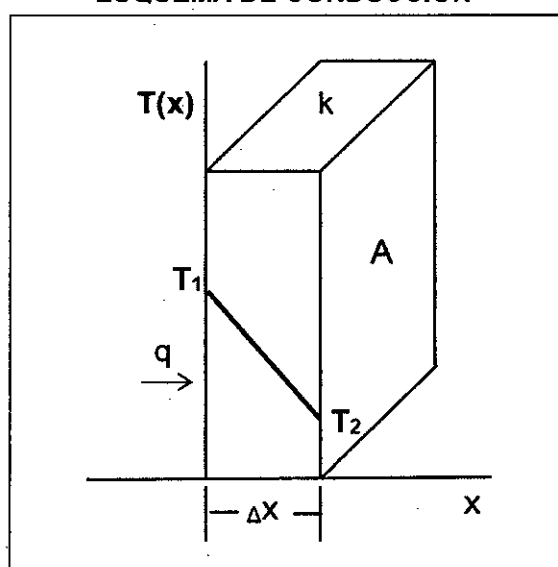
- a) La energía solar activa:** Es donde hay un proceso de transformación energética. Para aprovechar la energía se utilizan colectores solares y paneles fotovoltaicos.
- b) La energía solar pasiva:** Es donde se aprovecha la energía solar directamente sin tener que procesarla.

2.2.6 Modos de transferencia del calor

2.2.6.1 Conducción del calor

Es la manera de transferencia térmica en escala atómica en la materia por actividad molecular, por el choque de unas moléculas entre ellas, donde las partículas con más energía le entregan energía a las menos energéticas, ocasionando un flujo de calor desde las más altas temperaturas a las más bajas. En el planteamiento se tiene una pared sólida con una sección transversal al flujo de calor (A) con una profundidad (Δx) y por una de sus caras tenemos una temperatura (T_1) con mayor temperatura que otra (T_2), el flujo de calor (q) va a resultar inversamente proporcional a la gradiente de temperatura con relación a la posición y es directamente proporcional al área de intercambio de calor y a la constante característica de la pared. La Figura N°2.19 ilustra el proceso de conducción.

**FIGURA N° 2.19
ESQUEMA DE CONDUCCIÓN**



Fuente: Elaboración propia

La relación entre la velocidad de la transferencia térmica por conducción y como se distribuyen las temperaturas depende de las características geométricas y las propiedades de sus materiales de acuerdo a la ley de Fourier, que establece lo siguiente:

$$q = -k \cdot A \cdot \frac{dT}{dx}$$

2.2.6.2 Radiación de calor

Es la energía que emite la materia en todas direcciones hacia otro cuerpo con distinta temperatura. Esta energía se produce por cambios en las configuraciones electrónicas de los átomos de las moléculas, la cual se desplaza como ondas electromagnéticas, las cuales son una combinación de campos eléctricos y magnéticos que oscilan en forma perpendicular entre sí. La ley de Stefan-Boltzmann representa matemáticamente este proceso y establece que teniendo separados a una determinada distancia un cuerpo emisor de calor con temperatura superficial T₁ y otro cuerpo receptor de calor con temperatura superficial T₂, el flujo calorífico absorbido (q) por el cuerpo receptor de calor es proporcional al producto entre la constante de Stefan-Boltzmann , el área irradiada, el factor de emisividad, el factor de forma, y a la diferencia de las temperaturas, ya elevadas a la cuarta potencia.

La constante de Stefan-Boltzmann es:

$$\sigma = 5,67 \cdot 10^{-8} \left[\frac{W}{m^2 \cdot K^4} \right]$$

La Ley de Stefan-Boltzmann establece lo siguiente:

$$q = \sigma \cdot A \cdot F_e \cdot F_T \cdot (T_1^4 - T_2^4)$$

2.2.6.3 Convección de calor

Se produce cuando un fluido entra en contacto con una superficie sólida de distinta temperatura y hay un intercambio de energía. Existen dos tipos de convección:

a) Convección libre o natural: Se produce cuando la fuerza motriz proviene de la variación de la densidad en el fluido producto del contacto con una

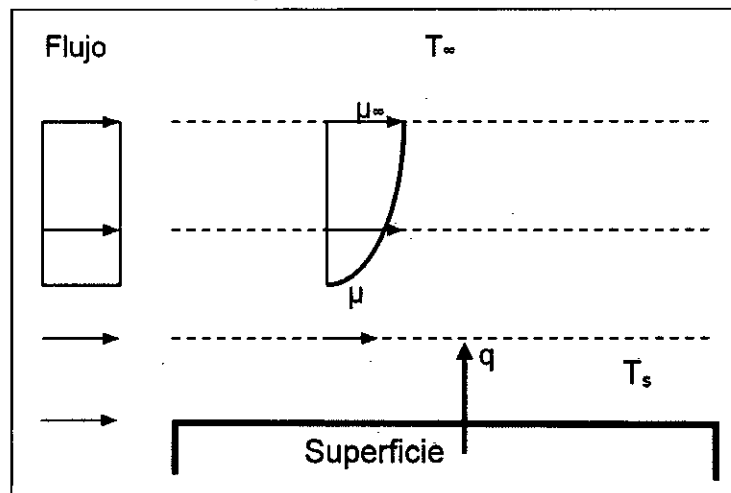
superficie con diferente temperatura. El fluido más cercano a la superficie obtiene la velocidad a causa de la diferencia de densidades, sin necesidad de una fuerza motriz externa.

b) Convección forzada: En este caso el movimiento del fluido es forzado con un dispositivo externo, ya no se produce por el efecto de las diferencias de temperatura como en el caso anterior. La fuerza motriz externa mueve el fluido sobre una superficie de diferente temperatura. En este caso al ser forzada la velocidad del fluido hay una transferencia mayor de calor para una determinada temperatura. La ley de enfriamiento de Newton representa matemáticamente este proceso y establece que cuando un fluido viscoso a una temperatura (T_∞) se desplaza sobre un cuerpo sólido con otra temperatura (T_s) el flujo calorífico intercambiado (q) es proporcional a la superficie de contacto, al valor absoluto de la diferencia de las temperaturas, al coeficiente convectivo de transferencia de calor (h_c) el cual está en función de las características del flujo, las propiedades de transporte del fluido y la parte geométrica de la superficie. La ley de enfriamiento de Newton, describe el flujo como:

$$q = h_c \cdot A_s \cdot |T_s - T_\infty|$$

La Figura N°2.20 ilustra el proceso de convección.

**FIGURA N° 2.20
ESQUEMA DE CONVECCIÓN**

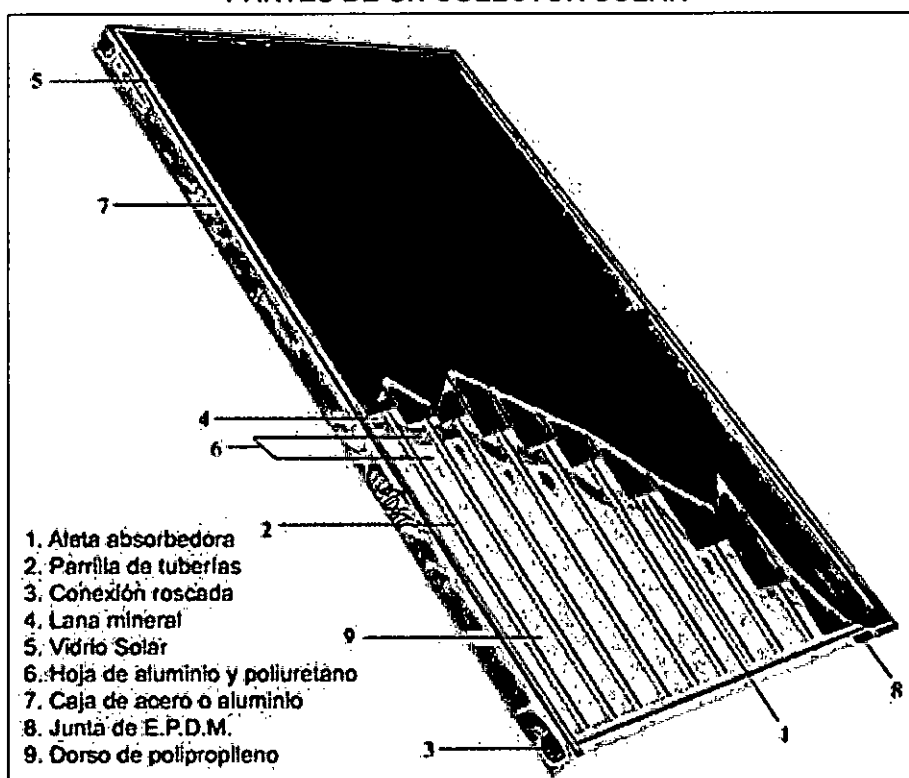


Fuente: Elaboración propia

2.2.7 Colectores solares

Consiste de dispositivos diseñados para recoger la energía radiada por el sol y convertirla en energía térmica. El Anexo N°6 detalla especificaciones técnicas de colectores solares de venta local. La Figura N°2.21 ilustra sus partes.

**FIGURA N° 2.21
PARTES DE UN COLECTOR SOLAR**



Fuente: Delta Volt

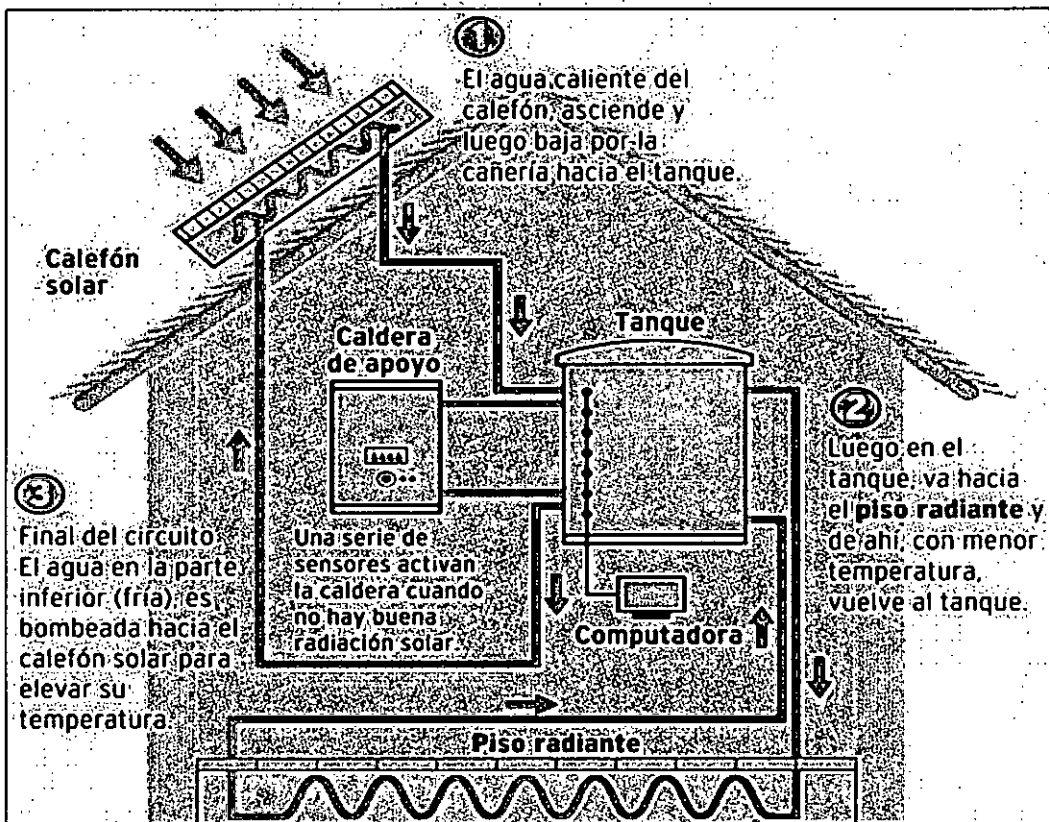
Un sistema clásico al que pertenecen los colectores solares está formado por los siguientes subsistemas:

- El sistema de captación:** Son los colectores solares.
- El sistema de acumulación:** Es el depósito que va acumular el agua caliente generada.
- El sistema hidráulico:** Son las bombas y tuberías por donde circulan los fluidos.
- El sistema de intercambio:** En caso de que el fluido que circula por los paneles solares no sea el mismo que el que utiliza el usuario en su aprovechamiento.

- El sistema de control:** Se usa en sistemas de circulación forzada con bombas, para el inicio y paradas del sistema.
- El sistema de energía auxiliar:** Hay ocasiones que la viabilidad económica de la instalación solar exige que no se pueda satisfacer la demanda energética en todo momento, es por esto que en ocasiones se dispone en la misma instalación de un sistema de energía auxiliar.

La Figura N°2.22 resume el funcionamiento de un sistema con colectores solares.

**FIGURA N° 2.22
FUNCIONAMIENTO DE UN SISTEMA CON COLECTOR SOLAR**



Fuente: Renovables hoy

Los conceptos que debemos considerar en un sistema de generación de energía térmica con colectores solares son los siguientes:

2.2.7.1 Capacidad del sistema

$$\text{Capacidad} = (\text{Litros/persona}) * (\text{número de personas}) * (\text{por ciento})$$

2.2.7.2 Calor útil

$$Q_u = S_t F_R A_C - U_L F_R A_C (T_e - T_a)$$

Donde:

Q_u : Calor aprovechado

$S_t F_R A_C$: Calor obtenido por la radiación

$U_L F_R A_C (T_e - T_a)$: Calor perdido

Simplificando tenemos:

$$Q_u = F_R A_C [S_t - U_L (T_e - T_a)]$$

Donde:

Q_u : calor útil.

F_R : Factor de remoción del calor.

A_C : Área del colector.

S : Radiación global que incide en la superficie del colector.

t : Transmisión de la cubierta.

U_L : Coeficiente total de pérdidas.

T_e : Temperatura de entrada del fluido al colector.

T_a : Temperatura ambiente.

2.2.7.3 Cálculo del nivel de calor requerido

$$Q_r = (m * C_p * (T_f - T_i)) / 1000$$

Donde:

Q_r = Calor requerido

M = Masa de agua

C_p = Calor específico del agua

T_f = Temperatura final

T_i = Temperatura inicial

2.2.7.4 Eficiencia:

$$\eta_c = (Q_{ud} / R_{td}) * 100$$

Donde:

η_c = Eficiencia del colector

Q_{ud} = Calor útil durante el día

R_{td} = Radiación total diaria

2.2.7.5 Cálculo del área

$$A_c = Q_r / (R_s * \eta_c)$$

Donde:

A_c = Área del colector

Q_r = Calor requerido

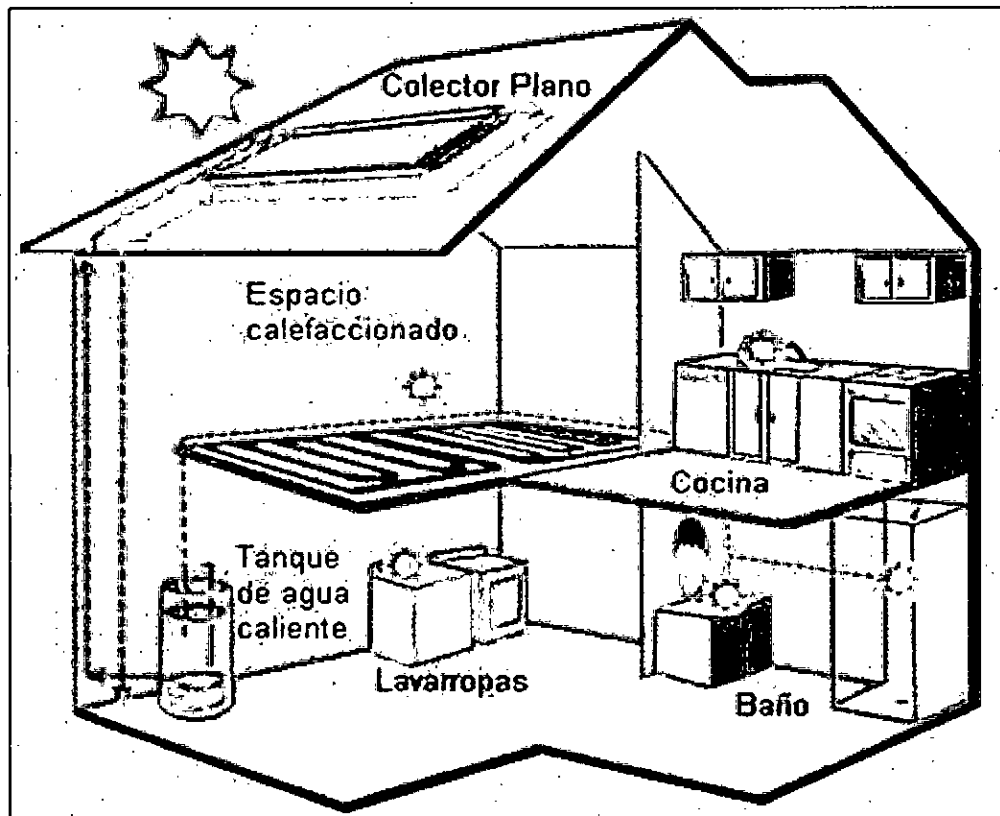
R_s = Radiación solar del lugar

2.2.7.6 Aplicaciones energéticas

Tienen múltiples usos, entre los que se encuentran: preparación de agua caliente para usos sanitarios, climatización de piscinas, calefacción, frío solar, crear vapor, cocinar, esterilización, pasteurización, desalinización, lavado, secado, tintado, entre otras, tanto a nivel doméstico como industrial.

La Figura N°2.23 ilustra algunos dispositivos que usan el servicio de agua caliente de un sistema colector solar.

FIGURA N° 2.23
COLECTOR PLANO ABASTECE A DIVERSOS DISPOSITIVOS EN UNA CASA

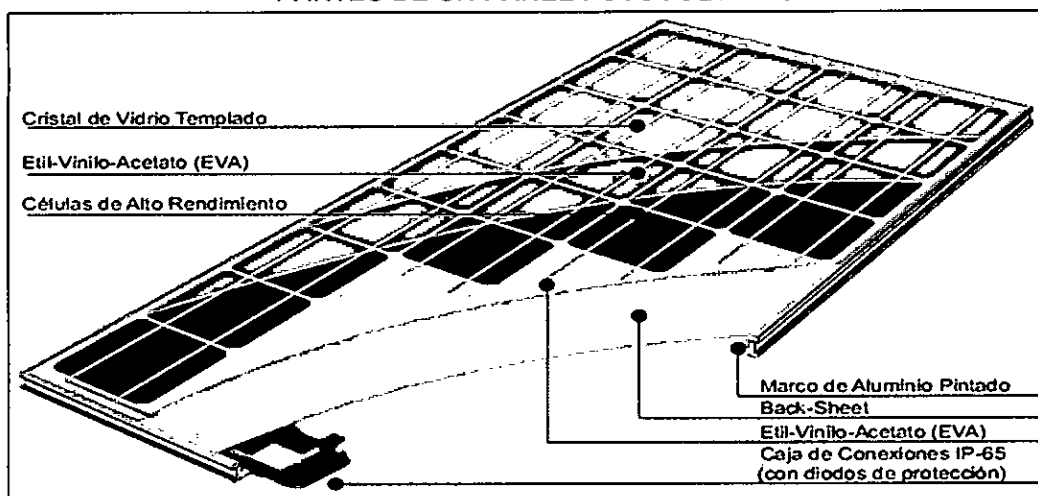


Fuente: Estudio Lampada

2.2.8 Paneles Fotovoltaicos

Consiste de paneles solares de células de silicio u otros semiconductores que cuando son expuestos al sol, generan una corriente eléctrica. El Anexo N°8 detalla las especificaciones técnicas de paneles fotovoltaicos de venta local y los Anexos N°9, 10 y 11 detallan las especificaciones técnicas de dispositivos básicos para el uso de los paneles como baterías, inversores y controladores de carga. La Figura N°2.24 ilustra las partes de un panel fotovoltaico.

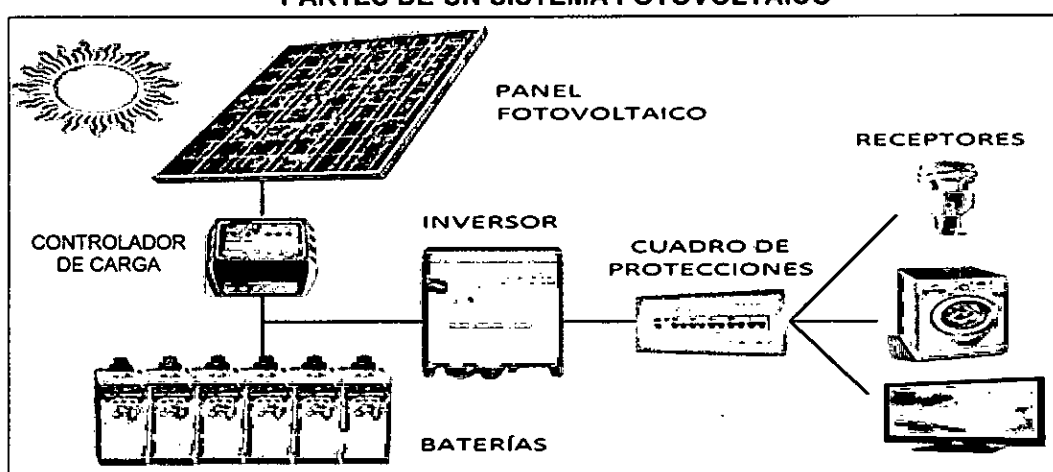
**FIGURA N° 2.24
PARTES DE UN PANEL FOTOVOLTAICO**



Fuente: Sebastián, Eliseo

La Figura N°2.25 ilustra las partes básicas de un sistema con panel fotovoltaico.

**FIGURA N° 2.25
PARTES DE UN SISTEMA FOTOVOLTAICO**



Fuente: Estructuras climáticas avanzadas

2.2.8.1 Energía solar fotovoltaica

La energía solar fotovoltaica convierte de forma directa los rayos luminosos del sol (o de otra fuente) en electricidad. Para ello, utiliza módulos fotovoltaicos compuesto de células solares o de fotopilas que realizan esta transformación energética. (Labournet y Villoz: 2010: 13).

2.2.8.2 Sistemas aislados

Los sistemas aislados por el hecho de no estar conectados a la red eléctrica, normalmente están equipados con sistemas de acumulación de la energía producida. La acumulación es necesaria porque el campo fotovoltaico puede proporcionar energía solo en horas diurnas, mientras que a menudo la mayor demanda por parte del usuario se concentra en las horas de la tarde y de la noche (Fernández 2010:276).

2.2.8.3 Consumo energético

Se calcula a partir del consumo teórico E_T (W-h) y se toman en cuenta múltiples factores de perdidas:

$$E = E_T / R$$

Donde R es el parámetro del rendimiento global de la instalación fotovoltaica:

$$R = (1 - Kb - Kc - Kv) * (1 - (Ka \cdot N / Pd))$$

Donde:

Kb = Coeficiente de pérdidas por rendimiento del acumulador.

Kc = Coeficiente de pérdidas en los convertidores.

Kv = Coeficiente de pérdidas varias.

Ka = Coeficiente de descarga diaria.

N = Número de días de autonomía.

Pd = Profundidad de descarga diaria de la batería.

2.2.8.4 Capacidad del banco de baterías

Se utiliza la siguiente ecuación:

$$C = ((E \cdot N) / (V \cdot Pd))$$

En donde:

E = Consumo energético

N = Número de días de autonomía.

V = Tensión nominal del acumulador: 12 V

Pd = Profundidad de descarga diaria de la batería.

2.2.8.5 Calculo del número de paneles fotovoltaicos

$$N_p = E / (0.9 * W_p * H_{ps})$$

En donde:

E= Consumo energético

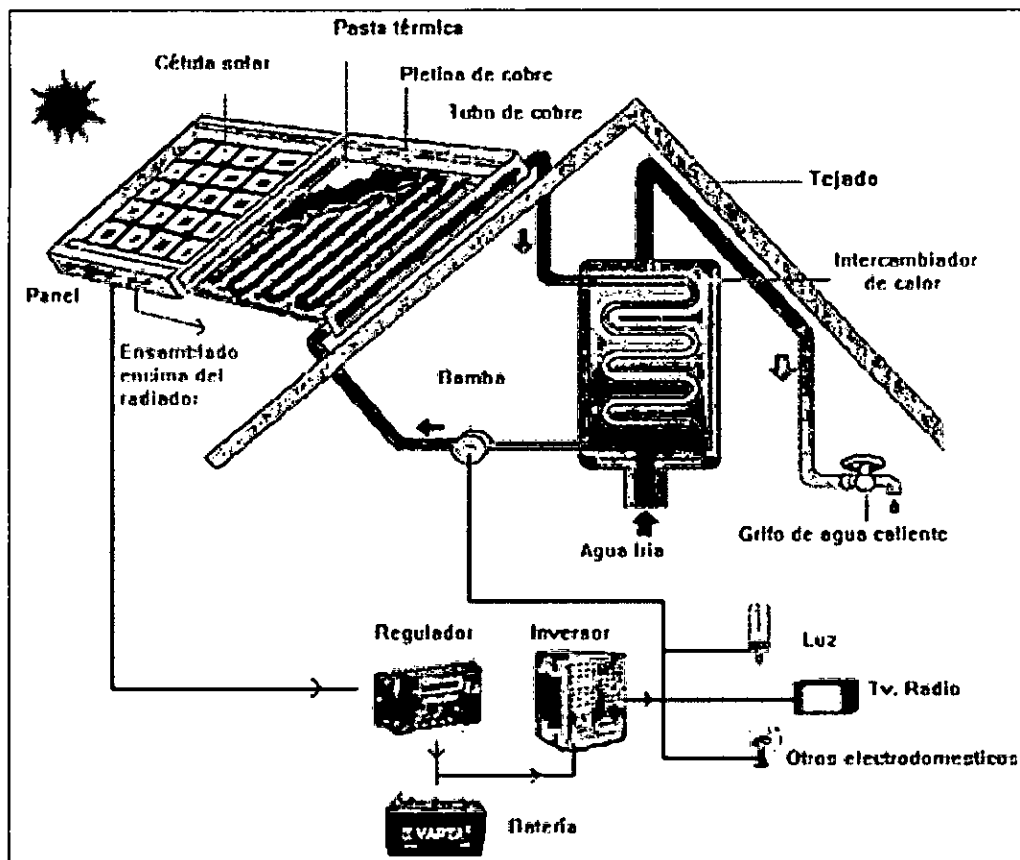
Wp = Potencia pico de cada panel solar

Hps = Promedio anual de la irradiación solar

2.2.9 Sistema híbrido de energía solar

La Figura N°2.26 ilustra los elementos de un sistema híbrido de energía solar compuesto por un colector solar y un panel fotovoltaico, los cuales pueden abastecer de energía térmica y eléctrica a una vivienda.

**FIGURA N° 2.6
SISTEMA COLECTOR - FOTOVOLTAICO**



Fuente: Soluciones energéticas y reformas

2.2.10 Fuentes de registro de datos

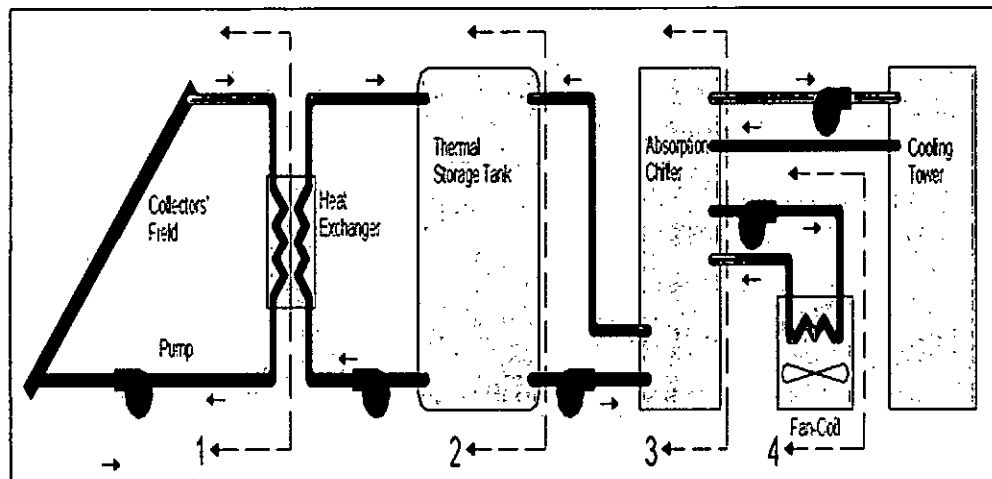
2.2.10.1 Valoración de colectores solares térmicos planos de vacío para la producción de frío

La instalación térmica solar estuvo ubicada en la azotea del edificio Betancourt en la Escuela Politécnica Superior de la Universidad Carlos III de Madrid, localizada en Leganés (España). El sistema abastece al edificio de:

- Agua Caliente Sanitaria.
 - Calefacción.
 - Aire acondicionado.
- La instalación está compuesta principalmente por:
- 50 m² de colectores solares planos.
 - 50 m² de colectores de tubos evacuadores.
 - 20 m² de colectores solares planos de vacío.
 - Intercambiador de calor de placas.
 - Dos tanques de almacenamiento de agua.
 - Bombas.
 - Máquina de absorción de 35 kW.
 - Torre de refrigeración.

La Figura N°2.27 representa la instalación general.

FIGURA N° 2.27
DIAGRAMA GENERAL DE LA INSTALACIÓN

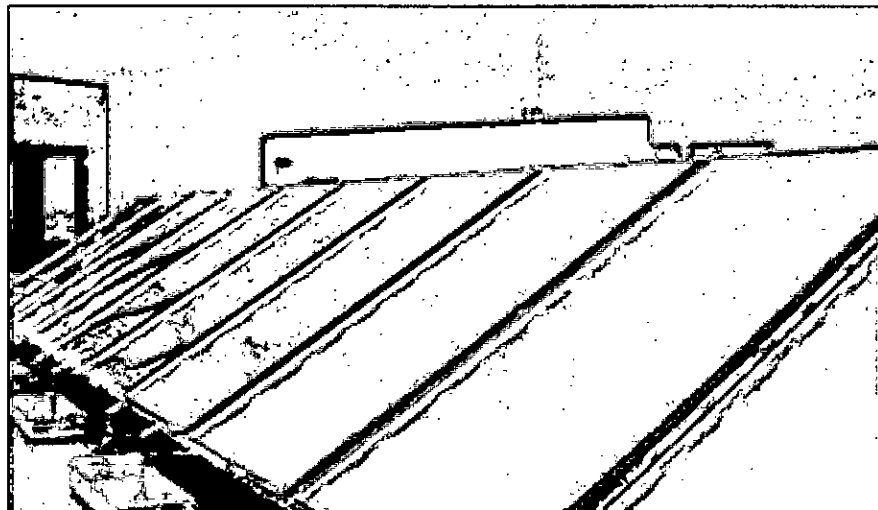


Fuente: Víctor Salguero Fernández, 2008

El sistema produce frío para la producción de aire acondicionado y el calor que alimenta a la máquina de absorción proviene de los colectores solares a una temperatura entre 65- 85°C. En la temporada de verano al mediodía el calor producido por los colectores llega a los 30 Julios por segundo, obteniéndose una potencia frigorífica de 15 kW.

Los colectores solares planos de vacío de la instalación (Ver Figura N°2.28) fueron del modelo 400V, de la marca Thermosolar. En la instalación hubo 10 paneles de 2 m², teniendo una superficie total de 20 m².

**FIGURA N° 2.28
COLECTORES SOLARES PLANOS DE VACÍO INSTALADOS**



Fuente: Salguero Fernández, 2008

El registro de la energía solar producida de los colectores solares planos de vacío, objetos de estudio en la primera hipótesis de esta investigación se presentan en el anexo N° 2. Estos registros son del 30 de junio al 11 de julio del 2007.

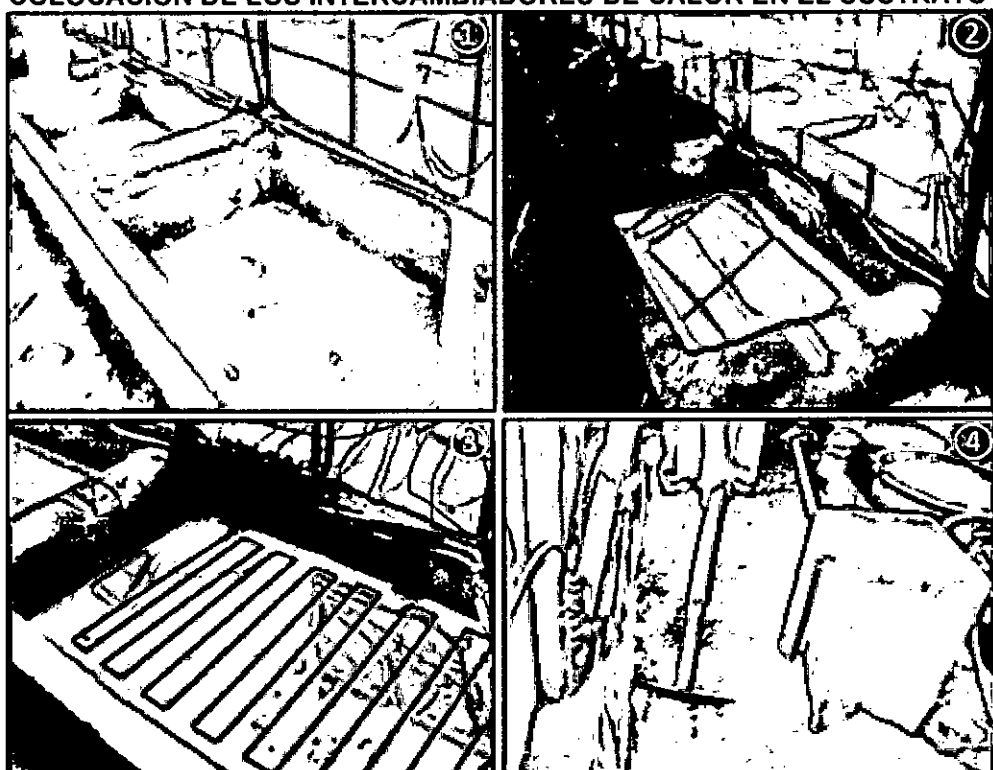
2.2.10.2 Aplicaciones de la energía solar al tratamiento térmico de suelos de invernadero

Fue desarrollada en las instalaciones de la Escuela Universitaria de Ingeniería Técnica Agrícola de Ciudad Real (España) de la Universidad de Castilla - La Mancha. El invernadero donde se realizaron las experimentaciones está ubicado en la parte posterior de la Escuela con orientación Este-Oeste.

Se instalaron de manera independiente en los exteriores dos pares de colectores solares planos; dos colectores planos con cubierta simple y dos con doble cubierta con conexión en serie, siendo los datos registrados por estos dos últimos los tomados en cuenta en la presente investigación. Además se implementaron seis concentradores cilíndrico parabólicos donde tres de ellos eran sin tubo absorbente aislado, y otros tres tenían el tubo absorbente aislado, siendo los datos registrados por estos tres últimos los tomados en cuenta en la presente investigación.

La principal función de los colectores solares era calentar el agua para poder transmitir la energía captada por medio de los intercambiadores de calor al suelo. Los intercambiadores se utilizaron en cuatro bancales conectados al sistema de distribución por medio de tuberías. Se adecuó para que no haya pérdidas de agua (Ver Figura N°2.29) y se cubrieron los bancales con mezcla de tierra.

FIGURA N°2.29
COLOCACIÓN DE LOS INTERCAMBIADORES DE CALOR EN EL SUSTRATO



Fuente: Pérez de los Reyes, 2007

Se puede apreciar lo siguiente en el bancal:

- 1-Sin tierra
- 2-Con capa de aislamiento
- 3-Con intercambiador aislado
- 4-Rellenado con sustrato

Los concentradores cilíndrico parabólicos con tubo absorbente aislado y sin aislar se pueden apreciar en la Figura N°2.30, en el fondo de la imagen está el invernadero.

FIGURA N°2.30

CONCENTRADORES CILÍNDRICO PARABÓLICOS: CON TUBO ABSORBENTE AISLADO (IZQUIERDA) Y CON TUBO ABSORBENTE SIN AISLAR (DERECHA)



Fuente: Pérez de los Reyes, 2007

La energía que se acumuló en el suelo del invernadero se define así:

$$E = E_s + E_a = m_s \cdot c_s \cdot \Delta t + m_a \cdot c_a \cdot \Delta t$$

Donde:

E = Energía total acumulada (J)

E_s = Energía acumulada en el suelo (J)

E_a = Energía acumulada en el agua del suelo (J)

m_s = Masa de suelo (g)

m_a = Masa de agua (g)

c_s = Calor específico del suelo (J/g·°C)

c_a = Calor específico del agua (J/g·°C)

Δt = Variación de temperatura (°C)

De la ecuación anterior se halla la energía acumulada entre la energía del suelo y la energía del agua que le llega; al final del día se obtiene la energía diaria acumulada.

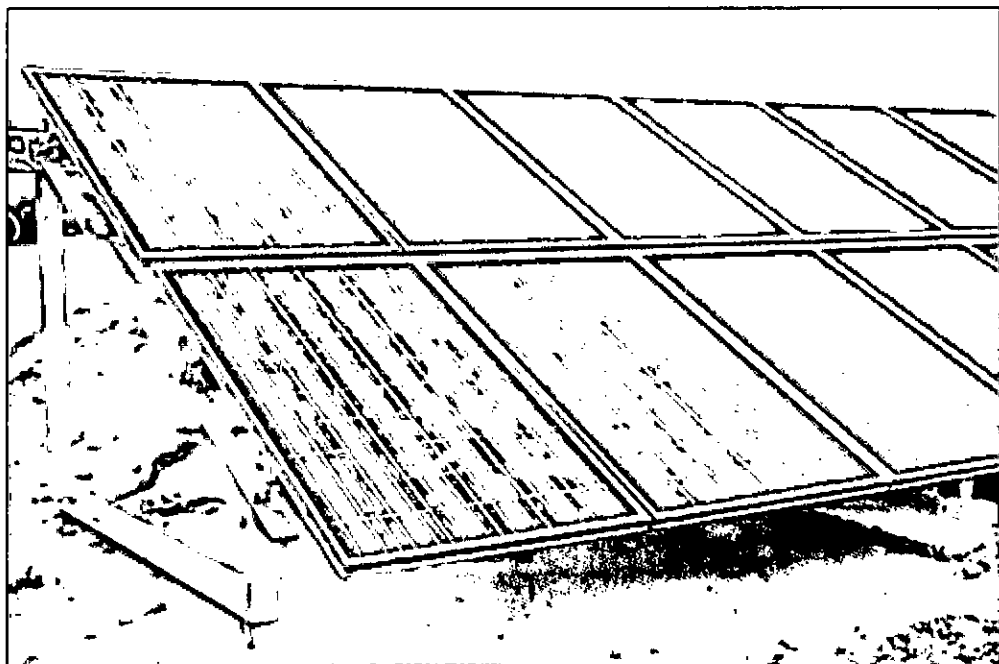
El registro de datos de la energía acumulada del suelo tratado con agua procedente de colectores solares planos con dos cubiertas (CD) y del suelo tratado con agua procedente de concentradores cilíndricos parabólicos con el tubo absorbente aislado (CCPA) objetos de estudio en la segunda hipótesis de esta investigación se presentan en el anexo N° 3. Los registros son desde el 1 de julio al 30 de setiembre del 2007.

2.2.10.3 Análisis de producción y rentabilidad de proyectos fotovoltaicos

Abarca tres huertos solares ubicados en el municipio de la Escacena del Campo de la provincia de Huelva de España, en el municipio de La Palma del Condado de la provincia de Huelva de España y en el municipio de Alcalá del Río de la provincia de Sevilla en España. En los tres huertos hay 54 plantas solares que se agrupan en 12 tipos de acuerdo a las características ya sea ubicación, seguimiento, y potencia instalada.

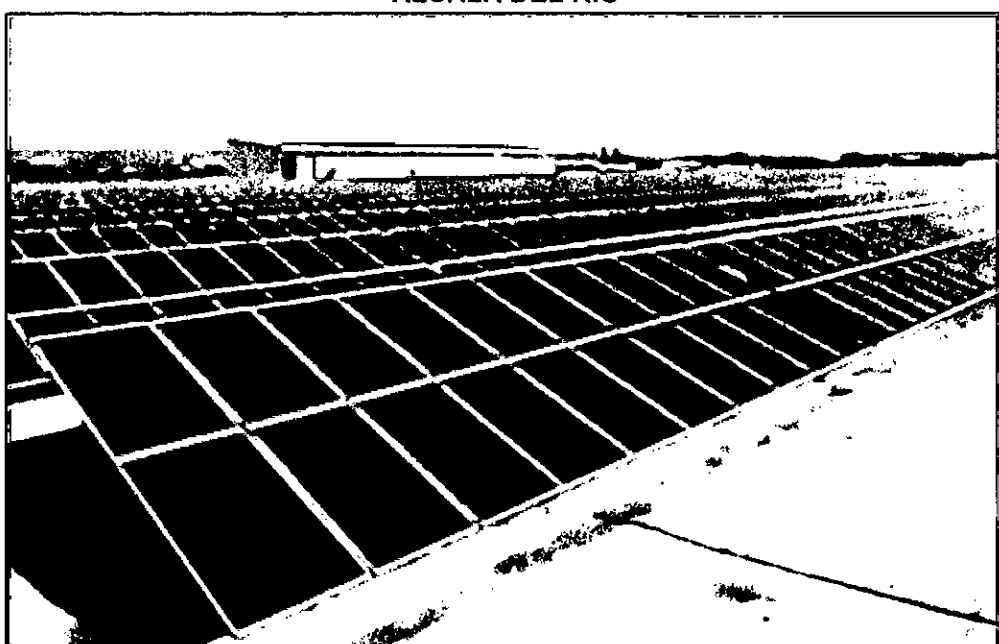
El registro de datos de la energía producida de la planta solar de 112.04kW, constituida por 520 paneles fotovoltaicos policristalinos de seguimiento fijo (Ver Figura N°2.31), del municipio de La Palma del Condado, Provincia de Huelva, España y el registro de datos de la energía producida de la planta solar de 75.24kW, constituida por 342 paneles fotovoltaicos monocristalinos de dos ejes (Ver Figura N°2.32), del municipio de Alcalá del Río, Provincia de Sevilla, España, son objetos de estudio en la tercera hipótesis de esta investigación y se presentan en el anexo N° 4. Los registros son desde el 1 de enero del 2009 al 31 de diciembre del 2010.

FIGURA N°2.31
PANELES FOTOVOLTAICOS POLICRISTALINOS DEL MUNICIPIO DE LA PALMA DEL CONDADO



Fuente: Canal Sur

FIGURA N°2.32
PANELES FOTOVOLTAICOS MONOCRISTALINOS DEL MUNICIPIO DE ALCALÁ DEL RÍO



Fuente: Som Energía

3.11 Presupuestos de referencia

3.11.1 Sistema de calentamiento sin aislar con dos botellas

Se utilizan materiales plásticos descartados para su armado, disponiendo su reutilización por varios años más, con un costo económico reducido para ser alcanzado por un amplio sector de la población. La Figura N°2.33 ilustra el sistema. En Anexo N° 23 detalla el proceso de construcción.

**FIGURA N° 2.33
SISTEMA DE CALENTAMIENTO SIN AISLAR CON DOS BOTELLAS**



Fuente: Miranda Gassull, V.

El costo final del sistema alcanza U\$S 37.53 por cada 0.75 m² de superficie colectora. El Cuadro N° 2.2 muestra el detalle de los costos incurridos. No se consideró la mano de obra, por ser autoconstruido.

CUADRO N° 2.2
PRESUPUESTO DEL SISTEMA DE CALENTAMIENTO SIN AISLAR CON DOS BOTELLAS

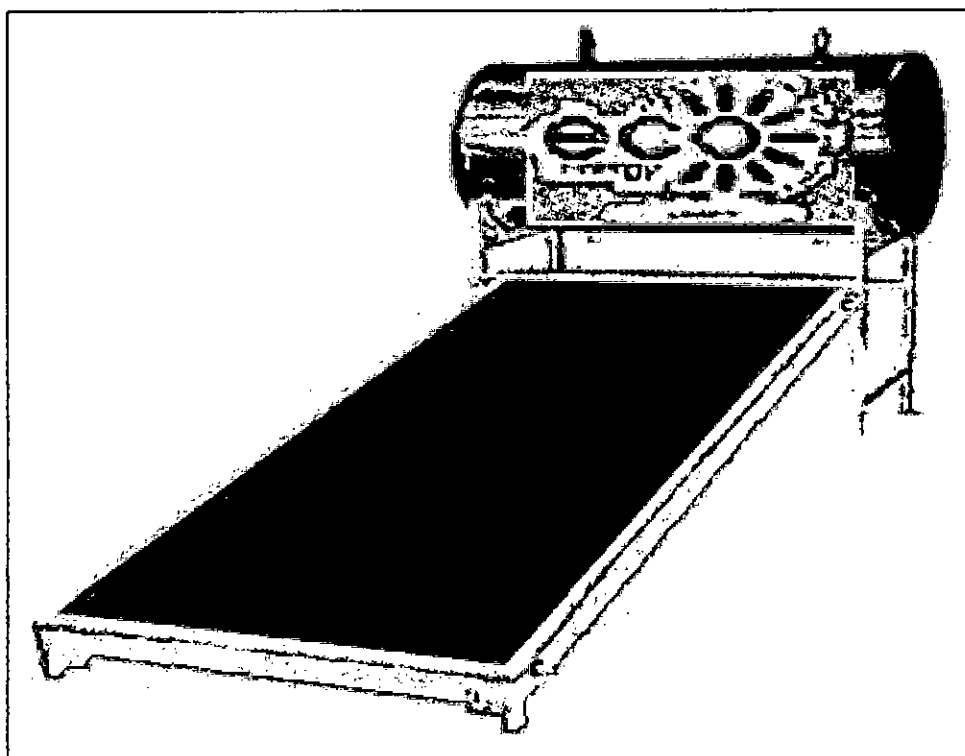
| Nº | Descripción Materiales | Costo Unitario | Cantidad | Totales |
|---------------|---|----------------|----------|---------|
| 1 | Botellas PET recicladas | 0 | 60 | 0 |
| 2 | Papel reflejante metálico (1,00 m X 1,20 m) | 2.08 | 3 | 6.23 |
| 3 | Tubos de Polipropileno ½" TIGRE (6.00 m) | 4.70 | 1 | 4.70 |
| 4 | Tubos de Polipropileno 1" TIGRE (6.00 m) | 1.13 | 1 | 1.13 |
| 5 | Unión Tee Reducción | 0.90 | 8 | 7.20 |
| 6 | Codo reducción | 0.80 | 2 | 1.60 |
| 7 | Acoples | 0.50 | 5 | 2.50 |
| 8 | Niples | 0.50 | 5 | 2.50 |
| 9 | Unión roscada | 0.29 | 2 | 0.58 |
| 10 | Adaptadores ½" | 1.75 | 2 | 3.50 |
| 11 | Teflón | 0.63 | 3 | 1.88 |
| TOTAL US (\$) | | | | 31.80 |

Fuente: Miranda Gassull, V.

3.11.2 Sistema colector solar para una familia de cuatro personas

La Figura N°2.34 ilustra el sistema y el Cuadro N° 2.3 muestra el presupuesto.

FIGURA N° 2.34
SISTEMA COLECTOR SOLAR DE 160 LITROS –MODOLO PS 160 -1



Fuente: Solano Flores, A. L.

CUADRO N° 2.3
PRESUPUESTO DEL MODELO PS 160 LITROS

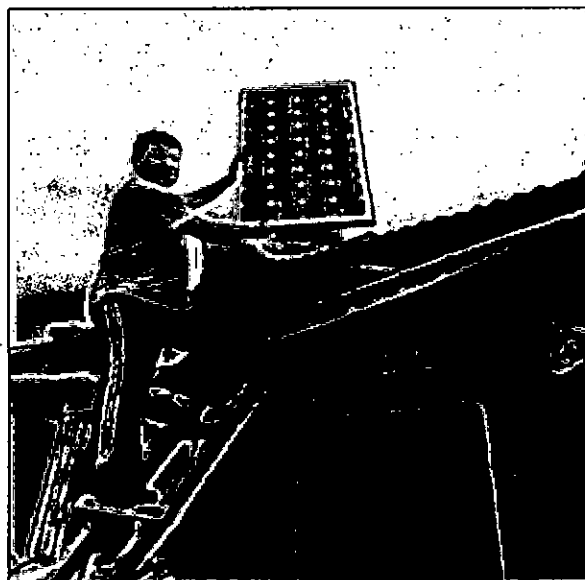
| COLECTOR SOLAR | |
|-------------------------------------|-------------------------------|
| Largo | 1870mm |
| Ancho | 850 mm |
| Cubierta del Colector | Vidrio |
| Espesor | 3.2 mm |
| Material Aislante | Lana Galvanizada y pintura |
| TANQUE TÉRMICO | |
| Tanque Interno | Acero inoxidable 304 |
| Tanque Externo | Acero galvanizado y pintura |
| Aislante | Poliuretano |
| Diámetro de las conexiones | $\frac{3}{4}$ " |
| Capacidad de almacenamiento | 160 Lts |
| Dimensiones | Largo: 145cm; Diámetro: 48 cm |
| Estructura de soporte | Acero galvanizado y pintado |
| Garantía | 6 años |
| PRECIO (INCL. IMP.) US (\$): | 837 Dólares |

Fuente: Solano Flores, A. L.

3.11.3 Sistema fotovoltaico para cuatro viviendas

El sistema fotovoltaico buscó suplir las necesidades básicas de energía eléctrica de cuatro familias del barrio de Puerto Roma. La Figura N°2.35 ilustra parte del sistema implementado.

FIGURA N° 2.35
PANEL FOTOVOLTAICO DEL SISTEMA
IMPLEMENTADO



Fuente: Gonzales, G., Zambrano, J.

Debido a la precariedad de las viviendas, en el presupuesto se tomó en consideración, diversas instalaciones como el ajuste de coordenadas de los paneles Solares, las instalaciones eléctricas de iluminación y tomacorriente y la instalación del panel. El Cuadro N° 2.4 muestra resume el presupuesto. El Anexo N° 24 detalla el mismo, además de mostrar fotos de la implementación.

CUADRO N° 2.4
COSTO TOTAL DE UN PROYECTO FOTOVOLTAICO PARA CUATRO FAMILIAS

| Nº | Descripción | Totales (Incl. Imp.) |
|----------------------|--|-------------------------|
| 1 | Costos de los Kits Solares | 4,422.29 |
| 2 | Costos de los Tableros de Distribución | 445.39 |
| 3 | Costo de la Instalación Eléctrica | 261.87 |
| 4 | Gestión y Comunicación | 1,943.24 |
| TOTAL US(\$): | | 7,072.78 |

Fuente: Gonzales, G., Zambrano, J.

2.2.11 Organismos reguladores

Las instituciones que regulan en el Perú las energías renovables son:

- **Ministerio de Energías y Minas (MINEM):** Promueve e impulsa el desarrollo de las energías renovables, asimismo establece la reglamentación vigente del mercado.
- **Organismo Supervisor de la Inversión en Energía y Minería (OSINERGMIN):** Regula y supervisa que las empresas del sector eléctrico, minero e hidrocarburos cumplan las disposiciones legales de las actividades que realizan.
- **Comité de Operación Económica del Sistema (COES):** Vela por la seguridad del abastecimiento de energía eléctrica, asegurando suministrar energía de calidad.
- **Instituto de Defensa de la Competencia y de la Protección de la Propiedad Intelectual (INDECOPI):** Se encargan de elaborar las Normas Técnicas Peruanas a través de los comités técnicos de normalización.

2.2.12 Normas legales

Referentes al uso de energías renovables en el país, se encuentran:

- **Decreto Legislativo 1002:** Promoción de la inversión para la generación de electricidad con el uso de energías renovables.

- **Decreto Supremo N° 024-2013-EM:** Modifica algunos artículos del Decreto Supremo N° 012-2011-EM, Reglamento de la Generación de Electricidad con Energías Renovables, emitido en marzo del 2011 y que, a la vez, reemplaza al reglamento original, aprobado mediante Decreto Supremo N° 050-2008.
- **R.D.N°003-2007-EM-DGE:** Reglamento Técnico Especificaciones Técnicas y Procedimientos de Evaluación del Sistema Fotovoltaico y sus Componentes para Electrificación Rural.
- **NTP 399.400.2001:** Colectores solares. Métodos de ensayo para determinar la eficiencia.
- **NTP 399.403.2006:** Sistemas Fotovoltaicos hasta 500 Wp. Especificaciones técnicas y método para calificación energética.
- **NTP 399.404.2006:** Sistemas de Calentamiento de Agua con Energía Solar. Fundamentos para su dimensionado eficiente.
- **NTP 399.482.2007:** Sistemas de Calentamiento de Agua con Energía Solar. Procedimiento para su instalación eficiente.
- **NTP 399.405.2007:** Sistemas de Calentamiento de Agua con Energía Solar. Definición y pronóstico anual de su rendimiento mediante ensayos en exterior.
- **NTP 399.484.2008:** Sistemas de Calentamiento de agua con energía solar (SCAES). Límites y Etiquetado.
- **Decreto Supremo N° 064-2010-EM:** Política Energética Nacional Del Perú 2010-2040.

2.3. Definición de términos

- **Amperio:** Es la unidad de la intensidad de corriente eléctrica.
- **Calor:** Es la forma de energía que se transfiere entre diferentes cuerpos, estando a distintas temperaturas.
- **Carga:** Todo dispositivo eléctrico o electrónico conectado a una fuente de energía eléctrica; por ejemplo, focos, licuadoras, TV, radios, etc.
- **Celda:** Dispositivo mínimo de un módulo fotovoltaico que produce una diferencia de potencial cuando es expuesto a la luz.

- **Cuerpo negro:** Objeto teórico o ideal que absorbe toda la luz y toda la energía radiante que incide sobre él. Nada de la radiación incidente se refleja o pasa a través del cuerpo negro.
- **Energía:** Es la capacidad de realizar un trabajo.
- **Fluido:** Tipo de medio continuo formado por alguna sustancia entre cuyas moléculas hay una fuerza de atracción débil. Los fluidos se caracterizan por cambiar de forma sin que existan fuerzas restitutivas tendentes a recuperar la forma original.
- **Inversor:** Dispositivo que convierte la corriente C.D. (12, 24 ó 48 VDC) a corriente C.A. (120/240 VAC).
- **Irradiancia:** Valor instantáneo de la potencia luminosa recibida en un captador de un metro cuadrado de área.
- **Julio:** Es la unidad del sistema internacional de unidades para medir energía, trabajo y calor.
- **Potencia:** Describe la relación de energía por unidad de tiempo, medido en Watts, por ejemplo, 1 Watt = 1 joule/seg., pero también es el resultado de multiplicar el voltaje por la corriente (Volts X Amperes).
- **Presión:** La cantidad de fuerza aplicada por el agua ya sea forzada por una bomba, o por la gravedad.
- **Reflectancia:** Fracción de radiación incidente reflejada por una superficie. En general debe tratársela como una propiedad direccional, en función de la dirección reflejada, de la dirección incidente, y de la longitud de onda incidente.
- **Transmitancia:** Es una magnitud que expresa la cantidad de energía que atraviesa un cuerpo en la unidad de tiempo.
- **Vatio:** Es la unidad de potencia del sistema internacional de unidades.
- **Voltímetro.** Dispositivo para la medición de la diferencia de potencial entre cualquiera de dos puntos en un circuito eléctrico.

III. VARIABLES E HIPÓTESIS

3.1 Definición de las variables

La relación existente entre las variables de estudio fue del tipo Causa – Efecto, según la relación:

(Variable Independiente “X” → Variable Dependiente “Y”)

Tenemos:

- Variable Independiente X (causal): Redes Neuronales artificiales
- Variable Dependiente Y (efecto): Predicción de la generación de energía de colectores solares y paneles fotovoltaicos

3.2 Operacionalización de variables

Para la demostración y comprobación de la hipótesis se tuvo la siguiente operacionalización de las variables:

-Variable X: Redes Neuronales artificiales

- X₁: Aprendizaje inductivo
- X₂: Adaptabilidad
- X₃: Flexibilidad
- X₄: Procesado no lineal
- X₅: Procesado en paralelo
- X₆: Capacidad de generalización

-Variable Y: Predicción de la generación de la energía solar

- Y₁: Nivel de exactitud
- Y₂: Grado de error

3.3 Hipótesis

3.3.1 Hipótesis general

Al utilizar redes neuronales artificiales tendremos un gran nivel de precisión en la predicción de la generación de energía de los colectores solares y paneles fotovoltaicos.

3.3.2 Hipótesis específicas

H₁. Al utilizar redes neuronales artificiales tendremos un gran nivel precisión en la predicción de la generación de energía de colectores solares.

- H₂. Al utilizar redes neuronales artificiales tendremos un gran nivel de precisión en la predicción de la generación de la energía acumulada de los colectores solares y otra fuente de energía.
- H₃. Al utilizar redes neuronales artificiales tendremos un gran nivel de precisión en la predicción de la generación de energía de los paneles fotovoltaicos.

IV. METODOLOGÍA

4.1 Tipo de investigación

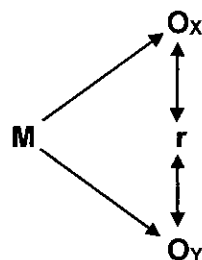
Según el objeto de estudio la investigación fue aplicada ya que utiliza los conocimientos en la práctica, para aplicarlos, en la mayoría de las veces, en provecho de la sociedad.

Según la fuente de información la investigación fue mixta, la cual participa de la naturaleza de la investigación de campo y de la investigación documental. La investigación de campo se apoyó en informaciones obtenidas directamente de la realidad y la investigación documental se basó en la búsqueda, recuperación, análisis, crítica e interpretación de datos secundarios, es decir, de los obtenidos y registrados por otros investigadores, en fuentes documentales impresas, audiovisuales o electrónicas.

4.2 Diseño de la investigación

Se consideró el diseño correlacional ya que el presente estudio buscó determinar el grado de relación existente entre dos o más variables de interés en una misma muestra de sujetos o el grado de relación existentes entre fenómenos o eventos observados, según lo indica CASTRO (2003).

El diseño fue el siguiente:



Fue correlacional, puesto que permitió describir la relación de dos variables: X = Redes Neuronales Artificiales e Y = Predicción de la Generación de Energía de Colectores Solares y Paneles Fotovoltaicos.

Donde "M" es la muestra donde se realiza el estudio, los subíndices "x, y", en cada "O" nos indican las observaciones obtenidas en cada una de las dos variables distintas (x, y) y finalmente "r" hace mención a la relación existente entre variables estudiadas.

4.3 Población y muestra

4.3.1 Población

Abarcó lo siguiente:

- Sistema de 50 colectores planos de vacío de la azotea del edificio Betancourt de la Escuela Politécnica Superior de la Universidad Carlos III de Madrid, Leganés, España.
- Sistemas de energía solar para suelos de invernadero, de las instalaciones de la Escuela Universitaria de Ingeniería Técnica Agrícola de Ciudad Real (España), perteneciente a la Universidad de Castilla- La Mancha. El detalle de los sistemas fue el siguiente:
 - Sistema de colectores planos: Conformado por cuatro colectores planos.
 - Sistema de concentradores cilindros parabólicos: Conformado por seis colectores cilindros parabólicos, de los cuales 3 eran con tubo absorbente sin aislar y tres con el tubo absorbente aislado.
 - Sistemas fotovoltaicos: Conformado por 30 celdas fotovoltaicas.
- Tres huertos solares de España, conformados por:
 - Huerto Solar de la Escacena del Campo, provincia de Huelva; constituido por las siguientes plantas solares:
 - Planta solar de 115.92 kW
 - Planta solar de 132.48 kW
 - Planta solar de 66.24 kW
 - Planta solar de 41.40 kW
 - Huerto Solar de la Palma del Condado, provincia de Huelva; constituido por las siguientes plantas solares:
 - Planta solar de 112 kW
 - Planta solar de 111.52 kW
 - Planta solar de 112.20 kW
 - Planta solar de 112.04 kW
 - Huerto Solar de la Alcalá del río, provincia de Sevilla; constituido por las siguientes plantas solares:
 - Planta solar de 113.28 kW

- Planta solar de 75.12 kW
- Planta solar de 113.52 kW
- Planta solar de 75.24 Kw

4.3.2 Delimitación

4.3.2.1 Espacial

Las principales fuentes de información para las experimentaciones provinieron de dos países con mayor desarrollo en la implementación de las tecnologías solares para la generación de energía; como son los casos de España y México, pero la implicancia es de nivel general para todos los países.

4.3.2.2 Temporal

El tiempo del inicio hasta la culminación de la investigación fue de aproximadamente tres años; desde octubre del 2014 hasta septiembre del 2017.

4.3.3 Tipo de muestra

El método de muestreo fue no probabilístico, es decir no fue aleatorio sino del tipo intencional. En este muestreo se ha tenido un esfuerzo deliberado de obtener las muestras más representativas, a través de la selección para la muestra de casos típicos; seleccionando los casos más convenientes para el propósito del estudio.

4.3.4 Tamaño de la muestra

La muestra estuvo conformada por los siguientes elementos:

**CUADRO N° 4.1
SISTEMA DE COLECTORES PLANOS DE VACÍO**

| SISTEMA SOLAR | CARACTERÍSTICAS | UBICACIÓN | FECHAS DE ESTUDIO |
|--------------------------------------|---|---|--|
| SISTEMA DE COLECTORES SOLARES PLANOS | Conformado por 50 colectores solares planos de vacío de 2 m ² de área. | La azotea del edificio Betancourt en la Escuela Politécnica Superior de la Universidad Carlos III de Madrid, Leganés, España. | Datos desde el 30 de junio al 11 de julio del 2007 |

Fuente: Elaboración propia

CUADRO N° 4.2
SISTEMAS DE CONCENTRADORES PARABOLICOS PARA SUELOS DE INVERNADERO

| SISTEMA SOLAR | CARACTERÍSTICAS | UBICACIÓN |
|---|---|---|
| SISTEMA DE CONCENTRADORES CILÍNDRICOS PARABÓLICOS CON EL TUBO ABSORBENTE SIN AISLAR (CCPSA) | Conformado por tres concentradores cilíndrico parabólicos, con el tubo absorbente sin aislar. Con placa de acero inoxidable anclada a la estructura de aluminio con sección transversal en forma de parábola. | En las instalaciones de la Escuela Universitaria de Ingeniería Técnica Agrícola de Ciudad Real (España), perteneciente a la Universidad de Castilla- La Mancha. |
| SISTEMA DE CONCENTRADORES CILÍNDRICOS PARABÓLICOS CON EL TUBO ABSORBENTE AISLADO (CCPA) | Conformado por tres concentradores cilíndrico parabólicos, con el tubo absorbente aislado. Con placa de acero inoxidable anclada a la estructura de aluminio con sección transversal en forma de parábola. | En las instalaciones de la Escuela Universitaria de Ingeniería Técnica Agrícola de Ciudad Real (España), perteneciente a la Universidad de Castilla- La Mancha. |

Fuente: Elaboración propia

CUADRO N° 4.3
PLANTAS SOLARES DE PANELES FOTOVOLTAICOS

| SISTEMA SOLAR | CARACTERÍSTICAS | UBICACIÓN |
|-----------------------|--|---|
| PLANTA SOLAR 112.04KW | Constituido por 520 paneles fotovoltaicos policristalinos de seguimiento fijo. | La Palma del Condado, Provincia de Huelva, España |
| PLANTA SOLAR 75.24KW | Constituido por 342 paneles fotovoltaicos monocristalinos de dos ejes. | Alcalá del Río, Provincia de Sevilla, España |

Fuente: Elaboración propia

4.4 Técnicas e instrumentos de recolección de datos

4.4.1 Técnicas

Las técnicas fueron las siguientes:

- Pruebas estandarizadas:** En estas pruebas se cumplieron determinadas normas para poder aplicarlas y para la interpretación de sus resultados.
- Análisis documental:** Implicó el análisis de las normas, información bibliográfica y otros aspectos relacionados con la investigación.

-Análisis de Contenido: Permitió reducir y sistematizar la información acumulada (documentos escritos, films, grabaciones, etc.) para procesarlos como datos, respuestas o valores correspondientes a las variables que se han investigado.

-Tecnología de la investigación: Fue una herramienta para la búsqueda de información el internet; lo que permitió encontrar registros, documentos y publicaciones importantes para la investigación.

4.4.2 Instrumentos

Los instrumentos fueron:

-Software Matlab 2015: Para el procesamiento de los ensayos de las redes neuronales.

-Cuaderno de Registros: Para el registro de los datos de manera ordenada y resumida, para la revisión en cualquier momento de los datos más resaltantes.

-Fichas de contenido: Permitió la anotación de las ideas extraídas de los trabajos leídos. Fue indispensable para redacción de la introducción, el marco teórico y la discusión de los trabajos.

-Listas de cotejo: Fueron los listados de los distintos aspectos a evaluar al lado de los cuales se pudo hacer una calificación con un determinado puntaje o concepto. Fue una herramienta para la observación sistemática de varios procesos.

-Equipo de codificación y compilación: Procesó los cómputos y tabulaciones de los datos.

4.4.3 Fuentes

Fueron las siguientes:

-Fuentes primarias: Constituyeron los registros de las energías de colectores solares y paneles fotovoltaicos de tres investigaciones; además de los resultados de las pruebas y ensayos estandarizados de las redes neuronales realizadas en esta investigación.

-Fuentes secundarias: Fueron las fuentes que ayudaron, facilitaron y complementaron la información de las fuentes primarias a través de otras investigaciones, libros, documentos, revistas, etc.

4.5 Procedimiento de recolección de datos

Los datos para el procesamiento de las predicciones fueron extraídos de las energías solares generadas de las siguientes investigaciones:

- Valoración de colectores solares térmicos planos de vacío para la producción de frío, realizada por: Víctor Salguero Fernández (Ver Anexo N°2).
- Aplicaciones de la energía solar al tratamiento térmico de suelos de invernadero, realizada por: Caridad Pérez de los Reyes (Ver Anexo N°3).
- Análisis de producción y rentabilidad de proyectos fotovoltaicos, realizada por: Olalla Fernández Zamudio (Ver Anexo N°4).

De acuerdo a los objetivos de la investigación se seleccionaron las mediciones y resultados de las investigaciones mencionadas.

4.6 Procesamiento estadístico y análisis de datos

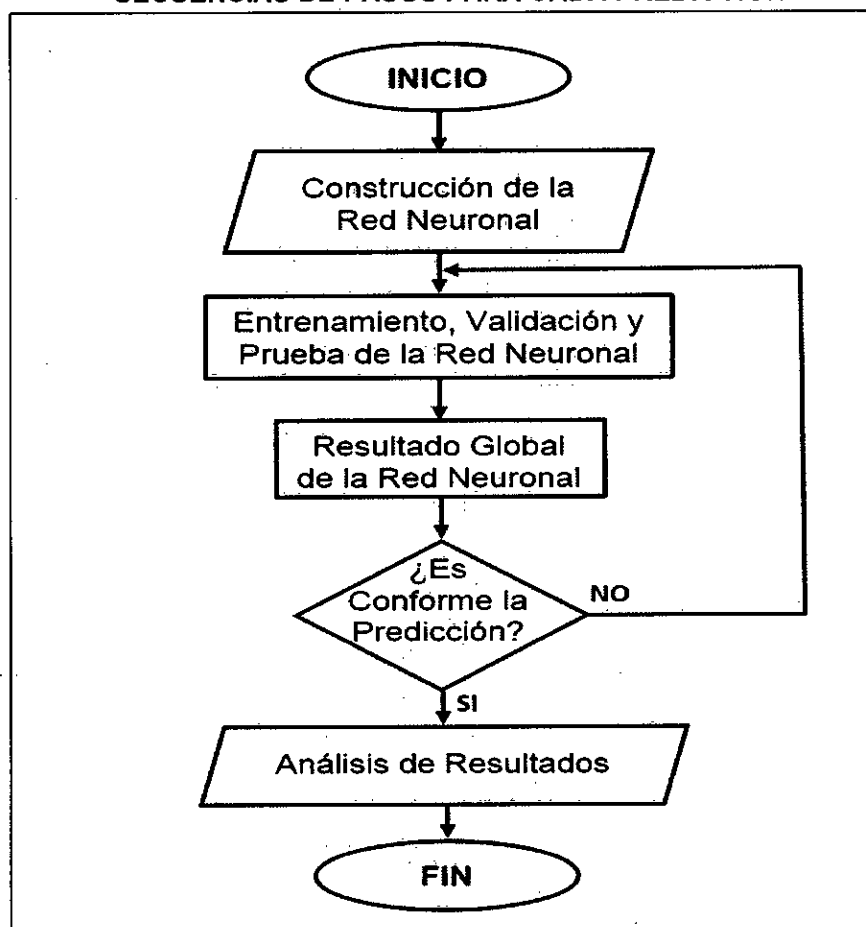
Constó de lo siguiente:

- a. Una vez finalizada la fase de recolección de los datos, se procedió a la codificación de los mismos y a su tabulación mediante el registro de los datos obtenidos, para todo ello se utilizó, la hoja de cálculos Microsoft Excel en su versión 2013.
- b. Con el objeto de depurar la base de datos y detectar posibles errores en la trascipción de los datos, se procedió a verificar con el cuaderno de registros y una vez verificado, se realizó la corrección pertinente en los casos que fueron necesarios.
- c. Los datos asignados estuvieron divididos de la siguiente manera:
 - El 70% de los datos fueron usados para el entrenamiento, el cual fue el indicativo del grado de ajuste de la red neuronal para la predicción.
 - El 15% de los datos fueron usados para validar que la red neuronal está generalizando.
 - El 15% de los datos fueron usados para hacer una prueba completamente independiente de la generalización de la red neuronal.
- d. Para cada hipótesis se utilizó el software Matlab 2015 para las predicciones de los tres modelos de redes neuronales para dos casos separados. Los modelos de redes neuronales para las predicciones fueron los siguientes:

- i) Modelo NARX: Para predecir los valores futuros de una serie de tiempo $y(t)$ desde los valores pasados de esa serie de tiempo y valores pasados de una segunda serie de tiempo $x(t)$.
- ii) Modelo NAR: Para predecir los valores futuros de la serie temporal $y(t)$ a partir de valores pasados de esa serie. Solo hay una serie de datos involucrados.
- iii) Modelo Entrada Salida no Lineal: Para predecir los valores futuros de la serie $y(t)$, a partir de los valores $x(t)$, pero sin conocimiento de los valores anteriores de $y(t)$.

La secuencia de cada una de las siguientes predicciones realizadas con las redes neuronales se ilustra en la siguiente figura:

**FIGURA N° 4.1
SECUENCIAS DE PASOS PARA CADA PREDICCIÓN**



Fuente: Elaboración propia

- e. Se diagramaron los rendimientos de las redes neuronales, además de las regresiones de los resultados obtenidos y otros instrumentos de exposición de datos para la mejor presentación de la información obtenida. Los apéndices desde el N°1 hasta el apéndice N° 18 detallan la funciones Matlab de cada predicción realizada).
- f. Para la contrastación de hipótesis, se utilizó el procedimiento estadístico de prueba de hipótesis con nivel de significancia de 0.01, en base al coeficiente de correlación “R” de los resultados globales promedio de cada modelo de red neuronal estudiado.

V. RESULTADOS

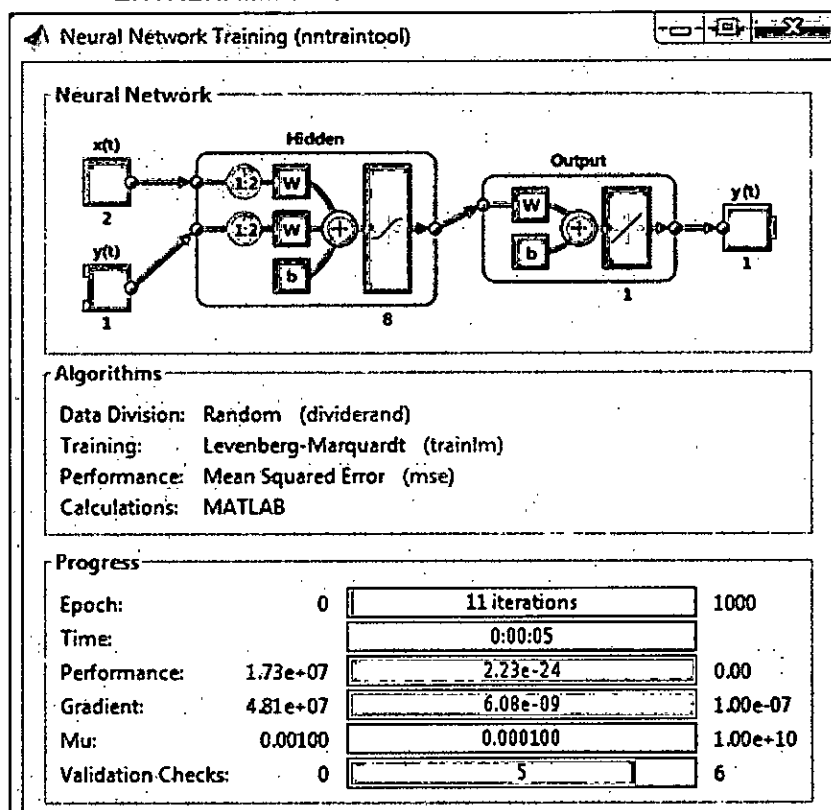
5.1 Resultados de los ensayos correspondientes a la Hipótesis 1

5.1.1 Resultados del modelo NARX

a) Caso 1

La red NARX contó con una función de transferencia sigmoidea por defecto en la capa oculta y una función de transferencia lineal en la capa de salida. Las entradas fueron dos: Una entrada externa y otra de retroalimentación de la salida de la red. Para el entrenamiento se configuró la red con ocho neuronas ocultas y dos retardos, como muestra la figura siguiente.

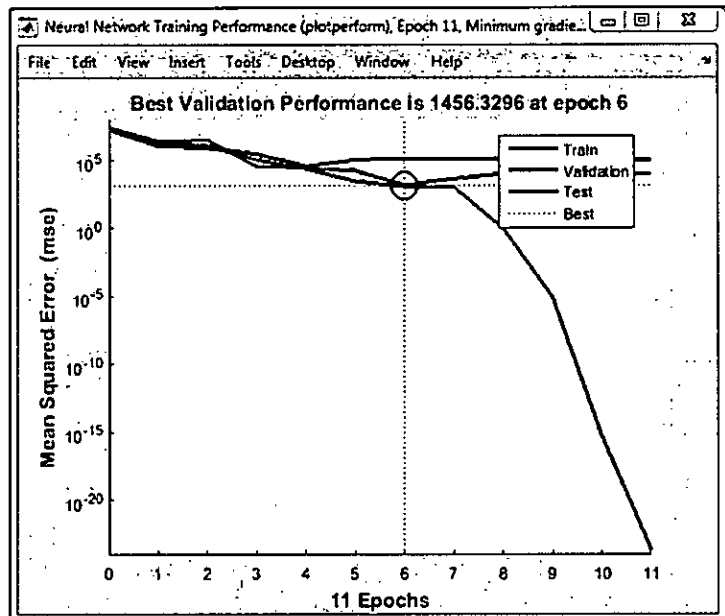
FIGURA N° 5.1
ENTRENAMIENTO DE LA RED NEURONAL NARX



Fuente: Elaboración propia

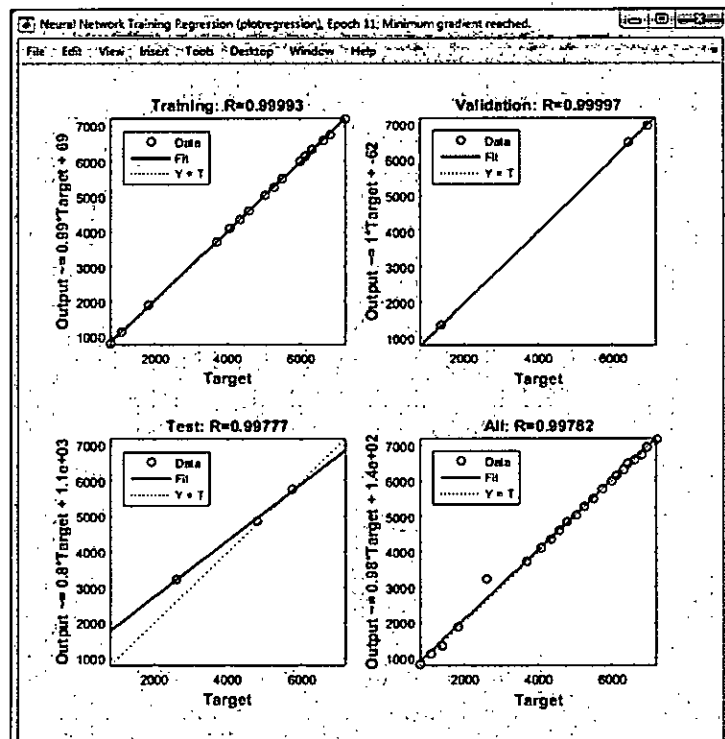
La Figura N°5.2 muestra el rendimiento de la red NARX hasta alcanzar el mejor valor del error cuadrático medio (ECM) en el ciclo 6, con el valor 1456.33. La Figura N°5.3 ilustra los coeficientes de correlación en las distintas fases y el coeficiente de correlación global: 0.998.

FIGURA N° 5.2
RENDIMIENTO DE LA RED NEURONAL NARX



Fuente: Elaboración propia

FIGURA N° 5.3
CORRELACIONES DE LA RED NEURONAL NARX

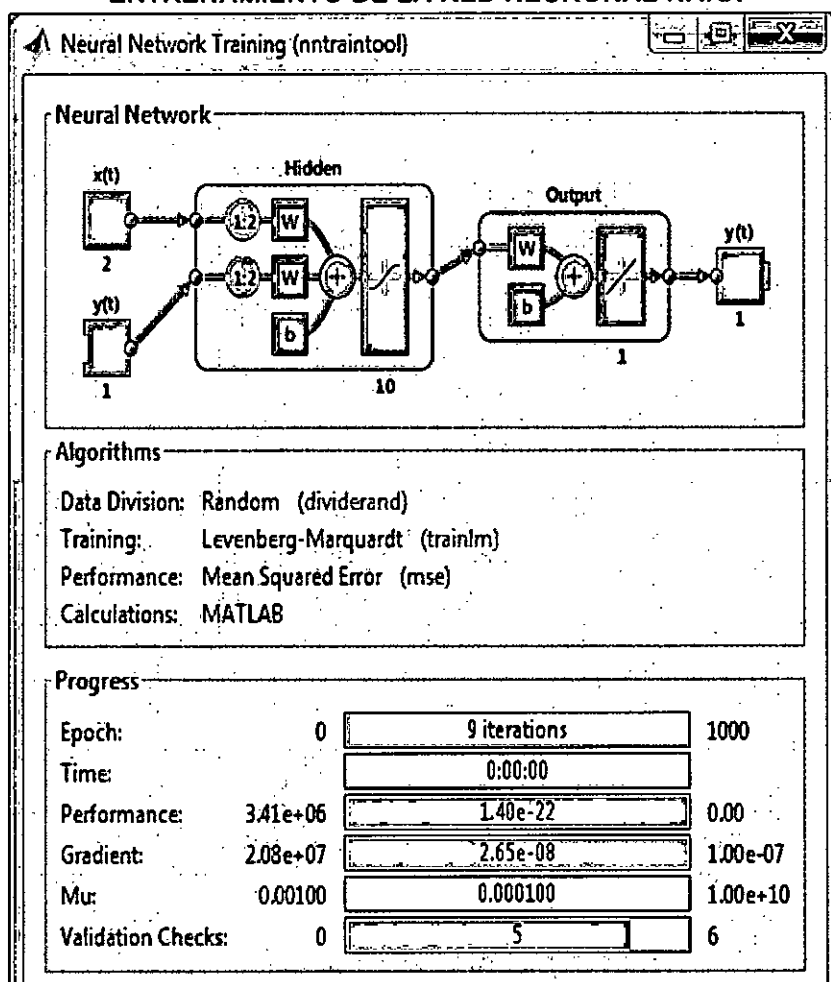


Fuente: Elaboración propia

b) Caso 2

La red NARX contó con una función de transferencia sigmoidea por defecto en la capa oculta y una función de transferencia lineal en la capa de salida. Las entradas fueron dos: Una entrada externa y otra de retroalimentación de la salida de la red. Para el entrenamiento se configuró la red con diez neuronas ocultas y dos retardos, como muestra la figura siguiente.

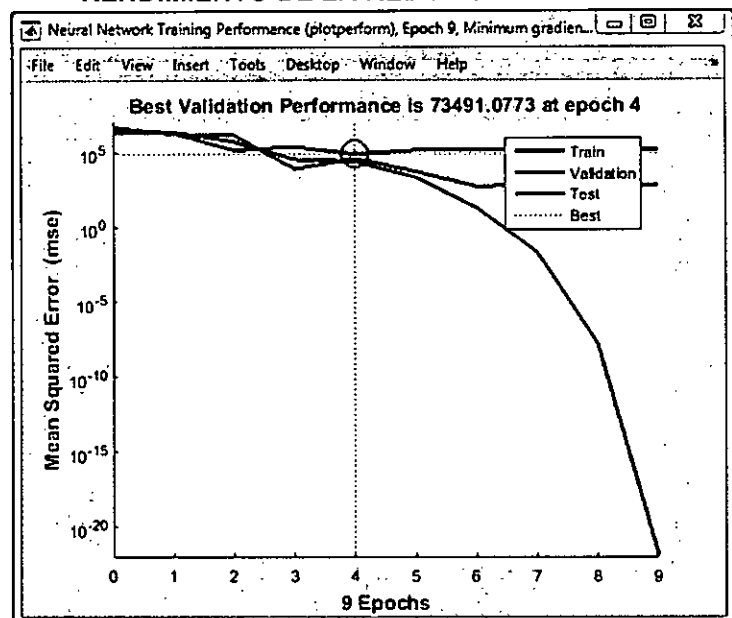
FIGURA N° 5.4
ENTRENAMIENTO DE LA RED NEURONAL NARX



Fuente: Elaboración propia

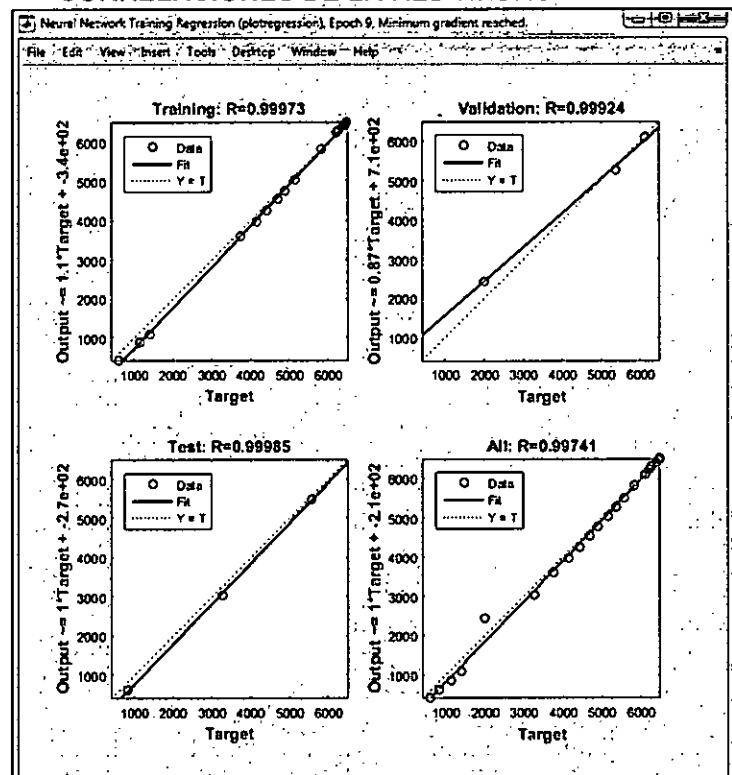
La Figura N°5.5 muestra el rendimiento de la red NARX, hasta alcanzar el mejor valor del error cuadrático medio (ECM) en el ciclo 4, con el valor de 73491.08. La Figura N°5.6 ilustra los coeficientes de correlación en las distintas fases y el coeficiente de correlación global: 0.997.

FIGURA N° 5.5
RENDIMIENTO DE LA RED NEURONAL NARX



Fuente: Elaboración propia

FIGURA N° 5.6
CORRELACIONES DE LA RED NEURONAL NARX



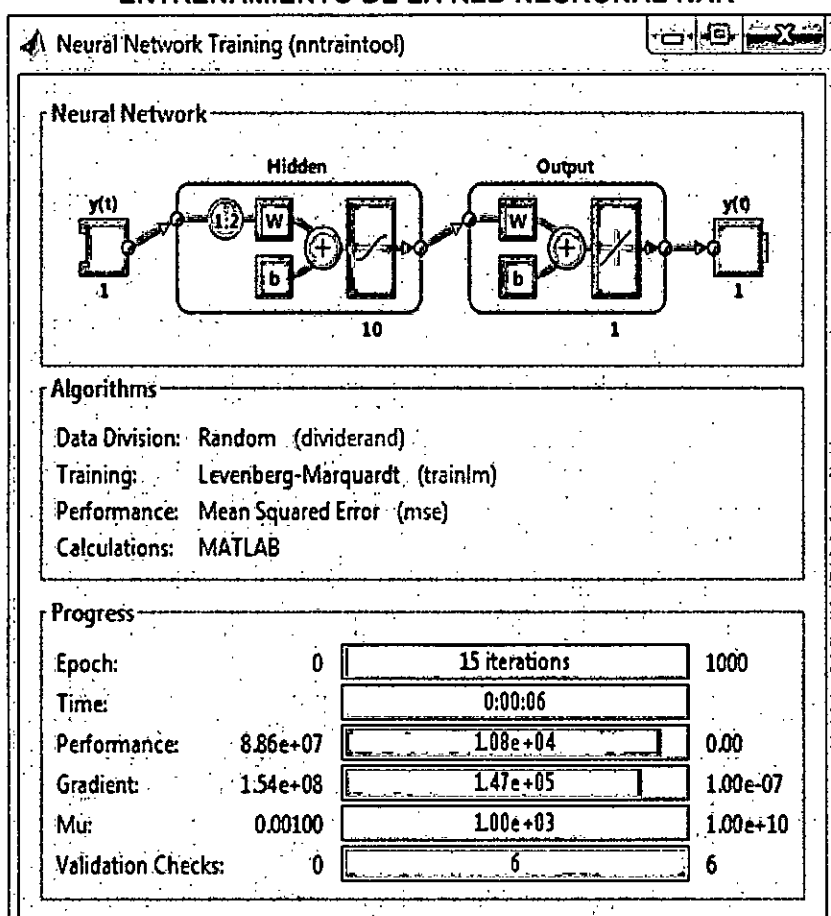
Fuente: Elaboración propia

5.1.2 Resultados del modelo NAR

a) Caso 1

La red NAR contó con una función de transferencia sigmoidea por defecto en la capa oculta y una función de transferencia lineal en la capa de salida. Los valores de entrada fueron los datos pasados de la serie a predecir. Para el entrenamiento se configuró la red con diez neuronas ocultas y dos retardos, como muestra la figura siguiente.

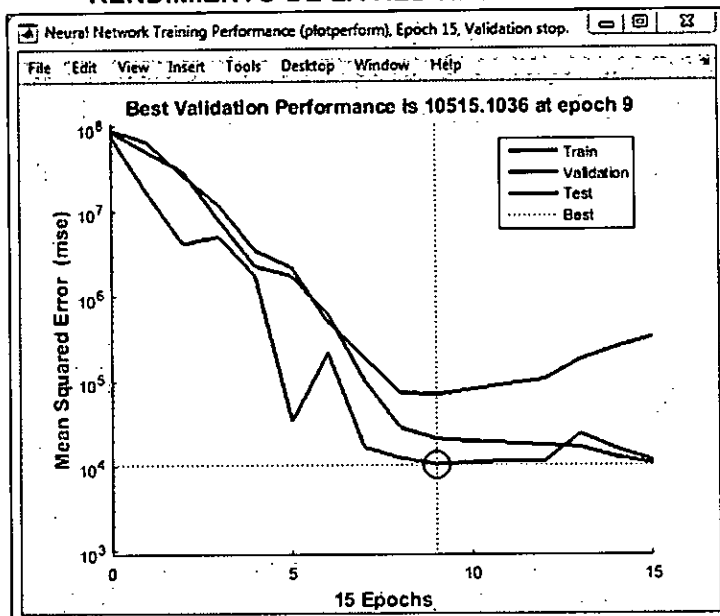
FIGURA N° 5.7
ENTRENAMIENTO DE LA RED NEURONAL NAR



Fuente: Elaboración propia

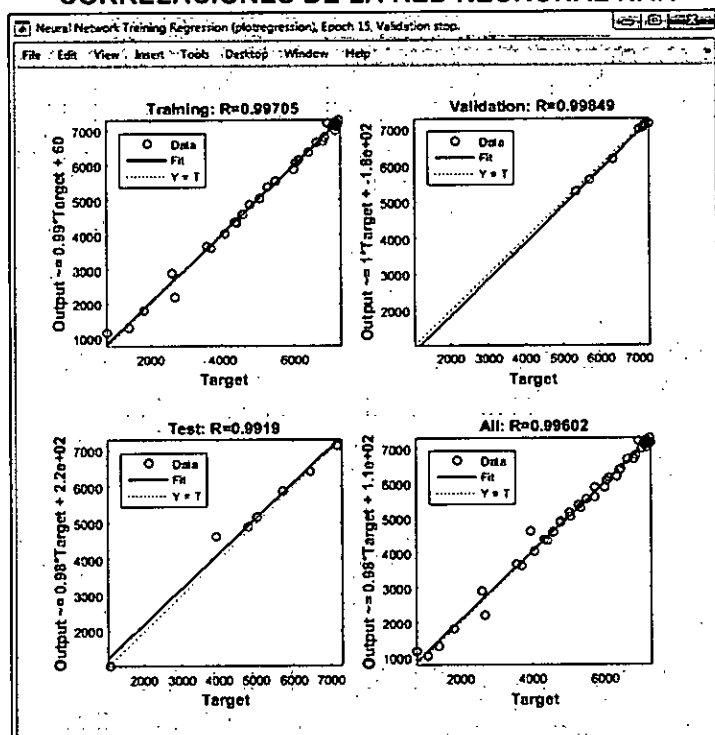
La Figura N°5.8 muestra el rendimiento de la red NAR, hasta alcanzar el mejor valor del error cuadrático medio (ECM) en el ciclo 9, con el valor de 10515.1. La Figura N°5.9 ilustra los coeficientes de correlación en las distintas fases y el coeficiente de correlación global: 0.996.

FIGURA N° 5.8
RENDIMIENTO DE LA RED NEURONAL NAR



Fuente: Elaboración propia

FIGURA N° 5.9
CORRELACIONES DE LA RED NEURONAL NAR

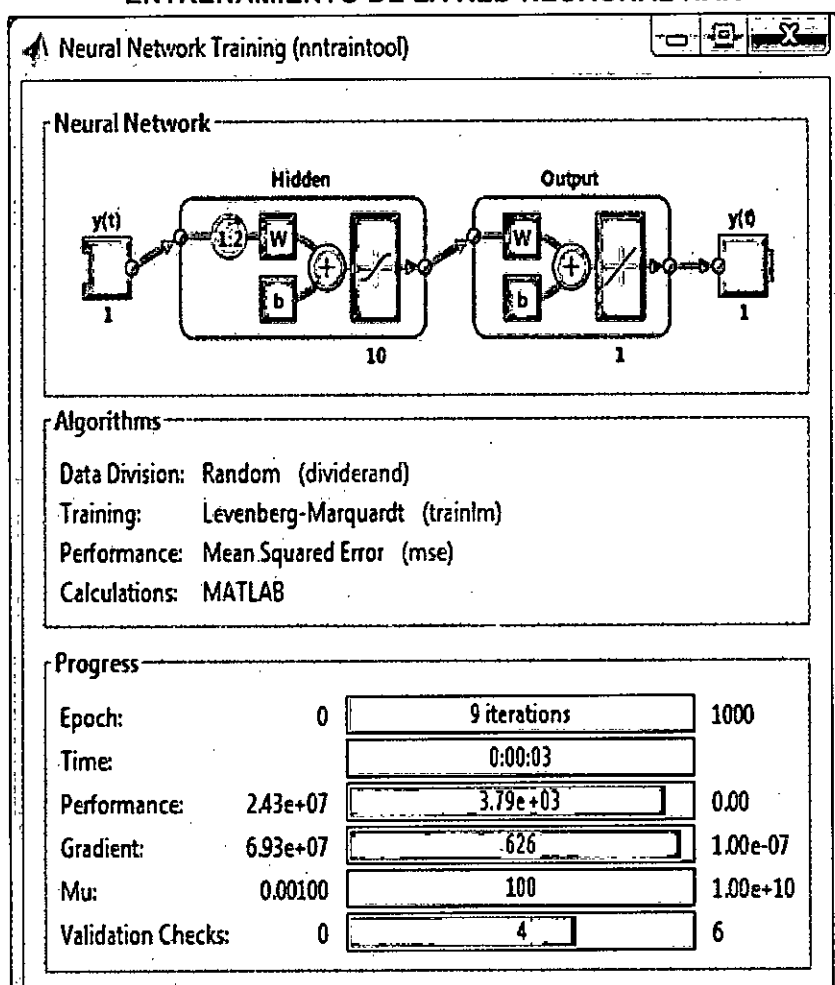


Fuente: Elaboración propia

b) Caso 2

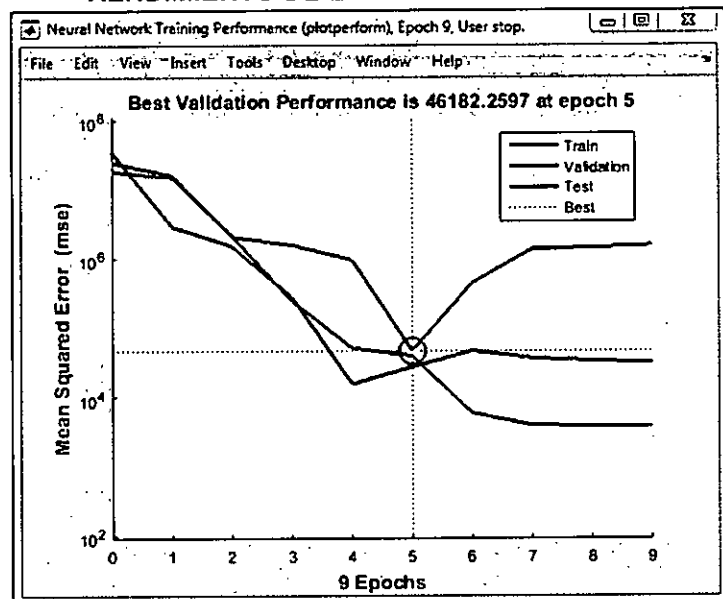
La red NAR contó con una función de transferencia sigmoidea por defecto en la capa oculta y una función de transferencia lineal en la capa de salida. Los valores de entrada fueron los datos pasados de la serie a predecir. Para el entrenamiento se configuró la red con diez neuronas ocultas y dos retardos, como muestra la figura siguiente.

FIGURA N° 5.10
ENTRENAMIENTO DE LA RED NEURONAL NAR



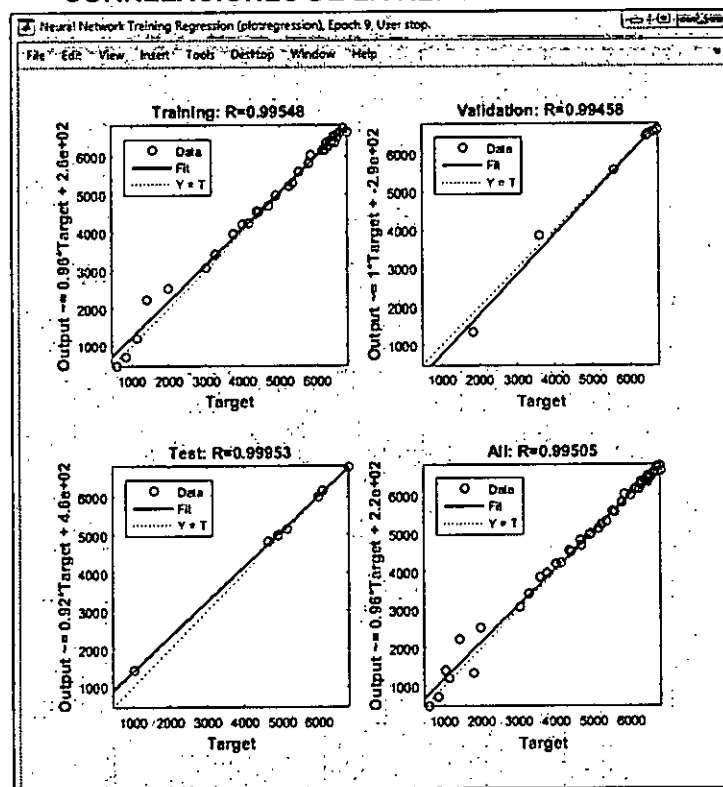
La Figura N°5.11 muestra el rendimiento de la red NAR, hasta alcanzar el mejor valor del error cuadrático medio (ECM) en el ciclo 5, con el valor de 46182.26. La Figura N°5.12 ilustra los coeficientes de correlación en las distintas fases y el coeficiente de correlación global: 0.995.

FIGURA N° 5.11
RENDIMIENTO DE LA RED NEURONAL NAR



Fuente: Elaboración propia

FIGURA N° 5.12
CORRELACIONES DE LA RED NEURONAL NAR



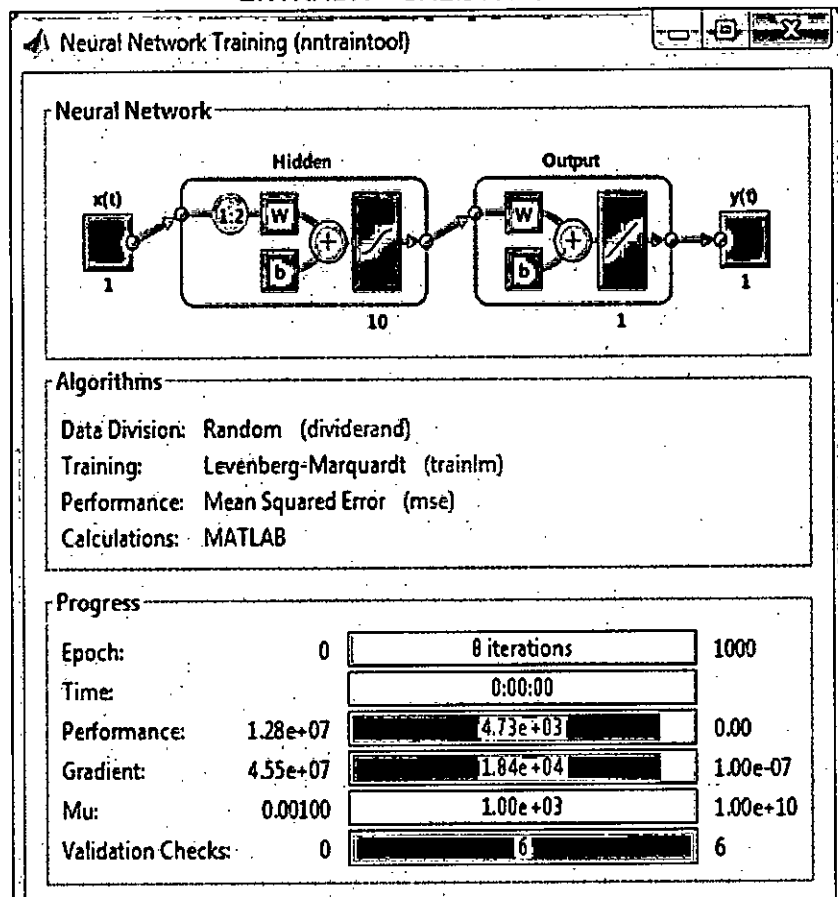
Fuente: Elaboración propia

5.1.3 Resultados del modelo Entrada- Salida no lineal

a) Caso 1

La red de Entrada Salida no lineal contó con una función de transferencia sigmoidea por defecto en la capa oculta y una función de transferencia lineal en la capa de salida. Los valores de entrada fueron datos pasados distintos a los de la serie a predecir. Para el entrenamiento se configuró la red con diez neuronas ocultas y dos retardos, como muestra la figura siguiente.

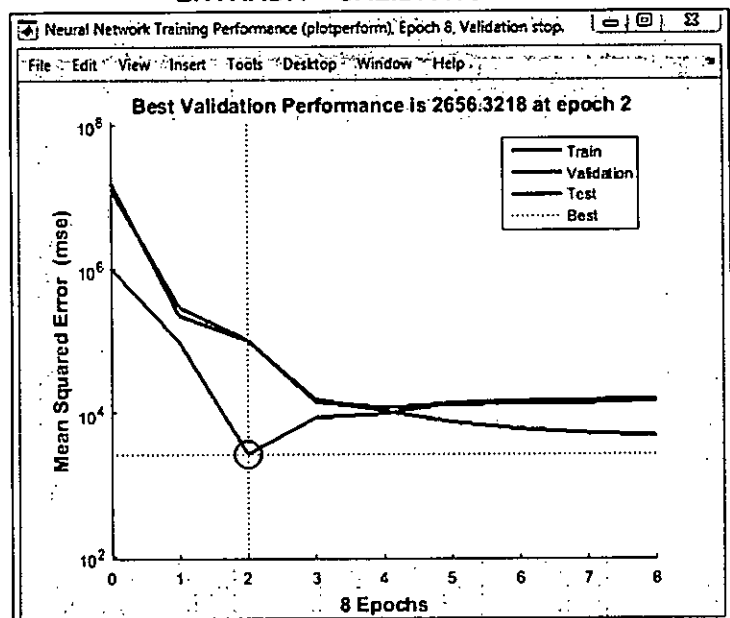
FIGURA N° 5.13
ENTRENAMIENTO DE LA RED NEURONAL DE
ENTRADA – SALIDA NO LINEAL



Fuente: Elaboración propia

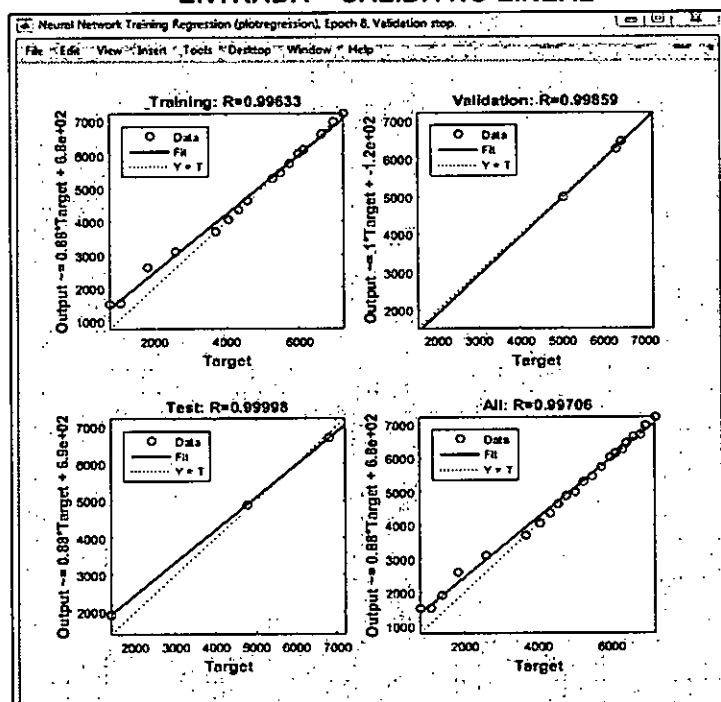
La Figura N°5.14 siguiente muestra el rendimiento de la red de Entrada Salida, hasta alcanzar el mejor valor del error cuadrático medio (ECM) en el ciclo 2, con el valor 2656.32. La Figura N°5.15 ilustra los coeficientes de correlación en las distintas fases y el coeficiente de correlación global: 0.997.

FIGURA N° 5.14
RENDIMIENTO DE LA RED NEURONAL DE
ENTRADA – SALIDA NO LINEAL



Fuente: Elaboración propia

FIGURA N° 5.15
CORRELACIONES DE LA RED NEURONAL DE
ENTRADA – SALIDA NO LINEAL

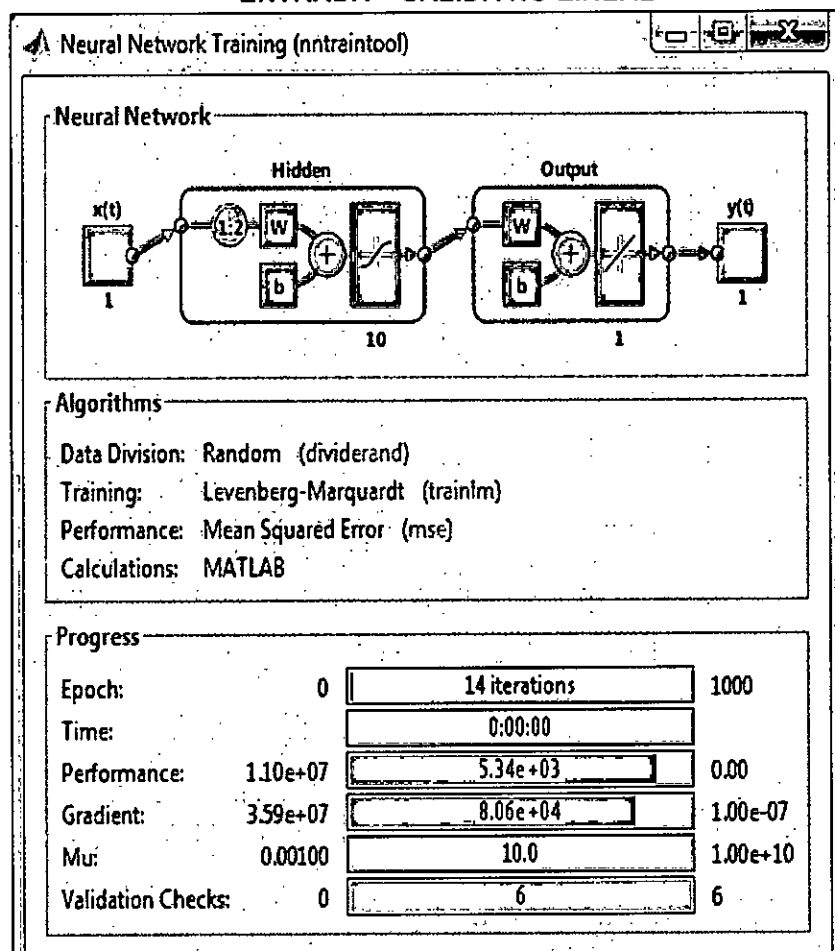


Fuente: Elaboración propia

b) Caso 2

La red de Entrada Salida no lineal contó con una función de transferencia sigmoidea por defecto en la capa oculta y una función de transferencia lineal en la capa de salida. Los valores de entrada fueron datos pasados distintos a los de la serie a predecir. Para el entrenamiento se configuró la red con diez neuronas ocultas y dos retardos, como muestra la figura siguiente.

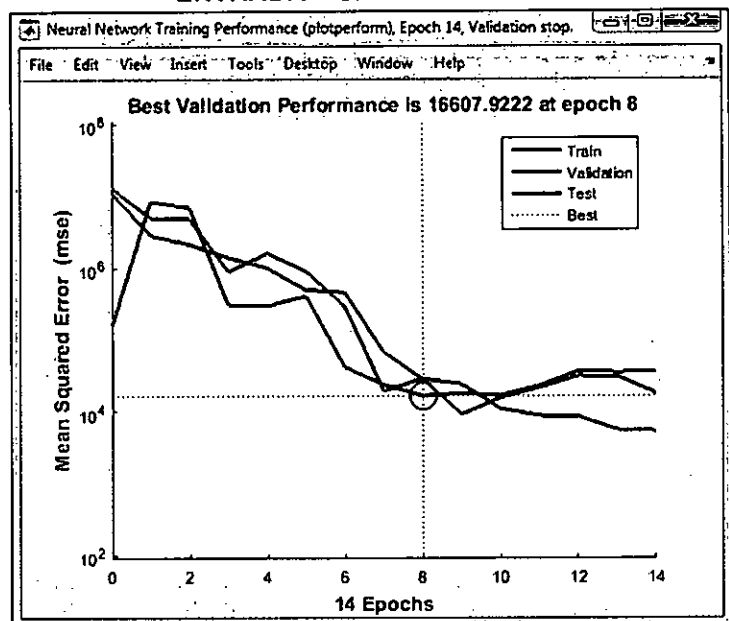
FIGURA N° 5.16
ENTRENAMIENTO DE LA RED NEURONAL DE
ENTRADA – SALIDA NO LINEAL



Fuente: Elaboración propia

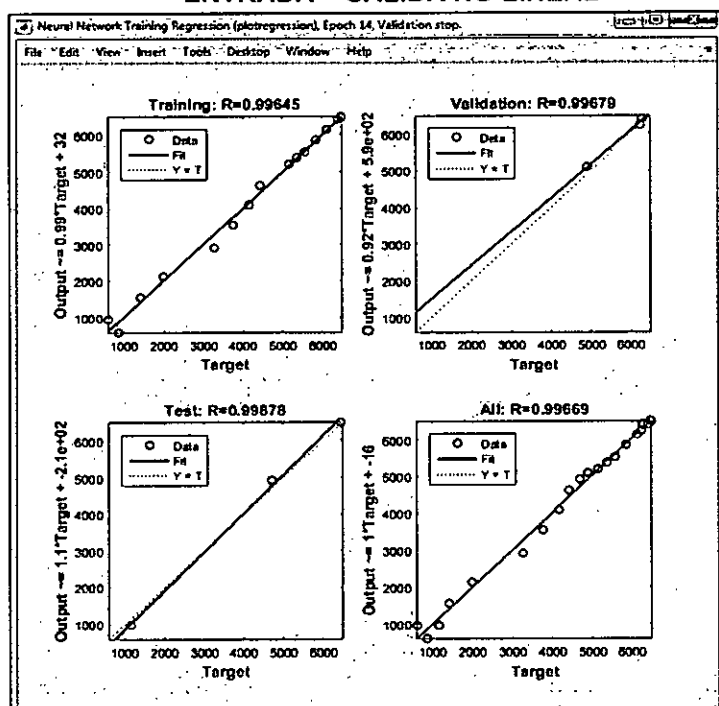
La Figura N°5.17 muestra el rendimiento de la red de Entrada Salida, hasta alcanzar el mejor valor del error cuadrático medio (ECM) en el ciclo 8, con el valor 16607.92. La Figura N°5.18 ilustra los coeficientes de correlación en las distintas fases y el coeficiente de correlación global: 0.997.

FIGURA N° 5.17
RENDIMIENTO DE LA RED NEURONAL DE
ENTRADA – SALIDA NO LINEAL



Fuente: Elaboración propia

FIGURA N° 5.18
CORRELACIONES DE LA RED NEURONAL DE
ENTRADA – SALIDA NO LINEAL



Fuente: Elaboración propia

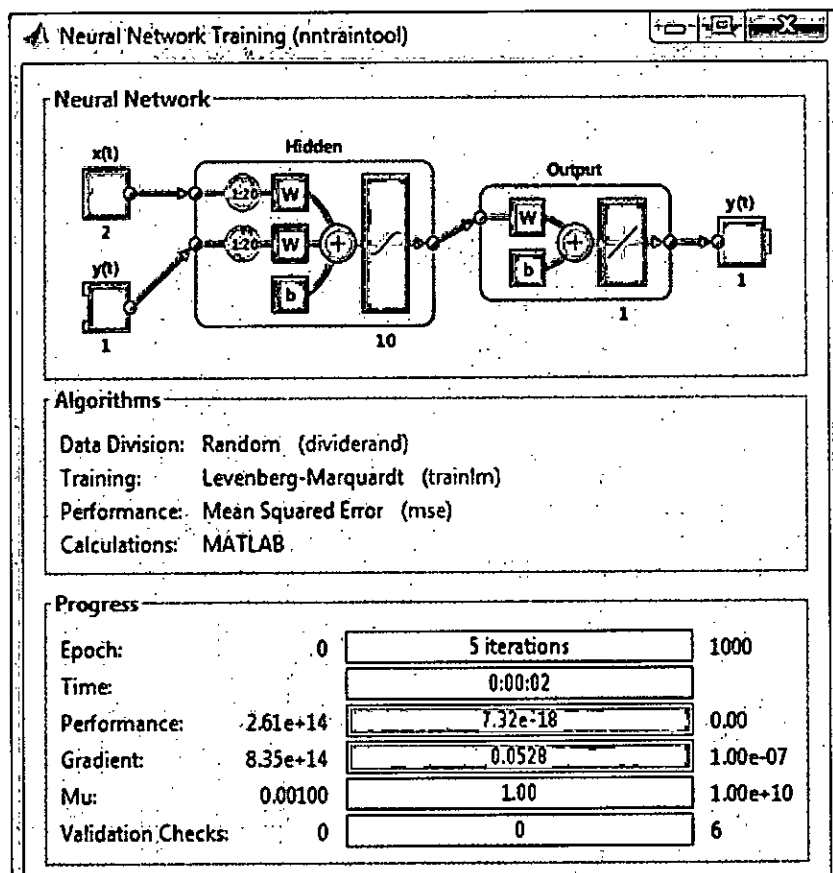
5.2 Resultados de los ensayos correspondientes a la Hipótesis 2

5.2.1 Resultados del modelo NARX

a) Caso 1

La red NARX contó con una función de transferencia sigmoidea por defecto en la capa oculta y una función de transferencia lineal en la capa de salida. Las entradas fueron dos: Una entrada externa y otra de retroalimentación de la salida de la red. Para el entrenamiento se configuró la red con diez neuronas ocultas y veinte retardos, como muestra la figura siguiente.

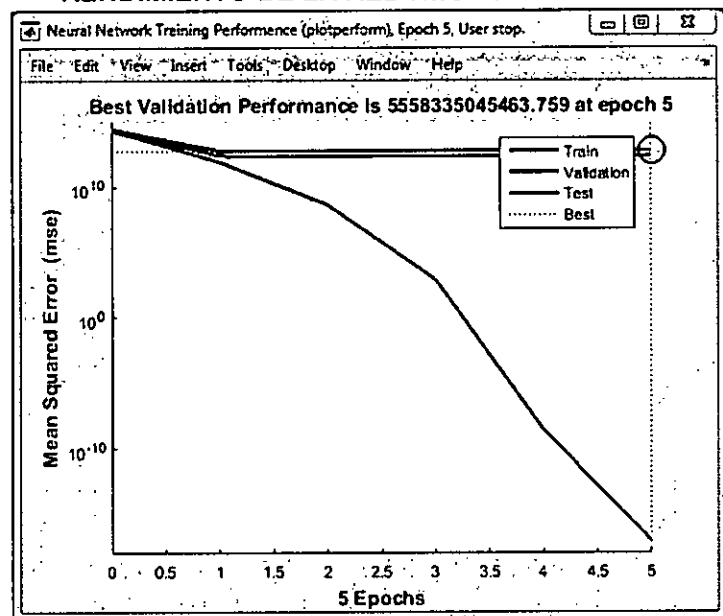
FIGURA N° 5.19
ENTRENAMIENTO DE LA RED NEURONAL NARX



Fuente: Elaboración propia

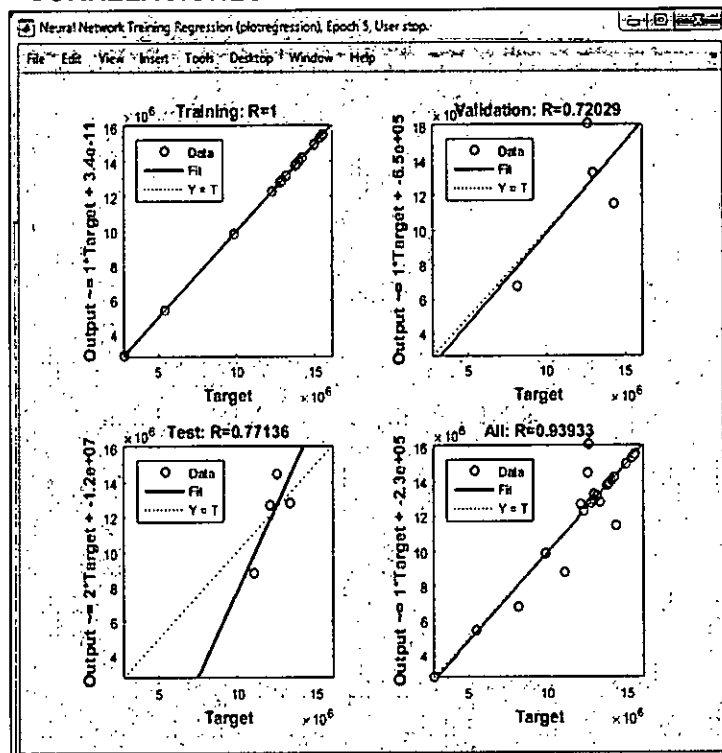
La Figura N°5.20 muestra el rendimiento de la red NARX, hasta alcanzar el mejor valor del error cuadrático medio (ECM) en el ciclo 5, con el valor de 5558335045463.759. La Figura N°5.21 ilustra los coeficientes de correlación en las distintas fases y el coeficiente de correlación global: 0.939.

FIGURA N° 5.20
RENDIMIENTO DE LA RED NEURONAL NARX



Fuente: Elaboración propia

FIGURA N° 5.21
CORRELACIONES DE LA RED NEURONAL NARX

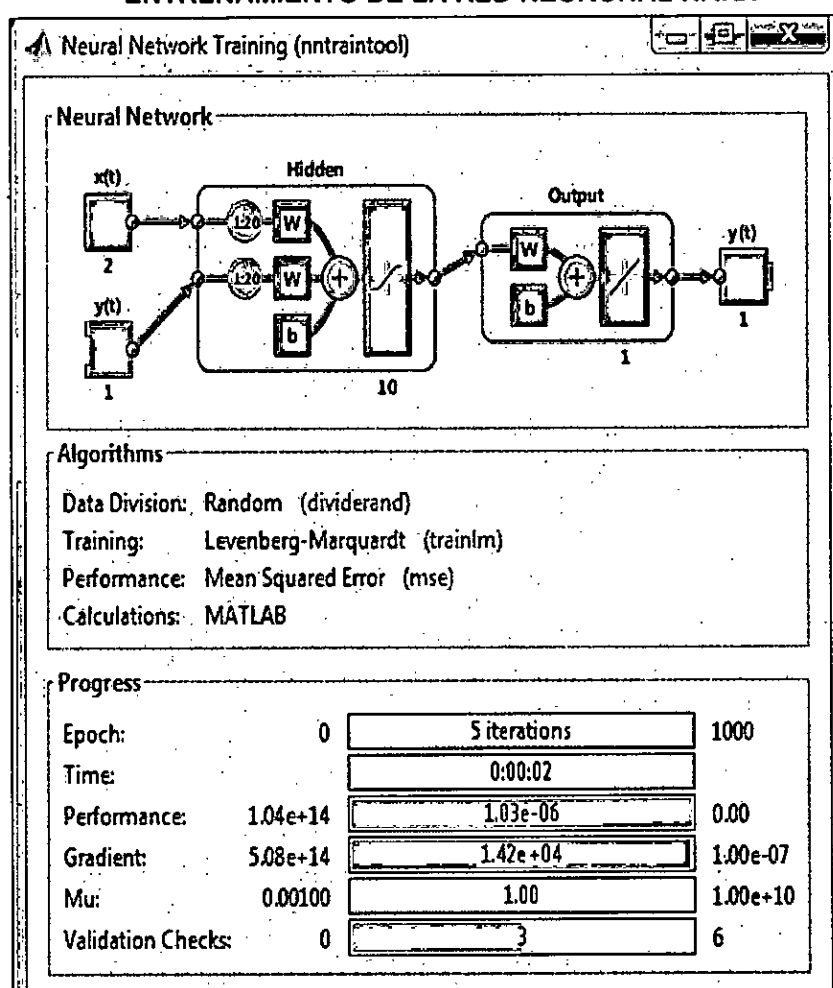


Fuente: Elaboración propia

b) Caso 2

La red NARX contó con una función de transferencia sigmoidea por defecto en la capa oculta y una función de transferencia lineal en la capa de salida. Las entradas fueron dos: Una entrada externa y otra de retroalimentación de la salida de la red. Para el entrenamiento se configuró la red con diez neuronas ocultas y veinte retardos, como muestra la figura siguiente.

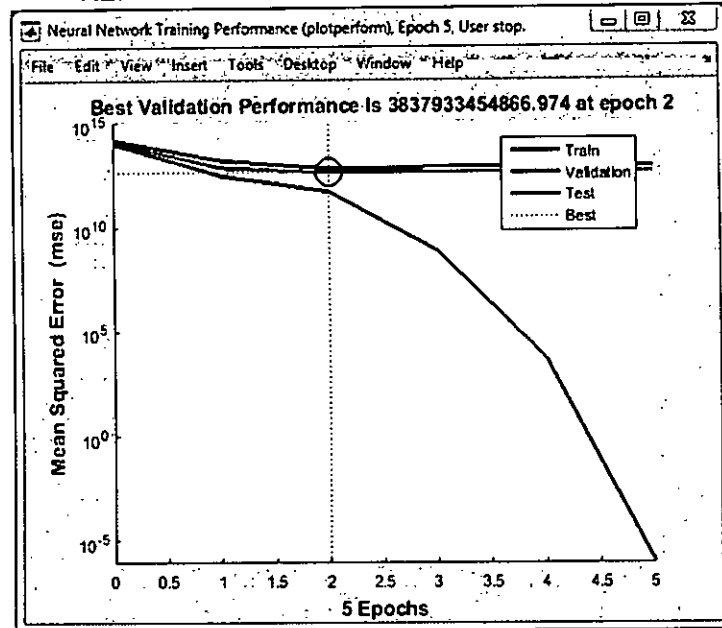
**FIGURA N° 5.22
ENTRENAMIENTO DE LA RED NEURONAL NARX**



Fuente: Elaboración propia

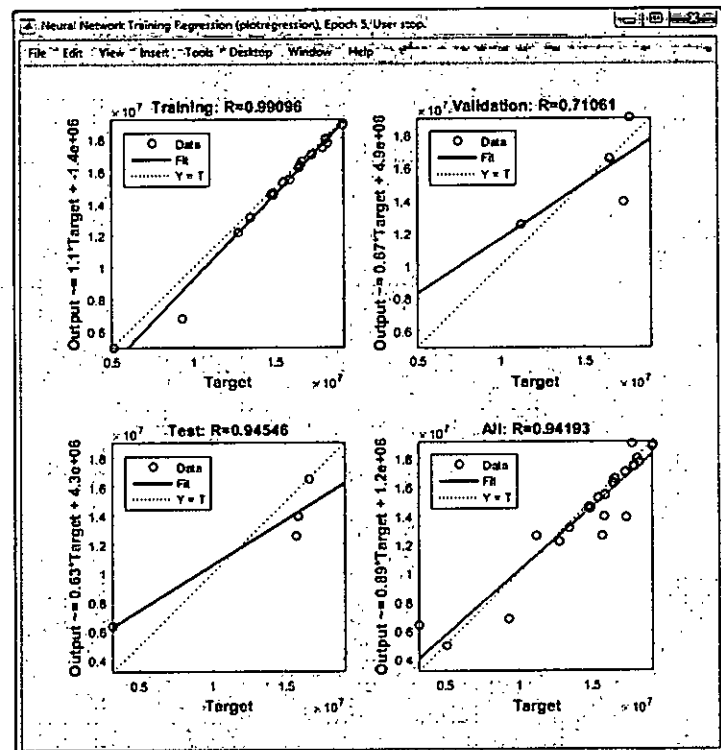
La Figura N°5.23 muestra el rendimiento de la red NARX, hasta alcanzar el mejor valor del error cuadrático medio (ECM) en el ciclo 2, obteniéndose el valor 3837933454866.974. La Figura N°5.24 ilustra los coeficientes de correlación en las distintas fases y el coeficiente de correlación global: 0.942.

FIGURA N° 5.23
RENDIMIENTO DE LA RED NEURONAL NARX



Fuente: Elaboración propia

FIGURA N° 5.24
CORRELACIONES DE LA RED NEURONAL NARX



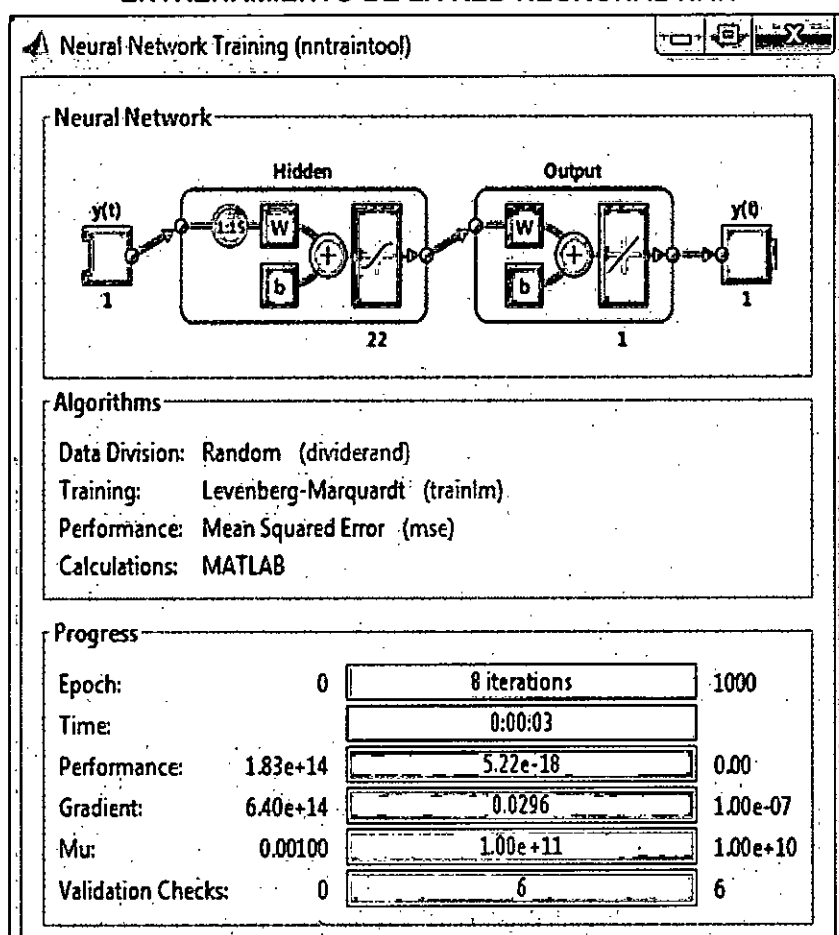
Fuente: Elaboración propia

5.2.2 Resultados del modelo NAR

a) Caso 1

La red NAR contó con una función de transferencia sigmoidea por defecto en la capa oculta y una función de transferencia lineal en la capa de salida. Los valores de entrada fueron los datos pasados de la serie a predecir. Para el entrenamiento se configuró la red con veintidós neuronas ocultas y quince retardos, como muestra la figura siguiente.

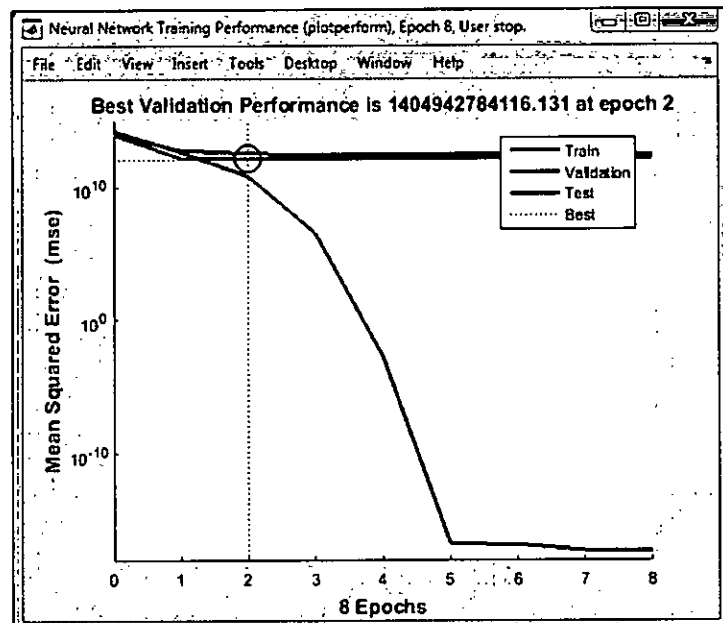
**FIGURA N° 5.25
ENTRENAMIENTO DE LA RED NEURONAL NAR**



Fuente: Elaboración propia

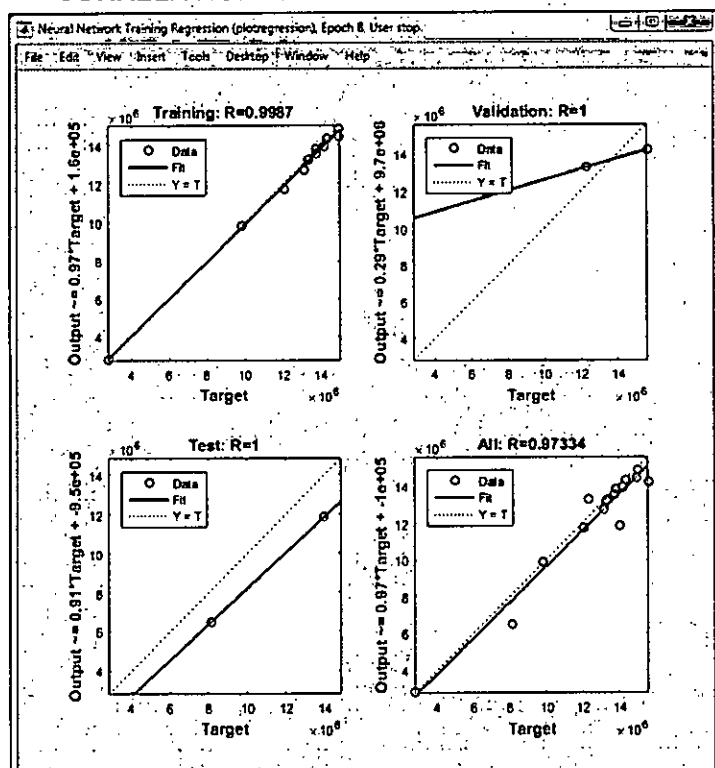
La Figura N°5.26 muestra el rendimiento de la red NAR, hasta alcanzar el mejor valor del error cuadrático medio (ECM) en el ciclo 2, obteniéndose el valor de 1404942784116.13. La Figura N°5.3 ilustra los coeficientes de correlación en las distintas fases y el coeficiente de correlación global: 0.973.

FIGURA N° 5.26
RENDIMIENTO DE LA RED NEURONAL NAR



Fuente: Elaboración propia

FIGURA N° 5.27
CORRELACIONES DE LA RED NEURONAL NAR

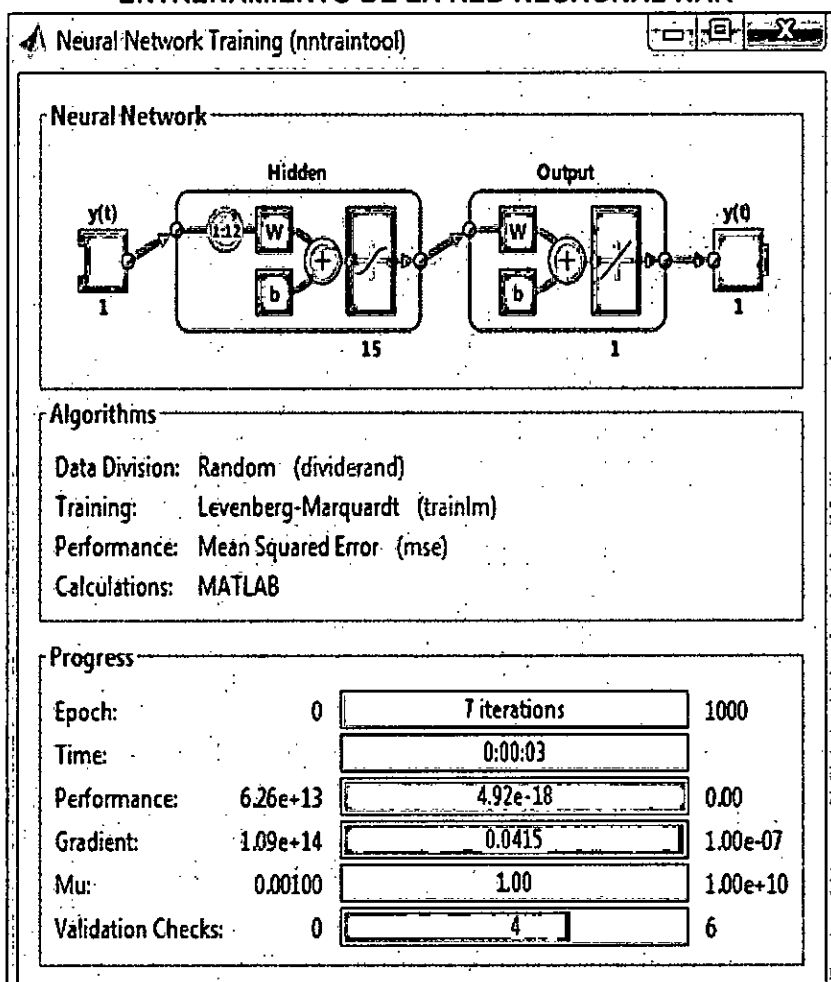


Fuente: Elaboración propia

b) Caso 2

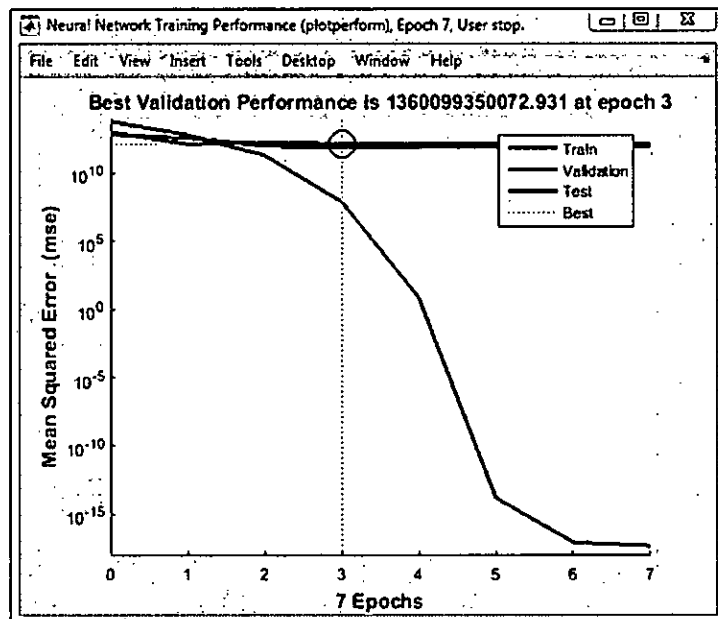
La red NAR contó con una función de transferencia sigmoidea por defecto en la capa oculta y una función de transferencia lineal en la capa de salida. Los valores de entrada fueron los datos pasados de la serie a predecir. Para el entrenamiento se configuró la red con quince neuronas ocultas y doce retardos, como muestra la figura siguiente.

FIGURA N° 5.28
ENTRENAMIENTO DE LA RED NEURONAL NAR



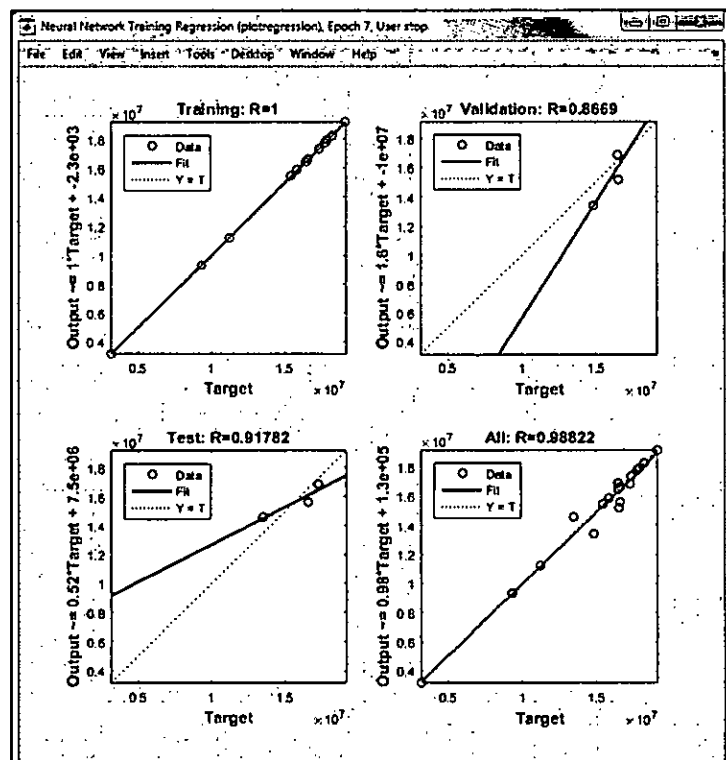
La Figura N°5.29 muestra el rendimiento de la red NAR, hasta alcanzar el mejor valor del error cuadrático medio (ECM) en el ciclo 3, obteniéndose el valor 1360099350072.93. La Figura N°5.3 ilustra los coeficientes de correlación en las distintas fases y el coeficiente de correlación global: 0.988.

FIGURA N° 5.29
RENDIMIENTO DE LA RED NEURONAL NAR



Fuente: Elaboración propia

FIGURA N° 5.30
CORRELACIONES DE LA RED NEURONAL NAR



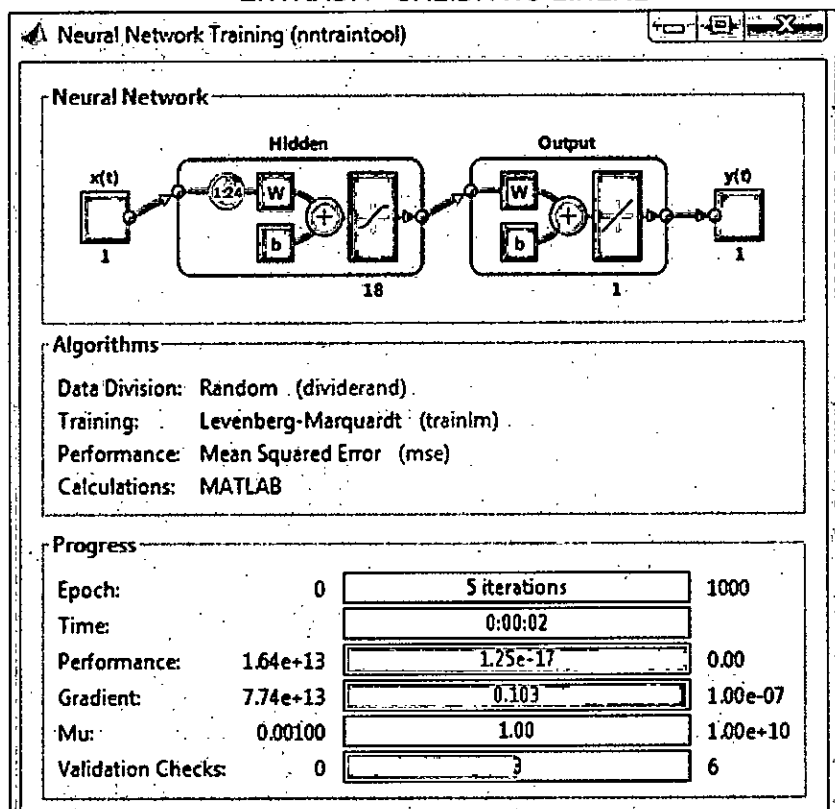
Fuente: Elaboración propia

5.2.3 Resultados del modelo Entrada- Salida no lineal

a) Caso 1

La red de Entrada Salida no lineal contó con una función de transferencia sigmoidea por defecto en la capa oculta y una función de transferencia lineal en la capa de salida. Los valores de entrada fueron datos pasados distintos a los de la serie a predecir. Para el entrenamiento se configuró la red con dieciocho neuronas ocultas y veinticuatro retardos, como muestra la figura siguiente.

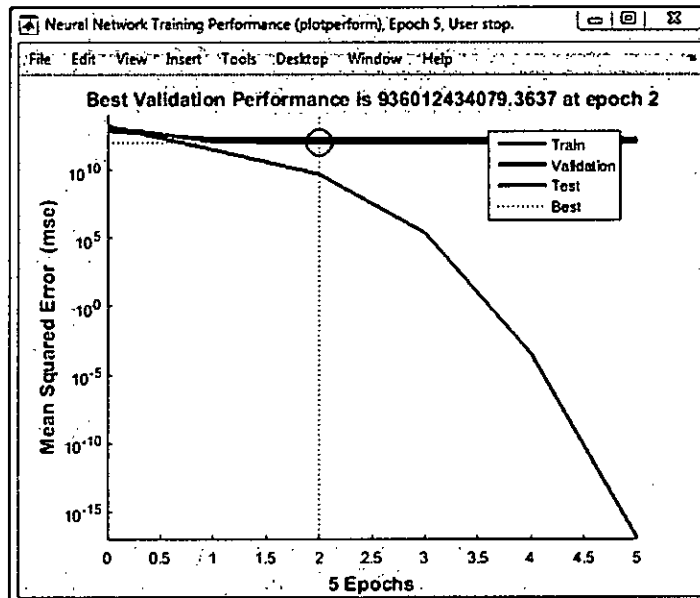
FIGURA N° 5.31
ENTRENAMIENTO DE LA RED NEURONAL DE
ENTRADA - SALIDA NO LINEAL



Fuente: Elaboración propia

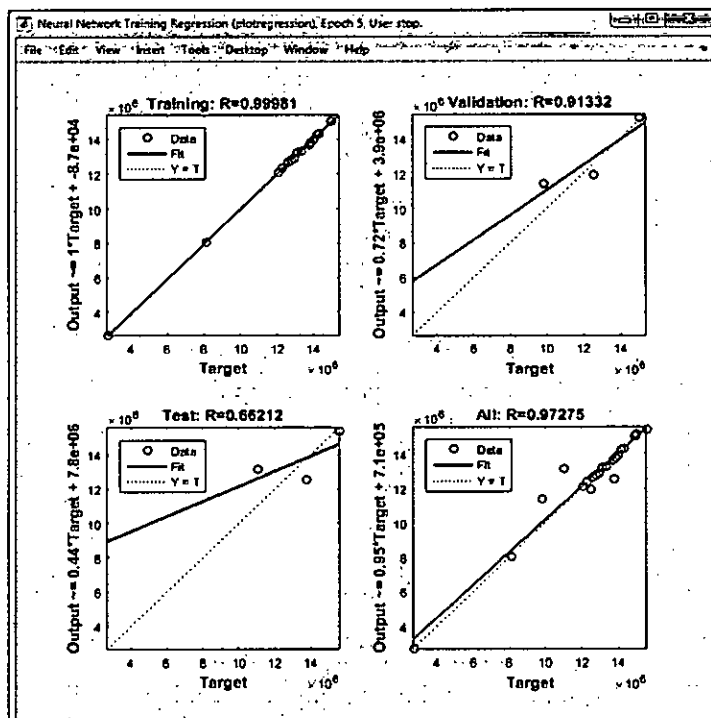
La Figura N°5.32 muestra el rendimiento de la red de Entrada Salida, hasta alcanzar el mejor valor del error cuadrático medio (ECM) en el ciclo 2, obteniéndose el valor 936012434079.36. La Figura N°5.33 ilustra los coeficientes de correlación en las distintas fases y el coeficiente de correlación global: 0.973.

FIGURA N° 5.32
RENDIMIENTO DE LA RED NEURONAL DE
ENTRADA - SALIDA NO LINEAL



Fuente: Elaboración propia

FIGURA N° 5.33
CORRELACIONES DE LA RED NEURONAL DE
ENTRADA - SALIDA NO LINEAL

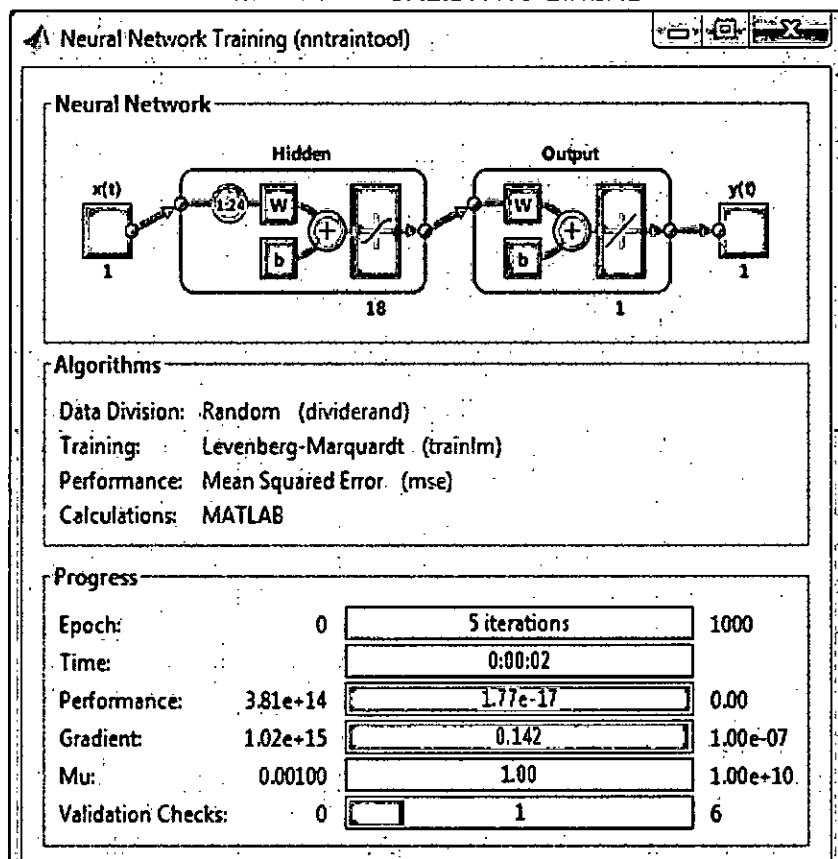


Fuente: Elaboración propia

b) Caso 2

La red de Entrada Salida no lineal contó con una función de transferencia sigmoidea por defecto en la capa oculta y una función de transferencia lineal en la capa de salida. Los valores de entrada fueron datos pasados distintos a los de la serie a predecir. Para el entrenamiento se configuró la red con dieciocho neuronas ocultas y veinticuatro retardos, como muestra la figura siguiente.

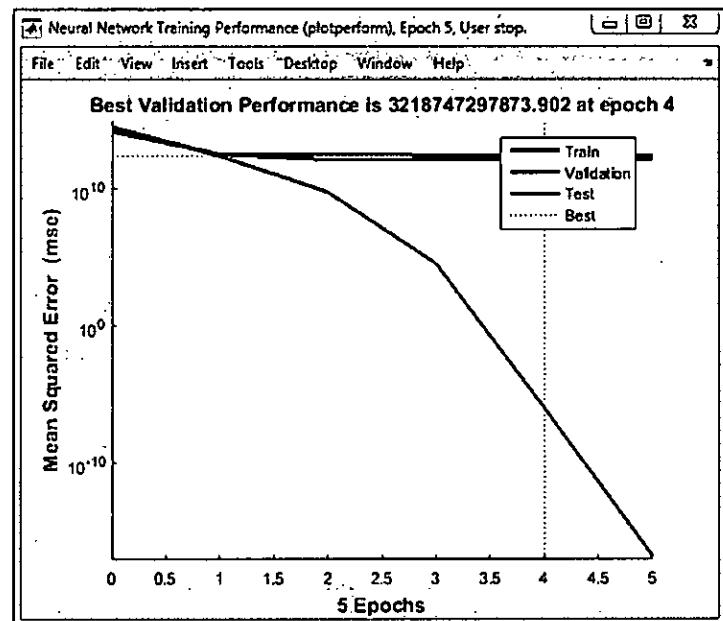
FIGURA N° 5.34
ENTRENAMIENTO DE LA RED NEURONAL DE
ENTRADA - SALIDA NO LINEAL



Fuente: Elaboración propia

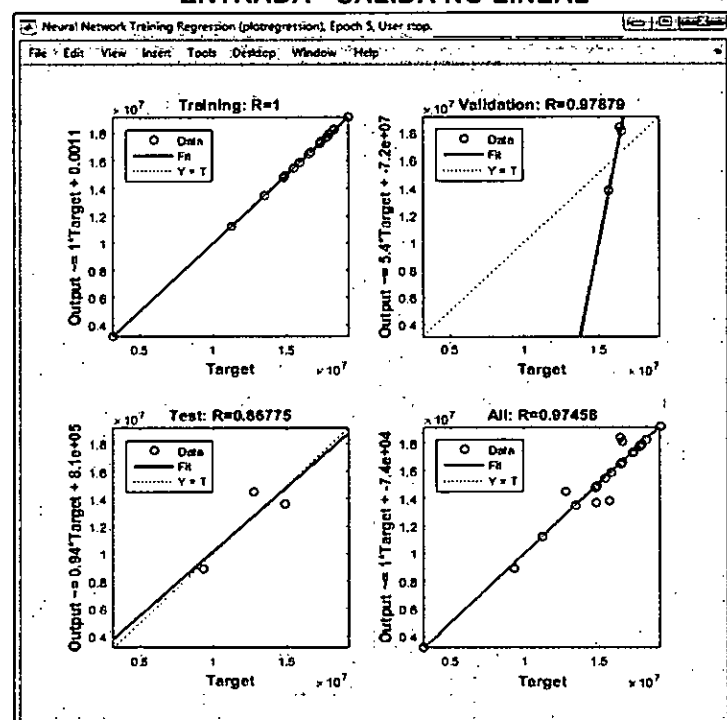
La Figura N°5.35 muestra el rendimiento de la red de Entrada Salida, hasta alcanzar el mejor valor del error cuadrático medio (ECM) en el ciclo 4, obteniéndose el valor 3218747297873.9. La Figura N°5.36 ilustra los coeficientes de correlación en las distintas fases y el coeficiente de correlación global: 0.975.

FIGURA N° 5.35
RENDIMIENTO DE LA RED NEURONAL DE
ENTRADA - SALIDA NO LINEAL



Fuente: Elaboración propia

FIGURA N° 5.36
CORRELACIONES DE LA RED NEURONAL DE
ENTRADA - SALIDA NO LINEAL



Fuente: Elaboración propia

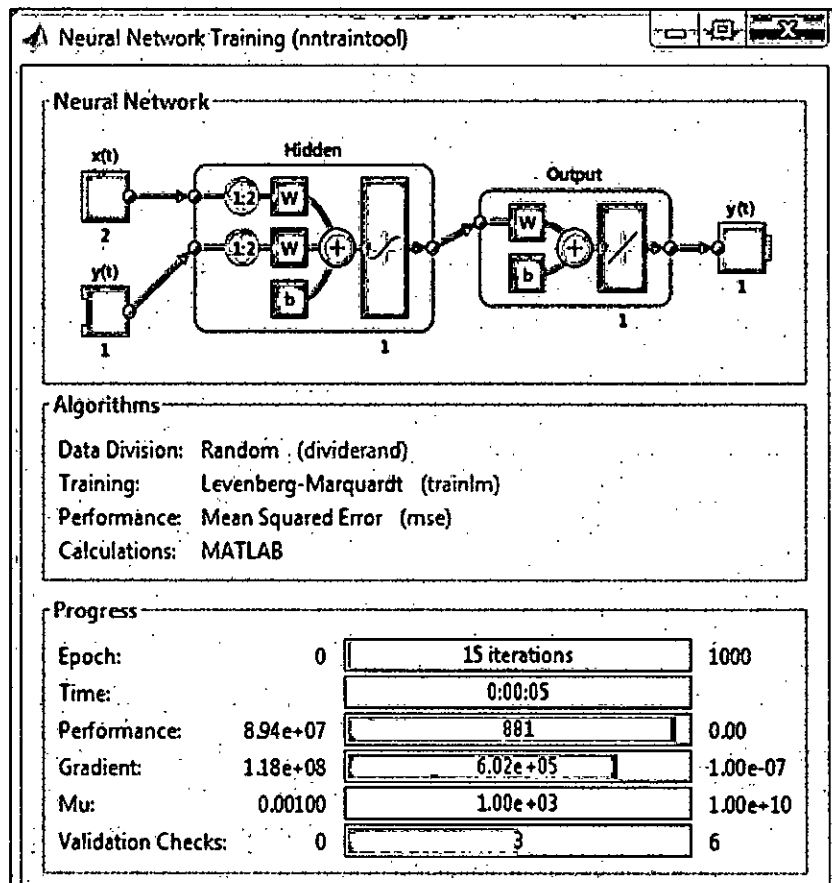
5.3 Resultados de los ensayos correspondientes a la Hipótesis 2

5.3.1 Resultados del modelo NARX

a) Caso 1

La red NARX contó con una función de transferencia sigmoidea por defecto en la capa oculta y una función de transferencia lineal en la capa de salida. Las entradas fueron dos: Una entrada externa y otra de retroalimentación de la salida de la red. Para el entrenamiento se configuró la red con una neurona oculta y dos retardos, como muestra la figura siguiente.

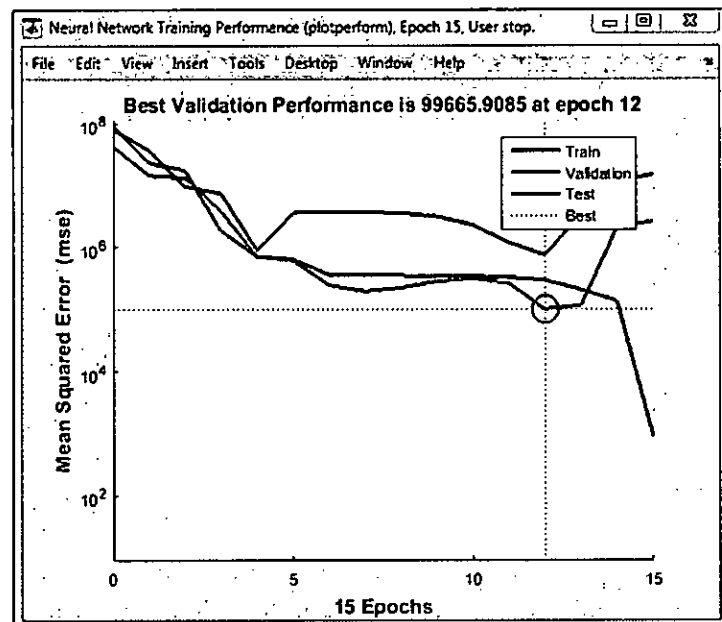
FIGURA N° 5.37
ENTRENAMIENTO DE LA RED NEURONAL NARX



Fuente: Elaboración propia

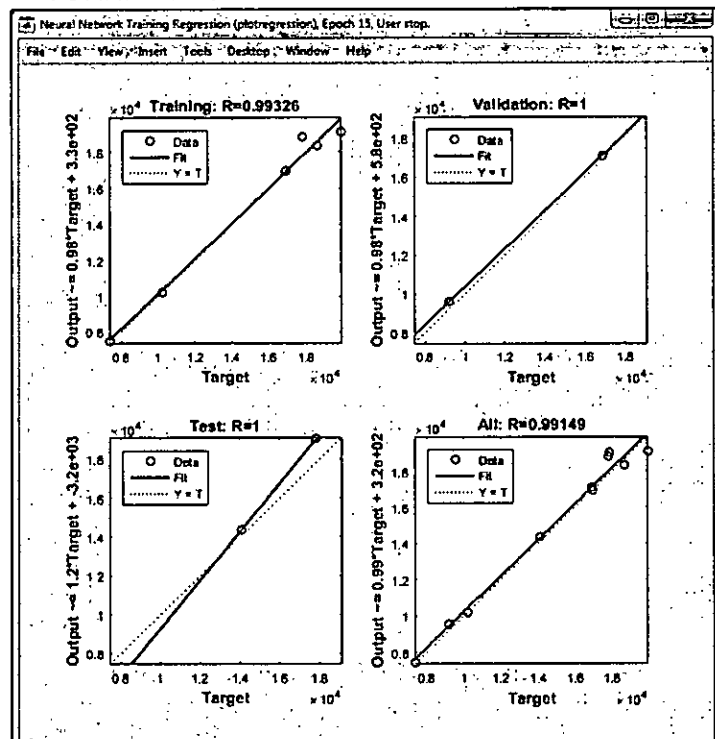
La Figura N°5.38 muestra el rendimiento de la red NARX, hasta alcanzar el mejor valor del error cuadrático medio (ECM) en el ciclo 12, obteniéndose el valor 99665.91. La Figura N°5.39 ilustra los coeficientes de correlación en las distintas fases y el coeficiente de correlación global: 0.991.

FIGURA N° 5.38
RENDIMIENTO DE LA RED NEURONAL NARX



Fuente: Elaboración propia

FIGURA N° 5.39
CORRELACIONES DE LA RED NEURONAL NARX

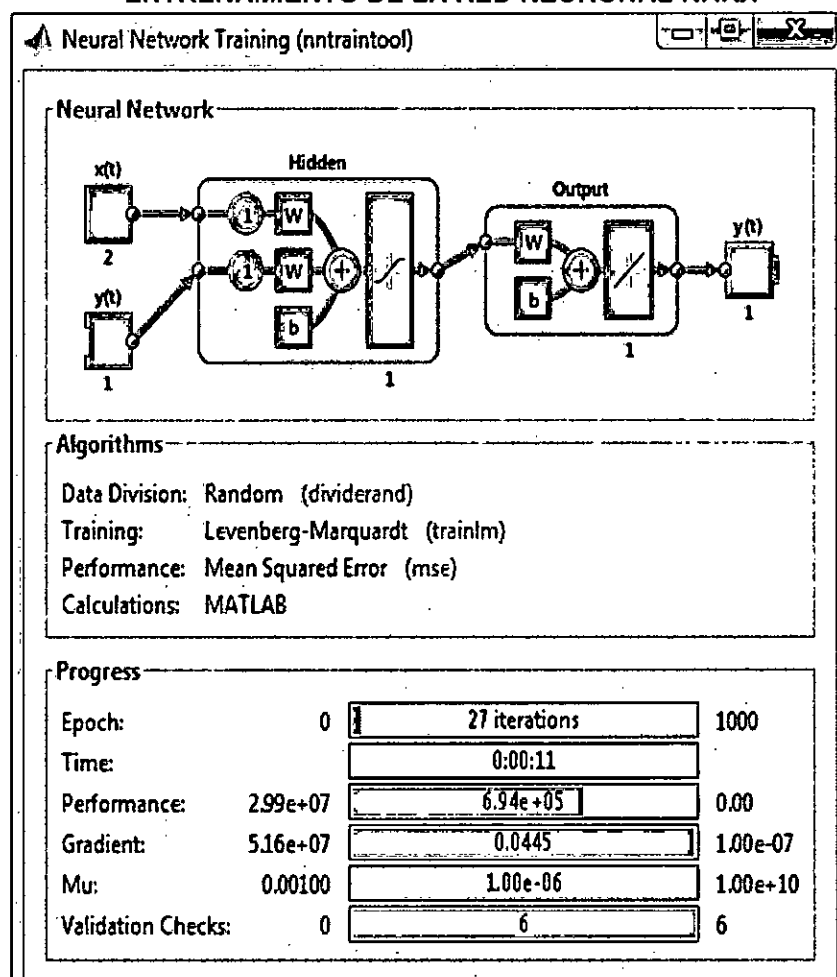


Fuente: Elaboración propia

b) Caso 2

La red NARX contó con una función de transferencia sigmoidea por defecto en la capa oculta y una función de transferencia lineal en la capa de salida. Las entradas fueron dos: Una entrada externa y otra de retroalimentación de la salida de la red. Para el entrenamiento se configuró la red con una neurona oculta y un retardo, como muestra la figura siguiente.

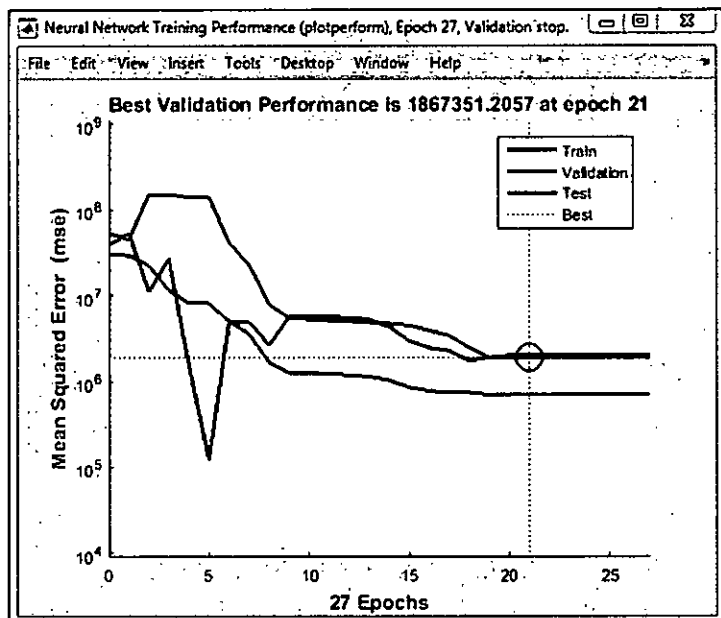
FIGURA N° 5.40
ENTRENAMIENTO DE LA RED NEURONAL NARX



Fuente: Elaboración propia

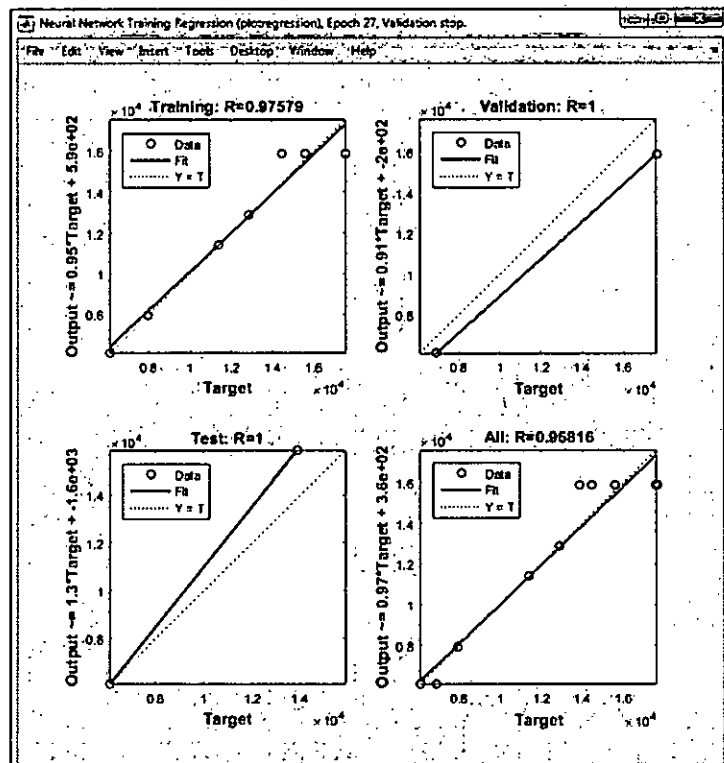
La Figura N°5.41 muestra el rendimiento de la red NARX, hasta alcanzar el mejor valor del error cuadrático medio (ECM) en el ciclo 21, obteniéndose el valor 1867351.21. La Figura N°5.42 ilustra los coeficientes de correlación en las distintas fases y el coeficiente de correlación global: 0.968.

FIGURA N° 5.41
RENDIMIENTO DE LA RED NEURONAL NARX



Fuente: Elaboración propia

FIGURA N° 5.42
CORRELACIONES DE LA RED NEURONAL NARX



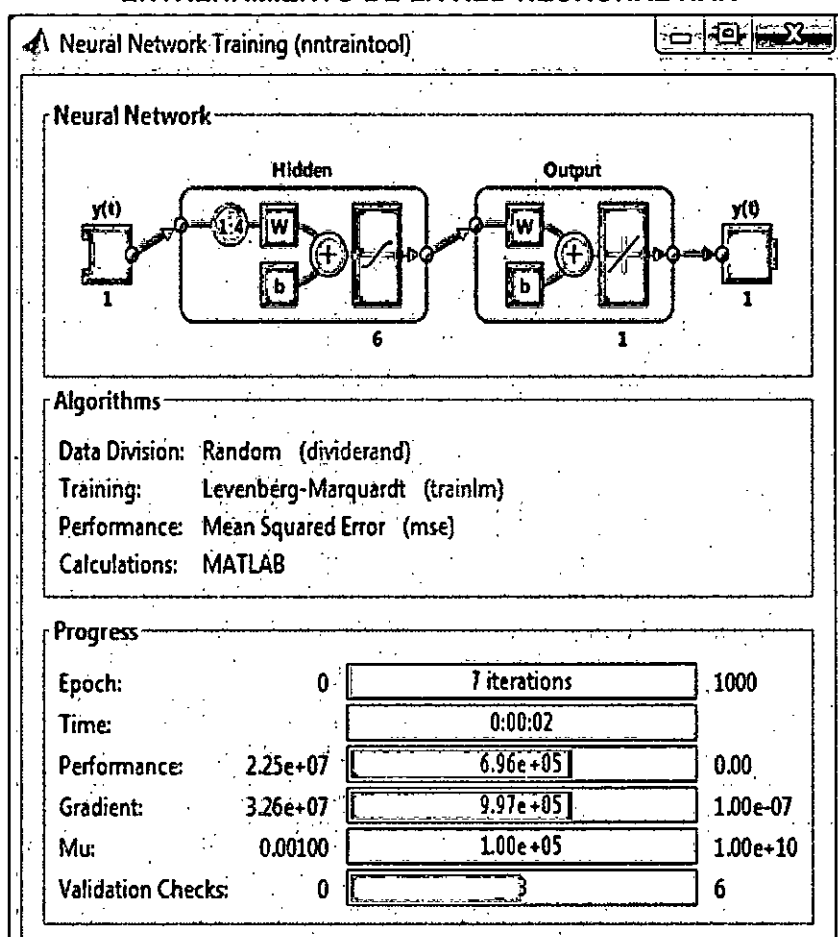
Fuente: Elaboración propia

5.3.2 Resultados del modelo NAR

a) Caso 1

La red NAR contó con una función de transferencia sigmoidea por defecto en la capa oculta y una función de transferencia lineal en la capa de salida. Los valores de entrada fueron los datos pasados de la serie a predecir. Para el entrenamiento se configuró la red con seis neuronas ocultas y cuatro retardos, como muestra la figura siguiente.

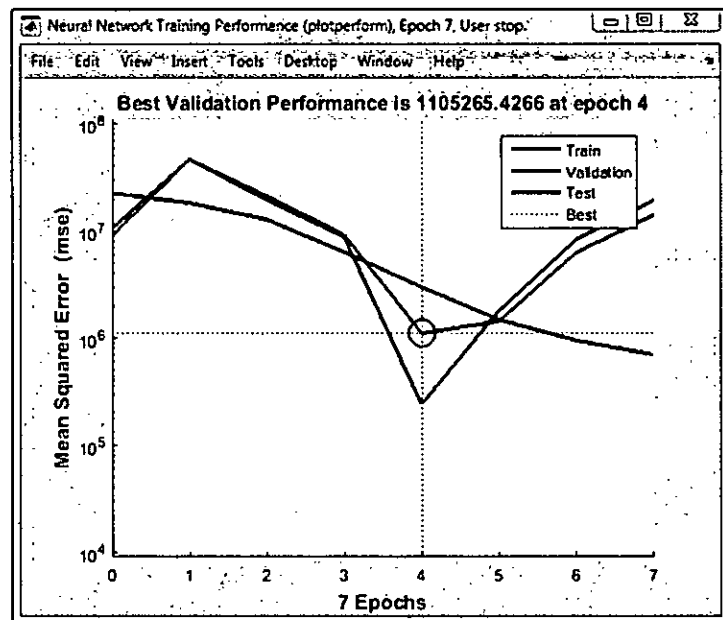
FIGURA N° 5.43
ENTRENAMIENTO DE LA RED NEURONAL NAR



Fuente: Elaboración propia

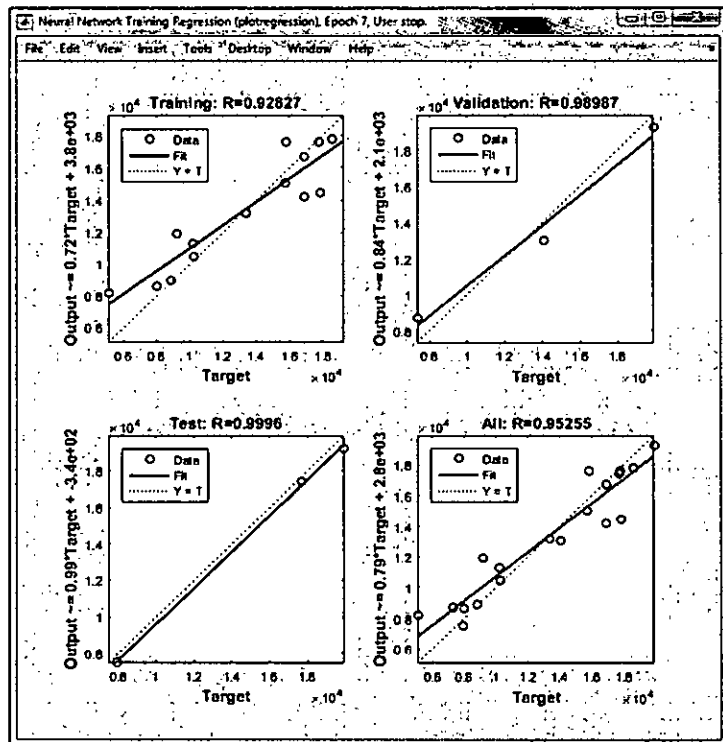
La Figura N°5.44 muestra el rendimiento de la red NAR, hasta alcanzar el mejor valor del error cuadrático medio (ECM) en el ciclo 4, obteniéndose el valor 1105265.427. La Figura N°5.45 ilustra los coeficientes de correlación en las distintas fases y el coeficiente de correlación global: 0.953.

FIGURA N° 5.44
RENDIMIENTO DE LA RED NEURONAL NAR



Fuente: Elaboración propia

FIGURA N° 5.45
CORRELACIONES DE LA RED NEURONAL NAR

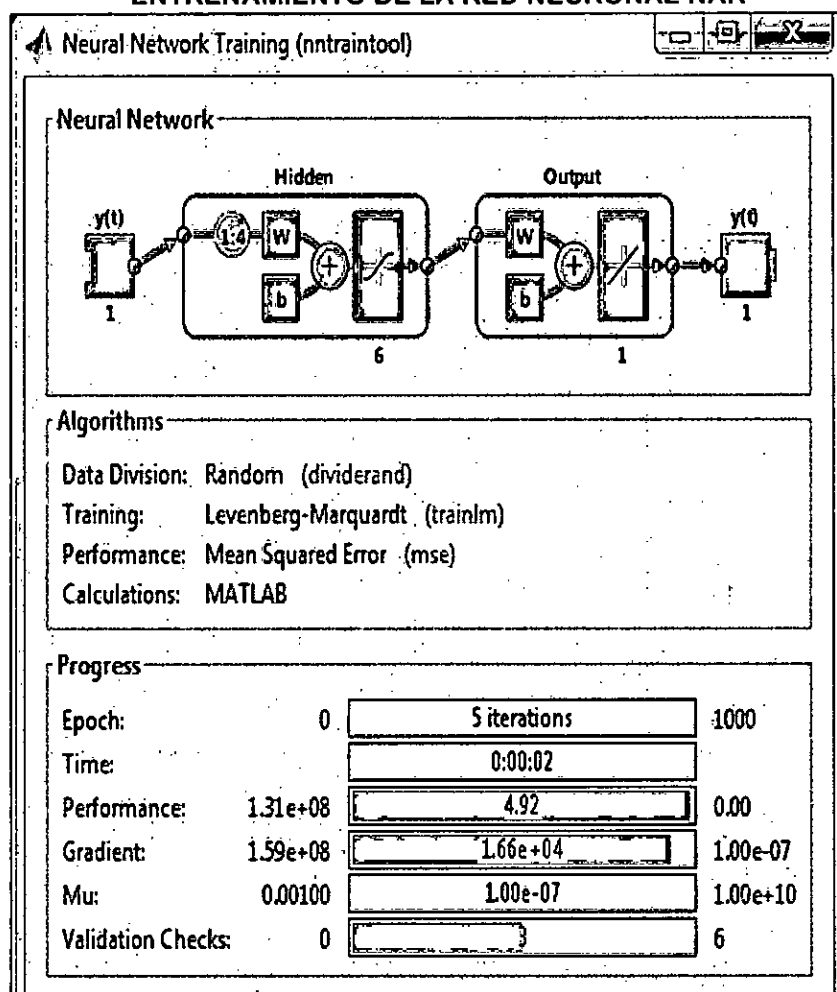


Fuente: Elaboración propia

b) Caso 2

La red NAR contó con una función de transferencia sigmoidea por defecto en la capa oculta y una función de transferencia lineal en la capa de salida. Los valores de entrada fueron los datos pasados de la serie a predecir. Para el entrenamiento se configuró la red con seis neuronas ocultas y cuatro retardos, como muestra la figura siguiente.

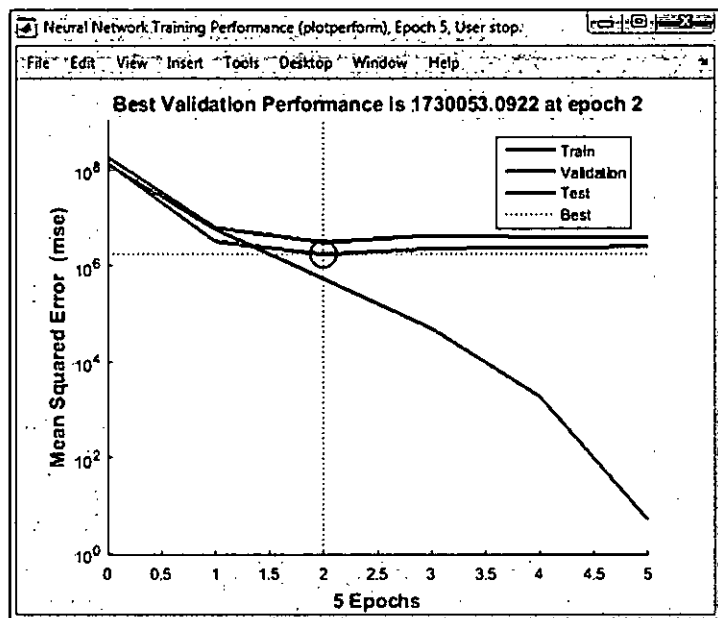
**FIGURA N° 5.46
ENTRENAMIENTO DE LA RED NEURONAL NAR**



Fuente: Elaboración propia

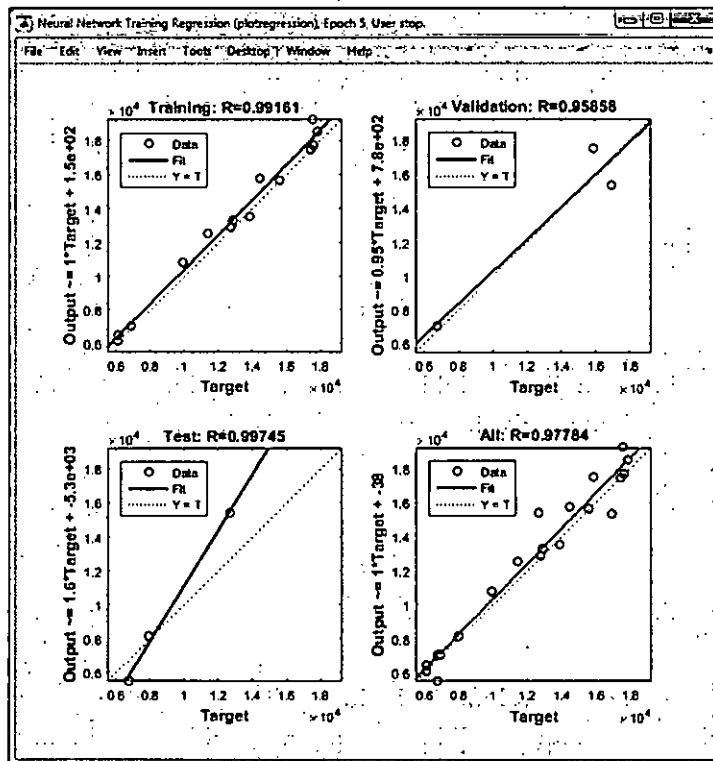
La Figura N°5.47 muestra el rendimiento de la red NAR, hasta alcanzar el mejor valor del error cuadrático medio (ECM) en el ciclo 2, obteniéndose el valor 1730053.09. La Figura N°5.48 ilustra los coeficientes de correlación en las distintas fases y el coeficiente de correlación global: 0.978.

FIGURA N° 5.47
RENDIMIENTO DE LA RED NEURONAL NAR



Fuente: Elaboración propia

FIGURA N° 5.48
CORRELACIONES DE LA RED NEURONAL NAR



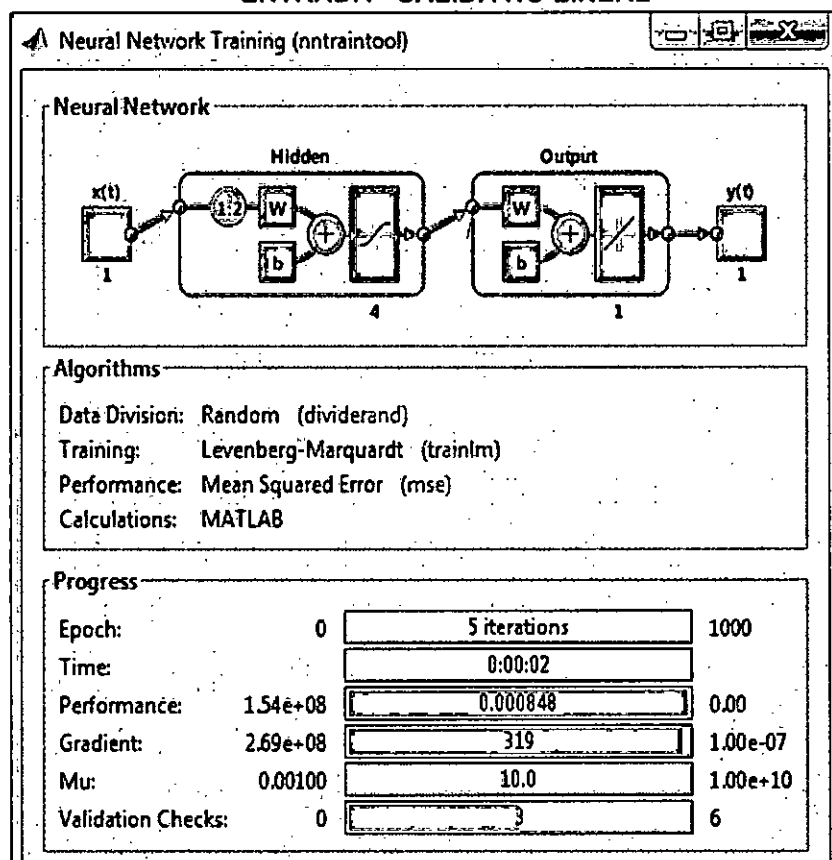
Fuente: Elaboración propia

5.2.3 Resultados del modelo Entrada- Salida no lineal

a) Caso 1

La red de Entrada Salida no lineal contó con una función de transferencia sigmoidea por defecto en la capa oculta y una función de transferencia lineal en la capa de salida. Los valores de entrada fueron datos pasados distintos a los de la serie a predecir. Para el entrenamiento se configuró la red con cuatro neuronas ocultas y dos retardos, como muestra la figura siguiente.

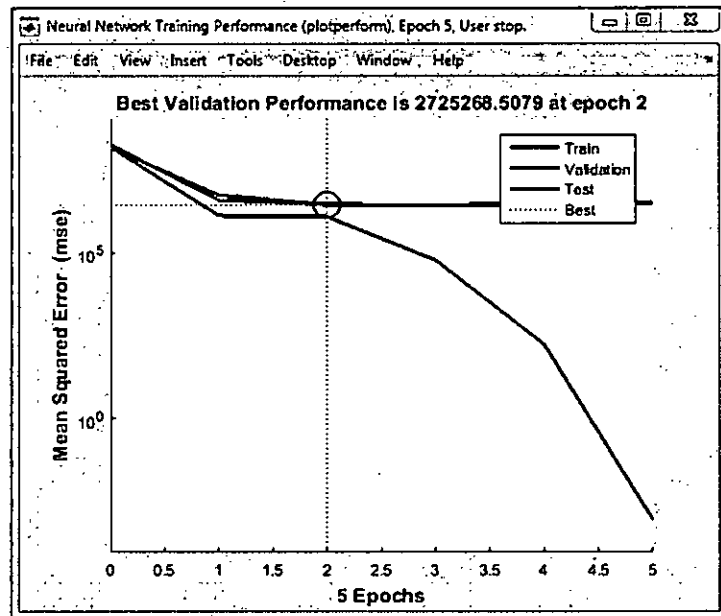
**FIGURA N° 5.49
ENTRENAMIENTO DE LA RED NEURONAL DE
ENTRADA - SALIDA NO LINEAL**



Fuente: Elaboración propia

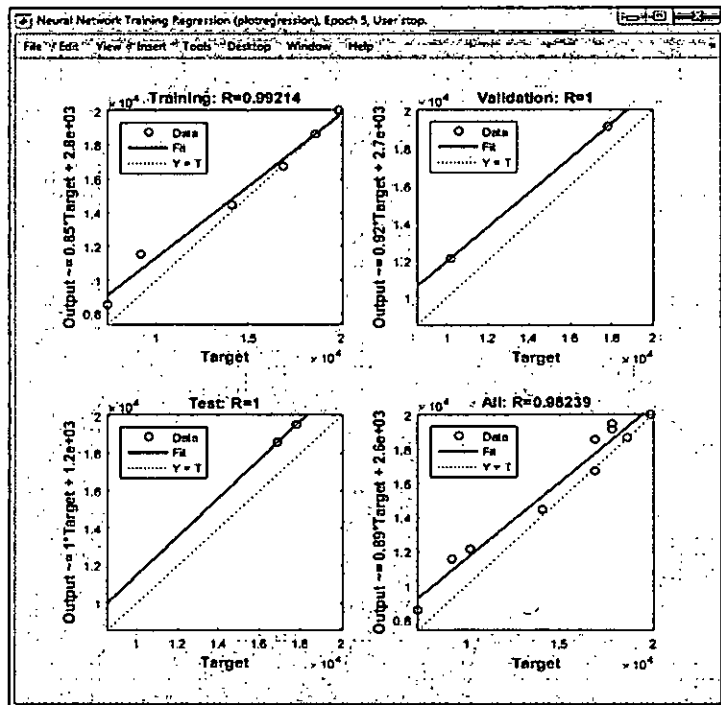
La Figura N° 5.50 muestra el rendimiento de la red de Entrada Salida, hasta alcanzar el mejor valor del error cuadrático medio (ECM) en el ciclo 2, obteniéndose el valor de 2725268.51. La Figura N°5.51 ilustra los coeficientes de correlación en las distintas fases y el coeficiente de correlación global: 0.982.

FIGURA N° 5.50
**RENDIMIENTO DE LA RED NEURONAL DE
 ENTRADA - SALIDA NO LINEAL**



Fuente: Elaboración propia

FIGURA N° 5.51
**CORRELACIONES DE LA RED NEURONAL DE
 ENTRADA - SALIDA NO LINEAL**

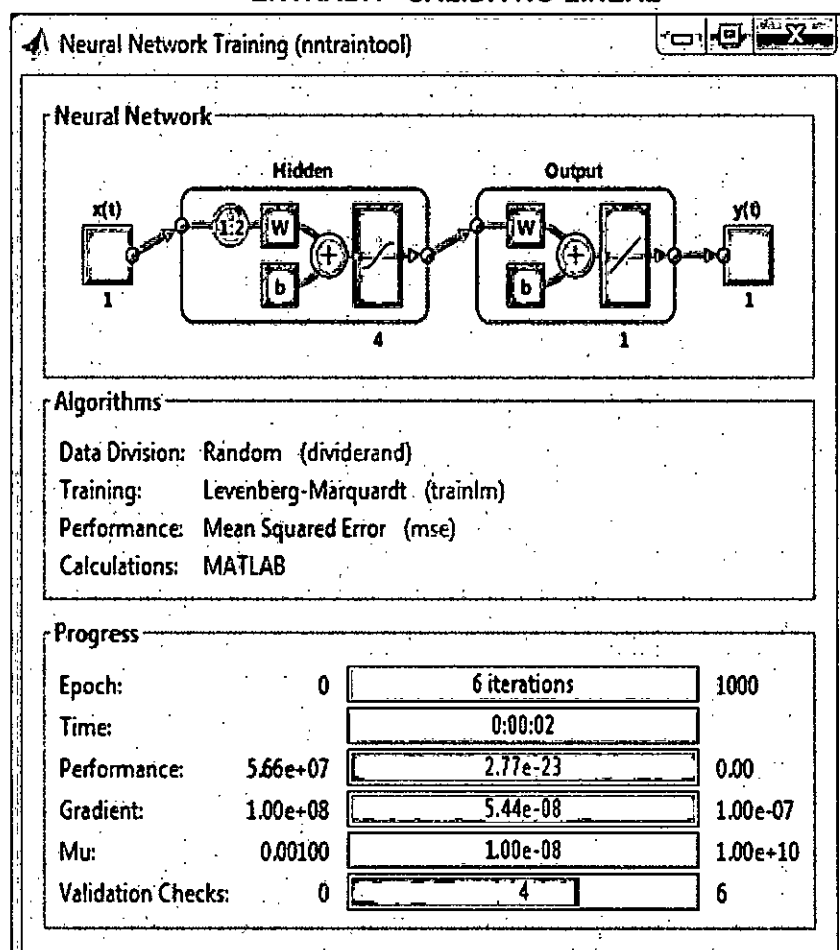


Fuente: Elaboración propia

b) Caso 2

La red de Entrada Salida no lineal contó con una función de transferencia sigmoidea por defecto en la capa oculta y una función de transferencia lineal en la capa de salida. Los valores de entrada fueron datos pasados distintos a los de la serie a predecir. Para el entrenamiento se configuró la red con cuatro neuronas ocultas y dos retardos, como muestra la figura siguiente.

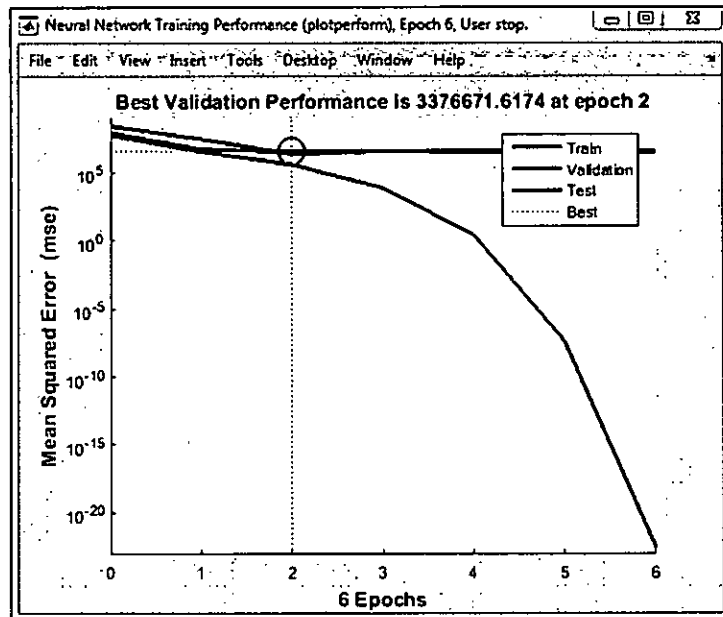
**FIGURA N° 5.52
ENTRENAMIENTO DE LA RED NEURONAL DE
ENTRADA - SALIDA NO LINEAL**



Fuente: Elaboración propia

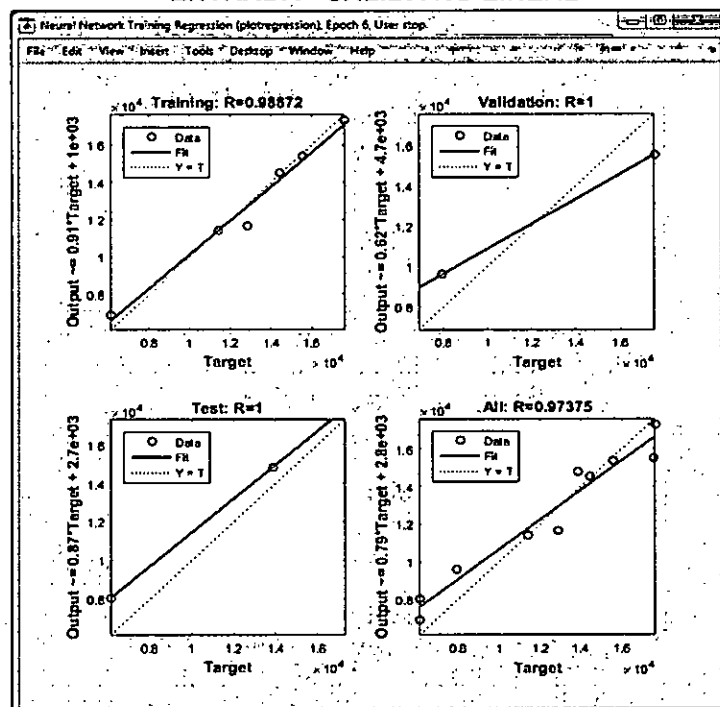
La Figura N°5.53 muestra el rendimiento de la red de Entrada Salida, hasta alcanzar el mejor valor del error cuadrático medio (ECM) en el ciclo 2, obteniéndose el valor 3376671.62. La Figura N°5.54 ilustra los coeficientes de correlación en las distintas fases y el coeficiente de correlación global: 0.974.

FIGURA N° 5.53
RENDIMIENTO DE LA RED NEURONAL DE
ENTRADA - SALIDA NO LINEAL



Fuente: Elaboración propia

FIGURA N° 5.54
CORRELACIONES DE LA RED NEURONAL DE
ENTRADA - SALIDA NO LINEAL



Fuente: Elaboración propia

VI. DISCUSIÓN DE RESULTADOS

Se utilizó como prueba estadística el análisis de regresión lineal de las salidas de la red y los objetivos correspondientes. La regresión lineal retorna tres parámetros. Los dos primeros: m y b , corresponden a la pendiente y a la intersección en y . La mejor regresión lineal relaciona de manera idéntica a los objetivos con las salidas de red. Si hubiera un ajuste perfecto (salidas exactamente iguales a los objetivos), la pendiente sería 1, y la intersección con el eje y sería 0.

La tercera variable devuelta por la regresión es el coeficiente de correlación "r" entre las salidas y los objetivos. El cual es una medida de qué tan bien la variación en la salida es explicada por los objetivos. Si este número es igual a 1, entonces hay una correlación perfecta entre los objetivos y las salidas.

6.1 Contrastación de la Hipótesis 1

El procedimiento estadístico de prueba de hipótesis de la predicción de la energía generada por los colectores solares, se establece para cada modelo:

a) **Modelo NARX:** Se detallan los siguientes pasos:

Paso 1: La hipótesis nula es "El coeficiente de correlación "r" de la predicción de la energía de colectores solares es menor o igual a 0.99". La hipótesis alternativa es "El valor del coeficiente de correlación "r" de la predicción de la energía de colectores solares es mayor a 0.99". Las dos hipótesis se expresan como sigue:

$$H_0: r \leq 0.99$$

$$H_1: r > 0.99$$

Paso 2: Al aplicar un nivel de significancia de 0.01, esto es α , la probabilidad de cometer un error es del tipo I, (rechazar la hipótesis verdadera).

Paso 3: La ecuación del coeficiente de correlación fue:

$$r = \frac{\sigma_{XY}}{\sigma_X \cdot \sigma_Y}$$

Donde:

σ_{XY} : Covarianza de (X, Y)

σ_X y σ_Y : Desviaciones típicas de las distribuciones marginales.

Paso 4: La regla de decisión es: rechazar la hipótesis nula y aceptar la hipótesis alternativa (que establece que la predicción de la generación de energía de colectores solares es mayor a 0.99), si el valor el valor del coeficiente de correlación “r” está en ese nivel de precisión. En caso contrario, no se rechaza la hipótesis nula.

Paso 5: De los resultados obtenidos tenemos el siguiente cuadro.

**CUADRO N° 6.1
COEFICIENTES DE CORRELACIÓN - MODELO NARX**

| RED NEURONAL | CASOS | FASE DE ENTRENAMIENTO - (r) | FASE DE VALIDACIÓN - (r) | FASE DE PRUEBA - (r) | COEFICIENTE DE CORRELACIÓN GLOBAL - (r) |
|--------------|--------|-----------------------------|--------------------------|----------------------|---|
| Modelo NARX | Caso 1 | 0.99993 | 0.99997 | 0.99777 | 0.99782 |
| | Caso 2 | 0.99973 | 0.99924 | 0.99999 | 0.99741 |
| Promedio: | | | | | 0.99762 |

Fuente: Elaboración propia

Debido a que el valor promedio del coeficiente de correlación del modelo NARX es 0.99762, se halla en la zona de rechazo de la hipótesis nula y considerando la regla de decisión se rechaza la hipótesis nula y se acepta la hipótesis alternativa.

b) Modelo NAR: Se detallan los siguientes pasos:

Paso 1: La hipótesis nula es “El coeficiente de correlación “r” de la predicción de la energía de colectores solares es menor o igual a 0.99”. La hipótesis alternativa es “El valor del coeficiente de correlación “r” de la predicción de la energía de colectores solares es mayor a 0.99”. Las dos hipótesis se expresan como sigue:

$$H_0: r \leq 0.99$$

$$H_1: r > 0.99$$

Paso 2: Al aplicar un nivel de significancia de 0.01, esto es α , la probabilidad de cometer un error es del tipo I, (rechazar la hipótesis verdadera).

Paso 3: La ecuación del coeficiente de correlación fue:

$$r = \frac{\sigma_{XY}}{\sigma_X \cdot \sigma_Y}$$

Donde:

σ_{XY} : Covarianza de (X, Y)

σ_X y σ_Y : Desviaciones típicas de las distribuciones marginales.

Paso 4: La regla de decisión es: rechazar la hipótesis nula y aceptar la hipótesis alternativa (que establece que la predicción de la generación de energía de colectores solares es mayor a 0.99), si el valor el valor del coeficiente de correlación "r" está en ese nivel de precisión. En caso contrario, no se rechaza la hipótesis nula.

Paso 5: De los resultados obtenidos tenemos el siguiente cuadro.

**CUADRO N° 6.2
COEFICIENTES DE CORRELACIÓN - MODELO NAR**

| RED NEURONAL | CASOS | FASE DE ENTRENAMIENTO - (r) | FASE DE VALIDACIÓN - (r) | FASE DE PRUEBA - (r) | COEFICIENTE DE CORRELACIÓN GLOBAL - (r) |
|--------------|--------|-----------------------------|--------------------------|----------------------|---|
| Modelo NAR | Caso 1 | 0.99705 | 0.99849 | 0.99190 | 0.99602 |
| | Caso 2 | 0.99548 | 0.99458 | 0.99953 | 0.99505 |
| Promedio: | | | | | 0.99554 |

Fuente: Elaboración propia

Debido a que el valor promedio del coeficiente de correlación del modelo NAR es 0.99554, se halla en la zona de rechazo de la hipótesis nula y considerando la regla de decisión se rechaza la hipótesis nula y se acepta la hipótesis alternativa.

c) **Modelo Entrada Salida No Lineal:** Se detallan los siguientes pasos:

Paso 1: La hipótesis nula es "El coeficiente de correlación "r" de la predicción de la energía de colectores solares es menor o igual a 0.99". La hipótesis alternativa es "El valor del coeficiente de correlación "r" de la predicción de la energía de colectores solares es mayor a 0.99". Las dos hipótesis se expresan como sigue:

$$H_0: r \leq 0.99$$

$$H_1: r > 0.99$$

Paso 2: Al aplicar un nivel de significancia de 0.01, esto es α , la probabilidad de cometer un error es del tipo I, (rechazar la hipótesis verdadera).

Paso 3: La ecuación del coeficiente de correlación fue:

$$r = \frac{\sigma_{XY}}{\sigma_X \cdot \sigma_Y}$$

Donde:

$$\sigma_{XY} : \text{Covarianza de } (X, Y)$$

$$\sigma_X \text{ y } \sigma_Y : \text{Desviaciones típicas de las distribuciones marginales.}$$

Paso 4: La regla de decisión es: rechazar la hipótesis nula y aceptar la hipótesis alternativa (que establece que la predicción de la generación de energía de colectores solares es mayor a 0.99), si el valor el valor del coeficiente de correlación "r" está en ese nivel de precisión. En caso contrario, no se rechaza la hipótesis nula.

Paso 5: De los resultados obtenidos tenemos el siguiente cuadro.

**CUADRO N° 6.3
COEFICIENTES DE CORRELACIÓN - MODELO ENTRADA SALIDA NO LINEAL**

| RED NEURONAL | CASOS | FASE DE ENTRENAMIENTO - (r) | FASE DE VALIDACIÓN - (r) | FASE DE PRUEBA - (r) | COEFICIENTE DE CORRELACIÓN GLOBAL - (r) |
|---------------------------------|--------|-----------------------------|--------------------------|----------------------|---|
| Modelo Entrada-Salida no lineal | Caso 1 | 0.99633 | 0.99859 | 0.99998 | 0.99706 |
| | Caso 2 | 0.99645 | 0.99679 | 0.96878 | 0.99669 |
| Promedio: | | | | | 0.99688 |

Fuente: Elaboración propia

Debido a que el valor promedio del coeficiente de correlación del modelo Entrada Salida No Lineal es 0.99688, se halla en la zona de rechazo de la hipótesis nula y considerando la regla de decisión se rechaza la hipótesis nula y se acepta la hipótesis alternativa.

6.2 Contraste de la Hipótesis 2

El procedimiento estadístico de prueba de hipótesis de la predicción de la energía generada acumulada de colectores solares y otra fuente de energía, se establece para cada modelo:

a) **Modelo NARX:** Se detallan los siguientes pasos:

Paso 1: La hipótesis nula es "El coeficiente de correlación "r" de la predicción de la energía generada acumulada de colectores solares y otra fuente de energía es menor o igual a 0.99". La hipótesis alternativa es "El valor del coeficiente de correlación "r" de la predicción de la energía generada acumulada de colectores solares y otra fuente de energía es mayor a 0.99".

Las dos hipótesis se expresan como sigue:

$$H_0: r \leq 0.99$$

$$H_1: r > 0.99$$

Paso 2: Al aplicar un nivel de significancia de 0.01, esto es α , la probabilidad de cometer un error es del tipo I, (rechazar la hipótesis verdadera).

Paso 3: La ecuación del coeficiente de correlación fue:

$$r = \frac{\sigma_{XY}}{\sigma_X \cdot \sigma_Y}$$

Donde:

σ_{XY} : Covarianza de (X, Y)

σ_X y σ_Y : Desviaciones típicas de las distribuciones marginales.

Paso 4: La regla de decisión es: rechazar la hipótesis nula y aceptar la hipótesis alternativa (que establece que la predicción de la energía generada acumulada de colectores solares y otra fuente de energía es mayor a 0.99), si el valor el valor del coeficiente de correlación "r" está en ese nivel de precisión. En caso contrario, no se rechaza la hipótesis nula.

Paso 5: De los resultados obtenidos tenemos el siguiente cuadro.

**CUADRO N° 6.4
COEFICIENTES DE CORRELACIÓN - MODELO NARX**

| RED NEURONAL | CASOS | FASE DE ENTRENAMIENTO - (r) | FASE DE VALIDACIÓN - (r) | FASE DE PRUEBA - (r) | COEFICIENTE DE CORRELACIÓN GLOBAL - (r) |
|--------------|--------|-----------------------------|--------------------------|----------------------|---|
| Modelo NARX | Caso 1 | 1 | 0.72029 | 0.77136 | 0.93933 |
| | Caso 2 | 0.99096 | 0.71061 | 0.94546 | 0.94193 |
| | | | Promedio: | 0.94063 | |

Fuente: Elaboración propia

Debido a que el valor promedio del coeficiente de correlación del modelo NARX es 0.94063, no se halla en la zona de rechazo de la hipótesis nula y considerando la regla de decisión se acepta la hipótesis nula y se rechaza la hipótesis alternativa.

b) Modelo NAR: Se detallan los siguientes pasos:

Paso 1: La hipótesis nula es "El coeficiente de correlación "r" de la predicción de la energía generada acumulada de colectores solares y otra fuente de

energía es menor o igual a 0.99". La hipótesis alternativa es "El valor del coeficiente de correlación "r" de la predicción de la energía generada acumulada de colectores solares y otra fuente de energía es mayor a 0.99". Las dos hipótesis se expresan como sigue:

$$H_0: r \leq 0.99$$

$$H_1: r > 0.99$$

Paso 2: Al aplicar un nivel de significancia de 0.01, esto es α , la probabilidad de cometer un error es del tipo I, (rechazar la hipótesis verdadera).

Paso 3: La ecuación del coeficiente de correlación fue:

$$r = \frac{\sigma_{XY}}{\sigma_X \cdot \sigma_Y}$$

Donde:

σ_{XY} : Covarianza de (X, Y)

σ_X y σ_Y : Desviaciones típicas de las distribuciones marginales.

Paso 4: La regla de decisión es: rechazar la hipótesis nula y aceptar la hipótesis alternativa (que establece que la predicción de la energía generada acumulada de colectores solares y otra fuente de energía es mayor a 0.99), si el valor el valor del coeficiente de correlación "r" está en ese nivel de precisión. En caso contrario, no se rechaza la hipótesis nula.

Paso 5: De los resultados obtenidos tenemos el siguiente cuadro.

**CUADRO N° 6.5
COEFICIENTES DE CORRELACIÓN - MODELO NAR**

| RED NEURONAL | CASOS | FASE DE ENTRENAMIENTO - (r) | FASE DE VALIDACIÓN - (r) | FASE DE PRUEBA - (r) | COEFICIENTE DE CORRELACIÓN GLOBAL - (r) |
|--------------|--------|-----------------------------|--------------------------|----------------------|---|
| Modelo NAR | Caso 1 | 0.99870 | 1 | 1 | 0.97334 |
| | Caso 2 | 1 | 0.86690 | 0.91782 | 0.98822 |
| Promedio: | | | | | 0.98078 |

Fuente: Elaboración propia

Debido a que el valor promedio del coeficiente de correlación del modelo NAR es 0.98078, no se halla en la zona de rechazo de la hipótesis nula y considerando la regla de decisión se acepta la hipótesis nula y se rechaza la hipótesis alternativa.

c) **Modelo Entrada Salida No Lineal:** Se detallan los siguientes pasos:

Paso 1: La hipótesis nula es "El coeficiente de correlación "r" de la predicción de la energía generada acumulada de colectores solares y otra fuente de energía es menor o igual a 0.99". La hipótesis alternativa es "El valor del coeficiente de correlación "r" de la predicción de la energía generada acumulada de colectores solares y otra fuente de energía es mayor a 0.99".

Las dos hipótesis se expresan como sigue:

$$H_0: r \leq 0.99$$

$$H_1: r > 0.99$$

Paso 2: Al aplicar un nivel de significancia de 0.01, esto es α , la probabilidad de cometer un error es del tipo I, (rechazar la hipótesis verdadera).

Paso 3: La ecuación del coeficiente de correlación fue:

$$r = \frac{\sigma_{XY}}{\sigma_X \cdot \sigma_Y}$$

Donde:

σ_{XY} : Covarianza de (X, Y)

σ_X y σ_Y : Desviaciones típicas de las distribuciones marginales.

Paso 4: La regla de decisión es: rechazar la hipótesis nula y aceptar la hipótesis alternativa (que establece que la predicción de la energía generada acumulada de colectores solares y otra fuente de energía es mayor a 0.99), si el valor el valor del coeficiente de correlación "r" está en ese nivel de precisión. En caso contrario, no se rechaza la hipótesis nula.

Paso 5: De los resultados obtenidos tenemos el siguiente cuadro.

**CUADRO N° 6.6
COEFICIENTES DE CORRELACIÓN - MODELO ENTRADA SALIDA NO LINEAL**

| RED NEURONAL | CASOS | FASE DE ENTRENAMIENTO - (r) | FASE DE VALIDACIÓN - (r) | FASE DE PRUEBA - (r) | COEFICIENTE DE CORRELACIÓN GLOBAL - (r) |
|---------------------------------|--------|-----------------------------|--------------------------|----------------------|---|
| Modelo Entrada-Salida no lineal | Caso 1 | 0.99981 | 0.91332 | 0.66212 | 0.97275 |
| | Caso 2 | 1 | 0.97879 | 0.86775 | 0.97458 |
| Promedio: | | | | | 0.97367 |

Fuente: Elaboración propia

Debido a que el valor promedio del coeficiente de correlación del modelo Entrada Salida No Lineal es 0.97367, no se halla en la zona de rechazo de la hipótesis nula y considerando la regla de decisión se acepta la hipótesis nula y se rechaza la hipótesis alternativa.

6.3 Contrastación de la Hipótesis 3

El procedimiento estadístico de prueba de hipótesis de la predicción de la energía generada por paneles fotovoltaicos, se establece para cada modelo:

a) **Modelo NARX:** Se detallan los siguientes pasos:

Paso 1: La hipótesis nula es “El coeficiente de correlación “r” de la predicción de la energía de paneles fotovoltaicos es menor o igual a 0.99”. La hipótesis alternativa es “El valor del coeficiente de correlación “r” de la predicción de la energía de paneles fotovoltaicos es mayor a 0.99”. Las dos hipótesis se expresan como sigue:

$$H_0: r \leq 0.99$$

$$H_1: r > 0.99$$

Paso 2: Al aplicar un nivel de significancia de 0.01, esto es α , la probabilidad de cometer un error es del tipo I, (rechazar la hipótesis verdadera).

Paso 3: La ecuación del coeficiente de correlación fue:

$$r = \frac{\sigma_{XY}}{\sigma_X \cdot \sigma_Y}$$

Donde:

σ_{XY} : Covarianza de (X, Y)

σ_X y σ_Y : Desviaciones típicas de las distribuciones marginales.

Paso 4: La regla de decisión es: rechazar la hipótesis nula y aceptar la hipótesis alternativa (que establece que la predicción de la generación de energía de paneles fotovoltaicos es mayor a 0.99), si el valor el valor del coeficiente de correlación “r” está en ese nivel de precisión. En caso contrario, no se rechaza la hipótesis nula.

Paso 5: De los resultados obtenidos tenemos el siguiente cuadro.

CUADRO N° 6.7
COEFICIENTES DE CORRELACIÓN - MODELO NARX

| RED NEURONAL | CASOS | FASE DE ENTRENAMIENTO - (r) | FASE DE VALIDACIÓN - (r) | FASE DE PRUEBA - (r) | COEFICIENTE DE CORRELACIÓN GLOBAL - (r) |
|--------------|--------|-----------------------------|--------------------------|----------------------|---|
| Modelo NARX | Caso 1 | 0.99326 | 1 | 1 | 0.99149 |
| | Caso 2 | 0.97579 | 1 | 1 | 0.96816 |
| Promedio: | | | | | 0.97983 |

Fuente: Elaboración propia

Debido a que el valor promedio del coeficiente de correlación del modelo NARX es 0.97983, no se halla en la zona de rechazo de la hipótesis nula y considerando la regla de decisión se acepta la hipótesis nula y se rechaza la hipótesis alternativa.

b) Modelo NAR: Se detallan los siguientes pasos:

Paso 1: La hipótesis nula es “El coeficiente de correlación “r” de la predicción de la energía de paneles fotovoltaicos es menor o igual a 0.99”. La hipótesis alternativa es “El valor del coeficiente de correlación “r” de la predicción de la energía de paneles fotovoltaicos es mayor a 0.99”. Las dos hipótesis se expresan como sigue:

$$H_0: r \leq 0.99$$

$$H_1: r > 0.99$$

Paso 2: Al aplicar un nivel de significancia de 0.01, esto es α , la probabilidad de cometer un error es del tipo I, (rechazar la hipótesis verdadera).

Paso 3: La ecuación del coeficiente de correlación fue:

$$r = \frac{\sigma_{XY}}{\sigma_X \cdot \sigma_Y}$$

Donde:

σ_{XY} : Covarianza de (X, Y)

σ_X y σ_Y : Desviaciones típicas de las distribuciones marginales.

Paso 4: La regla de decisión es: rechazar la hipótesis nula y aceptar la hipótesis alternativa (que establece que la predicción de la generación de energía de paneles fotovoltaicos es mayor a 0.99), si el valor del coeficiente de correlación “r” está en ese nivel de precisión. En caso

contrario, no se rechaza la hipótesis nula.

Paso 5: De los resultados obtenidos tenemos el siguiente cuadro.

**CUADRO N° 6.8
COEFICIENTES DE CORRELACIÓN - MODELO NAR**

| RED NEURONAL | CASOS | FASE DE ENTRENAMIENTO - (r) | FASE DE VALIDACIÓN - (r) | FASE DE PRUEBA - (r) | COEFICIENTE DE CORRELACIÓN GLOBAL - (r) |
|--------------|--------|-----------------------------|--------------------------|----------------------|---|
| Modelo NAR | Caso 1 | 0.92827 | 0.98987 | 0.99960 | 0.95255 |
| | Caso 2 | 0.99161 | 0.95858 | 0.99745 | 0.97784 |
| Promedio: | | | | | 0.96520 |

Fuente: Elaboración propia

Debido a que el valor promedio del coeficiente de correlación del modelo NAR es 0.96520, no se halla en la zona de rechazo de la hipótesis nula y considerando la regla de decisión se acepta la hipótesis nula y se rechaza la hipótesis alternativa.

c) **Modelo Entrada Salida No Lineal:** Se detallan los siguientes pasos:

Paso 1: La hipótesis nula es “El coeficiente de correlación “r” de la predicción de la energía de paneles fotovoltaicos es menor o igual a 0.99”. La hipótesis alternativa es “El valor del coeficiente de correlación “r” de la predicción de la energía de paneles fotovoltaicos es mayor a 0.99”. Las dos hipótesis se expresan como sigue:

$$H_0: r \leq 0.99$$

$$H_1: r > 0.99$$

Paso 2: Al aplicar un nivel de significancia de 0.01, esto es α , la probabilidad de cometer un error es del tipo I, (rechazar la hipótesis verdadera).

Paso 3: La ecuación del coeficiente de correlación fue:

$$r = \frac{\sigma_{XY}}{\sigma_X \cdot \sigma_Y}$$

Donde:

σ_{XY} : Covarianza de (X, Y)

σ_X y σ_Y : Desviaciones típicas de las distribuciones marginales.

Paso 4: La regla de decisión es: rechazar la hipótesis nula y aceptar la hipótesis alternativa (que establece que la predicción de la generación de

energía de paneles fotovoltaicos es mayor a 0.99), si el valor el valor del coeficiente de correlación “ r ” está en ese nivel de precisión. En caso contrario, no se rechaza la hipótesis nula.

Paso 5: De los resultados obtenidos tenemos el siguiente cuadro.

CUADRO N° 6.9
COEFICIENTES DE CORRELACIÓN - MODELO ENTRADA SALIDA NO LINEAL

| RED NEURONAL | CASOS | FASE DE ENTRENAMIENTO - (r) | FASE DE VALIDACIÓN - (r) | FASE DE PRUEBA - (r) | COEFICIENTE DE CORRELACIÓN GLOBAL - (r) |
|---------------------------------|--------|---------------------------------|------------------------------|--------------------------|---|
| Modelo Entrada-Salida no lineal | Caso 1 | 0.99214 | 1 | 1 | 0.98239 |
| | Caso 2 | 0.98872 | 1 | 1 | 0.97375 |
| Promedio: | | | | | 0.97807 |

Fuente: Elaboración propia

Debido a que el valor promedio del coeficiente de correlación del modelo Entrada Salida No Lineal es 0.97807, no se halla en la zona de rechazo de la hipótesis nula y considerando la regla de decisión se acepta la hipótesis nula y se rechaza la hipótesis alternativa.

VII. CONCLUSIONES

- a) Las redes neuronales artificiales tienen un gran nivel de precisión en la predicción de la generación de energía de los colectores solares y paneles fotovoltaicos. Con un nivel de precisión mayor al 97% en todos los casos.
- b) En la predicción de la generación de energía de colectores solares se obtuvo un gran nivel de precisión en todos los modelos de redes neuronales artificiales. Con un nivel de precisión mayor al 99% en todos los modelos de redes neuronales artificiales.
- c) En la predicción de la generación de la energía acumulada de los colectores solares y otra fuente de energía se obtuvieron diferentes niveles de predicción en los modelos de redes neuronales. Obteniéndose el mejor nivel de predicción en el modelo NAR, con un nivel de precisión mayor al 98%, pero menor al 99%.
- d) En la predicción de la generación de energía de paneles fotovoltaicos se obtuvieron diferentes niveles de predicción en los modelos de redes neuronales. Obteniéndose el mejor nivel de predicción en el modelo NARX, con un nivel de precisión mayor al 97%, pero menor al 98%.

VIII. RECOMENDACIONES

- a) Las redes neuronales artificiales pueden aplicarse a la predicción de diversas fuentes de energía, y esa predicción puede ser de una fuente individual o de sistemas de fuentes de energía.
- b) Para las predicciones de la generación de energía de colectores solares se puede considerar un colector o un sistema de colectores.
- c) Para nuevas predicciones de la generación de la energía acumulada de los colectores solares y otra fuente de energía, se pueden considerar nuevas fuentes de energía.
- d) Para la predicción de la generación de energía de paneles fotovoltaicos se puede considerar plantas y huertos fotovoltaicos.

VII. REFERENCIAS BIBLIOGRAFICAS

A. Libro:

- Ayuntamiento de Pamplona. (2007). *Energía Solar Térmica y Fotovoltaica*. Pamplona.
- Álvarez Munárriz, L. (1994). *Fundamentos de Inteligencia Artificial*. (Ed. II). Murcia: Universidad de Murcia.
- Barrero Gonzales F. (2004). *Sistemas de Energía Eléctrica*. (Ed. I). Madrid: Editorial Paraninfo.
- Flórez López R., Fernandez Fernandez J. (2008). *Las Redes Neuronales Artificiales*. (Ed. I). La Coruña: Editorial Netbiblo.
- García-Badell J. (1983). *Cálculo de la Energía Solar*. (Ed. I). Madrid: INIA.
- Haugeland, J. (2003). *La Inteligencia Artificial*. (Ed. IV). Buenos Aires: Siglo XXI Editores,
- Harper E. (2009). *Tecnologías de Generación de Energía Eléctrica*. México: Editorial Limusa.
- Meinel A., Meinel M. (1982). *Aplicaciones de la Energía Solar*. (Ed. I). Arizona: Editorial Reverté.
- Mendez Muñiz J., Cuervo García R. (2011). *Energía Solar Fotovoltaica*. (Ed. II). Madrid: FC Editorial.
- Romero Tous, Marcelo. (2009). *Energía Solar Térmica*. (Ed. I). Barcelona: Ediciones CEAC.
- Rufes Martínez, Pedro. (2010) *Energía Solar Térmica*. (Ed. I). Barcelona: Editorial Marcombo.

B. Publicaciones web:

- Appa. ¿Qué es la energía Solar Fotovoltaica?. Recuperado el 10 de diciembre del 2016, de http://www.appa.es/09fotovoltaica/09que_es.php
- Acciona. *Energía Solar Fotovoltaica*. Recuperado el 27 de octubre del 2016, de <https://www.accionia.com/es/energias-renovables/energia-solar/fotovoltaica/>
- Energía doble cero. Tipos de colectores solares y componentes básicos. Recuperado el 13 de febrero del 2017, de <http://energiadoblecero.com/energia>

[s-renovables/energia-termosolar/tipos-de-colectores-solares-y-componentes-basicos](#)

- Mathworks. *Design Time Series NARX Feedback Neural Networks*. Recuperado el 3 de octubre del 2016, de https://www.mathworks.com/help/nnet/ug/design-time-series-narx-feedback-neural-networks.html?s_tid=gn_loc_drop
- Mathworks. *Neural Network Overview*. Recuperado el 29 de enero del 2017, de https://www.mathworks.com/help/nnet/gs/neural-networks-overview.html?s_searchHighlight=neural%20networks&s_tid=doc_srcTitle
- Programa solar. *Ventajas del Uso de Colectores Solares Térmicos*. Recuperado el 8 de noviembre del 2016, de <http://www.programasolar.cl/index.php/ventajas-de-usar-cst>
- Wikipedia. *Colector Solar*. Recuperado el 5 de enero del 2017, de https://es.wikipedia.org/wiki/Colector_solar
- Wikipedia. *La Energía Solar*. Recuperado el 16 de diciembre del 2016, de https://es.wikipedia.org/wiki/Energ%C3%A9tica_solar
- Wikipedia. *Panel Fotovoltaico*. Recuperado el 5 de enero del 2017, de https://es.wikipedia.org/wiki/Panel_fotovoltaico

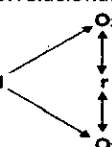
C. Tesis:

- Collado Fernández, E. (2009). *Estudio energía solar fotovoltaica, competitividad y evaluación económica, comparativa y modelos*. Madrid. España.
- Fernández Zamudio, O., (2011). *Análisis de producción y rentabilidad de proyectos fotovoltaicos*. Sevilla. España.
- González Peñafiel, G.G., Zambrano Manosalvas, J. C., Estrada Pulgar, E. F. (2014). *Estudio, diseño e implementación de un sistema de energía solar en la comuna puerto romo de la isla mondragon del golfo de Guayaquil*. Guayas. Ecuador.
- Gutiérrez Corea, F. (2014). *Predicción espacio-temporal de la irradiancia solar global a corto plazo en España mediante geoestadística y redes neuronales artificiales*. Madrid. España.

- Martín Pomares, L. (2012). *Estudio, análisis y predicción de series temporales de irradiancia solar global mediante modelos estadísticos*. Madrid. España.
- Miranda Gassull, V. (2011). *Sistema de calentamiento de agua sanitaria solar*. Huelva. España.
- Palmero Marrero, A. I. (2014) *Estudio de un sistema solar térmico utilizando dispositivos sombreadores de edificios*. Madrid. España.
- Pérez de los Reyes, C., (2007). *Aplicaciones de la energía solar al tratamiento térmico de suelos de invernadero*. Córdova. Argentina.
- Rodríguez Delgado, A. (2011). *Estudio parametrización de una red neuronal para la mejora de la predicción de la irradiancia directa normal*. Madrid. España.
- Salguero Fernández, V., (2011). *Valoración de colectores solares térmicos planos de vacío para la producción de frío*. Madrid. España
- Solano Flores, A. L. (2013). *Estudio de factibilidad para la creación de una empresa productora y comercializadora de calentadores solares de agua en el cantón ibarra, provincia de Imbabura*. Ibarra. Ecuador.

ANEXOS

Tema: "REDES NEURONALES PARA LA PREDICCIÓN DE LA GENERACIÓN DE ENERGÍA DE COLECTORES SOLARES Y PANELES FOTOVOLTAICOS"

| MATRIZ DE CONSISTENCIA | | | | | MATRIZ COREA | | |
|--|--|---|--|--|---|--|--|
| PROBLEMAS | OBJETIVOS | HIPÓTESIS | VARIABLES | METODOLOGIA | CONCLUSIONES | RECOMENDACIONES | APORTES |
| General: ¿Con que precisión las redes neuronales artificiales predicen la generación de energía de los colectores solares y paneles fotovoltaicos? | General: Determinar el nivel de precisión con que las redes neuronales artificiales predicen la generación de energía de los colectores solares y paneles fotovoltaicos. | General: Al utilizar redes neuronales artificiales tendremos un gran nivel de precisión en la predicción de la generación de energía de los colectores solares y paneles fotovoltaicos. | Variable Dependiente: Predicción de la generación de energía de colectores solares y paneles fotovoltaicos | General: -Según el objeto de estudio la investigación fue aplicada. -Según la fuente de información fue Mixta, la cual participa de la naturaleza de la investigación de campo y de la investigación documental. -El diseño de la investigación fue correlacional:  Variable Independiente: Redes Neuronales Artificiales | General: Las redes neuronales artificiales tienen un gran nivel de precisión en la predicción de la generación de energía de los colectores solares y paneles fotovoltaicos. | General: Las redes neuronales artificiales pueden aplicarse a la predicción de diversas fuentes de energía, y esa predicción puede ser de una fuente individual o de sistemas de fuentes de energía. | General: Todos los modelos de redes neuronales para la predicción de la generación de energía de colectores solares y paneles fotovoltaicos, tienen un nivel de precisión mayor al 97% en todos los casos. |
| Específicos: ¿Con que precisión las redes neuronales artificiales predicen la generación de energía de los colectores solares? | Específicos: Determinar el nivel de precisión con que las redes neuronales artificiales predicen la generación de energía de colectores solares. | Específicos: Al utilizar redes neuronales artificiales tendremos un gran nivel de precisión en la predicción de la generación de energía de colectores solares. | | Especificas: -Pruebas estandarizadas; Entrenamiento, Prueba, y validación. -Análisis documental. -Contraste de hipótesis. | Específicos: En la predicción de la generación de energía de colectores solares se obtuvo un gran nivel de precisión en todos los modelos de redes neuronales artificiales. | Específicos: Para las predicciones de la generación de energía de colectores solares se puede considerar un colector o un sistema de colectores. | Específicos: En la predicción de la generación de energía de colectores solares se obtuvo un nivel de precisión mayor al 99% en todos los modelos de redes neuronales artificiales. |
| ¿Con que precisión las redes neuronales artificiales predicen la generación de la energía acumulada de los colectores solares y otra fuente de energía? | Determinar el nivel de precisión con que las redes neuronales artificiales predicen la generación de la energía acumulada de los colectores solares y otra fuente de energía. | Al utilizar redes neuronales artificiales tendremos un gran nivel de precisión en la predicción de la generación de la energía acumulada de los colectores solares y otra fuente de energía. | | | En la predicción de la generación de la energía acumulada de los colectores solares y otra fuente de energía se obtuvieron diferentes niveles de predicción en los modelos de redes neuronales. | Para nuevas predicciones de la generación de la energía acumulada de los colectores solares y otra fuente de energía se obtuvo el mejor nivel de predicción en el modelo NAR, con un nivel de precisión mayor al 98%, pero menor al 99%. | En la predicción de la generación de la energía acumulada de colectores solares y otra fuente de energía se obtuvo el mejor nivel de predicción en el modelo NAR, con un nivel de precisión mayor al 98%, pero menor al 99%. |
| ¿Con que precisión las redes neuronales artificiales predicen la generación de energía de los paneles fotovoltaicos? | Determinar el nivel de precisión con que las redes neuronales artificiales predicen la generación de energía de los paneles fotovoltaicos. | Al utilizar redes neuronales artificiales tendremos un gran nivel de precisión en la predicción de la generación de energía de los paneles fotovoltaicos. | | | En la predicción de la generación de energía de paneles fotovoltaicos se obtuvieron diferentes niveles de predicción en los modelos de redes neuronales. | Para la predicción de la generación de energía de paneles fotovoltaicos se puede considerar plantas y huertos fotovoltaicos. | En la predicción de la generación de energía de paneles fotovoltaicos se obtuvo el mejor nivel de predicción en el modelo NARX, con un nivel de precisión mayor al 97%, pero menor al 98%. |

Anexo N°2:

Los datos siguientes fueron de las experimentaciones de la investigación:
Valoración de colectores solares térmicos planos de vacío para la producción de frío, realizada por Víctor Salguero Fernández.

| Serie | Hora de Registro | Fecha 30/06/2007 | | Fecha 05/07/2007 | |
|-------|------------------|-------------------------------|--|-------------------------------|--|
| | | Energía Térmica Generada (kJ) | Radiación Solar Registrada (W/m ²) | Energía Térmica Generada (kJ) | Radiación Solar Registrada (W/m ²) |
| 1 | 10:30 | 1,195.410 | 580.722 | 908.542 | 601.415 |
| 2 | 10:40 | 1,399.867 | 610.475 | 992.967 | 629.679 |
| 3 | 10:50 | 2,669.133 | 640.569 | 1,033.984 | 660.151 |
| 4 | 11:00 | 3,563.960 | 664.070 | 1,803.873 | 685.916 |
| 5 | 11:10 | 3,946.577 | 690.572 | 3,034.261 | 713.167 |
| 6 | 11:20 | 4,417.771 | 715.779 | 3,577.675 | 736.997 |
| 7 | 11:30 | 4,770.316 | 736.398 | 4,006.341 | 759.742 |
| 8 | 11:40 | 5,055.549 | 755.719 | 4,372.350 | 780.943 |
| 9 | 11:50 | 5,339.146 | 773.017 | 4,653.934 | 803.027 |
| 10 | 12:00 | 5,715.472 | 805.465 | 4,925.452 | 825.104 |
| 11 | 12:10 | 6,061.224 | 826.716 | 5,243.020 | 842.866 |
| 12 | 12:20 | 6,405.843 | 854.492 | 5,533.034 | 862.759 |
| 13 | 12:30 | 6,649.681 | 870.482 | 5,782.156 | 880.110 |
| 14 | 12:40 | 6,866.594 | 890.060 | 6,005.486 | 899.615 |
| 15 | 12:50 | 7,021.855 | 905.682 | 6,160.998 | 913.438 |
| 16 | 13:00 | 7,075.580 | 918.462 | 6,297.009 | 926.946 |
| 17 | 13:10 | 7,173.090 | 929.652 | 6,431.510 | 934.930 |
| 18 | 13:20 | 7,154.217 | 941.050 | 6,488.003 | 942.799 |
| 19 | 13:30 | 7,160.256 | 950.231 | 6,557.204 | 951.398 |
| 20 | 13:40 | 7,177.619 | 959.753 | 6,622.504 | 957.294 |
| 21 | 13:50 | 7,273.619 | 965.117 | 6,742.033 | 964.191 |

| | | | | | |
|----|-------|-----------|---------|-----------|---------|
| 22 | 14:00 | 7,247.700 | 967.592 | 6,714.982 | 968.753 |
| 23 | 14:10 | 7,182.400 | 974.796 | 6,812.491 | 962.552 |
| 24 | 14:20 | 7,109.173 | 971.706 | 6,801.293 | 967.967 |
| 25 | 14:30 | 7,158.621 | 970.054 | 6,729.325 | 966.338 |
| 26 | 14:40 | 7,177.619 | 965.993 | 6,623.888 | 967.686 |
| 27 | 14:50 | 7,218.762 | 967.355 | 6,474.037 | 958.813 |
| 28 | 15:00 | 6,956.051 | 959.033 | 6,487.751 | 957.064 |
| 29 | 15:10 | 6,813.749 | 955.448 | 6,445.476 | 949.391 |
| 30 | 15:20 | 6,630.557 | 948.047 | 6,404.207 | 941.505 |
| 31 | 15:30 | 6,438.556 | 936.498 | 6,278.262 | 930.555 |
| 32 | 15:40 | 6,326.074 | 921.060 | 6,219.127 | 915.870 |
| 33 | 15:50 | 6,125.140 | 909.117 | 6,121.240 | 897.856 |
| 34 | 16:00 | 5,988.752 | 897.164 | 5,839.152 | 887.241 |
| 35 | 16:10 | 5,738.245 | 879.054 | 5,574.554 | 871.284 |
| 36 | 16:20 | 5,502.711 | 865.378 | 5,361.417 | 853.943 |
| 37 | 16:30 | 5,270.197 | 847.030 | 5,156.834 | 843.686 |
| 38 | 16:40 | 5,031.895 | 825.890 | 4,906.076 | 821.020 |
| 39 | 16:50 | 4,786.547 | 803.274 | 4,701.116 | 799.164 |
| 40 | 17:00 | 4,582.594 | 782.151 | 4,425.194 | 774.699 |
| 41 | 17:10 | 4,341.776 | 757.806 | 4,159.464 | 752.311 |
| 42 | 17:20 | 4,066.483 | 733.217 | 3,760.994 | 730.632 |
| 43 | 17:30 | 3,695.693 | 705.793 | 3,269.795 | 707.411 |
| 44 | 17:40 | 2,601.316 | 682.749 | 1,986.562 | 678.268 |
| 45 | 17:50 | 1,824.507 | 653.274 | 1,415.217 | 648.542 |
| 46 | 18:00 | 1,391.563 | 625.803 | 1,155.399 | 617.144 |
| 47 | 18:10 | 1,083.808 | 599.358 | 842.487 | 586.231 |
| 48 | 18:20 | 770.392 | 567.599 | 595.000 | 561.599 |

Anexo N°3:

Los datos siguientes fueron de la investigación: “**Aplicaciones de la energía solar al tratamiento térmico de suelos de invernadero**”, realizada por Caridad Pérez de los Reyes.

| Serie | Días Registrados | Energía Acumulada Generada por el Sistema CCPSA (J) | Energía Acumulada Generada por el Sistema CCPA (J) | Radiación Solar Registrada (W/m ²) |
|-------|------------------|---|--|--|
| 1 | 01/07/2005 | 18387926.3 | 18947538.8 | 21170000 |
| 2 | 02/07/2005 | 19492159.1 | 20151815.6 | 21100000 |
| 3 | 03/07/2005 | 17877903.4 | 17953729.3 | 21120000 |
| 4 | 04/07/2005 | 14436618.2 | 14721758.2 | 20800000 |
| 5 | 05/07/2005 | 17082452.1 | 17527605.0 | 21230000 |
| 6 | 06/07/2005 | 17648984.1 | 17393251.9 | 21040000 |
| 7 | 07/07/2005 | 14174831.4 | 13737174.6 | 20120000 |
| 8 | 08/07/2005 | 14676205.0 | 16592034.4 | 20180000 |
| 9 | 09/07/2005 | 14822955.5 | 13844714.8 | 18820000 |
| 10 | 10/07/2005 | 16015988.2 | 15432157.5 | 20940000 |
| 11 | 11/07/2005 | 12141947.5 | 17258033.8 | 21340000 |
| 12 | 12/07/2005 | 10609860.6 | 12026622.9 | 20760000 |
| 13 | 13/07/2005 | 11658737.5 | 16011086.9 | 20660000 |
| 14 | 14/07/2005 | 12584217.2 | 17414298.6 | 20290000 |
| 15 | 15/07/2005 | 12269957.8 | 17258033.8 | 20650000 |
| 16 | 16/07/2005 | 13398120.4 | 16817493.9 | 21460000 |
| 17 | 17/07/2005 | 1605029.7 | 2210195.4 | 21460000 |
| 18 | 18/07/2005 | 14791241.2 | 18149204.4 | 21250000 |
| 19 | 19/07/2005 | 16143710.1 | 19489275.9 | 21340000 |
| 20 | 20/07/2005 | 14523111.6 | 18127292.8 | 21430000 |
| 21 | 21/07/2005 | 14596919.3 | 17341644.1 | 20950000 |
| 22 | 22/07/2005 | 10285798.5 | 13686720.1 | 19520000 |
| 23 | 23/07/2005 | 12299653.8 | 15313661.5 | 18790000 |
| 24 | 24/07/2005 | 12981798.7 | 16279216.5 | 19060000 |
| 25 | 25/07/2005 | 12269957.8 | 13587252.7 | 17510000 |
| 26 | 26/07/2005 | 14359350.7 | 16741668.0 | 20380000 |
| 27 | 27/07/2005 | 13825397.9 | 14243449.5 | 20260000 |
| 28 | 28/07/2005 | 9253931.9 | 11480561.1 | 19910000 |
| 29 | 29/07/2005 | 12128973.5 | 15053604.6 | 20840000 |
| 30 | 30/07/2005 | 16105941.3 | 18294801.7 | 19360000 |
| 31 | 31/07/2005 | 16582231.8 | 18592627.4 | 18940000 |

| | | | | |
|----|------------|------------|------------|----------|
| 32 | 01/08/2005 | 11160247.1 | 12910297.5 | 19520000 |
| 33 | 02/08/2005 | 14644779.0 | 16364556.7 | 21870000 |
| 34 | 03/08/2005 | 15215059.0 | 17344815.5 | 22250000 |
| 35 | 04/08/2005 | 15481747.1 | 17804095.6 | 22780000 |
| 36 | 05/08/2005 | 16368881.4 | 19127733.4 | 21370000 |
| 37 | 06/08/2005 | 15271856.4 | 18513918.4 | 19980000 |
| 38 | 07/08/2005 | 13283660.8 | 16066442.7 | 18320000 |
| 39 | 08/08/2005 | 11131415.9 | 12924713.0 | 18050000 |
| 40 | 09/08/2005 | 9759918.5 | 10846564.2 | 19040000 |
| 41 | 10/08/2005 | 4825756.7 | 5121275.9 | 15890000 |
| 42 | 11/08/2005 | 10730663.1 | 13977049.7 | 17740000 |
| 43 | 12/08/2005 | 14913196.9 | 17313101.3 | 20150000 |
| 44 | 13/08/2005 | 14904259.3 | 17305316.9 | 20270000 |
| 45 | 14/08/2005 | 17149628.7 | 19071224.4 | 20800000 |
| 46 | 15/08/2005 | 16753777.1 | 19062863.3 | 21020000 |
| 47 | 16/08/2005 | 9942996.2 | 11316223.6 | 17390000 |
| 48 | 17/08/2005 | 14263631.3 | 16992499.0 | 20420000 |
| 49 | 18/08/2005 | 13894304.4 | 16220977.6 | 20250000 |
| 50 | 19/08/2005 | 2564241.8 | 4153991.1 | 11680000 |
| 51 | 20/08/2005 | 17576329.6 | 17701456.8 | 19780000 |
| 52 | 21/08/2005 | 8888929.7 | 8392745.7 | 21460000 |
| 53 | 22/08/2005 | 11863438.7 | 12340882.4 | 21130000 |
| 54 | 23/08/2005 | 13573990.4 | 14122070.4 | 20610000 |
| 55 | 24/08/2005 | 13436754.1 | 13715263.0 | 20270000 |
| 56 | 25/08/2005 | 12493399.1 | 14058930.2 | 19930000 |
| 57 | 26/08/2005 | 10830130.5 | 18589744.3 | 20510000 |
| 58 | 27/08/2005 | 13678070.8 | 15668861.2 | 18940000 |
| 59 | 28/08/2005 | 18065017.5 | 19631125.2 | 20180000 |
| 60 | 29/08/2005 | 15590728.8 | 18654326.0 | 19680000 |
| 61 | 30/08/2005 | 13506525.5 | 17971316.3 | 19250000 |
| 62 | 31/08/2005 | 9705139.3 | 13551213.8 | 17950000 |
| 63 | 01/09/2005 | 9945289.1 | 16300481.4 | 19570000 |
| 64 | 02/09/2005 | 15478652.0 | 18128403.0 | 18270000 |
| 65 | 03/09/2005 | 13790873.9 | 16518770.8 | 19000000 |
| 66 | 04/09/2005 | 13977443.6 | 16425341.8 | 18750000 |
| 67 | 05/09/2005 | 15363307.5 | 18099566.8 | 19220000 |
| 68 | 06/09/2005 | 15530268.6 | 19096143.1 | 15060000 |
| 69 | 07/09/2005 | 5423785.6 | 5110625.4 | 14580000 |
| 70 | 08/09/2005 | 12950589.4 | 15890143.4 | 18530000 |
| 71 | 09/09/2005 | 12536791.1 | 14778511.0 | 18740000 |

| | | | | |
|----|------------|------------|------------|----------|
| 72 | 10/09/2005 | 12618685.7 | 14897027.5 | 20070000 |
| 73 | 11/09/2005 | 12786223.5 | 15745962.8 | 18610000 |
| 74 | 12/09/2005 | 11075665.0 | 12771228.8 | 17020000 |
| 75 | 13/09/2005 | 13848546.2 | 16461098.6 | 18590000 |
| 76 | 14/09/2005 | 13919771.4 | 16511850.1 | 18480000 |
| 77 | 15/09/2005 | 12961835.5 | 15877167.1 | 16860000 |
| 78 | 16/09/2005 | 8122558.0 | 9316373.3 | 13840000 |
| 79 | 17/09/2005 | 2731068.8 | 3148039.1 | 9780000 |
| 80 | 18/09/2005 | 14970559.6 | 17266203.0 | 19270000 |
| 81 | 19/09/2005 | 14006568.1 | 17741133.9 | 18320000 |
| 82 | 20/09/2005 | 15587940.9 | 19153815.3 | 18370000 |
| 83 | 21/09/2005 | 14337895.1 | 17916457.5 | 17990000 |
| 84 | 22/09/2005 | 15018139.2 | 18238268.6 | 17060000 |
| 85 | 23/09/2005 | 9843209.2 | 11233975.3 | 13180000 |
| 86 | 24/09/2005 | 14196309.8 | 17353288.1 | 16270000 |
| 87 | 25/09/2005 | 12317636.6 | 14860693.9 | 15970000 |
| 88 | 26/09/2005 | 13158786.2 | 15467117.5 | 16820000 |
| 89 | 27/09/2005 | 12082622.2 | 13489536.5 | 16240000 |
| 90 | 28/09/2005 | 13788567.0 | 16494260.1 | 16500000 |
| 91 | 29/09/2005 | 13761749.4 | 16630366.6 | 15780000 |
| 92 | 30/09/2005 | 13340453.7 | 16611334.7 | 15940000 |

Anexo N°4:

Los datos siguientes fueron de la investigación: **Análisis de producción y rentabilidad de proyectos fotovoltaicos**, realizada por Olalla Fernández Zamudio.

| Serie | Meses de Registro (Años 2009 y 2010) | Energía Fotovoltaica Generada en la Planta Solar de 112.04kW en la Palma del Condado (kWh) | Radiación Solar en la Provincia La Palma del Condado (kWh/m ²) | Energía Fotovoltaica Generada en la Planta Solar de 75.24kW en la Provincia de Alcalá del Río (kWh) | Radiación Solar en la Provincia de Alcalá del Río (kWh/m ²) |
|-------|--|---|---|--|--|
| 1 | Enero | 8,000 | 65.89 | 6,818 | 68.06 |
| 2 | Febrero | 8,840 | 103.31 | 10,030 | 103.56 |
| 3 | Marzo | 9,194 | 147.78 | 12,181 | 141.19 |
| 4 | Abril | 16,884 | 197.47 | 14,659 | 196.39 |
| 5 | Mayo | 19,896 | 234.44 | 17,421 | 239.44 |
| 6 | Junio | 15,807 | 225.44 | 15,872 | 230.36 |
| 7 | Julio | 17,718 | 253.08 | 17,863 | 263.06 |
| 8 | Agosto | 5,080 | 229.14 | 16,909 | 238.78 |
| 9 | Septiembre | 13,381 | 161.61 | 12,674 | 167.11 |
| 10 | Octubre | 15,727 | 137.61 | 12,742 | 142.92 |
| 11 | Noviembre | 10,276 | 90.00 | 9,912 | 93.81 |
| 12 | Diciembre | 7,933 | 61.92 | 6,760 | 62.61 |
| 13 | Enero | 8,000 | 66.39 | 6,735 | 67.50 |
| 14 | Febrero | 8,840 | 75.69 | 6,892 | 78.11 |
| 15 | Marzo | 9,194 | 129.53 | 6,110 | 130.81 |
| 16 | Abril | 16,884 | 172.75 | 12,871 | 176.00 |
| 17 | Mayo | 19,896 | 229.58 | 17,618 | 234.89 |
| 18 | Junio | 17,805 | 219.56 | 15,589 | 220.97 |
| 19 | Julio | 18,616 | 240.53 | 17,540 | 253.14 |
| 20 | Agosto | 17,842 | 208.50 | 14,458 | 225.22 |
| 21 | Septiembre | 16,906 | 167.92 | 13,864 | 177.42 |
| 22 | Octubre | 14,090 | 127.42 | 11,413 | 116.36 |
| 23 | Noviembre | 10,198 | 75.83 | 7,948 | 65.56 |
| 24 | Diciembre | 7,348 | 55.94 | 6,083 | 53.19 |

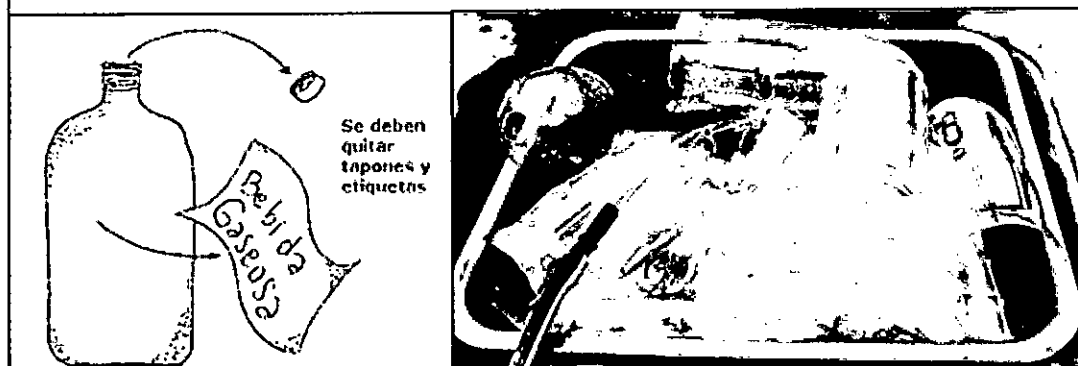
Anexo N°5:

Detalle de la implementación del Sistema de Calentamiento sin Aislamiento con Dos Botellas. Fuente: Virginia Miranda Gassull. Esta implementación se tomó en consideración como parte de los presupuestos de los colectores solares.

Botellas de PET utilizadas



Lavado de Botellas



Corte. Cuello de Botella de PET



Corte base de Botella



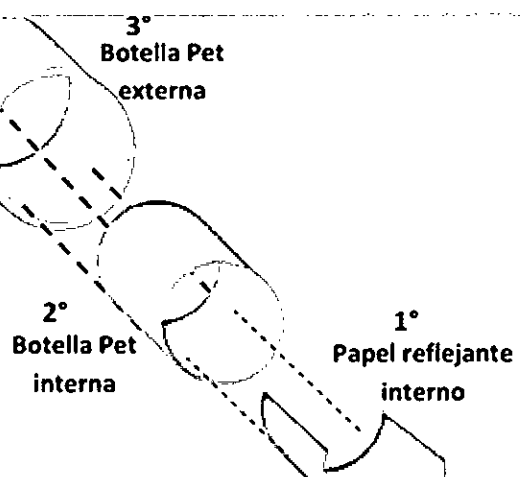
Resultado Final: Botella Cortada



Corte de botella interna

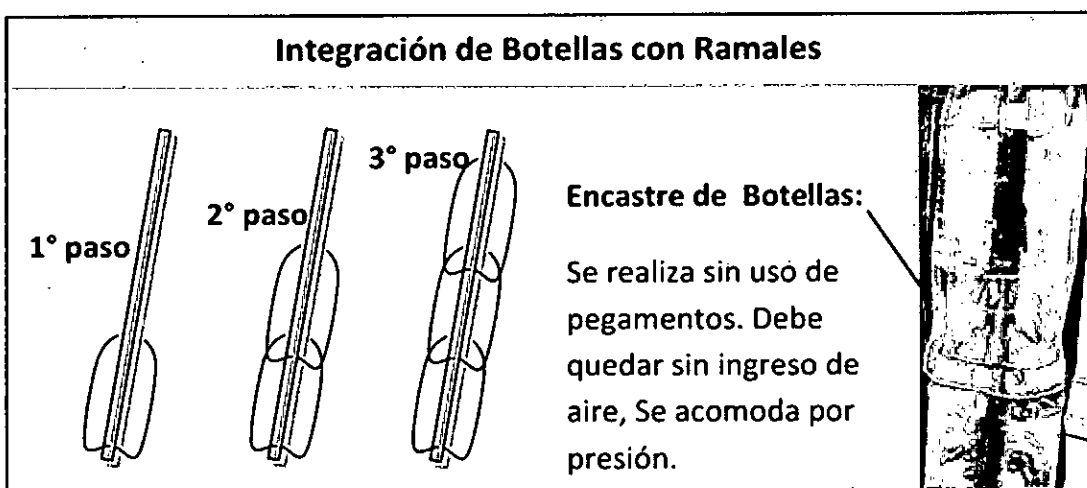
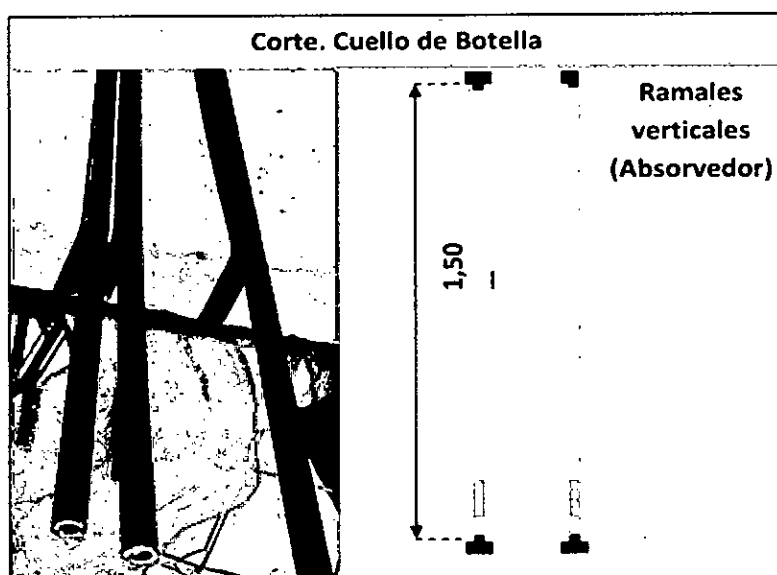


Colocación del papel reflejante interno

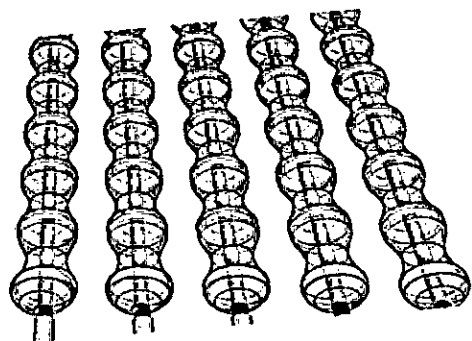


Pasos en la colocación papel reflejante interno.





Conecciones

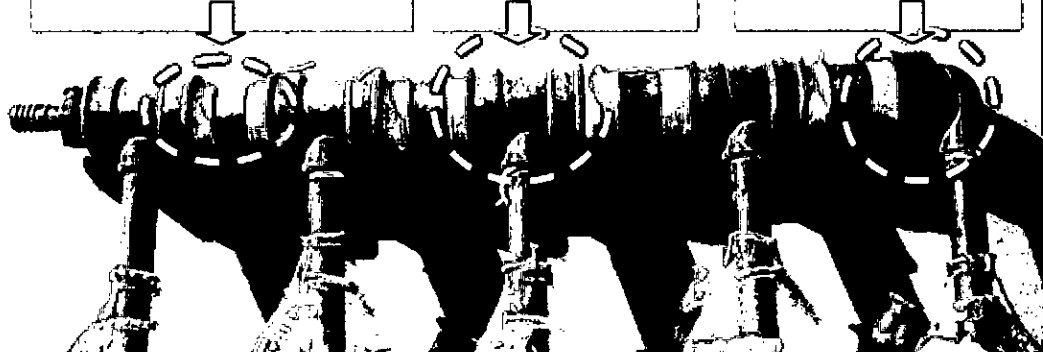


Conecciones

Colector- Caño
Polipropileno Tricapa 1".

Tee reducción 1"-
1/2"

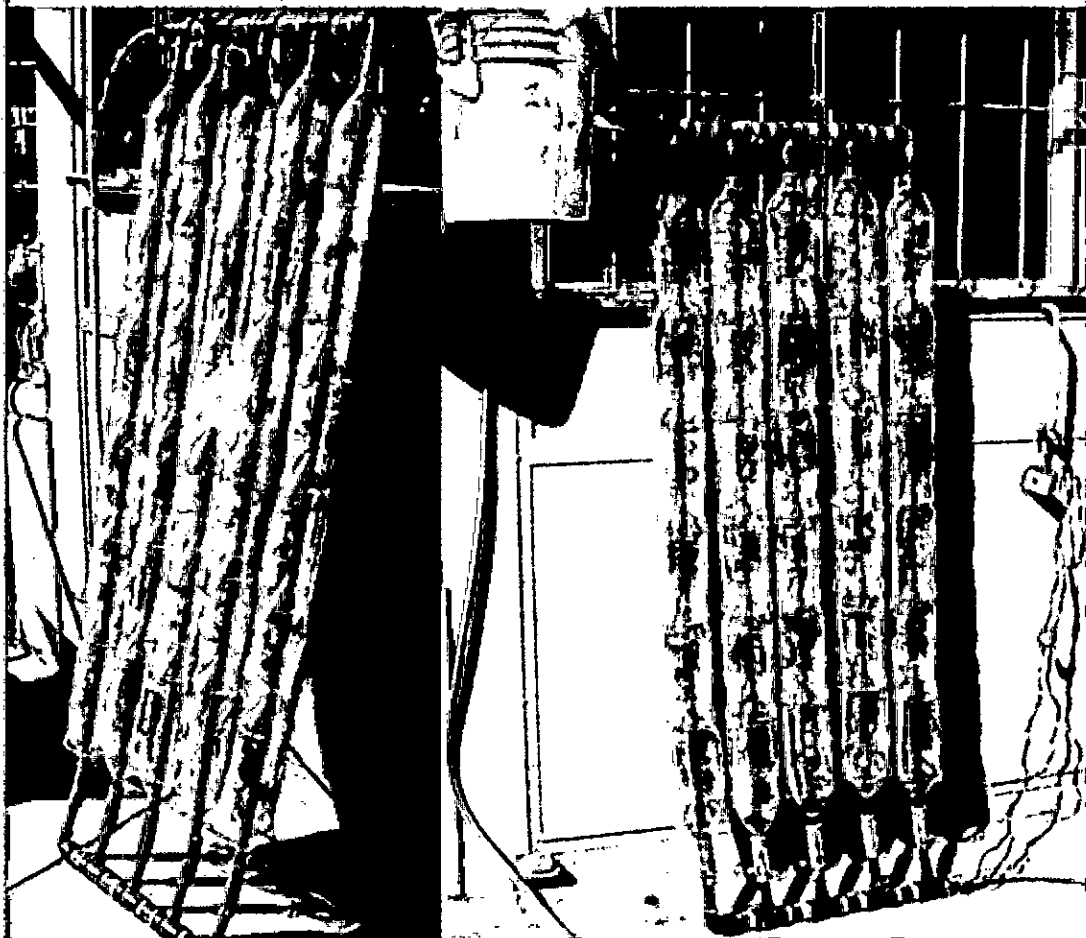
Codo 90º reducción
1"-1/2"



Conecciones



Sistema Calentamiento de Agua Sanitaria Solar (n°1)



Anexo N°6: Especificaciones técnicas de colectores solares

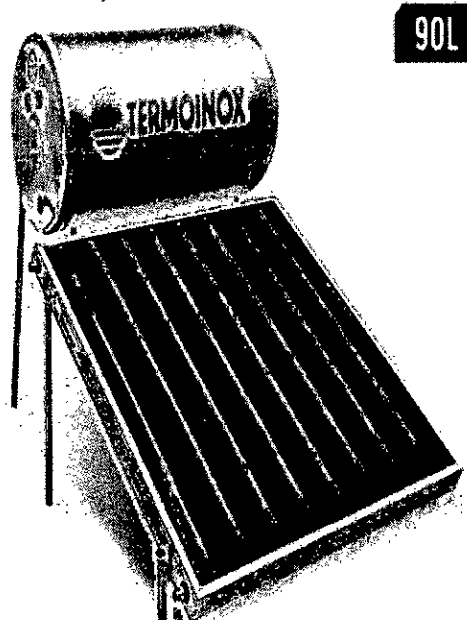
| Modelo | Origen | Capacidad (L) | Medidas (m) | Descripción | Foto | Precios sin IGV |
|-------------------------------|---------------|----------------------|---|---|-------------|------------------------|
| Placa Plana, SKU 152979-X | | 90 | Medidas de tanque 0.48 m. x 0.89 m Medidas de panel 1.0 m. x 1.1 m. x 0.08 m | El colector posee una carcasa de aluminio anodizado pesado y extra fuerte. Fondo de colector solar metálico de alta resistencia mecánica y embate de las lluvias. Irrompible, colector con vidrio solar prismático templado de 4.00mm de espesor con textura anti-reflectiva. | | \$633,- USD |
| Placa Plana, SKU: 152980-3 | | 120 | Medidas de tanque 0.48 m. x 1.14 m Medidas de panel 1.0 m. x 1.5 m. x 0.08 m | El colector posee una carcasa de aluminio anodizado pesado y extra fuerte. Fondo de colector solar metálico de alta resistencia mecánica y embate de las lluvias. Irrompible, colector con vidrio solar prismático templado de 4.00mm de espesor con textura anti-reflectiva. | | \$710,- USD |
| Placa Plana, SKU:204299-1 | | 135 | Diámetro 0.46 m Altura 2.4 m Espesor del tanque 55 mm | Tanque interior (acero inoxidable SUS316 grado Quirúrgico, grosor 0.5mm), Tanque exterior (Acero galvanizado pintado al horno, Grosor 0.31mm), Estructura (acero galvanizado, grosor 1.5mm), Aislante térmico (Políuretano inyectado de alta densidad libre de gas Freón,Grosor 55mm),Tubo al vacío y Acero Inoxidable. | | \$464,- USD |
| Placa Plana, SKU 152981-1 | | 150 | Medidas de tanque 0.48 m. x 1.4 m Medidas de panel 1.0 m. x 1.8 m. x 0.08 m | El colector posee una carcasa de aluminio anodizado pesado y extra fuerte. Fondo de colector solar metálico de alta resistencia mecánica y embate de las lluvias. Irrompible, colector con vidrio solar prismático templado de 4.00mm de espesor con textura anti-reflectiva. | | \$809,- USD |

Fuente: Sodimac

Terma Solar 90 litros Termoinox

Modelo: Placa Plana, SKU 152979-X

Precio: \$ 633 USD (No Incl. IGV)



| Atributo | Detalle |
|--|--|
| Modelo | Placa plana |
| Marca | Termoinox |
| Procedencia | Perú |
| Capacidad | 90 L |
| Peso en vacío | 54 Kg |
| Peso en bruto | 144 Kg |
| Medidas de tanque | 0.48 m. x 0.89 m |
| Medidas de panel | 1.0 m. x 1.1 m. x 0.08 m |
| Entrada de agua | Ingreso de agua fría. Salida de agua caliente. Termosifón. |
| Nº de puntos simultáneos | 2 |
| Número de personas | 02 a 03 Duchas personas / día |
| Material | Termotanque de acero inoxidable |
| Potencia | 2000 W |
| Regulador de presión de temperatura | Si |
| Aislamiento | Poliuretano Rígido Ecológico |
| Tipo de instalación | Red pública/ Reservorio de agua o mixta |

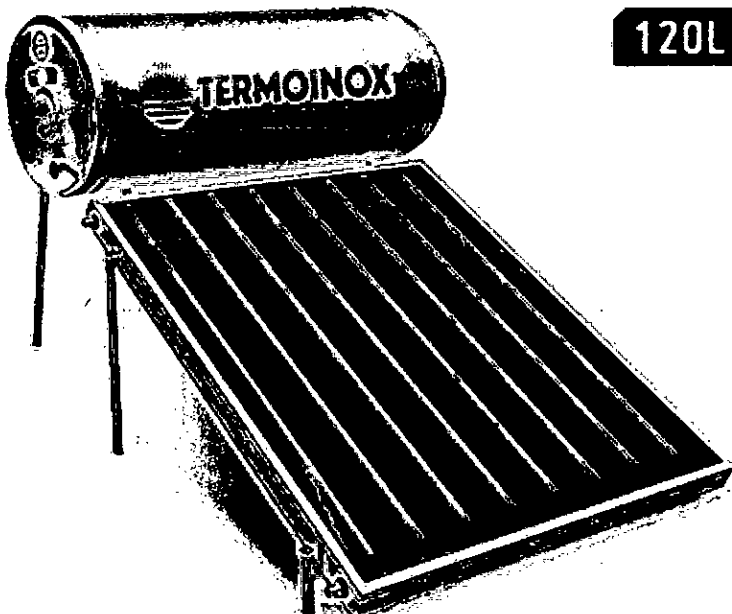
| | |
|-----------------------------|--|
| Almacenaje caliente | Hasta 24 horas |
| Válvula antiretorno | Si |
| Color | Aluminio |
| Garantía | 5 años (Termostanque y colector solar), 1 año (Sistema auxiliar eléctrico) y 06 meses (Accesorios, tuberías y válvulas). |
| Características | Mayor tiempo de vida útil, el colector posee una carcasa de aluminio anodizado pesado y extra fuerte, Ideal para zonas de humedad elevada y zonas cerca al mar. Fondo de colector solar metálico de alta resistencia mecánica y embate de las lluvias. Irrompible, colector con vidrio solar prismático templado de 4.00mm de espesor con textura anti-reflectiva. Resiste impactos de 300 kg/m ² ; es decir de hasta 4 personas/m ² sin romperse. |
| Incluye | Instalación gratuita. |
| Instalación | Se requiere: Arranques: 01 arranque de agua fría de 3/4" y 01 arranque de agua caliente de 3/4" (puntos no mas de 2.5 m de radio). Espacio requerido: 4.5 m x 4.5 m. Este espacio debe estar limpio, libre de sombra y resistente al precio en bruto. Arranque sistema eléctrico: 01 llave termo magnética de 2x 32 Amperios en tablero general y tendido de cables # 12 (ida y vuelta) hasta el lugar de instalación. |
| Observaciones | La instalación es gratis en cualquier punto de venta de Sodimac - ciudad. Fuera de esta zona, solo se aplicará una tarifa por traslado del instalador. Si el cliente decide hacer la instalación por su cuenta, ésta pierde toda la garantía de fábrica. |
| Detalles adicionales | Superficie selectiva, posee aletas de aluminio con tratamiento superficial de Oxidación Anódica de Cromo Negro. Fuerte aislamiento, con lana de vidrio y/o poliuretano rígido ecológico de 30 mm de espesor. Menos pérdidas de calor. 100% de contacto entre placa selectiva y tubos de elevación de cobre mediante proceso de soldadura por ultrasonido. Eficiencia energética media 60.2%. Producción energética de 84.7 kw-h/mes-m ² |
| Grupo | Termas solares |
| Categoría | Baños |

Fuente: Sodimac

Terma Solar 120 litros Termoinox

Modelo: Placa Plana, SKU: 152980-3

Precio: \$ 710 USD (No Incl. IGV)



| Atributo | Detalle |
|--|--|
| Modelo | Placa plana |
| Marca | Termoinox |
| Procedencia | Perú |
| Capacidad | 120 L |
| Peso en vacío | 62 Kg |
| Peso en bruto | 182 Kg |
| Medidas de tanque | 0.48 m. x 1.14 m |
| Medidas de panel | 1.0 m. x 1.5 m. x 0.08 m |
| Entrada de agua | Ingreso de agua fría. Salida de agua caliente. Termosifón. |
| Nº de puntos simultáneos | 2 |
| Número de personas | 03 a 04 Duchas personas / día |
| Material | Termotanque de acero inoxidable |
| Potencia | 2000 W |
| Regulador de presión de temperatura | Si |
| Aislamiento | Poliuretano Rígido Ecológico |
| Tipo de instalación | Red pública/ Reservorio de agua o mixta |

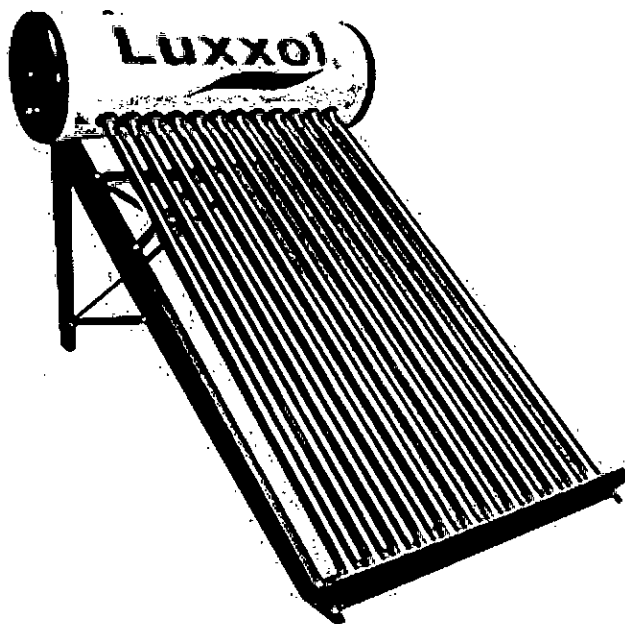
| | |
|-----------------------------|--|
| Almacenaje caliente | Hasta 24 horas |
| Válvula antiretorno | Si |
| Color | Aluminio |
| Garantía | 5 años (Termotanque y colector solar), 1 año (Sistema auxiliar eléctrico) y 06 meses (Accesorios, tuberías y válvulas). |
| Características | Mayor tiempo de vida útil, el colector posee una carcasa de aluminio anodizado pesado y extra fuerte, Ideal para zonas de humedad elevada y zonas cerca al mar. Fondo de colector solar metálico de alta resistencia mecánica y embate de las lluvias. Irrompible, colector con vidrio solar prismático templado de 4.00mm de espesor con textura anti-reflectiva. Resiste impactos de 300 kg/m ² ; es decir de hasta 4 personas/m ² sin romperse. |
| Incluye | Instalación gratuita. |
| Instalación | Se requiere: Arranques: 01 arranque de agua fría de 3/4" y 01 arranque de agua caliente de 3/4" (puntos no más de 2.5 m de radio). Espacio requerido: 4.5 m x 4.5 m. Este espacio debe estar limpio, libre de sombra y resistente al precio en bruto. Arranque sistema eléctrico: 01 llave termo magnética de 2x 32 Amperios en tablero general y tendido de cables # 12' (ida y vuelta) hasta el lugar de instalación. |
| Observaciones | La instalación es gratis en cualquier punto de venta de Sodimac - ciudad. Fuera de esta zona, solo se aplicará una tarifa por traslado del instalador. Si el cliente decide hacer la instalación por su cuenta, ésta pierde toda la garantía de fábrica. |
| Detalles adicionales | Superficie selectiva, posee aletas de aluminio con tratamiento superficial de Oxidación Anódica de Cromo Negro. Fuerte aislamiento, con lana de vidrio y/o poliuretano rígido ecológico de 30 mm de espesor. Menos pérdidas de calor. 100% de contacto entre placa selectiva y tubos de elevación de cobre mediante proceso de soldadura por ultrasonido. Eficiencia energética media 60.2%. Producción energética de 84.7 kw-h/mes-m ² |
| Grupo | Termas solares |
| Categoría | Baños |
| Familia | Baños y cocinas |

Fuente: Sodimac

Terma Solar 135 litros Luxxol

Modelo: Placa Plana, SKU:204299-1

Precio: \$ 464 USD (No Incl. IGV)



| Atributo | Detalle |
|------------------------------|-------------------------------------|
| Modelo | Luminum |
| Marca | Luxxol |
| Procedencia | China |
| Capacidad | 135 L |
| Diámetro | 0.46 m |
| Altura | 2.40 m |
| Espesor del tanque | 55 mm |
| Entrada de agua | Si |
| Termostato | No |
| Número de puntos simultáneos | 1 |
| Número de personas | 10 |
| Material | Acero inoxidable SUS316 |
| Potencia | 1500 W |
| Regulador de temperatura | Sensor |
| Indicador de temperatura | Si |
| Timer | No |
| Aislamiento | Poliuretano inyectado alta densidad |

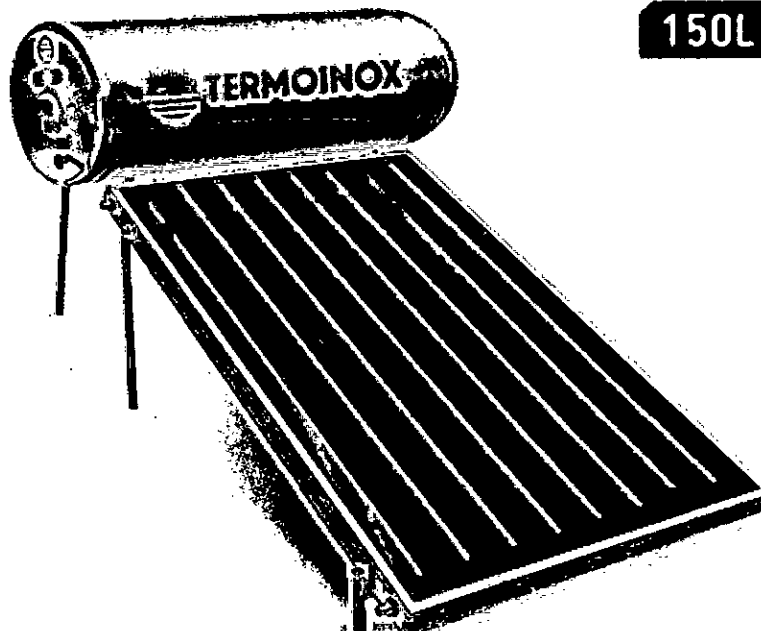
| | |
|---------------------------------|--|
| Tipo de instalación | Tanque elevado |
| Almacenaje caliente | 24 horas |
| Válvula de escape o fuga | Alivio |
| Color | Fondo blanco tapa negra |
| Garantía | 5 años |
| Peso | 25 kg |
| Características | Tanque interior (acero inoxidable SUS316 grado Quirúrgico, grosor 0.5mm), Tanque exterior (Acero galvanizado pintado al horno, Grosor 0.31mm), Estructura (acero galvanizado, grosor 1.5mm), Aislante térmico (Políuretano inyectado de alta densidad libre de gas Freón, Grosor 55mm), Tubo al vacío (Tubo triple capa, lleva una capa de Aluminio Nitrogenado, Cobre y Acero Inoxidable todo esto va entre los dos tubos concéntricos, haciendo que el tubo sea más eficiente para calentar agua). |
| Incluye | Kit de accesorios de la terma |
| Observaciones | Resistencia y controlador se venden por separado. |

Fuente: Sodimac

Terma Solar 150 litros Termoinox

Modelo: Placa Plana, SKU 152981-1

Precio: \$ 809 USD (No Incl. IGV)



| Atributo | Detalle |
|--|--|
| Modelo | Placa plana |
| Marca | Termoinox |
| Procedencia | Perú |
| Capacidad | 150 L |
| Peso en vacío | 80 Kg |
| Peso en bruto | 230 Kg |
| Medidas de tanque | 0.48 m. x 1.4 m |
| Medidas de panel | 1.0 m. x 1.8 m. x 0.08 m |
| Entrada de agua | Ingreso de agua fría. Salida de agua caliente. Termosifón. |
| Nº de puntos simultáneos | 2 |
| Número de personas | 04 a 05 Duchas personas / día |
| Material | Termotanque de acero inoxidable |
| Potencia | 2000 W |
| Regulador de presión de temperatura | Si |
| Aislamiento | Poliuretano Rígido Ecológico |
| Tipo de instalación | Red pública/ Reservorio de agua o mixta |

| | |
|-----------------------------|--|
| Almacenaje caliente | Hasta 24 horas |
| Válvula antiretorno | Si |
| Color | Aluminio |
| Garantía | 5 años (Termotanque y colector solar), 1 año (Sistema auxiliar eléctrico) y 06 meses (Accesarios, tuberías y válvulas). |
| Características | Mayor tiempo de vida útil, el colector posee una carcasa de aluminio anodizado pesado y extra fuerte, Ideal para zonas de humedad elevada y zonas cerca al mar. Fondo de colector solar metálico de alta resistencia mecánica y embate de las lluvias. Irrompible, colector con vidrio solar prismático templado de 4.00mm de espesor con textura anti-reflectiva. Resiste impactos de 300 kg/m ² ; es decir de hasta 4 personas/m ² sin romperse. |
| Incluye | Instalación gratuita. |
| Instalación | Se requiere: Arranques: 01 arranque de agua fría de 3/4" y 01 arranque de agua caliente de 3/4" (puntos no más de 2.5 m de radio). Espacio requerido: 4.5 m x 4.5 m. Este espacio debe estar limpio, libre de sombra y resistente al precio en bruto. Arranque sistema eléctrico: 01 llave termo magnética de 2x 32 Amperios en tablero general y tendido de cables # 12 (ida y vuelta) hasta el lugar de instalación. |
| Observaciones | La instalación es gratis en cualquier punto de venta de Sodimac - ciudad. Fuera de esta zona, solo se aplicará una tarifa por traslado del instalador. Si el cliente decide hacer la instalación por su cuenta, ésta pierde toda la garantía de fábrica. |
| Detalles adicionales | Superficie selectiva, posee aletas de aluminio con tratamiento superficial de Oxidación Anódica de Cromo Negro. Fuerte aislamiento, con lana de vidrio y/o poliuretano rígido ecológico de 30 mm de espesor. Menos pérdidas de calor. 100% de contacto entre placa selectiva y tubos de elevación de cobre mediante proceso de soldadura por ultrasonido. Eficiencia energética media 60.2%. Producción energética de 84.7 kw-h/mes-m ² |
| Grupo | Termas solares |
| Categoría | Baños |

Fuente: Sodimac

Anexo N°7:

Detalle de los costos del Estudio, Diseño e Implementación de un Sistema de Energía Solar en el Barrio Puerto Roma. Fuente: Gustavo González Peñafiel, Juan Zambrano Manosalvas y Edison Estrada Pulgar. Esta implementación se tomó en consideración como parte de los presupuestos de los paneles fotovoltaicos.

COSTOS DE LOS KITS SOLARES

| Nº | Cant. | Descripción | Costo Unit. | Totales |
|----|-------|---|----------------|------------|
| 1 | 5 | Paneles fotovoltaicos 85 Watts Tynsolar | \$270.20 | \$1,351.00 |
| 2 | 5 | Inversores 300 Watts Avtek | \$49.90 | \$249.50 |
| 3 | 5 | Reguladores de carga Phocos | \$80.00 | \$400.00 |
| 4 | 5 | Baterías de Gel Millenium Narada | \$349.44 | \$1,747.20 |
| | | | TOTAL | \$3,747.70 |
| | | | IGV | \$674.59 |
| | | | TOTAL US (\$): | \$4,422.29 |

COSTO DE LOS TABLEROS DE DISTRIBUCIÓN

| Nº | Cant. | Descripción | Costo Unit. | Totales |
|----|-------|----------------------------------|----------------|----------|
| 1 | 5 | Cajas Metálicas 40x40x20 cm | \$40.20 | \$201.00 |
| 2 | 5 | Canaletas Ranuradas 25 x25mm | \$3.25 | \$16.25 |
| 3 | 60 | Borneras para Cable # 8 thhn | \$1.25 | \$75.00 |
| 4 | 10 | Breaker para riel din 2 Amp | \$4.15 | \$41.50 |
| 5 | 20 | Metros de cable # 14 thhn | \$0.54 | \$10.80 |
| 6 | 25 | Tapas finales para riel din | \$1.10 | \$27.50 |
| 7 | 2 | Riel Din | \$1.20 | \$2.40 |
| 8 | 100 | tornillos Autorroscable 1/2" x 8 | \$0.03 | \$3.00 |
| | | | TOTAL | \$377.45 |
| | | | IGV | \$67.94 |
| | | | TOTAL US (\$): | \$445.39 |

COSTO DE LA INSTALACIÓN ELÉCTRICA

| Nº | Cant. | Descripción | Costo Unit. | Totales |
|----|-------|---------------------------------------|-------------|----------|
| 1 | 500 | Metros de cable # 16 thhn | \$0.25 | \$125.00 |
| 2 | 20 | Cajas 4x2 PVC | \$0.50 | \$10.00 |
| 3 | 25 | Cajas Octogonales | \$0.50 | \$12.50 |
| 4 | 25 | Boquillas ticino | \$0.90 | \$22.50 |
| 5 | 8 | Interruptores Dobles | \$0.84 | \$6.72 |
| 6 | 50 | Metros de Cable Concéntrico 3x12 thhn | \$1.95 | \$97.50 |
| 7 | 60 | Conectores 1/2" | \$0.25 | \$15.00 |
| 8 | 100 | Grapas de 1/2 " | \$0.25 | \$25.00 |
| 9 | 50 | Tubos de 1/2 " | \$0.80 | \$40.00 |
| 10 | 8 | Tomacorrientes dobles Cooper | \$0.90 | \$7.20 |

| | | | | |
|----|----|----------------------|----------------|----------|
| 11 | 10 | Cintas Aislantes 3 M | \$0.80 | \$8.00 |
| | | | TOTAL | \$221.92 |
| | | | IGV | \$39.95 |
| | | | TOTAL US (\$): | \$261.87 |

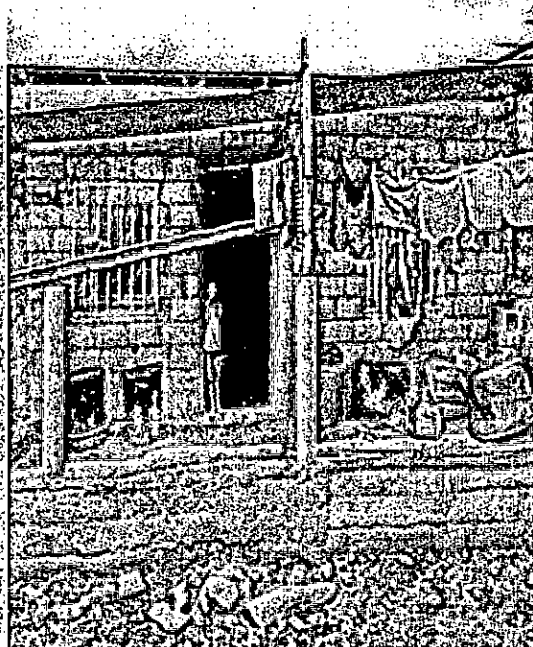
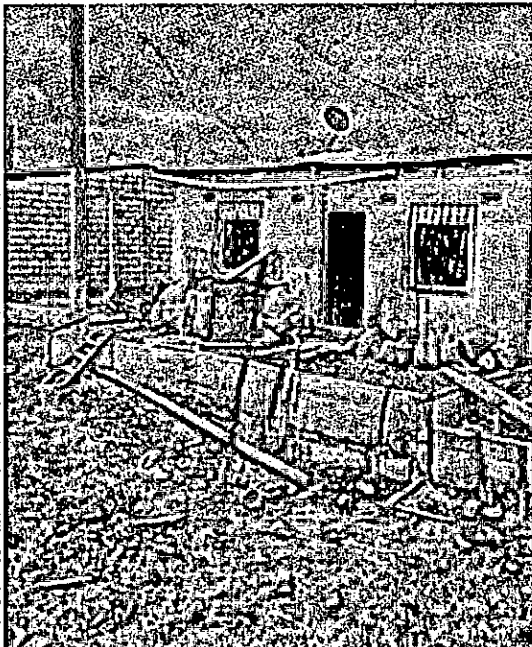
GESTIÓN Y COMUNICACIÓN

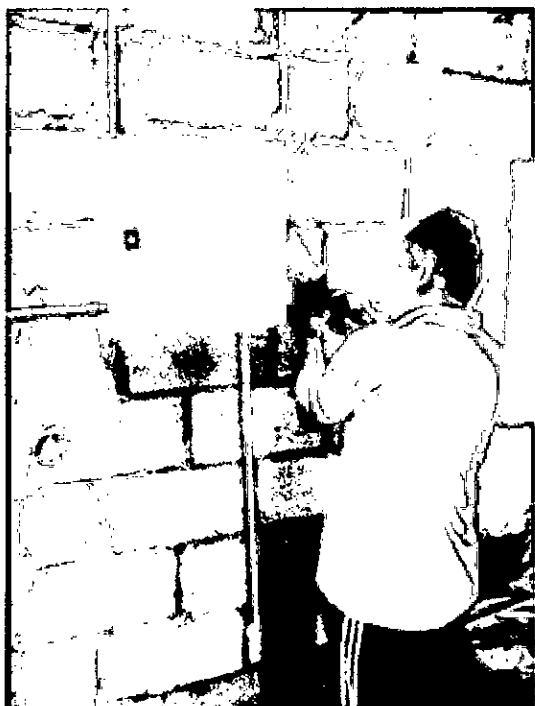
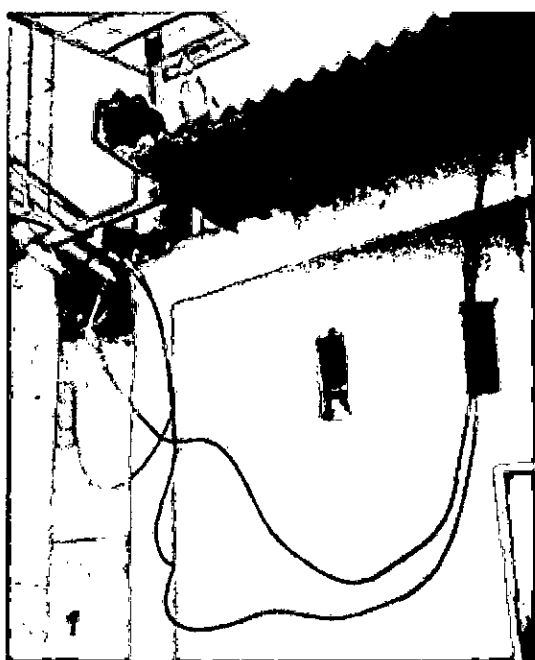
| Nº | Cant. | Descripción | Costo Unit. | Totales |
|----|-------|-----------------------------|----------------|------------|
| 1 | 1 | Estructuras Metal Mecánicas | \$700.00 | \$700.00 |
| 2 | 5 | Transporte | \$80.00 | \$400.00 |
| 3 | 15 | Alimentación | \$3.00 | \$45.00 |
| 4 | 1 | Gestión y Comunicación | \$200.00 | \$200.00 |
| | | | TOTAL | \$1,646.81 |
| | | | IGV | \$296.43 |
| | | | TOTAL US (\$): | \$1,943.24 |

COSTO TOTAL DEL PROYECTO

| Nº | Descripción | Totales (Incl. IGV) |
|----|--|------------------------|
| 1 | Costos de los Kits Solares | \$4,422.29 |
| 2 | Costos de los Tableros de Distribución | \$445.39 |
| 3 | Costo de la Instalación Eléctrica | \$261.87 |
| 4 | Gestión y Comunicación | \$1,943.24 |
| | TOTAL US(\$): | \$7,072.78 |

Estas son algunas imágenes:





Anexo N°8: Especificaciones técnicas de paneles fotovoltaicos

| Precios Sin IGV | Foto | Voltaje máx. Voc* | Voltaje MPP Vmpp* | Corriente max Isc * | Corriente MPP Impp * | Tipo / Diodos | Medidas (mm) | Bosquejo |
|---|------|-------------------------|-------------------------|---------------------------|----------------------------|--------------------|-----------------|----------|
| Monocristalino 100Wp / 12V \$120,- USD | | 21.8V | 17.6V | 5.51A | 5.11A | Mono 36 cel/ Si | 1200x540x35 | |
| Policristalino 140Wp / 12V \$160,- USD | | 22.3V | 18.00V | 8.25A | 7.78A | Poli 36 cel/ Si | 1482x676x50 | |
| Monocristalino 150Wp / 12V \$180,- USD | | 22.6V | 18.01V | 8.88A | 8.42A | Mono 36 cel/ Si | 1482x676x35 | |
| Monocristalino 190Wp / 24V \$230,- USD | | 44.5V | 36.5V | 5.77A | 5.34A | Mono 72 cel/ Si | 1580x808x40 | |

| | | | | | | | | |
|--|--|-------|--------|-------|-------|--------------------|-------------|--|
| Monocristalino 200Wp / 24V \$240,- USD | | 44.5V | 36.5V | 5.77A | 5.34A | Mono 72 cel/ Si | 1580x808x40 | |
| Policristalino 250Wp / 30V SOLO SYSTEMAS MPPT \$280,- USD | | 36.6V | 29.50V | 8.42A | 7.80A | Poli 60 cel/ Si | 1640x992x40 | |
| Policristalino 275Wp / 30V SOLO SYSTEMAS MPPT \$320,- USD | | 36.6V | 29.50V | 8.42A | 7.80A | Poli 60 cel/ Si | 1640x992x40 | |
| Policristalino 300Wp / 24V \$330,- USD | | 45.0V | 37.8V | 8.93A | 8.26A | Poli 72 cel/ Si | 1956x992x40 | |

Fuente: Pro Viento S.A.C.

TECHNICAL DATA SHEET

SM536-85,SM536-90,SM536-95



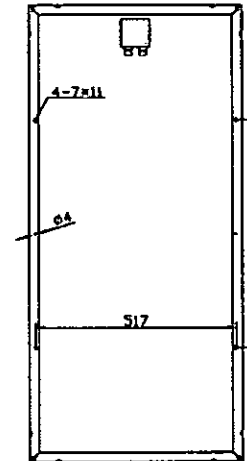
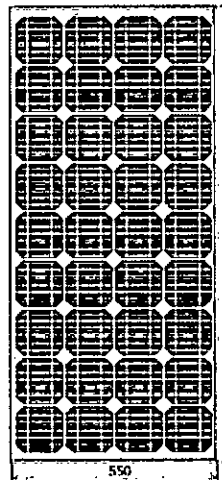
Technical Data

| | |
|------------------------------|---------------------------------|
| Type | SM536-85, SM536-90, SM536-95 |
| Type of Solar Cell | Mono-crystalline, 125mmx125mm |
| Number of Cells | 36 pcs |
| Size of module | 1200x540x35mm (125x125mm cell) |
| Module, Weight | 8 kg |
| Connector / Cross-Section | Cixi Renhe, TOP |
| Cables, Length (+/-) | Customizable |
| Front Cover Glass | Safety Glass |
| Front Cover Glass, Thickness | 3.2 mm |
| Frame | Anodized Aluminium |

Electrical Data

| | | | | |
|------------------------|-----------------|-----------|-----------|-----------|
| Maximum Power | $P_{MPPT, STC}$ | 85 W | 90 W | 95 W |
| Power Tolerance | Δ_{STC} | $\pm 2\%$ | $\pm 2\%$ | $\pm 2\%$ |
| Maximum Power Voltage | $U_{MPPT, STC}$ | 17.4 V | 17.6 V | 17.8 V |
| Maximum Power Current | $I_{MPPT, STC}$ | 4.89 A | 5.11 A | 5.33 A |
| Open Circuit Voltage | $U_{OC, STC}$ | 21.6 V | 21.8 V | 22.2 V |
| Short Circuit Current | $I_{SC, STC}$ | 5.25 A | 5.51 A | 5.79 A |
| Cell Efficiency | η_{STC} | 15.9% | 16.8% | 17.8% |
| Maximum System Voltage | U_{oc} | 700 V | 700 V | 700 V |

STC: Irradiance 1000 W/m²; Spectrum AM 1.5; Cell Temperature 25°C, Wind 0 m/s



Temperature Coefficients

| | | |
|---------------------|-----------------------|-------------------|
| Power Coefficient | $\alpha_p (P_{MPPT})$ | - 0.45 %/K |
| Voltage Coefficient | $\beta_v (U_{OC})$ | - 0.35 %/K |
| Current Coefficient | $\phi_i (I_{SC})$ | 0.065 ± 0.015 %/K |

Power Warranty

10 years performance warranty to 90 %

25 years performance warranty to 80 %

5 years warranty against production and material defects

Certifications

IEC 61215, IEC 61730, TUV, CE, ISO9001:2000

Simax(suzhou) Green New Energy Co.,Ltd

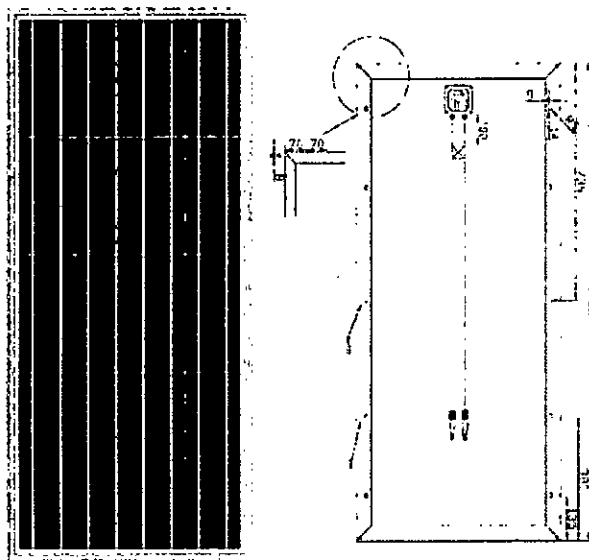
Add:belbanjing riverside,suzhou road,taicang city,jiangsu province,China

Tel: +86-512-53378555 Fax:+86-512-53378556

Url: www.simaxsolar.com Email: info@simaxsolar.com jacky@simaxsolar.com



SIMAX 156 Polycrystalline Solar Module (SP636-125W-145W)



Mechanical Characteristics

| | |
|--------------|--|
| Solar Cell | Polycrystalline silicon solar cell 156x156(mm) |
| No. of Cells | 36(4x9) |
| Dimensions | 1482x676x50(mm) |
| Weight | 14kg |
| Front Glass | 3.2mm(0.13 inches) tempered glass |
| Frame | Anodized aluminum alloy |

Output

| | |
|--------------|-----------------------|
| Cable Type | $\Phi=4\text{mm}^2$ |
| Lengths | L=900mm |
| Junction Box | PV-GZX0501 MC3 or MC4 |

Temperature Coefficients

| | |
|--|--------------------------|
| Nominal operating cell temperature(NOCT) | $45 \pm 2^\circ\text{C}$ |
| Temperature Coefficient of Pmax | $-0.39\%/\text{C}$ |
| Temperature Coefficient of Voc | $-0.34\%/\text{C}$ |
| Temperature Coefficient of Isc | $0.035\%/\text{C}$ |

Electrical Specifications

| Parameter | SP636-125 | SP636-130 | SP636-135 | SP636-140 | SP636-145 |
|--|-----------|-----------|---|-----------|-----------|
| Peak power Pm(W) | 125±3% | 130±3% | 135±3% | 140±3% | 145±3% |
| Open circuit voltage Voc(V) | 21.7 | 21.7 | 22.3 | 22.3 | 22.9 |
| Max. power voltage Vmp(V) | 17.7 | 17.5 | 18 | 18 | 18.5 |
| Max. power current Imp(A) | 7.14 | 7.43 | 7.5 | 7.78 | 7.84 |
| Short circuit current Isc(A) | 7.57 | 7.87 | 7.95 | 8.25 | 8.31 |
| Dimensions(L*W*H) | | | 1482*676*50 | | |
| Weight(g) | | | 14 | | |
| Max. over-current (A) | | | 14 | | |
| Max. system voltage (V) | | | -1000V DC | | |
| Application Class | | | Class A | | |
| Mono crystalline silicon solar cell | | | 156x156*0.19mm | | |
| No. of cells and connections | | | 36 series | | |
| No. of bypass diodes | | | 6 | | |
| Bypass diode rating (A) | | | 10 | | |
| Bypass diode max. junction temperature(°C) | | | 200 | | |
| Bypass diode thermal resistance(°C/W) | | | 3.0 | | |
| STC | | | Irradiance:1000W/m ² ,Cell temperature:25°C,AM:1.5 | | |
| Maximum No. of series connection | | | 43 | | |
| Maximum No. of parallel connection | | | 2 | | |

TECHNICAL DATA SHEET

SM636-150

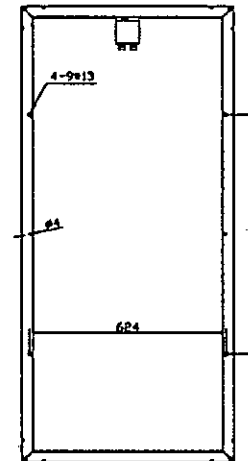
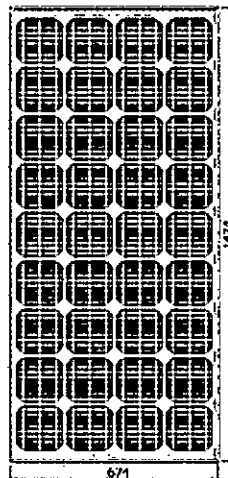
Technical Data

| | |
|------------------------------|----------------------------------|
| Type | SM636-150 |
| Type of Solar Cell | Mono-crystalline, 156mmx156mm |
| Number of Cells | 36 pcs |
| Size of module | 1482x676x35mm. (156x156mm cell) |
| Module, Weight | 12 kg |
| Connector / Cross-Section | Cixi Renhe |
| Cables, Length (+/-) | Customizable |
| Front Cover Glass | Safety Glass |
| Front Cover Glass, Thickness | 3.2 mm |
| Frame | Anodized Aluminium |

Electrical Data

| | | |
|------------------------|----------------------|--------|
| Maximum Power | P _{HPP STC} | 150 W |
| Power Tolerance | Δ _{STC} | +2% |
| Maximum Power Voltage | U _{HPP STC} | 18.1 V |
| Maximum Power Current | I _{HPP STC} | 8.42 A |
| Open Circuit Voltage | U _{OC STC} | 22.6 V |
| Short Circuit Current | I _{SC STC} | 8.88 A |
| Cell Efficiency | η _{STC} | 15.5 % |
| Maximum System Voltage | U _{DC} | 1000 V |

STC: Irradiance 1000 W/m²; Spectrum AM 1,5; Cell Temperature 25°C, Wind 0 m/s



Temperature Coefficients

| | | |
|---------------------|------------------------------------|-------------------|
| Power Coefficient | α ₁ (P _{HPP}) | - 0.50 ± 0.05 %/K |
| Voltage Coefficient | β ₁ (U _{oc}) | - 0.35 ± 0.01 %/K |
| Current Coefficient | β ₂ (I _{sc}) | 0.06 ± 0.01 %/K |

Power Warranty

10 years performance warranty to 90 %

25 years performance warranty to 80 %

5 years warranty against production and material defects

Certifications

IEC 61215, IEC 61730, TUV, CE, ISO9001:2000



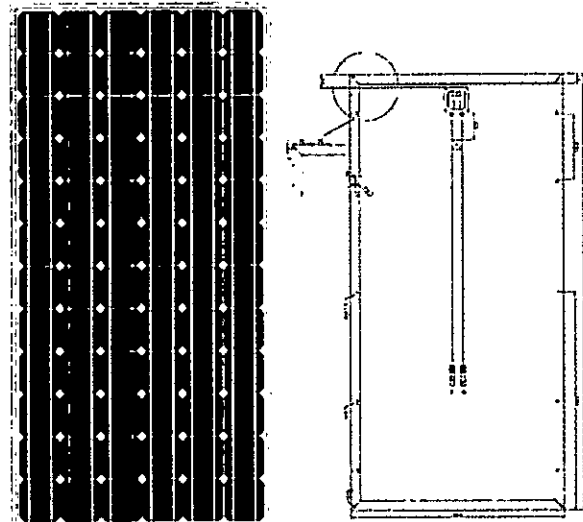
Simax(suzhou) Green New Energy Co.,Ltd Add:belbanjing riverside,suzhou road,taijang city,jiangsu province,China

Tel:+86-512-53378555 Fax: +86-512-53378556

Url: www.simaxsolar.com Email: info@simaxsolar.com



SIMAX 125 Monocrystalline Solar Module (SM572-165W-195W)



Mechanical Characteristics

| | |
|-------------|--|
| Solar Cell | Monocrystalline silicon solar cell 125x125(mm) |
| No.of Cells | 72(6x12) |
| Dimensions | 1580x808x45/35/50(mm) |
| Weight | 15.5kg |
| Front Glass | 3.2mm(0.13 inches) tempered glass |
| Frame | Anodized aluminum alloy |

Output

| | |
|---------------------|-----------------------|
| Cable Type | $\Phi=4\text{mm}^2$ |
| Lengths | L=900mm |
| Junction Box | PV-GZX0601 MC3 or MC4 |

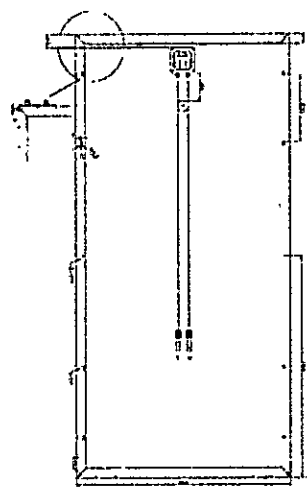
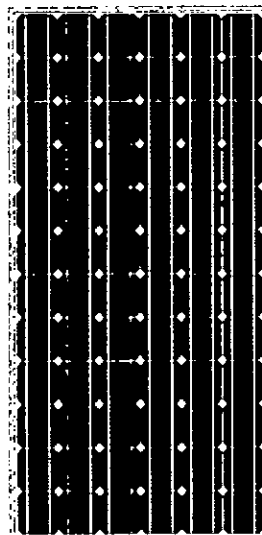
Temperature Coefficients

| | |
|--|--------------------------|
| Nominal Operating Cell Temperature(NOCT) | $45 \pm 2^\circ\text{C}$ |
| Temperature Coefficient of Pmax | -0.39%/°C |
| Temperature Coefficient of Voc | -034%/°C |
| Temperature Coefficient of Isc | 0.052%/°C |

Electrical Specifications



SIMAX 125 Monocrystalline Solar Module (SM572-165W-195W)



Mechanical Characteristics

| | |
|-------------|--|
| Solar Cell | Monocrystalline silicon solar cell 125x125(mm) |
| No.of Cells | 72(6x12) |
| Dimensions | 1580x808x45/35/50(mm) |
| Weight | 15.5kg |
| Front Glass | 3.2mm(0.13 inches) tempered glass |
| Frame | Anodized aluminum alloy |

Output

| | |
|--------------|-----------------------|
| Cable Type | $\Phi=4\text{mm}^2$ |
| Lengths | L=900mm |
| Junction Box | PV-GZX0601 MC3 or MC4 |

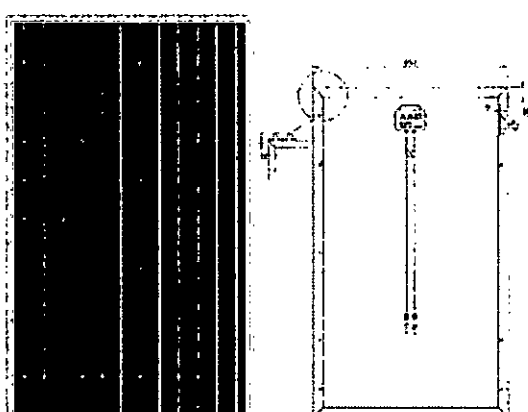
Temperature Coefficients

| | |
|--|----------------------------|
| Nominal Operating Cell Temperature(NOCT) | $45 \pm 2^{\circ}\text{C}$ |
| Temperature Coefficient of Pmax | -0.39%/ $^{\circ}\text{C}$ |
| Temperature Coefficient of Voc | -034%/ $^{\circ}\text{C}$ |
| Temperature Coefficient of Isc | 0.052%/ $^{\circ}\text{C}$ |

Electrical Specifications

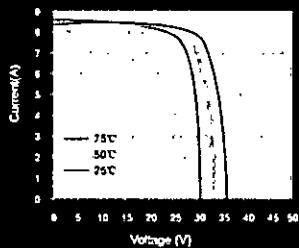


Specification | Photovoltaic Module

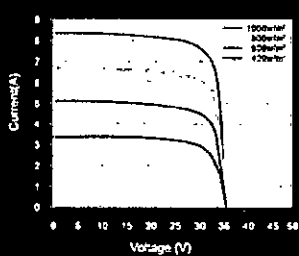


Photon

| Parameters | SP660-230 | SP660-235 | SP660-240 | SP660-245 | SP660-250 |
|---|-----------|-----------|-----------|-----------|-----------|
| Peak power [Wp] P _{mpp} | 230W | 235W | 240W | 245W | 250W |
| Power Tolerance | 0~+3% | 0~+/-3% | 0~+/-3% | 0~+/-3% | 0~+/-3% |
| Module Efficiency (%) | 14.3% | 14.5% | 14.7% | 14.9% | 15.2% |
| Open circuit voltage [V] V _{oc} | 36.6 | 37.2 | 37.2 | 37.2 | 37.8 |
| Maximum Power Voltage [V] (V _{mpp}) | 29.5 | 30.0 | 30.0 | 30.0 | 30.5 |
| Maximum Power Current [A] (I _{mpp}) | 7.80 | 7.83 | 8.00 | 8.17 | 8.20 |
| Short circuit Current [A] (I _{sc}) | 8.42 | 8.46 | 8.65 | 8.74 | 8.85 |

STC: Irradiance : 1000 W/m²; Spectrum AM 1.5; Cell temperature: 25°C; Wind 0 m/s

- Provide the best solutions for photovoltaic power generation and technical support
- Provide Cost-effective products
- Provide 12 Years Quality Warranty
- Power out ≥ 90% in 10 years
- Power out ≥ 80% in 25 years



SIMAX Green New Energy (Europa) GmbH
Mergenthaler Allee 23 / 25
65760 Eschborn / Germany
Tel.: +49 6196 9739 525
Fax: +49 6196 5929 684
Info@simaxsolar.com
www.simaxsolar.de

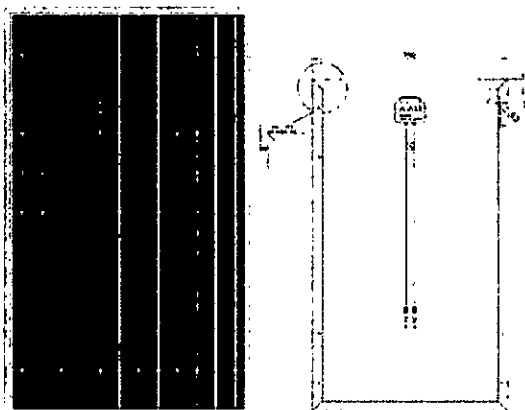
SIMAX (Suzhou) Green New Energy Co.,Ltd
Address: No. 567 Suzhou Road, Taicang city,
Jiangsu province, China
P.C.: 215400
Tel: +86 512 5337 8555
Fax: +86 512 5337 8556
Info@simaxsolar.com
www.simaxsolar.com

SIMAX (Australia) Green New Energy Pty Ltd
5/78 Frankston Gardens Drive,
Carnum Downs, VIC 3210
Tel: +61 03 9708 2400
Fax: +61 03 9708 2482
Info@simaxsolar.com
www.simaxsolar.com.au



Specification | Photovoltaic Module

SIMAX 156 Solarmodule (SP660-230W-235W-240W-245W-250W)



Mechanical Characteristics

| | |
|--------------|-------------------------------------|
| Solar Cell | Polycrystalline silicon 156x156(mm) |
| No. of Cells | 60 (6 x 10) |
| Dimensions | 1640 x 992 x 40 / 50 (mm) |
| Weight | 20 kg |
| Front Glass | 3.2mm (0.13 inches) tempered glass |
| Frame | Anodized aluminum alloy |

Output

| | |
|--------------|--------------------------------|
| Cable Type | $\varnothing = 4 \text{ mm}^2$ |
| Lengths | L = 900 mm |
| Junction Box | PV - JB003 MC4 |

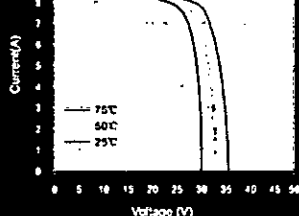
Temperature Coefficients

| | |
|---|---------------------------|
| Nominal Operating Cell Temperature (NOCT) | $45 \pm 2^\circ\text{C}$ |
| Temperature Coefficient of (P_{max}) | -0.39% / $^\circ\text{C}$ |
| Temperature Coefficient of (V_{oc}) | -0.34% / $^\circ\text{C}$ |
| Temperature Coefficient of (I_{sc}) | 0.035% / $^\circ\text{C}$ |

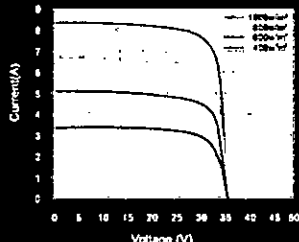


Photon

| Parameters | SP660-230 | SP660-235 | SP660-240 | SP660-245 | SP660-250 |
|---|-----------|-----------|-----------|-----------|-----------|
| Peak power [Wp] P _{max} | 230W | 235W | 240W | 245W | 250W |
| Power Tolerance | 0~+3% | 0~+/-3% | 0~+/-3% | 0~+/-3% | 0~+/-3% |
| Module Efficiency (%) | 14.3% | 14.5% | 14.7% | 14.9% | 15.2% |
| Open circuit voltage [V] V _{oc} | 36.6 | 37.2 | 37.2 | 37.2 | 37.8 |
| Maximum Power Voltage [V] (V _{mpp}) | 29.5 | 30.0 | 30.0 | 30.0 | 30.5 |
| Maximum Power Current [A] (I _{mpp}) | 7.80 | 7.83 | 8.00 | 8.17 | 8.20 |
| Short circuit Current [A] (I _{sc}) | 8.42 | 8.46 | 8.65 | 8.74 | 8.85 |

STC: Irradiance : 1000 W/m²; Spectrum AM 1.5; Cell temperature: 25°C; Wind 0 m/s

- Provide the best solutions for photovoltaic power generation and technical support
- Provide Cost-effective products
- Provide 12 Years Quality Warranty
- Power out ≥ 90% in 10 years
- Power out ≥ 80% in 25 years



Simax Green New Energy (Europa) GmbH
Mergenthaler Allee 23 / 25
65760 Eschborn / Germany
Tel : +49 6196 9739 525
Fax: +49 6196 5929 684
Info@simaxsolar.com
www.simaxsolar.de

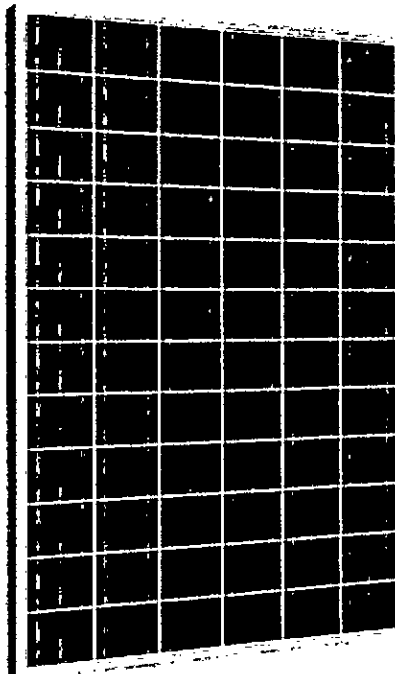
Simax (Suzhou) Green New Energy Co.,Ltd
Address: No. 567 Suzhou Road, Taicang city,
Jiangsu province, China
P.C.: 215400
Tel: +86 512 5337 8555
Fax: +86 512 5337 8556
Info@simaxsolar.com
www.simaxsolar.com

Simax (Australia) Green New Energy Pty Ltd
578 Frankston Gardens Drive,
Carrum Downs, VIC 3210
Tel: +61 03 9708 2400
Fax: +61 03 9708 2482
Info@simaxsolar.com
www.simaxsolar.com.au

SIMAX 156 SP672-280W-285W-290W-295W-300W-305W-310W



Product Features



Positive tolerance
Guaranteed tolerance +3%
Reliable power output



High module efficiency
Module efficiency up to 15.7%
Cells efficiency up to 17.8%



Strong compressive strength
Certified to withstand high wind of 2400Pa
and snow loads of 5400Pa



High manufacture standards
certified to high standards by the
most reputable labs According to
IEC:61215; IEC:61730-1/2



International Management System
Manufactured and certified according
to ISO9001, Quality management system



Fire test approved
Application class A, Safety Class II, Fire Rating C



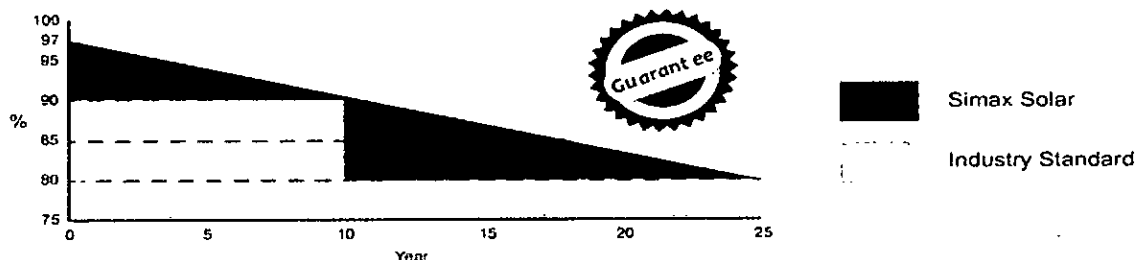
Excellent performance under extreme condition
High salt mist and ammonia resistance



Reliable quality forever
Without potential induced
degradation(PID-free)

Leading Warranty in PV Industry

- 25 year transferrable power output warranty: 10 years / 90%, 25 years / 80%
- Linear performance warranty from SIMAX Power
- 12 year material and workmanship warranty



* Please refer to Simax Solar Product Warranty for details.



EN

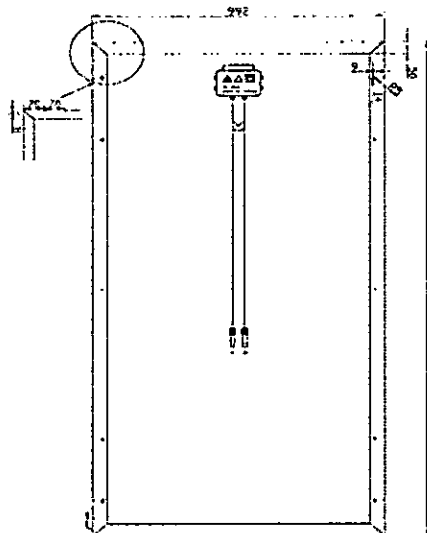


Electrical Characteristics

| Parameters | SP672-280 | SP672-285 | SP672-290 | SP672-295 | SP672-300 | SP672-305 | SP672-310 |
|--|-----------|-----------|-----------|-----------|-----------|-----------|-----------|
| | STC NOCT |
| Peak power [Wp] P _{mpo} | 280W | 285W | 290W | 295W | 300W | 305W | 310W |
| Open circuit voltage [V] V _{oc} | 44.4 | 44.7 | 44.4 | 45.0 | 44.4 | 45.3 | 45.0 |
| Maximum Power Voltage [V] V _{mpp} | 29.5 | 37.2 | 35.8 | 37.4 | 35.8 | 37.4 | 36.3 |
| Maximum Power Current [A] I _{mpp} | 7.82 | 5.59 | 7.96 | 5.65 | 8.10 | 5.76 | 8.13 |
| Short circuit Current [A] (I _{sc}) | 8.45 | 5.94 | 8.60 | 5.89 | 8.71 | 6.06 | 8.78 |
| Power Tolerance | 0~+3% | 0~+3% | 0~+3% | 0~+3% | 0~+3% | 0~+3% | 0~+3% |
| Module Efficiency (%) | 14.5% | 14.7% | 14.9% | 15.3% | 15.5% | 15.7% | 16.0% |

STC: Irradiance : 1000 W/m² ; Spectrum AM 1.5; Cell temperature 25°C; Wind 0 m/s
 NOCT: Irradiance: 800W/m² ; Spectrum AM 1.5; ambient temperature 20°C,wind speed 1 m/s

Mechanical Characteristics



| | |
|--------------|--|
| Solar Cell | Polycrystalline silicon 156 x 156 (mm) |
| No. of Cells | 72 (6 x 12) |
| Dimensions | 1956 x 992 x 40 mm |
| Weight | 22.5 kg |
| Front Glass | 3.2mm (0.13 inches) tempered glass |
| Frame | Anodized aluminum alloy |

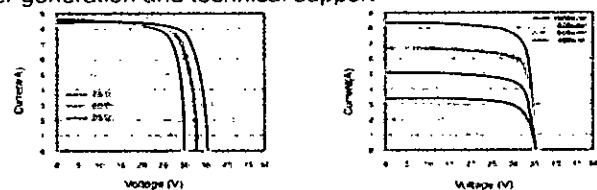
Output

| | |
|--------------|--------------------------------|
| Cable Type | $\varnothing = 4 \text{ mm}^2$ |
| Lengths | L = 900 mm |
| Junction Box | PV - JB001 MC4 |

Temperature Coefficients

| | |
|--|--------------------------|
| Nominal Operating Cell Temperature (NOCT) | $45 \pm 2^\circ\text{C}$ |
| Temperature Coefficient of (P _{max}) | -0.39% / °C |
| Temperature Coefficient of (V _{oc}) | -0.34% / °C |
| Temperature Coefficient of (I _{sc}) | 0.035% / °C |

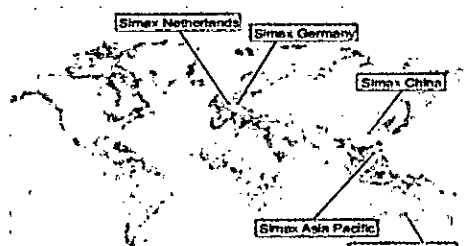
- Provide the best solutions for photovoltaic power generation and technical support
- Provide Cost-effective products
- Provide 12 Years Quality Warranty
- Power out ≥ 90% in 10 years
- Power out ≥ 80% in 25 years



Global standby to ensure response within 24 hours
 Australia and Europe office were established to give better services to customers

Simax Green New Energy (Europe) GmbH
 Mergenthaler Allee 23 / 25
 65760 Eschborn / Germany
 Tel.: +49 6190 9739 525
 Fax: +49 6196 5929 684
 info@simaxsolar.de
 www.simaxsolar.de

Simax (Australia) Green New Energy Pty Ltd
 5 / 70 Franklin Gardens Drivn,
 Carrum Downs, VIC 3210
 Tel: +61 3 9708 2400
 Fax: +61 3 9708 2482
 Info@simaxsolar.com.au
 www.simaxsolar.com.au



Anexo N°9: Especificaciones técnicas de baterías

| Modelo | Origen | Potencia | Descripción | Foto | Precio (USD sin IGV) |
|--|---|------------------------|---|---|----------------------------|
| Batería sbb AGM 7Ah / 12VDC |  | 12 VDC 7Ah @ C20h | Una batería sellada AGM para todo uso, como p.e. datalogger, señales, routeadores... Vida de diseño Float: 3 .. 5 años Ciclos: 1200 ciclos a 30% DOD Dimensiones: 151 x 65 x 93 mm Peso: 2 kg |  | \$15,- USD |
| Batería sbb AGM 20Ah / 12VDC |  | 12 VDC 20Ah @ C20h | Una batería sellada AGM para sistemas fotovoltaicos pequeños de hasta 50Wp en paneles... Vida de diseño Float: 3 ... 5 años Ciclos: 1200 ciclos a 30% DOD Dimensiones: 181 x 77 x 167 mm Peso: 5.5 kg |  | \$35,- USD |
| Batería sbb GEL 55Ah / 12VDC |  | 12 VDC 55Ah @ C10h | Una excelente batería sellada GEL de CICLO PROFUNDO para sistemas fotovoltaicos medianas de hasta 100Wp en paneles... Vida de diseño Float: 10 .. 12 años Ciclos: 2400 ciclos a 30% DOD Dimensiones: 230 x 137 x 210 mm Peso: 17 kg |  | \$140,- USD |
| Batería sbb GEL 100Ah / 12VDC |  | 12 VDC 100Ah @ C10h | Una excelente batería sellada GEL de CICLO PROFUNDO para sistemas fotovoltaicos medianas y grandes! Vida de diseño Float: 10 ... 12 años Ciclos: 2400 ciclos a 30% DOD Dimensiones: 330 x 173 x 217 mm Peso: 31 kg |  | \$280,- USD |

Fuente: Pro Viento S.A.C.

6-FM-7Ah Valve-regulated Lead Acid Battery Specification

We are an ISO9001 certified organization. And the products are approved by CE & UL. The nominal voltage of this series is 12V and 6V. And the capacity ranges from 1.2Ah to 24Ah. Their typical applications include: emergency lighting systems, electricity power supply systems, communication systems, UPS systems, starting systems, solar systems etc.

Battery Construction

| Component | Material |
|----------------|---------------|
| Positive plate | Lead dioxide |
| Negative plate | Lead |
| Container | ABS |
| Cover | ABS |
| Safety valve | Rubber |
| Terminal | Copper |
| Separator | AGM glass |
| Electrolyte | Sulfuric acid |

General Features:

| | |
|---|--|
| Maintenance free | |
| Convenient for installation | |
| Safety and no leakage | |
| Excellent recharge and discharge performance | |
| Low self-discharge rate, charge each standby 6 months, temperature 25°C | |
| Adapt to high or low temperature | |
| Good deep discharge performance | |
| Longer cycle life | |
| UL approval | |

Performance Characteristics

1. Dimension and weight

| | |
|------------------|-------|
| Length | 151mm |
| Width | 65mm |
| Height | 94mm |
| Total Height | 98mm |
| Reference Weight | 2.2kg |

2. Functional Parameter

| | |
|------------------|-----------|
| Rated Voltage | 12V |
| Numbers of cells | 6 Cells |
| Designed Life | 3-5 Years |

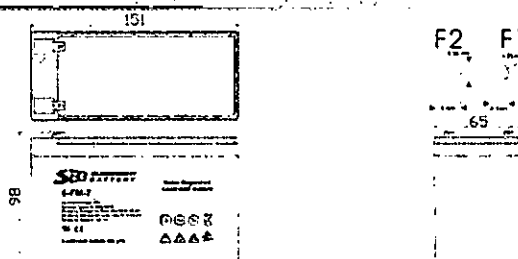
3. Rated Capacity at 25°C (77°F)

| | |
|---------------------------|--------|
| 20 hr rate (0.05C, 10.8V) | 7Ah |
| 5 hr rate (0.165C, 10.8V) | 5.8Ah |
| 1 hr rate (0.55C, 10.5V) | 4.13Ah |

4. Capacity affected by Temperature (20hour rate)

| | |
|--------------|------|
| 40°C (104°F) | 103% |
| 25°C (77°F) | 100% |
| 0°C (32°F) | 85% |
| -15°C (5°F) | 65% |

Dimensions (mm)



Constant-current discharge parameter Unit: A (25°C)

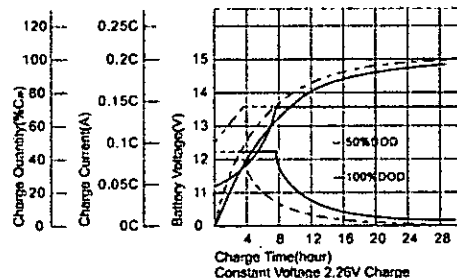
| F.V/Time | 5min | 10min | 15min | 20min | 30min | 45min | 1h | 3h | 5h | 10h | 20h |
|------------|-------|-------|-------|-------|-------|-------|------|------|------|------|-------|
| 1.80V/cell | 17.90 | 13.10 | 10.20 | 8.67 | 6.69 | 4.86 | 3.94 | 1.75 | 1.16 | 0.65 | 0.350 |
| 1.75V/cell | 20.20 | 14.40 | 11.20 | 9.32 | 6.94 | 5.04 | 4.13 | 1.79 | 1.19 | 0.67 | 0.354 |
| 1.70V/cell | 22.20 | 15.70 | 11.90 | 9.80 | 7.23 | 5.24 | 4.26 | 1.83 | 1.22 | 0.68 | 0.360 |
| 1.65V/cell | 24.50 | 16.90 | 12.70 | 10.40 | 7.63 | 5.37 | 4.35 | 1.91 | 1.25 | 0.70 | 0.365 |
| 1.60V/cell | 27.00 | 18.40 | 13.60 | 11.10 | 8.05 | 5.60 | 4.40 | 1.97 | 1.30 | 0.70 | 0.367 |

Constant-current discharge parameter Unit: A (25°C)

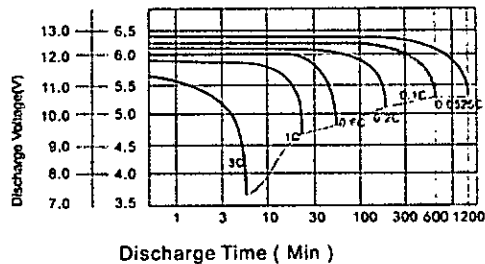
| F.V/Time | 5min | 10min | 15min | 20min | 30min | 45min | 1h | 3h | 5h | 10h | 20h |
|------------|-------|-------|-------|-------|-------|-------|------|------|------|------|-------|
| 1.80V/cell | 32.40 | 23.90 | 18.90 | 16.10 | 12.60 | 9.26 | 7.57 | 3.40 | 2.26 | 1.29 | 0.692 |
| 1.75V/cell | 35.70 | 25.80 | 20.30 | 17.20 | 12.90 | 9.52 | 7.88 | 3.45 | 2.31 | 1.32 | 0.698 |
| 1.70V/cell | 38.20 | 27.50 | 21.40 | 17.90 | 13.40 | 9.86 | 8.10 | 3.54 | 2.37 | 1.35 | 0.710 |
| 1.65V/cell | 41.60 | 29.40 | 22.60 | 18.90 | 14.00 | 10.00 | 8.23 | 3.67 | 2.43 | 1.37 | 0.719 |
| 1.60V/cell | 44.80 | 31.20 | 23.80 | 19.90 | 14.70 | 10.40 | 8.26 | 3.76 | 2.50 | 1.38 | 0.722 |

6-FM-7Ah Valve-regulated Lead Acid Battery Specification

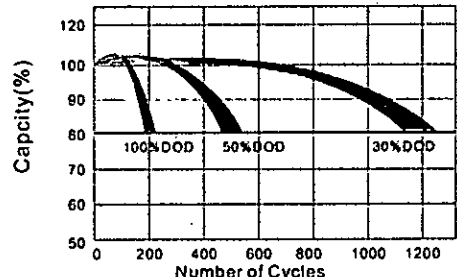
Charge Characteristics for Float Use @ 25°C/77°F



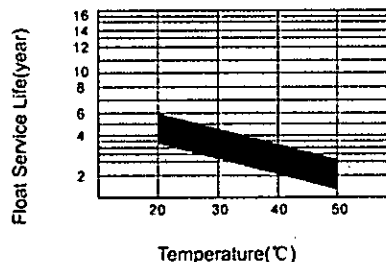
Discharge Characteristics at Various Rates @ 25°C/77°F



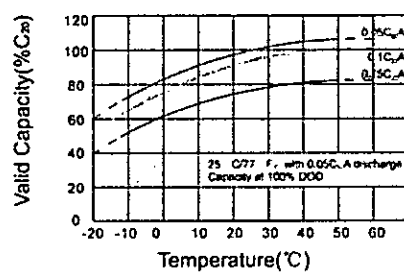
Cycle Life in Relation to Depth of Discharge



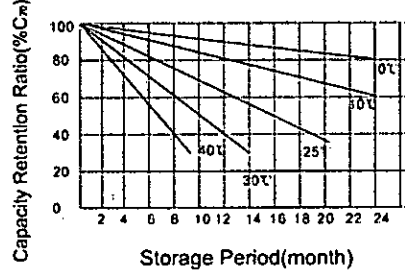
Float Service Life



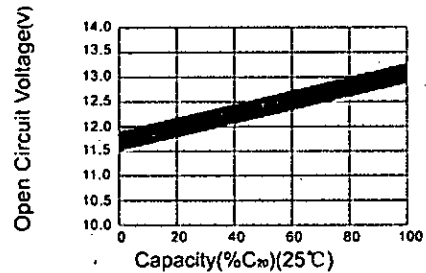
Temperature and Valid Capacity



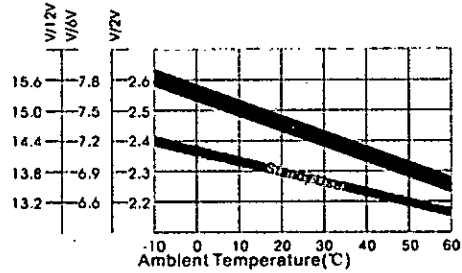
Self Discharge Characteristics



Capacity and Open Circuit Voltage



Relationship between Charging Voltage and Temperature



6-FM-20Ah Valve-regulated Lead Acid Battery Specification

We are an ISO9001 certified organization. And the products are approved by CE & UL. The nominal voltage of this series is 12V and 6V. And the capacity ranges from 1.2Ah to 24Ah. Their typical applications include: emergency lighting systems, electricity power supply systems, communication systems, UPS systems, starting systems, solar systems etc.

Battery Construction

| Component | Material |
|----------------|---------------|
| Positive plate | Lead dioxide |
| Negative plate | Lead |
| Container | ABS |
| Cover | ABS |
| Safety valve | Rubber |
| Terminal | Copper |
| Separator | AGM glass |
| Electrolyte | Sulfuric acid |

General Features

| | |
|---|--|
| Maintenance free | |
| Convenient for installation | |
| Safety and no leakage | |
| Excellent recharge and discharge performance | |
| Low self-discharge rate, charge each standby 6 months, temperature 25°C | |
| Adapt to high or low temperature | |
| Good deep discharge performance | |
| Longer cycle life | |
| UL approval | |

Performance Characteristics

1. Dimension and weight

| | |
|------------------|-------|
| Length | 181mm |
| Width | 77mm |
| Height | 167mm |
| Total Height | 167mm |
| Reference Weight | 5.5kg |

5. Charge Method: constant-voltage charging at 25°C (77°F)

| | |
|--------------------------|------------|
| Cyclic use | 14.4~14.9V |
| Maximum charging current | 6A |
| Temperature Compensation | -30mV/°C |
| Floating Use | 13.6~13.8V |
| Temperature Compensation | -20mV/°C |

2. Functional Parameter

| | |
|-----------------|-----------|
| Rated Voltage | 12V |
| Number of cells | 6 Cells |
| Designed Life | 3-5 Years |

6. Environment Temperature Requirements

| | |
|-----------------------|----------|
| Discharge Temperature | -15~50°C |
| Charge Temperature | 0~40°C |
| Storage Temperature | -15~40°C |

3. Rated Capacity at 25°C (77°F)

| | |
|---------------------------|--------|
| 20 hr rate (0.05C, 10.8V) | 20Ah |
| 5 hr rate (0.165C, 10.8V) | 16.5Ah |
| 1 hr rate (0.55C, 10.5V) | 11.8h |

7. Inner Resistance&Max. Discharge Current

| | |
|--|----------|
| A fully charged battery at 25°C (77°F) | 15mΩ |
| Max. Discharge Current | 300A(5s) |
| Short Circuit Current | 1000A |

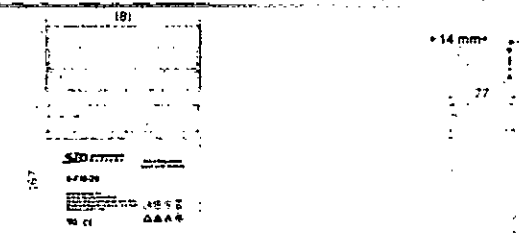
4. Capacity affected by Temperature (20 hour rate)

| | |
|--------------|------|
| 40°C (104°F) | 103% |
| 25°C (77°F) | 100% |
| 0°C (32°F) | 85% |
| -15°C (5°F) | 65% |

8. Self-discharge

| | |
|---|-----|
| 3% Of the capacity per month at 25°C (77°F) | |
| Capacity after 3 month storage | 91% |
| Capacity after 6 month storage | 82% |
| Capacity after 12 month storage | 64% |

Dimensions (mm)



3D Model Review



Constant-current discharge parameter Unit: A (25°C)

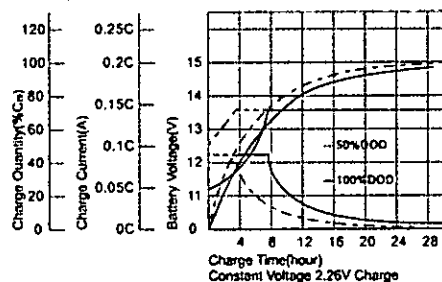
| F.V/Time | 5min | 10min | 15min | 20min | 30min | 45min | 1h | 3h | 5h | 10h | 20h |
|------------|-------|-------|-------|-------|-------|-------|-------|------|------|------|------|
| 1.80V/cell | 51.10 | 37.40 | 29.30 | 24.80 | 19.10 | 13.90 | 11.30 | 5.01 | 3.31 | 1.86 | 1.00 |
| 1.75V/cell | 57.60 | 41.10 | 32.00 | 26.60 | 19.80 | 14.40 | 11.80 | 5.10 | 3.40 | 1.91 | 1.01 |
| 1.70V/cell | 63.50 | 44.80 | 34.10 | 28.00 | 20.70 | 15.00 | 12.20 | 5.24 | 3.49 | 1.95 | 1.03 |
| 1.65V/cell | 70.00 | 48.30 | 36.30 | 29.70 | 21.80 | 15.40 | 12.40 | 5.47 | 3.58 | 1.99 | 1.04 |
| 1.60V/cell | 77.20 | 52.40 | 38.80 | 31.70 | 23.00 | 16.00 | 12.60 | 5.63 | 3.70 | 2.01 | 1.05 |

Constant-current discharge parameter Unit: A (25°C)

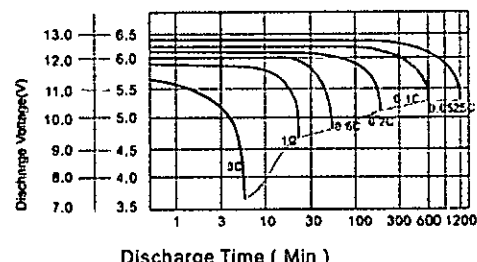
| F.V/Time | 5min | 10min | 15min | 20min | 30min | 45min | 1h | 3h | 5h | 10h | 20h |
|------------|--------|-------|-------|-------|-------|-------|-------|-------|------|------|------|
| 1.80V/cell | 92.50 | 68.20 | 53.90 | 46.00 | 35.90 | 26.50 | 21.60 | 9.71 | 6.46 | 3.68 | 1.98 |
| 1.75V/cell | 102.00 | 73.80 | 58.10 | 49.00 | 36.90 | 27.20 | 22.50 | 9.85 | 6.61 | 3.77 | 2.00 |
| 1.70V/cell | 109.30 | 78.60 | 61.20 | 51.10 | 38.20 | 28.20 | 23.10 | 10.10 | 6.77 | 3.84 | 2.03 |
| 1.65V/cell | 116.80 | 84.00 | 64.60 | 53.90 | 40.00 | 28.60 | 23.50 | 10.50 | 6.93 | 3.91 | 2.05 |
| 1.60V/cell | 128.00 | 89.10 | 67.90 | 56.80 | 41.90 | 29.70 | 23.60 | 10.80 | 7.13 | 3.95 | 2.06 |

6-FM-20Ah Valve-regulated Lead Acid Battery Specification

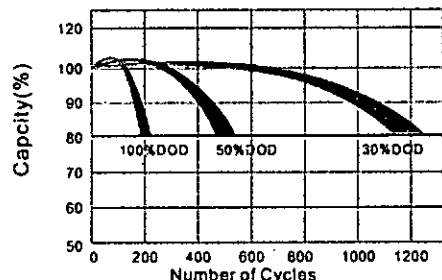
Charge Characteristics for Float Use @ 25°C/77°F



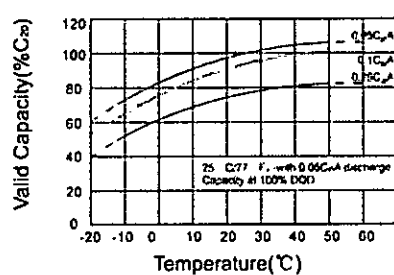
Discharge Characteristics at Various Rates @ 25°C/77°F



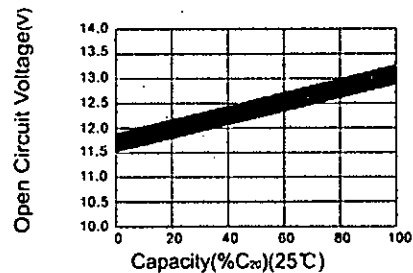
Cycle Life in Relation to Depth of Discharge



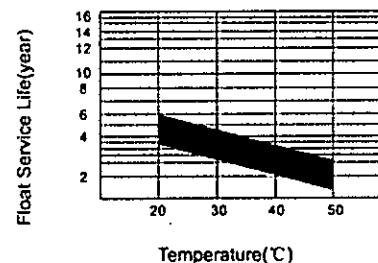
Temperature and Valid Capacity



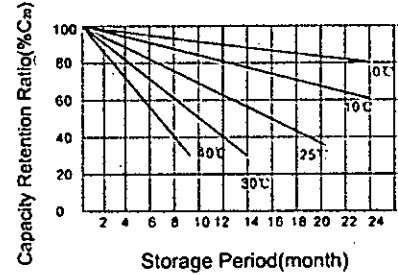
Capacity and Open Circuit Voltage



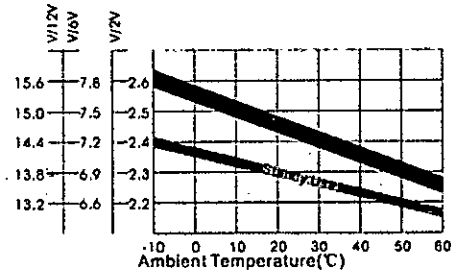
Float Service Life



Self Discharge Characteristics



Relationship between Charging Voltage and Temperature



6-FM(G)-55Ah Gel Battery Specification

We are an ISO9001 certified organization. And the products are approved by CE & UL. The nominal voltage of this series is 12V. And the capacity ranges from 33Ah to 250Ah. Their typical applications include: emergency lighting systems, electricity power supply systems, communication systems, UPS systems, starting systems, solar systems etc.

Battery Construction

| Component | Material |
|----------------|--------------|
| Positive plate | Lead dioxide |
| Negative plate | Lead |
| Container | ABS |
| Cover | ABS |
| Safety valve | Rubber |
| Terminal | Copper |
| Electrolyte | Gelled acid |

General Features

| | |
|---|--|
| Maintenance free | |
| Convenient for installation | |
| Safety and no leakage | |
| Excellent recharge and discharge performance | |
| Low self-discharge rate, charge each standby 6 months, temperature 25°C | |
| Adapt to high or low temperature | |
| Good deep discharge performance | |
| Longer cycle life | |
| UL approval | |

Performance Characteristics

1. Dimension and weight

| | |
|------------------|--------|
| Length | 230mm |
| Width | 137mm |
| Height | 210mm |
| Total Height | 215mm |
| Reference Weight | 16.6kg |

5. Charge Method: constant-voltage charging at 25°C (77°F)

| | |
|--------------------------|------------|
| Cyclic use | 14.4~14.8V |
| Maximum charging current | 13.75A |
| Temperature Compensation | -30mV/°C |
| Floating Use | 13.6~13.8V |
| Temperature Compensation | -20mV/°C |

2. Functional Parameter

| | |
|-----------------|-------------|
| Rated Voltage | 12V |
| Number of cells | 6 Cells |
| Designed Life | 10-12 Years |

6. Environment Temperature Requirements

| | |
|-----------------------|----------|
| Discharge Temperature | -20~60°C |
| Charge Temperature | 0~50°C |
| Storage Temperature | -20~60°C |

3. Rated Capacity at 25°C (77°F)

| | |
|--------------------------|--------|
| 10 hr rate (0.1C. 10.8V) | 55Ah |
| 3 hr rate (0.25C. 10.8V) | 39.8Ah |
| 1 hr rate (0.55C. 10.5V) | 33Ah |

7. Inner Resistance&Max. Discharge Current

| | |
|--|----------|
| A fully charged battery at 25°C (77°F) | 7.5mΩ |
| Max. Discharge Current | 825A(5s) |
| Short Circuit Current | 2500A |

4. Capacity affected by Temperature (10hour rate)

| | |
|--------------|------|
| 40°C (104°F) | 103% |
| 25°C (77°F) | 100% |
| 0°C (32°F) | 85% |
| -15°C (5°F) | 85% |

8. Self-discharge

| | |
|---|-----|
| 3% of the capacity per month at 25°C (77°F) | |
| Capacity after 3 month storage | 91% |
| Capacity after 6 month storage | 82% |
| Capacity after 12 month storage | 64% |

Dimensions (mm)



3D Model Review

Constant-current discharge parameter Unit: A (25°C)

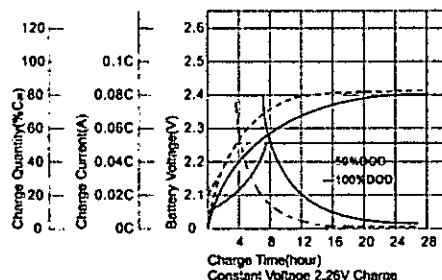
| F.V/Time | 20min | 30min | 45min | 1h | 2h | 3h | 5h | 6h | 8h | 10h | 20h |
|------------|-------|-------|-------|-------|-------|-------|-------|------|------|------|------|
| 1.80V/cell | 58.50 | 44.75 | 33.65 | 28.22 | 17.61 | 13.27 | 9.29 | 8.01 | 6.38 | 5.50 | 3.02 |
| 1.75V/cell | 65.73 | 49.21 | 36.43 | 30.27 | 18.57 | 13.99 | 9.65 | 8.30 | 6.59 | 5.61 | 3.08 |
| 1.70V/cell | 70.80 | 52.71 | 38.72 | 31.96 | 19.78 | 14.59 | 9.95 | 8.59 | 6.79 | 5.74 | 3.11 |
| 1.65V/cell | 73.70 | 54.76 | 40.04 | 33.17 | 20.26 | 15.08 | 10.16 | 8.72 | 6.89 | 5.81 | 3.15 |
| 1.60V/cell | 79.85 | 58.62 | 43.06 | 35.22 | 21.11 | 15.68 | 10.47 | 8.94 | 7.01 | 5.92 | 3.20 |

Constant-current discharge parameter Unit: A (25°C)

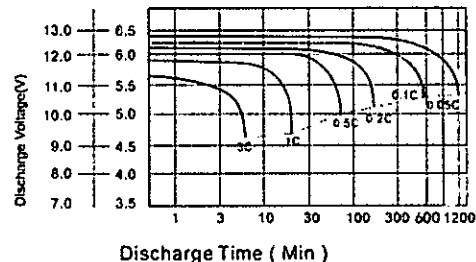
| F.V/Time | 20min | 30min | 45min | 1h | 2h | 3h | 5h | 6h | 8h | 10h | 20h |
|------------|--------|--------|-------|-------|-------|-------|-------|-------|-------|-------|------|
| 1.80V/cell | 110.36 | 85.39 | 64.89 | 54.64 | 34.13 | 25.81 | 18.21 | 15.80 | 12.66 | 10.94 | 6.01 |
| 1.75V/cell | 122.66 | 93.11 | 69.59 | 58.26 | 36.06 | 27.26 | 18.94 | 16.28 | 13.03 | 11.14 | 6.13 |
| 1.70V/cell | 130.75 | 98.78 | 73.33 | 61.27 | 38.11 | 28.34 | 19.42 | 16.89 | 13.39 | 11.40 | 6.20 |
| 1.65V/cell | 134.48 | 101.56 | 75.50 | 63.20 | 38.84 | 29.07 | 19.78 | 17.13 | 13.63 | 11.52 | 6.25 |
| 1.60V/cell | 144.13 | 107.71 | 80.45 | 66.70 | 40.16 | 30.15 | 20.38 | 17.49 | 13.75 | 11.72 | 6.33 |

6-FM(G)-55Ah Gel Battery Specification

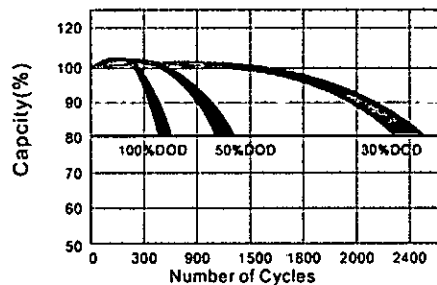
Charge Characteristics for Float Use @ 25°C/77°F



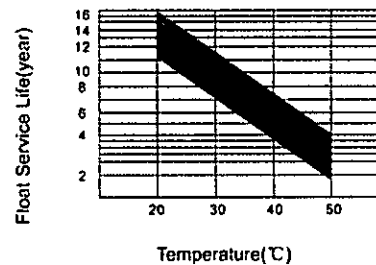
Discharge Characteristics at Various Rates @ 25°C/77°F



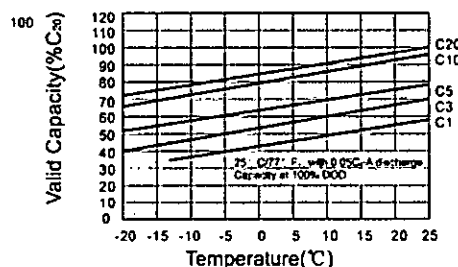
Cycle Life in Relation to Depth of Discharge



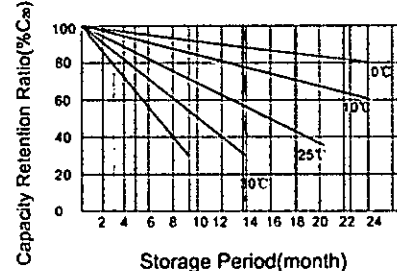
Float Service Life



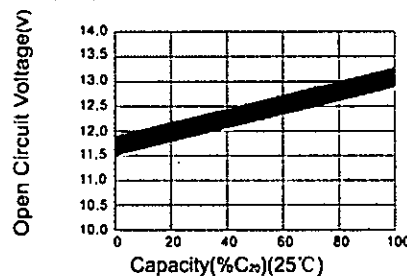
Temperature and Valid Capacity



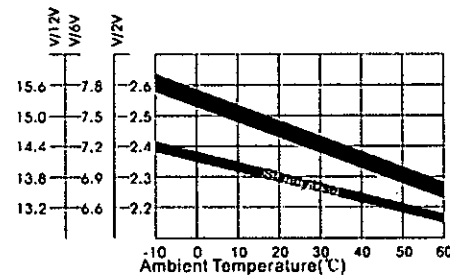
Self Discharge Characteristics



Capacity and Open Circuit Voltage



Relationship between Charging Voltage and Temperature



6-GFM(G)-100Ah Gel Battery Specification

We are an ISO9001 certified organization. And the products are approved by CE & UL. The nominal voltage of this series is 12V. And the capacity ranges from 33Ah to 250Ah. Their typical applications include: emergency lighting systems, electricity power supply systems, communication systems, UPS systems, starting systems, solar systems etc.

Battery Construction

| Component | Material |
|----------------|--------------|
| Positive plate | Lead dioxide |
| Negative plate | Lead |
| Container | ABS |
| Cover | ABS |
| Safety valve | Rubber |
| Terminal | Copper |
| Electrolyte | Gelled acid |

General Features

| | |
|---|------------|
| Maintenance free | 14.4~14.8V |
| Convenient for installation | 25A |
| Safety and no leakage | -30mV/C |
| Excellent recharge and discharge performance | 13.6~13.8V |
| Low self-discharge rate, charge each standby 6 months, temperature 25°C | -20mV/C |
| Adapt to high or low temperature | |
| Good deep discharge performance | |
| Longer cycle life | |
| UL approval | |

Performance Characteristics

1. Dimension and weight

| | |
|------------------|--------|
| Length | 330mm |
| Width | 173mm |
| Height | 217mm |
| Total Height | 222mm |
| Reference Weight | 30.8kg |

5. Charge Method: constant-voltage charging at 25°C (77°F)

| | |
|--------------------------|------------|
| Cyclic use | 14.4~14.8V |
| Maximum charging current | 25A |
| Temperature Compensation | -30mV/C |
| Float Use | 13.6~13.8V |
| Temperature Compensation | -20mV/C |

2. Functional Parameter

| | |
|------------------|-------------|
| Rated Voltage | 12V |
| Numbers of cells | 6 Cells |
| Designed Life | 10-12 Years |

6. Environment Temperature Requirements

| | |
|-----------------------|----------|
| Discharge Temperature | -20~60°C |
| Charge Temperature | 0~50°C |
| Storage Temperature | -20~60°C |

3. Rated Capacity at 25°C (77°F)

| | |
|--------------------------|--------|
| 10 hr rate (0.1C, 10.8V) | 100Ah |
| 3 hr rate (0.25C, 10.8V) | 74.5Ah |
| 1 hr rate (0.55C, 10.5V) | 56.8Ah |

7. Inner Resistance & Max. Discharge Current

| | |
|--|-----------|
| A fully charged battery at 25°C (77°F) | 5mA |
| Max. Discharge Current | 1500A(5s) |
| Short Circuit Current | 5000A |

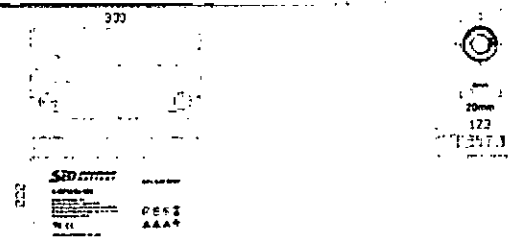
4. Capacity affected by Temperature (10hour rate)

| | |
|--------------|------|
| 40°C (104°F) | 103% |
| 25°C (77°F) | 100% |
| 0°C (32°F) | 85% |
| -15°C (5°F) | 65% |

8. Self-discharge

| | |
|---|-----|
| 3% Of the capacity per month at 25°C (77°F) | |
| Capacity after 3 month storage | 91% |
| Capacity after 6 month storage | 82% |
| Capacity after 12 month storage | 84% |

Dimensions (mm)



Constant-current discharge parameter Unit: A (25°C)

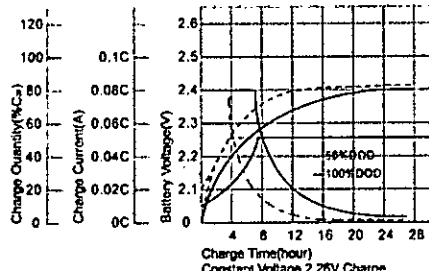
| F.V/Time | 20min | 30min | 45min | 1h | 2h | 3h | 5h | 6h | 8h | 10h | 20h |
|------------|--------|--------|-------|-------|-------|-------|-------|-------|-------|-------|------|
| 1.80V/cell | 109.49 | 83.84 | 63.16 | 52.88 | 32.88 | 24.86 | 17.40 | 14.58 | 11.64 | 10.00 | 5.42 |
| 1.75V/cell | 123.05 | 92.20 | 68.25 | 56.61 | 34.92 | 26.21 | 18.08 | 15.03 | 11.98 | 10.17 | 5.54 |
| 1.70V/cell | 132.54 | 98.76 | 72.43 | 59.89 | 36.95 | 27.34 | 18.64 | 15.59 | 12.32 | 10.43 | 5.60 |
| 1.65V/cell | 137.97 | 102.60 | 75.03 | 62.15 | 37.97 | 28.14 | 18.98 | 15.82 | 12.54 | 10.55 | 5.66 |
| 1.60V/cell | 149.49 | 109.83 | 80.56 | 65.99 | 39.44 | 29.27 | 19.66 | 16.27 | 12.77 | 10.77 | 5.74 |

Constant-current discharge parameter Unit: A (25°C)

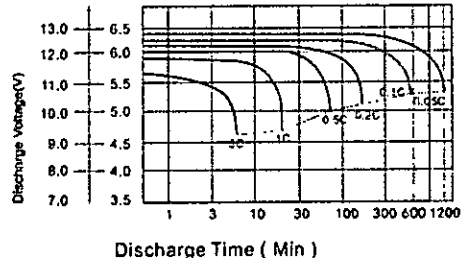
| F.V/Time | 20min | 30min | 45min | 1h | 2h | 3h | 5h | 6h | 8h | 10h | 20h |
|------------|--------|--------|--------|--------|-------|-------|-------|-------|-------|-------|-------|
| 1.80V/cell | 206.78 | 160.00 | 121.47 | 102.49 | 63.95 | 48.47 | 34.24 | 28.70 | 23.05 | 19.89 | 10.81 |
| 1.75V/cell | 229.83 | 174.46 | 130.40 | 109.04 | 67.57 | 51.07 | 35.48 | 29.72 | 23.73 | 20.23 | 11.02 |
| 1.70V/cell | 244.97 | 185.20 | 137.51 | 114.80 | 71.30 | 52.99 | 36.50 | 30.62 | 24.41 | 20.68 | 11.14 |
| 1.65V/cell | 252.09 | 190.40 | 141.36 | 118.42 | 72.77 | 54.46 | 37.06 | 31.07 | 24.75 | 20.90 | 11.24 |
| 1.60V/cell | 270.17 | 201.92 | 150.73 | 125.08 | 75.37 | 56.38 | 38.19 | 31.75 | 25.08 | 21.36 | 11.41 |

6-GFM(G)-100Ah Gel Battery Specification

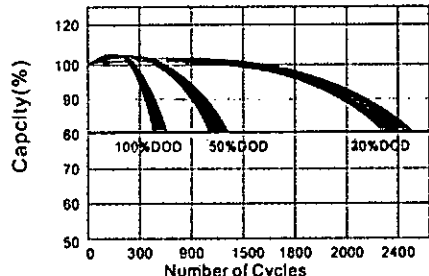
Charge Characteristics for Float Use @ 25°C/77°F



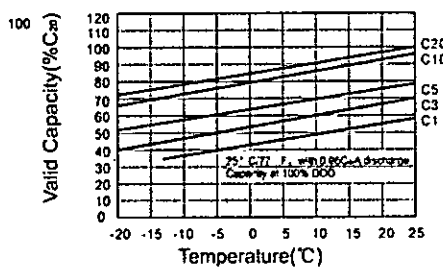
Discharge Characteristics at Various Rates @ 25°C/77°F



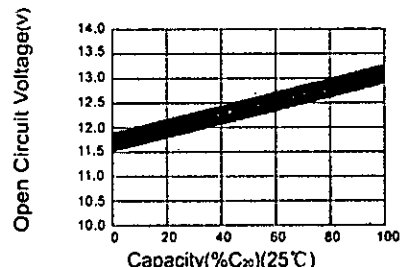
Cycle Life in Relation to Depth of Discharge



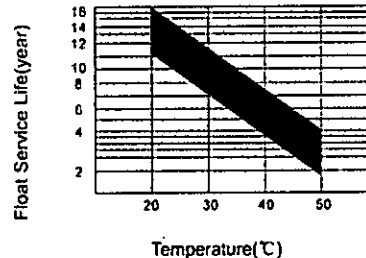
Temperature and Valid Capacity



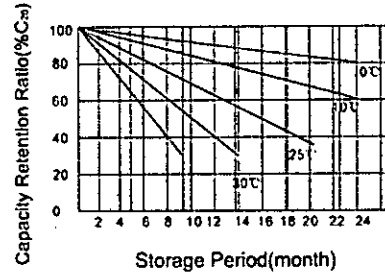
Capacity and Open Circuit Voltage



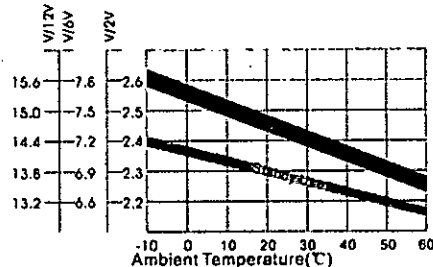
Float Service Life



Self Discharge Characteristics



Relationship between Charging Voltage and Temperature



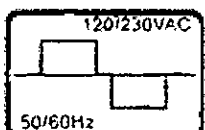
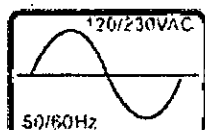
Anexo N°10: Especificaciones técnicas de Inversores

| Tipo Inversor | Origen | Voltaje / Potencia | Descripción | Foto | Precio (USD sin IGV) |
|--|--------|----------------------------------|--|------|-------------------------|
| Inversor 1000W | | 12VDC 1000W | Más pequeño, más potente! Con alta eficiencia hasta 88%. Con potencia pico hasta 3 veces la potencia nominal. | | \$450,- USD |
| Inversor 1000W | | 24VDC 1000W | Onda senoidal pura de 220VAC / 60Hz. Transferencia automática inmediata (10ms) sin interrupción entre red y inversor. | | \$450,- USD |
| Inversor 2000W | | 12VDC 2000W | Modo "standby" con detección de carga. 7 LEDs indicando el estado del conversor. | | \$750,- USD |
| Inversor 2000W | | 24VDC 2000W | Con pantalla digital para voltaje de batería, de red y potencia y frecuencia. | | \$750,- USD |
| Inversor 2000W | | 48VDC 2000W | Círculo de recarga de 7 niveles a través de la red para baterías seleccionable (Gel, AGM, Sellado, Flooded, etc.) | | \$750,- USD |
| Inversor 3000W | | 24VDC 3000W | | | \$950,- USD |
| Inversor 5000W | | 48VDC 5000W | | | \$1250,- USD |
| Inversor económico portátil pero igual de onda senoidal 500VA | | 12V 500VA 220VAC/60Hz | Inversor económico para aplicaciones fijas de onda senoidal pura con todas las protecciones. Diseño con componentes de calidad para aguantar el trabajo rudo. Con salida de carga USB 5V. Desconexión con voltaje bajo. Potencia max: 1000W (2 seg) THD: < 3% Eficiencia 90% Consumo propio: 0.8A | | 120,- USD |
| Inversor económico portatil pero igual de onda senoidal 1500VA | | 12V 1500VA 220VAC/60Hz | Inversor económico para aplicaciones fijas de onda senoidal pura con todas las protecciones. Diseño con componentes de calidad para aguantar el trabajo rudo. Con Display para Voltaje y Potencia. Desconexión con voltaje bajo. Potencia máx.: 3000W (2 seg) THD: < 3% Eficiencia 90% Consumo propio: 0.8Amp. | | 310,- USD |

Fuente: Pro Viento S.A.C.

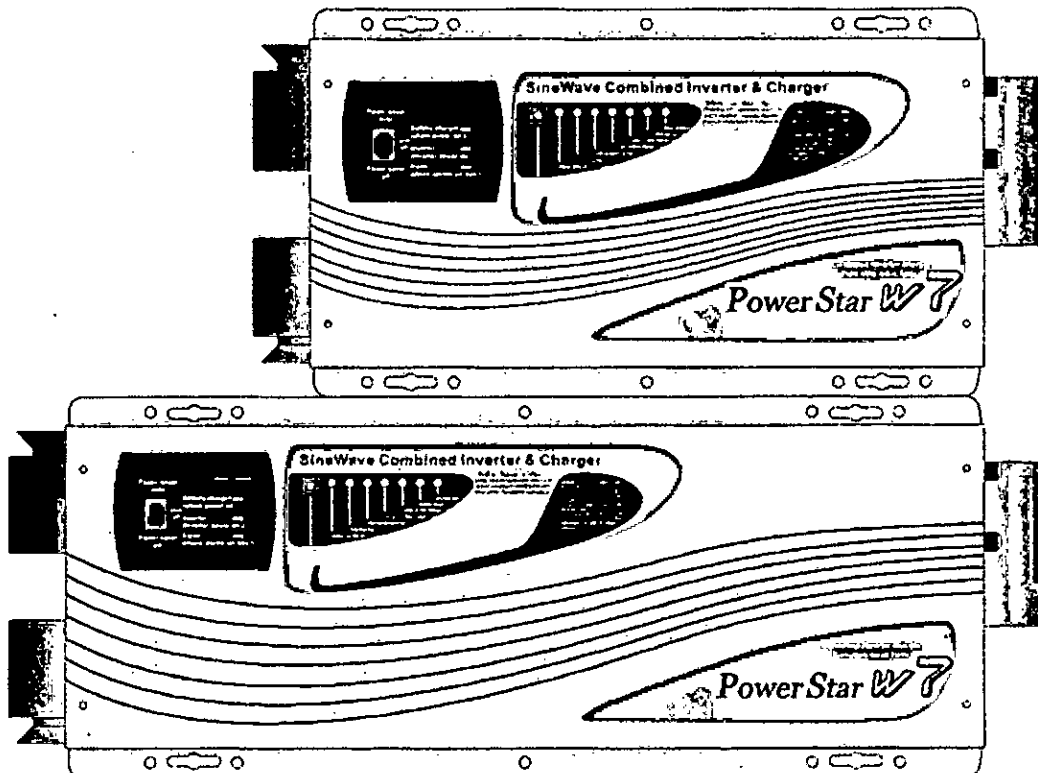
PowerStar W7

Product Information Guide



1000W - 4000W
2000W - 5000W
3000W - 6000W
Continuous power
with P.F.C charger

SineWave Combined Inverter & Charger



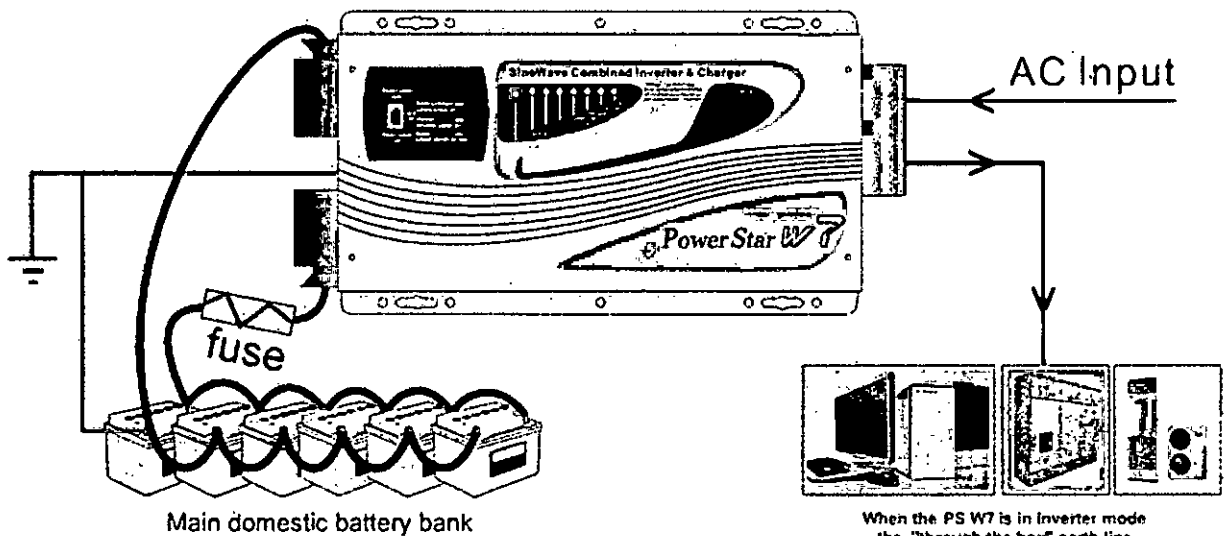
Models: 0612, 1012, 2012, 3012, 2024, 3024
0612E, 1012E, 2012E, 3012E, 2024E, 3024E
4024E, 5024E, 6024E, 4048E, 5048E, 6048E



Combined inverter & charger

Basic wiring for the Power Star W7 Series

Warning: High voltage, do not open unless qualified to do so;
Please read instructions before working on this product.

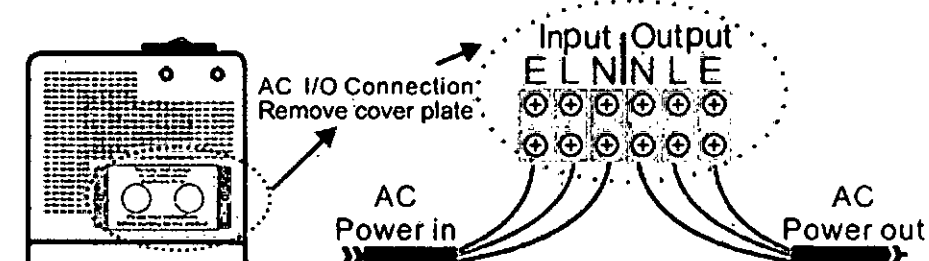
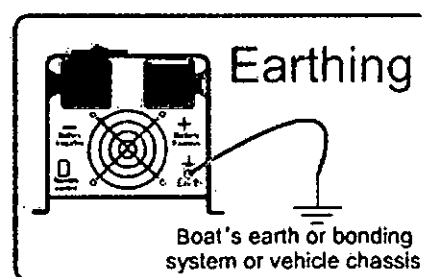


When the PS W7 is in Inverter mode the "through the box" earth line is automatically disconnected from the input earth and joined to the output neutral, complying with the natural earth inverter requirements. If you wish to maintain a through earth simply connect the input earth to the output earth.

WHAT CABLE TO USE in mm²:

| A charger or inverter | cable run distance 0 - 1.5m | cable run distance 1.5 - 4.0m |
|-----------------------|--------------------------------|----------------------------------|
| 125-180 A | 50 mm ² | 70 mm ² |
| 180-330 A | 70 mm ² | 90 mm ² |

Please note that if there is a problem obtaining for example 90 mm² cable, use 2* 50 mm², or 3* 35 mm². One cable is always best but, cable is simply copper and all you require is the copper, so it does not matter if it is one cable or 10 cables as long as the square area adds up. Performance of any product can be improved by thicker cable and shorter runs, so if in doubt round up and keep the length as short as possible.



Check list

- 1) Ensure that the inverter has the correct DC voltage for your boat or vehicle system. ie 12v or 24v/48v.
- 2) Fit as close to the batteries as possible, the shorter the DC cables the better. Voltage drop on long cables will effect the unit's performance.
- 3) Do not reverse the cables! Connect the red cable to the positive terminal and the black cable to the negative terminal of the battery. In the event of reverse polarity the unit could be totally destroyed.
- 4) Always use the inverter in an environment which is well ventilated, not exposed to direct sunlight or a heat source, away from water, moisture, oil or grease, away from any highly inflammable substance, out of reach from children.
- 5) The output voltage of this unit must never be on your AC system at the same time as any other AC source such as the 230V external mains line or a generator. All external power must go through the PS W7.
- 6) Always switch on the PS W7 first, before plugging in any appliance.
- 7) Under new electrical legislation only professional electricians should install this product.

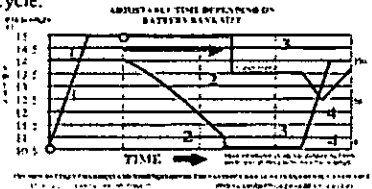
Ensure the fitting instructions are fully understood before fitting this product.

Installation

- 1) Position the unit as close to the main battery bank as possible
- 2) Position in a cool, dry & well ventilated space
- 3) Orientation of the unit is not critical.
- 4) Either purchase the standard cable set from Dealer which is about 1.5 metres, or if using your own cable, use the cable size chart provided on the installation drawing to ensure you have thick enough cable for the DC leads. In the event of not being able to get the size requested (it can be hard to get thick cable) then simply add multiple length of thinner cable, i.e. if you cannot get 90mm² cable then use 3x 35mm² cable, at the end of the day its just copper we need.
- 5) Fit a fuse suitable for the job, again look at the installation drawing. We have a full range of high current fuses in the GANLR range of gold fuse products, ranging from 100-500 Amps on the DC side
- 6) Connect the cables from the batteries to the fuse then to the unit, this way if there is a fault at the unit the fuse is already in place and this will be safe. In the event of an isolation switch being used, please ensure the rating of the switch can handle the power of the unit.
- 7) Ensure the unit is switched off during installation.
- 8) On the AC side ensure the shore power (all external AC sources) are totally disconnected, connect the output from the inverter to suitable Residual Current Breaker (R.C.D. for earth protection) and current over load trips. Fuse the AC input side depending on through power requirements, the max through power is 30Amps so fuse at 40A (allowing also for charger consumption) if you intend to use the full through power for standard 13-16 amps throughput then a 20A fuse would be appropriate.
- 9) We recommend Multi core tri rated AC cable, if used on a boat or vehicle, as this is much safer where vibration is likely. Only use single solid household AC cable if the product is being used as a power source for a house or platform free of vibration.
- 10) Before attempting to switch on the unit, please ensure you have selected the correct battery type on the small battery type selector switch on the front of the main box, rotate the switch to your battery type. The Progressive charge control software will automatically adjust for battery bank size and state.

Charge Stage Transition Definitions

- Boost CC Stage: If AC input is applied, the charger will run at full current in CC mode until the charger reaches the boost voltage.
- Software timer will measure the time from AC start until the battery charger reaches 0.3V below the boost voltage, then take this time as T_0 , and $T_0 \times 10 = T_1$.
- Boost CV Stage: Start a T_1 timer; the charger will keep the boost voltage in Boost CV mode until the T_1 timer has run out. Then drop the voltage down to the float voltage. The timer has a minimum time of 1 hour and a maximum time of 12 hours.
- Float Stage: In float mode, the voltage will stay at the float voltage.
- If the AC is reconnected or the battery voltage drops below 12Vdc/24Vdc, the charger will reset the cycle above.
- If the charge maintains the float state for 10 days, the charger will reset the cycle.



The battery type and charge voltage recommendations are set out above For 24V unit x the above by 2. Some battery types may look confusing such as gel usa and gel euro, AGM usa and AGM euro. If you find this confusion then join the club, we have had the different voltage curves supplied to us by different companies form the U.S.A. and Europe for what we seem the same product, however it's not our call, we simply supply the options, if in doubt call your battery supplier and ask which charge voltage they want you to use for their battery type, and select the closest to it. If totally confused then use the lower voltage setting until you have had a higher voltage setting confirmed to you by whoever supplied the batteries to you.

The de-sulphation cycle on switch position 6 is marked in red because this is a very dangerous setting if you do not know what you are doing. Before even attempting to use this cycle you must clearly understand what it does and when and how you would use it.

What causes sulphation? This can occur with infrequent use of the batteries, or if the batteries have been left discharged so low that they will not accept a charge. This cycle is a very high voltage charge cycle designed to try to break down the sulphate 'crust' that is preventing the plates taking a charge and thus allow the plates to clean up and so accept charge once again.

How to use this function. (only suitable for open lead acid batteries)

- 1) Ensure the battery bank is totally isolated from anything else on the boat or vehicle; the high voltage applied by this setting could destroy all your electronics and other electrical equipment still connected (before all these instructions are in red, this is a very expensive mistake).
- 2) Make sure the battery compartment is very well ventilated and battery caps are removed.
- 3) Switch the battery type selector switch to the correct position, then switch the AC power on.
- 4) Because this is such a dangerous setting there is a 4 hr time out period built into the software, however on a very large battery bank this may not be enough and the unit may need to be switched off and on again to do another cycle.

What to expect on this cycle.

I would recommend you monitor the voltage of the sulphated battery bank. When you switch on the cycle the voltage should shoot up to the full 15.5 volts very fast (within minutes) this is because the batteries cannot accept the charge (assuming they are sulphated). However, over a period of 1-2 hrs the voltage should start to drop (as the plates start to clean and the batteries start to take a charge) the voltage could drop way down to about 12.5 volts then start to rise. This shows the batteries are now taking a charge and starting to fill up. In this case it would be safe to switch the unit off and select your normal charging curve and hopefully this will bring your batteries back from the dead. You may need to repeat the process a few times. Please note this is a professional guess tool, which most times helps, but its not magic, so expect the worst and hope for the best. Never leave a system unattended when on this mode, if the battery temperature reaches above 50 deg c (ie. if the batteries are almost too hot to touch) then stop the process).

Install remote control.

Isolate the unit before attempting this so there are no high voltages. The local control panel on the front of the unit can also be used as a remote control, reveal the screws holding the panel onto the main box, carefully remove the panel and disconnect it from the connection socket behind the unit.

Fill the hole on the main unit using the blank replica of the remote control unit.

Using the remote cable supplied then re-connect the panel to the unit Operation and what to expect

- 1) After the unit is installed, using the panel on the front of the unit, and with the shore power (120/230VAC) still disconnected, switch the unit on. The LEDs will cycle through their test routine, then the unit should go into inverter mode and 120/230V should be produced on the output AC terminals (provided the batteries are over 11 volts).
- 2) If the above is ok, then connect the shore power to feed 120/230V into the PS W7, after a short while, the inverter should go off line, and feed the shore power through the inverter. Changeover is about 20 milli secs (so fast that you should not be able to notice it) and the battery charger should come on-line and go through its charge sequence ending, after 1-10 hrs, with float voltage.

Common faults:

There are numerous faults which the unit can detect and transmit the fault to you by the use of LED's and alarm on the unit itself. The remote control gives a little help but the real fault finding can only take place at the unit. Please see the fault finding chart over the page for full information.

General specification

| | |
|--|--|
| Input Wave form: | Power star |
| Nominal voltage: | Sine wave(Utility or Generator) |
| Low voltage trip: | 120VAC 230VAC |
| Low voltage re engage: | 90v±4% 184v/154v±4% |
| High voltage trip: | 100v±4% 194v/164v±4% |
| High voltage re engage: | 140v±4% 253v±4% |
| Max Input AC voltage: | 135v±4% 243v±4% |
| Nominal input frequency: | 150VAC 270VAC |
| Low freq trip: | 50Hz or 60Hz (Auto detect) |
| High freq trip: | 47Hz for 50 Hz, 57Hz for 60Hz |
| Output wave form: | 55Hz for 50 Hz, 65Hz for 60Hz |
| Overload protection: | (Bypass mode) same as input |
| Short circuit protection: | Circuit breaker |
| Transfer switch rating: | Circuit breaker |
| Efficiency on line transfer mode: | 30 amp or 40 amp |
| Line transfer time: | 95%+ |
| Bypass without battery connected: | 10 ms Typical |
| Max bypass current: | Yes |
| Bypass over load current: | 30 amp or 40 amp |
| Inverter specification / output | 35 amp or 45 amp: Alarm |
| Output wave form: | Pure sine wave or quasi sine wave |
| Output continuos power watts: | 1000 2000 3000 4000 5000 6000 |
| Output continuos power VA: | 1000 2000 3000 4000 5000 6000 |
| Power factor: | 0.9-1.0 |
| Nominal output voltage rms: | 120/230VAC |
| Output voltage regulation: | +/- 10% rms |
| Output frequency: | 50Hz ± 0.3Hz or 60Hz ± 0.3Hz |
| Nominal efficiency: | >88% |
| Surge ratings: | 3000 6000 9000 12000 15000 18000 |
| Short circuit protection: | Yes, fault after 10 secs |
| Inverter specification / input | |
| Nominal input voltage: | 12v 24v 48v |
| Minimum start voltage: | 10v 20v 40v |
| Low battery alarm: | 10.5v 21v 42v |
| Low battery trip: | 10v 20v 40v |
| High voltage alarm: | 16v 32v 64v |
| Power saver: | Below 25 watts when enabled |
| Power saver: | Same switched on/off on remote |
| Charger mode specification | |
| Input voltage range: | 95-127VAC 194-243VAC/164-243VAC(W) |
| Output voltage: | Dependent on battery type |
| Charge current: | 35A / 70A |
| Battery initial voltage for start up: | 0-15.7v for 12v(*2 for 24v, *4 for 48v) |
| Over charge protection shutdown: | 15.7v for 12v(*2 for 24v, *4 for 48v) |
| Charger curves (4 stage constant current)battery types | |
| 4 step digital controlled progressive charge | |
| Battery type: | Fast V Float V(*2 for 24v; *4 for 48v) |
| Gel U.S.A | 14.0 13.7 |
| A.G.M. 1 | 14.1 13.4 |
| A.G.M. 2 | 14.6 13.7 |
| Sealed lead acid | 14.4 13.6 |
| Gel euro | 14.4 13.8 |
| Open lead acid | 14.8 13.3 |
| Calcium | 15.1 13.6 |
| De-sulphation | 15.5 for 4 hrs |
| Remote control / RS232 / USB | Yes, Optional |
| Size: in mm | 1000/2000/3000 Model:442*218*179mm ² |
| | 4000/5000/6000 Model:598*218*179mm ² |
| Weight: | 1000 2000 3000 4000 5000 6000 18kg 20kg 22kg 35kg 38kg 40kg |

Ordering Information

Typical part number = PSW7-4-28-12-4-80

1.Basic Series

PS W7 = Combined Inverter & Charger

2.Wheels:

S = Pure Shewave O = Dual Shewave

3.Power Rating

10A 120VAC 20+2000W 30+3000W

40A 4000W 50+5000W 60+6000W

4.Battery Voltage

12+12VDC 24+24VDC 48+48VDC

5.AC Voltage

E = 230VAC NC = 120VAC

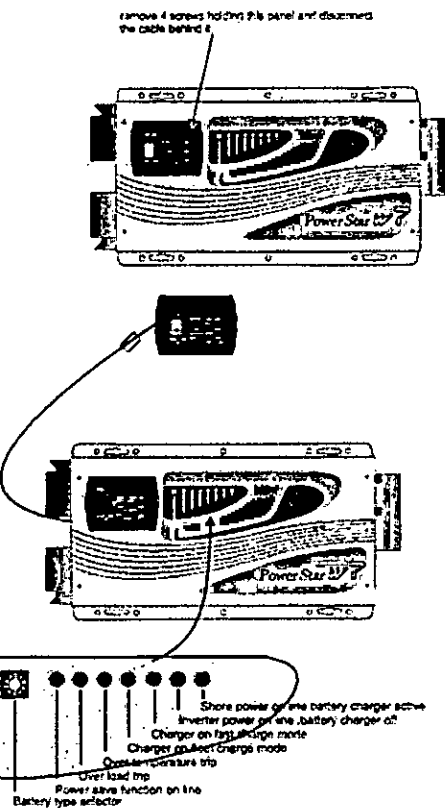
6.Suffix

00 = Standard model 01 = Customer model

AC Input current specification

| Input C | SW Status |
|---------|--|
| 1A | SW: ON |
| 2A | SW=SW ₁ ON |
| 3A | SW=SW ₁ =SW ₂ ON |

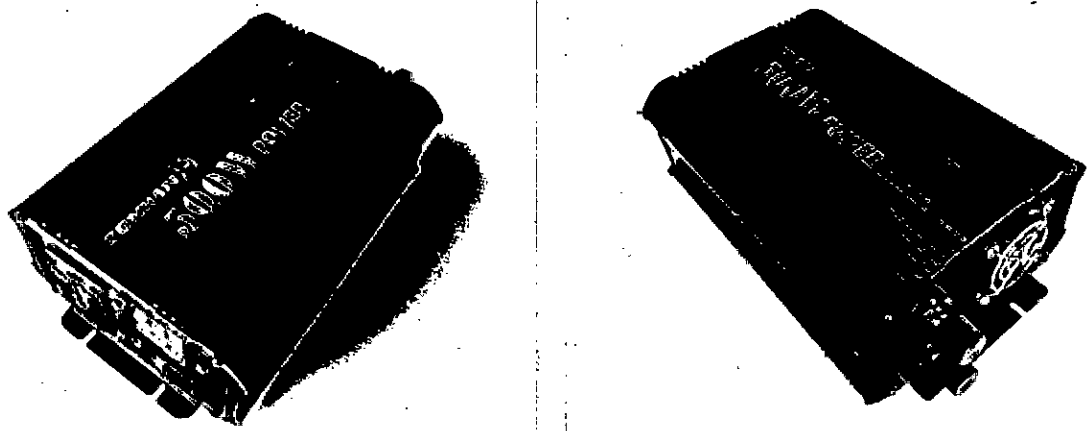
Remote control installation



Indication & fault finding chart

| Status | Function | L.E.D.s on main unit | L.E.D.s on remote |
|-----------------|---------------------------|----------------------|-------------------|
| Charge Function | Constant current charge | ON | ON |
| | Constant voltage charge | Flash | ON |
| | Float | ON | ON |
| | Standby | ON | ON |
| Inverter mode | Inverter on | ON | ON |
| | Power saver on | ON | ON |
| | Battery low voltage | ON | FLASH |
| | Battery high voltage | ON | FLASH |
| Alarms | Over load (inverter mode) | ON | ON |
| | Over temp (inverter mode) | ON | ON |
| | Over temp (line mode) | ON | ON |
| | Over charge | ON | ON |
| Fault Mode | Fan lock | ON | ON |
| | Battery high voltage | ON | ON |
| | Inverter mode overload | ON | FLASH |
| | Over temperature | ON | FLASH |
| | Back voltage | Flash | FLASH |

ZONHAN TW500 PURE SINEWAVE INVERTER



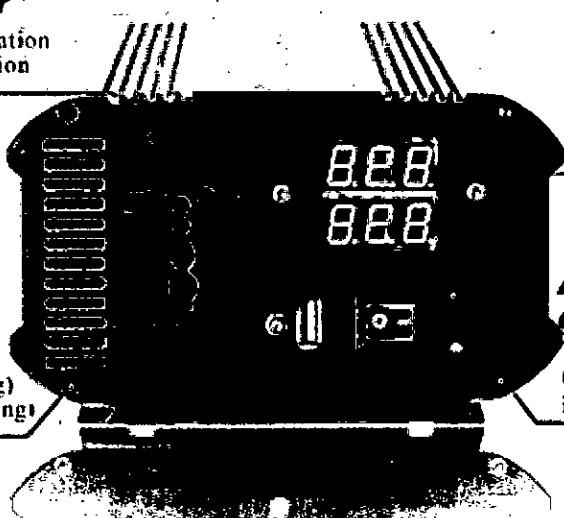
INPUT/OUTPUT INTRODUCTION

Signal indicator

Green light: normal operation
Red light: failure indication

Power switch

1: ON turn on (start working)
0: OFF turn off (stop working)

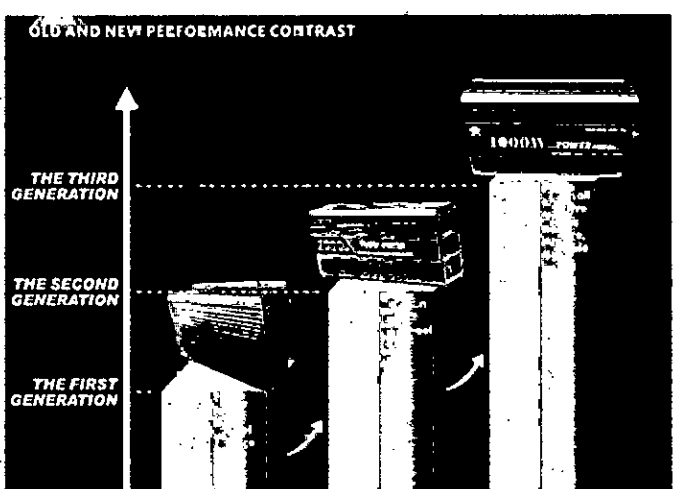
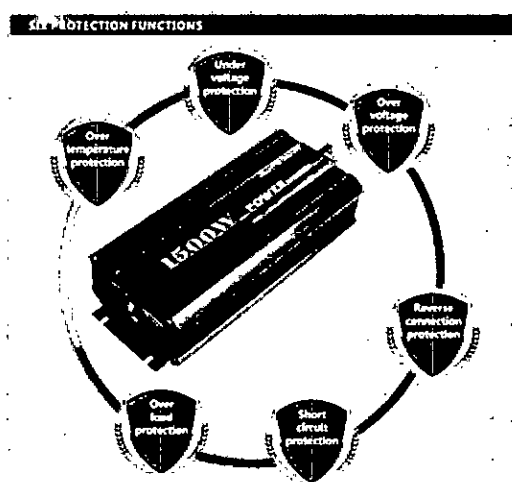


USB output

Direct current output mode 1A/5V

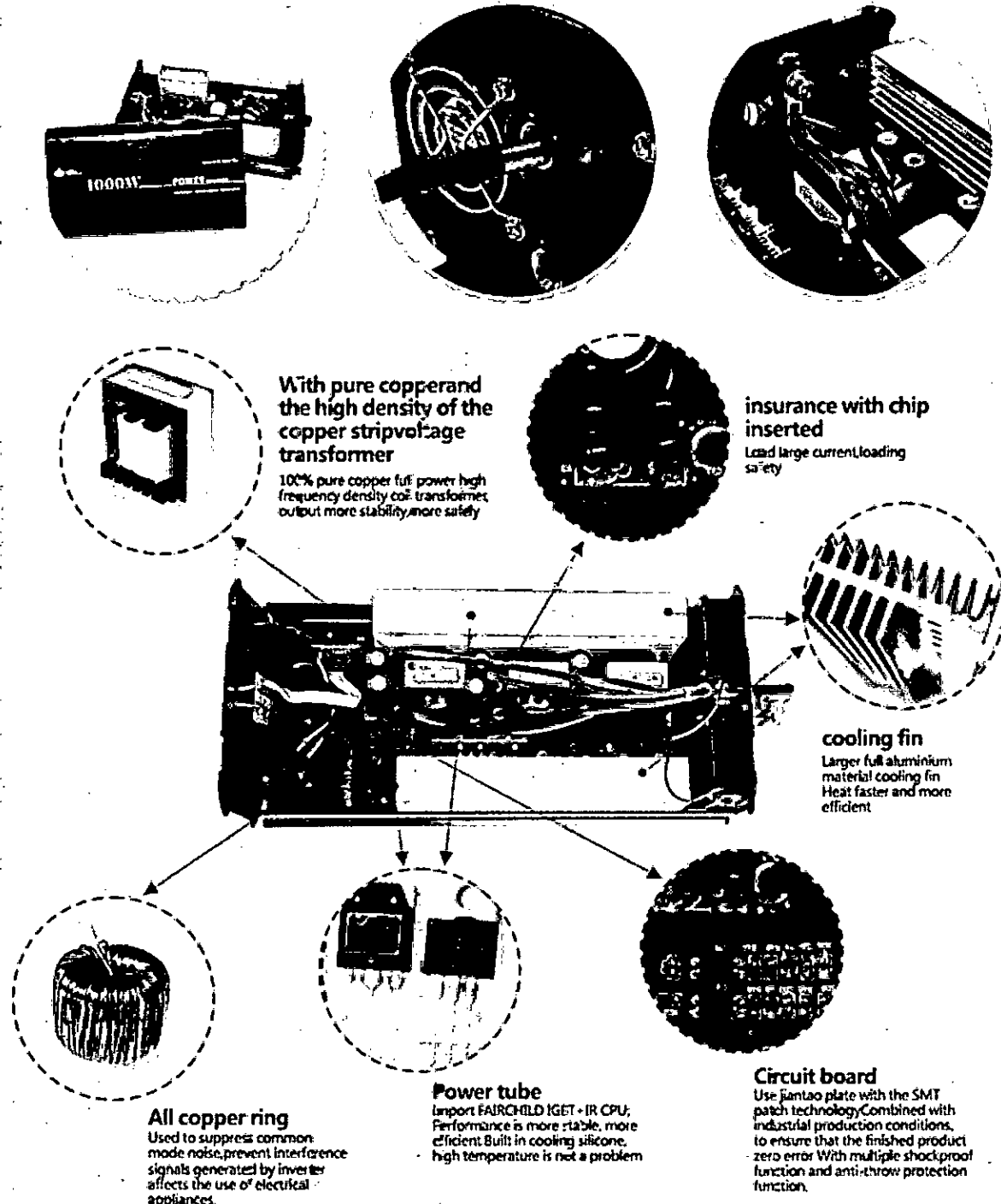
Alternating current output

The socket model is chose by users: 12V/24V/48V switch into 110V/220V ($\pm 10\%$)

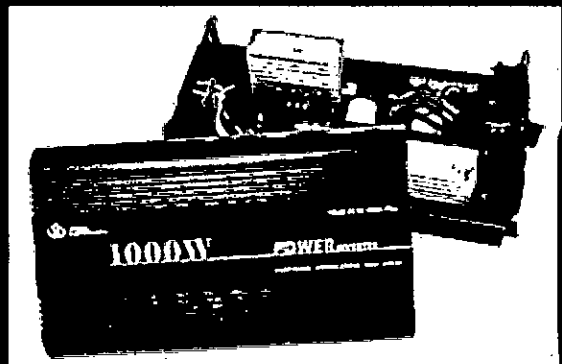
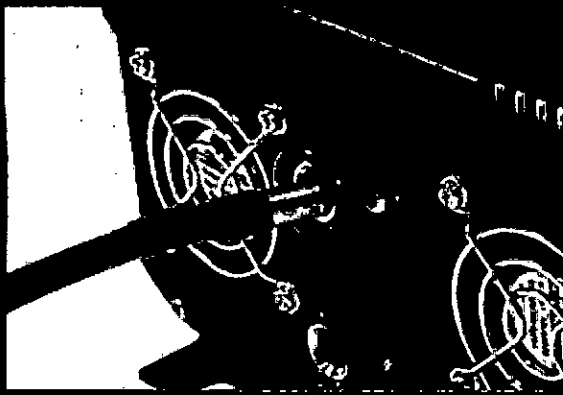


INTERNAL DISPLAY AND THE CORE TECHNOLOGY

Quality depends on the details
Professional research and development over 31 years



INTERNAL DISPLAY AND COMPARISON

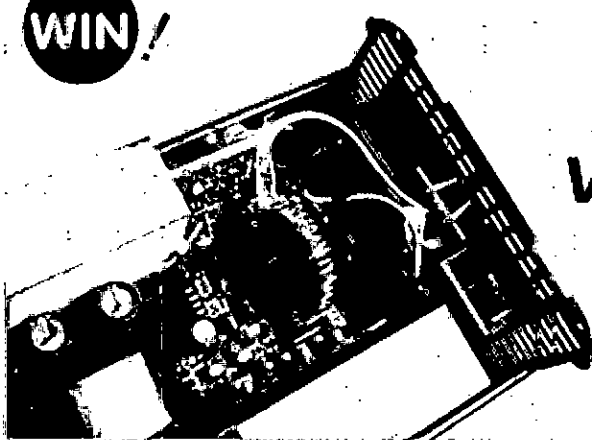


Details highlight quality

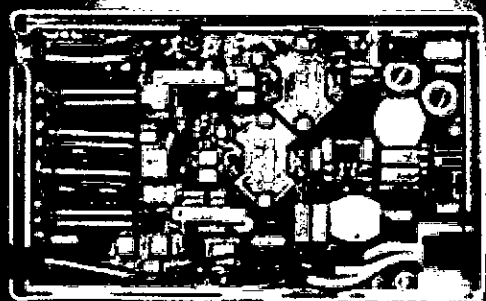
Professional research and development over 31 years

THE SAFEST DESIGN--THE BUILT-IN FINE COPPER TRANSFORMER

WIN!



FAIL

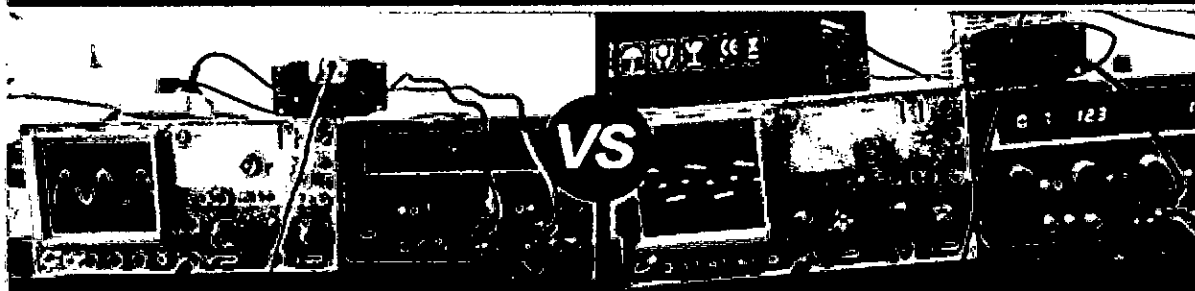


transformers
To protect the safety of power source is to protect the
safety of life.

built-in two fine copper isolation

The transformer with any fine copper can't avoid
breakdown—electrical appliances burning.

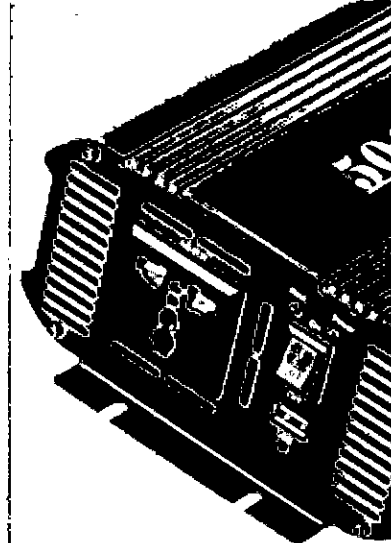
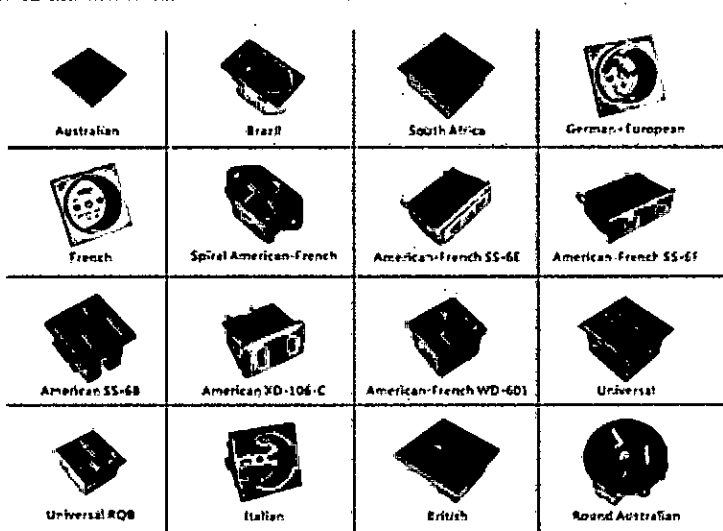
IF YOU COMPARE OUR PRODUCTS' FUNCTION WITH OTHERS, YOU WILL KNOW WHO ARE BETTER



Pure sine wave inverter can run any common devices which are connected to city power, with stable output voltage and frequency conversion startup function.

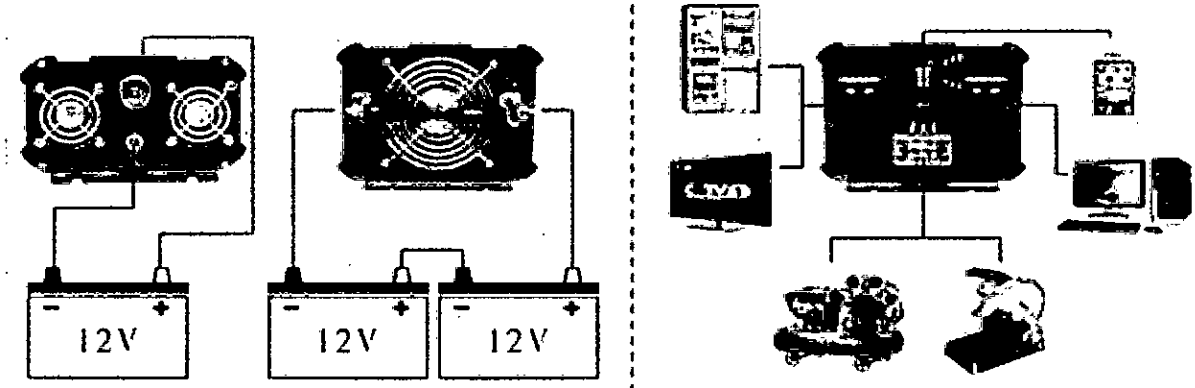
Capacitive loads (such as LED flashlight with charging) have impact current at edge of a pulse, causing that it will be damaged by modified/pure sine wave providing power and inductive loads work abnormally.

SOCKET AND PLUGS TYPE



You can choose all kinds of sockets and plugs with no worry.

WIRING DIAGRAM.



| Model : TW-500 | TW-500-12V | TW-500-24V | TW-500-48V |
|----------------------------|-------------------------------|--|-------------------|
| Continuous power: | | 500W | |
| | | 1000W | |
| Surge power: | | 120%<load<load</load | |
| AC Output | | 150%<load<load</load | |
| Output Waveform | | Pure Sine Wave (THD < 3%) | |
| Output Frequency | | 50Hz±0.1% or 60Hz±0.1% (Optional) | |
| AC Output Voltage | | 100~120VAC / 200~240VAC (Optional) | |
| DC Input Voltage | 12V DC | 24V DC | 48V DC |
| Voltage Range | 10.8V-15.5V | 21.6V-31V | 43.2V-62V |
| DC Input | Low Voltage Alarm | 10.8V± 0.2V | 21.6V±0.4V |
| | Low Voltage Shut down. | 10.2V±0.2V | 20.4V±0.4V |
| | Over Voltage Shut down | 15.5V±0.2V | 31V±0.4V |
| Converting Max. Efficiency | | 90% (Full Loading) / 95% (1/3 Loading) | |
| No Load Consumption | <0.4A | <0.2A | <0.1A |
| Over Thermal: | | Shut Off Output Automatically, Temperature >75°C | |
| Protection | Short circuit protection: | Reverse Polarity (External Fuse) | |
| | Cooling Fan automatically run | Temperature ≥45°C | |
| | Working temperature | -10°C~+50°C | |
| Environment | Working humidity | 20%~90% RH Non-Condensing | |
| | Storage Temperature Range | -30°C~+70°C | |
| | LED Indicator Light | Inverter, Fault | |
| | Inner Box Dimensions (mm) | 315*195*135mm | |
| | Inner Box Weight (kg) | 2.5kg | |
| Packing | Carton Dimensions (mm) | 420*340*460 mm | 6 pcs /Carton |
| | Carton Weight (kg) | 15 kg | |

PRODUCT EXPOSURE

Pure sine wave inverter

Start the revolution of
the inverter

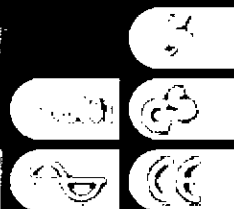
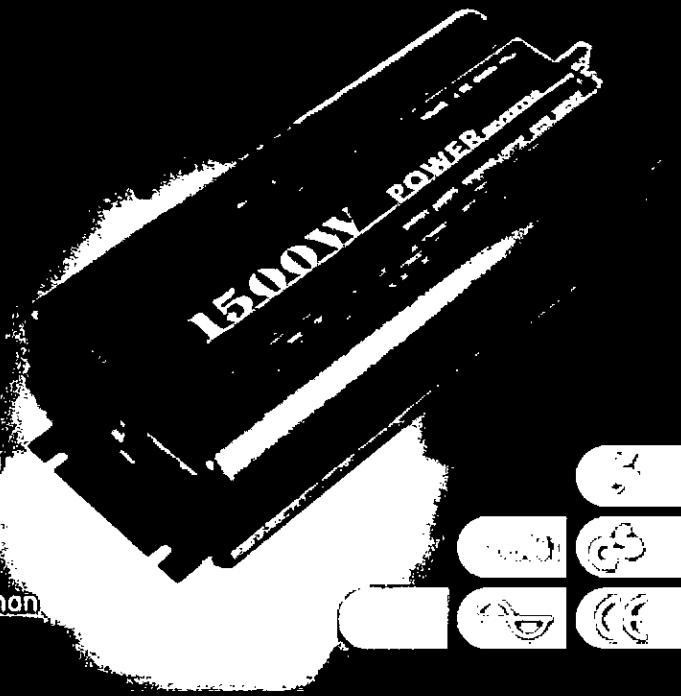
100% full power

No waveform distortion

High conversion efficiency Strong anti-interference performance

Simple operation strong frequency and voltage stabilization functions

Automatic protection function more than 10 years of Service life



THE CHOICE/MODEL/MEANING OF THE INVERTER

?

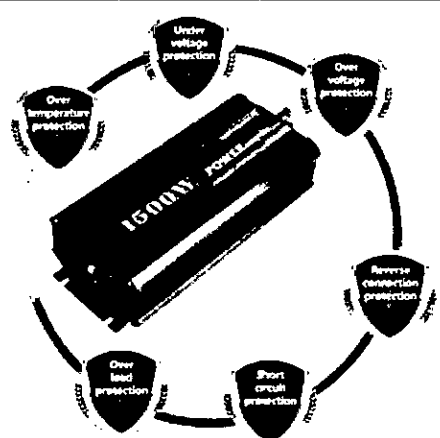
Inverter is a device which converts 12v/24v/48v DC power (battery, accumulator jar) into 220v 50Hz/60Hz AC power (pure sine wave/square wave) and it is widely used in office, communications, leisure and entertainment.

?

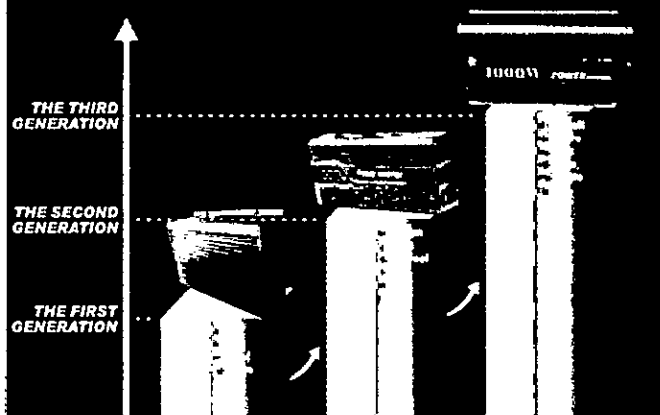
Inverters can be classified by waves: one is pure sine wave inverter and another one is modified square (our company called modified sine) wave inverter. Pure sine wave inverter can provide high quality AC power and run any loads (like inductive appliance and resistive appliance) with no electromagnetic interference but high cost. Modified sine wave inverter can meet most of our electricity demand. It is high efficiency, low noise and cheap price, but it only runs resistive appliance.

Inverter can be classified by usage as following: solar inverter, inverter with charger, household inverter, car inverter etc.

SIX PROTECTION FUNCTIONS



OLD AND NEW PERFORMANCE CONTRAST



INPUT>OUTPUT INTRODUCTION

Signal indicator

Green light: normal operation
Red light: failure indication

Power switch

I: ON turn on (start working)
O: OFF turn off (stop working)

USB output

Direct current output mode 1A/5V

Alternating current output

The socket model is chose by users: 12V/24V/48V switch into 110V/220V ($\pm 10\%$)



Positive terminal

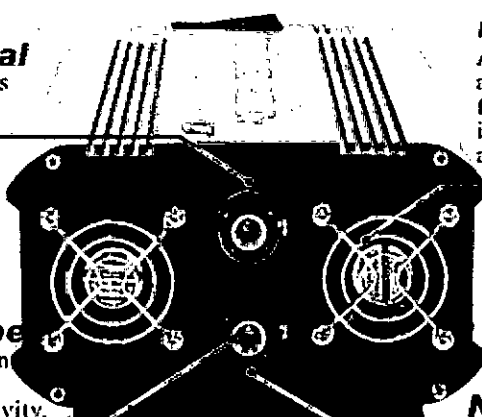
Connect with the battery's positive pole.

100% fine copper

Copper plus silver content 99.5 to 99.95%
Good electrical conductivity, high efficiency

Intelligent fans

According to product temperature and loads operation condition, the fans will open and shut up intelligently with energy saving and high efficiency.



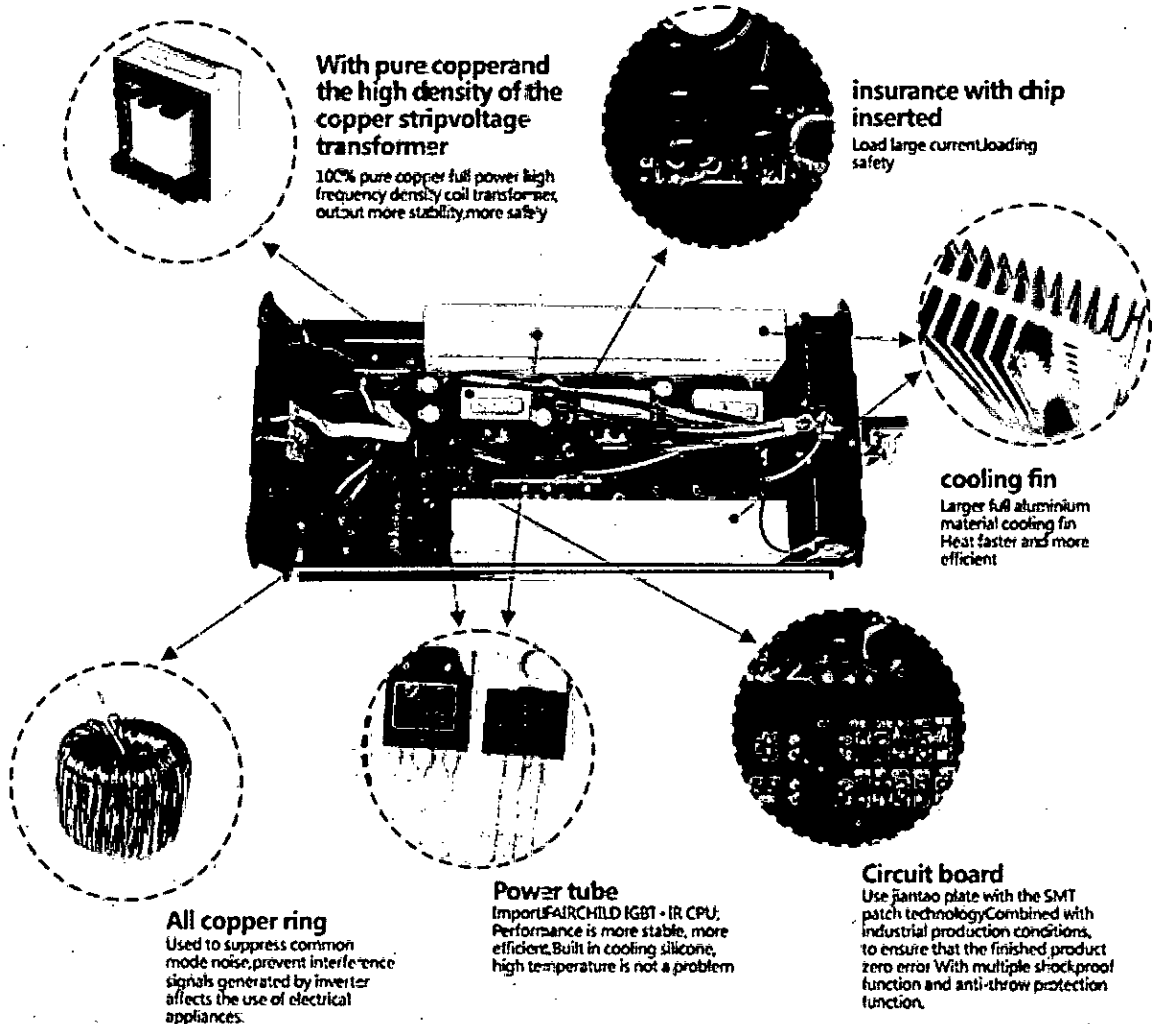
Negative terminal

Connect with the battery's negative pole.

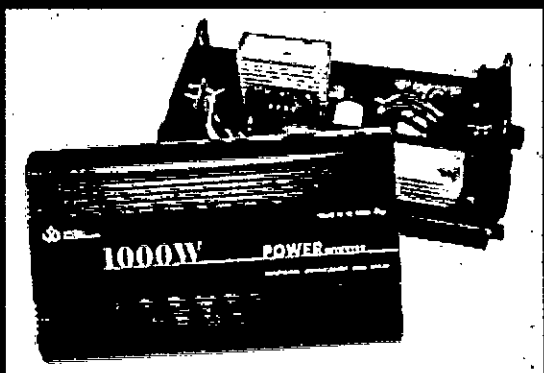
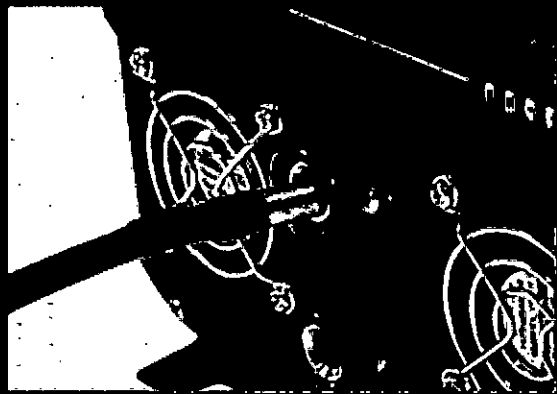
INTERNAL DISPLAY AND THE CORE TECHNOLOGY

Quality depends on the details

Professional research and development over 31 years

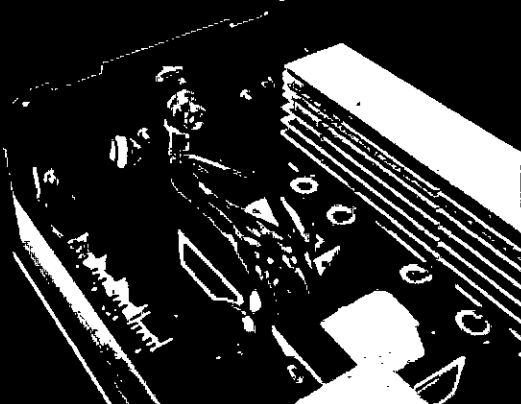


INTERNAL DISPLAY AND COMPARISON



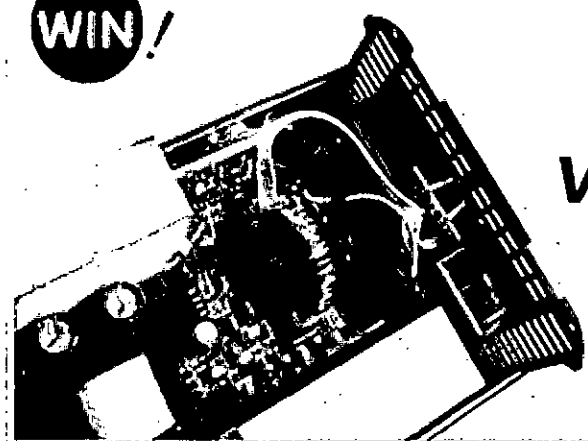
Details highlight quality

Professional research and development over 31 years

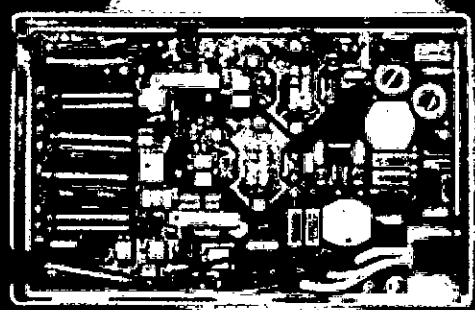


THE SAFEST DESIGN--THE BUILT-IN FINE COPPER TRANSFORMER

WIN!



FAIL

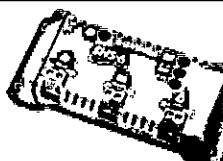
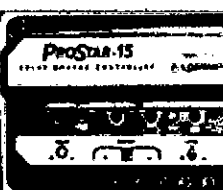
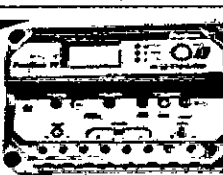


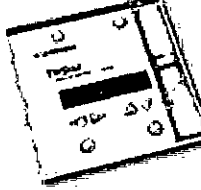
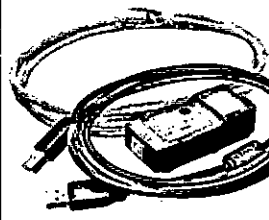
built-in two fine copper isolation
transformers
To protect the safety of power source is to protect the
safety of life.

The transformer with any fine copper can't avoid
breakdown—electrical appliances burning.

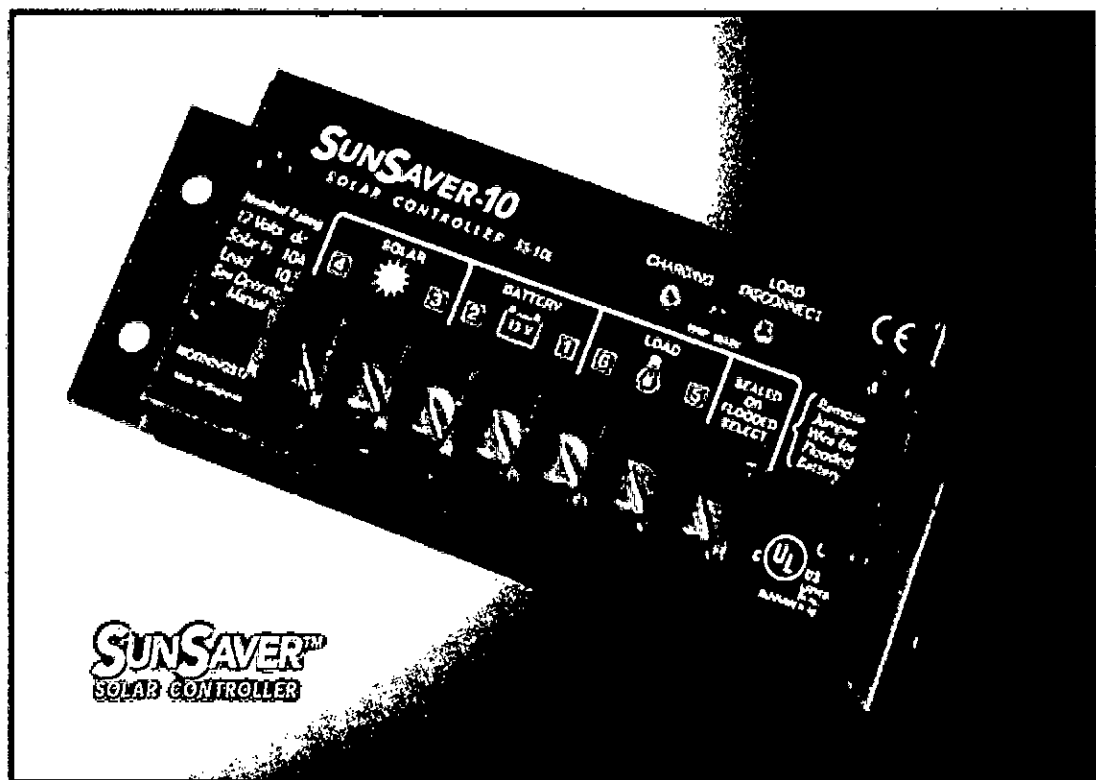
| Model : TW-1500 | TW-1500-12V | TW-1500-24V | TW-1500-48V | |
|-------------------------------|---------------------------|--|--------------------|------------|
| Continuous power: | | 1500W | | |
| | | 3000W | | |
| Surge power: | | 120%<load<load</load | | |
| AC Output | | 150%<load<load</load | | |
| Output Waveform | | Pure Sine Wave (THD < 3%) | | |
| Output Frequency | | 50Hz±0.1% or 60Hz±0.1% (Optional) | | |
| AC Output Voltage | | 100~120VAC / 200~240VAC (Optional) | | |
| DC Input Voltage | 12V DC | 24V DC | 48V DC | |
| Voltage Range | 10.8V-15.5V | 21.6V-31V | 43.2V-52V | |
| DC Input | Low Voltage Alarm | 10.8V± 0.2V | 21.6V±0.4V | 43.2V±0.8V |
| | Low Voltage Shut down | 10.2V±0.2V | 20.4V±0.4V | 40.8V±0.8V |
| | Over Voltage Shut down | 15.5V±0.2V | 31V±0.4V | 62V±0.8V |
| Converting Max. Efficiency | | 90% (Full Loading) / 95% (1/3 Loading) | | |
| No Load Consumption | <0.8A | <0.4A | <0.2A | |
| Over Thermal: | | Shut Off Output Automatically, Temperature >75°C | | |
| Protection | Short circuit protection: | Reverse Polarity (External Fuse) | | |
| Cooling Fan automatically run | | Temperature ≥45°C | | |
| Working temperature | | -10°C~+50°C | | |
| Environment | Working humidity | 20%~90% RH Non-Condensing | | |
| Storage Temperature Range | | -30°C~+70°C | | |
| LED Indicator Light | | Inverter, Fault | | |
| Inner Box Dimensions (mm) | | 315*195*135mm | | |
| Inner Box Weight (kg) | | 2.6 kg | | |
| Packing | Carton Dimensions (mm) | 420*340*460 mm | 6pcs /Carton | |
| | Carton Weight (kg) | 16 kg | | |

Anexo N°11: Especificaciones técnicas de controladores de carga

| Sensor | Origen | Potencia | Descripción | Foto | Precio (USD sin IGV) |
|---|---|-----------------------------|--|---|---|
|  MORNINGSTAR Controlador Morningstar SunSaver SS |  | 12 V 6A, 10A, 20A | El mundialmente reconocido controlador de carga de alta confianza. Con todos los protecciones y con LVD (Low Voltage Disconnect). Completamente en estado sólido para ambientes trópicos. Seleccionable para baterías selladas y de plomo ácido líquido. |  | 6A: \$65,- USD 10A: \$80,- USD 20A: \$110,- USD |
|  MORNINGSTAR Controlador Morningstar SunSaver SS |  | 24 V 20A | El mundialmente reconocido controlador de carga de alta confianza ahora en su tercera generación. El nuevo diseño viene con tres LEDs para indicar el estado de batería y una LED para la recarga. Con todos los protecciones y con LVD (Low Voltage Disconnect). Completamente en estado sólido para ambientes trópicos. Seleccionable para baterías selladas y de plomo ácido líquido. |  | 20A: \$120,- USD |
|  MORNINGSTAR Controlador Morningstar Solar Home SHS |  | 12 V 6A, 10A | El pequeño hermano de SunSaver que solo se vende para América Latina. El SHS es un controlador de carga muy económico, bueno y muy sencillo. Con LVD y demás protecciones. El equipo tiene la aprobación del banco Mundial para SFVs Completamente en estado sólido para ambientes trópicos. |  | el SHS 6A: \$40,- USD el SHS 10A: \$50,- USD |
|  MORNINGSTAR Controlador Morningstar ProStar PS |  | 12 / 24V 15A y 30A | Un controlador de carga sofisticado. Con tres indicadores del estado de batería y sensor de temperatura. Con LVD desconexión automática de la carga cuando la batería está agotada. En paralelo hasta 300Amp. Completamente en estado sólido para ambientes trópicos. Seleccionable para baterías selladas, Gel y de plomo ácido líquido. |  | el PS-15A: \$130,- USD el PS-30A: \$180,- USD |
|  MORNINGSTAR Controlador Morningstar ProStar PS-M con pantalla |  | 12 / 24V 15A y 30A | Un controlador de carga sofisticado. Con tres indicadores del estado de batería y sensor de temperatura. Con LVD desconexión automática de la carga cuando la batería está agotada. La versión M viene con una pantalla pequeña que indica el Voltaje, Corriente etc. En paralelo hasta 300Amp. |  | 15A: \$210,-USD 30A: \$310,-USD |

| | | | | | |
|---|---|-----|--|---|-------------|
|  MORNINGSTAR Pantalla TS-M2 para: TriStar |  | n/a | <p>El medidor mostrará una gran cantidad de información sobre el TriStar controlador y el funcionamiento de su sistema. Además, el medidor manual permite funciones de control y diagnóstico. Estas capacidades aumentarán su confianza en que el sistema está trabajando correctamente y le ayudará a mejorar la fiabilidad del sistema, batería la vida, y el rendimiento del sistema. Vale la pena el tiempo de conocer a su medidor!</p> |  | \$170,- USD |
|  MORNINGSTAR Adaptador USB <> Meterbus para conectar los controladores TS, TS- MPPT, PS-MPPT, SS-MPPT y Suresine a un PC vía USB |  | n/a | <p>Con este adaptador ahora es fácil de conectar los controladores y inversores de MORNINGSTAR que tienen METERBUS a un PC y programar y controlar vía MSVIEW que es libremente descargable desde la página web de MORNINGSTAR</p> |  | \$70,- USD |
|  MORNINGSTAR Sensor de temperatura externo para TriStar |  | n/a | <p>Este sensor permite medir precisamente la temperatura de las baterías aunque estén distantes al controlador. Una correcta medición de temperatura de las baterías es muy importante para cargarlas correctamente.</p> |  | \$40,- USD |

Fuente: Pro Viento S.A.C.



Morningstar's SunSaver is the world's leading small solar controller for both professional and consumer applications.

SunSaver's technology provides:

- Exceptional Reliability
- PWM Battery Charging
- Consistent High Quality

The SunSaver's advanced design delivers outstanding performance and value. The SunSaver's low cost is made possible by Morningstar's unique approach to design and manufacturing:

- Automated production
- ISO 9002 quality programs
- Latest power electronic technologies
- Latest control and logic technologies
- High volume manufacturing

Features:

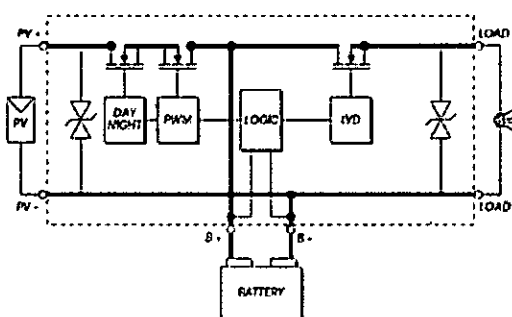
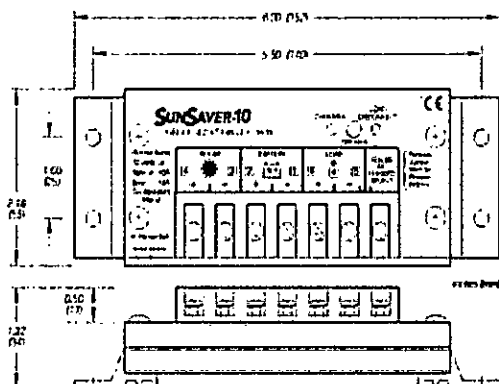
- Eight versions available (see back)
12 and 24 volts
6, 10 and 20 amps
- 100% solid state
- Series design (not shunt)
- True 0 to 100% PWM duty cycle
- Setpoint accuracy to 35 mV
- Rated for 25% overloads
- Fully encapsulated in epoxy potting
- Marine rated terminals / anodized case
- Temperature compensation
- Sealed / Flooded battery select
- No need to derate
- Parallel for 40 amps or more
- Green charging / Red LVD Indicators

SUNSAVER™

TECHNICAL SPECIFICATIONS

SunSaver Model Selection Chart

| MODEL NUMBER | 0 | 10 | 20 | 0 | 10 | 20 | LVD | 12V | 24V |
|--------------|--------|--------|--------|--------|--------|--------|--------|--------|--------|
| • SS-6 | ■■■■■■ | ■■■■■■ | ■■■■■■ | ■■■■■■ | ■■■■■■ | ■■■■■■ | ■■■■■■ | ■■■■■■ | ■■■■■■ |
| • SS-6L | ■■■■■■ | ■■■■■■ | ■■■■■■ | ■■■■■■ | ■■■■■■ | ■■■■■■ | ■■■■■■ | ■■■■■■ | ■■■■■■ |
| • SS-10 | ■■■■■■ | ■■■■■■ | ■■■■■■ | ■■■■■■ | ■■■■■■ | ■■■■■■ | ■■■■■■ | ■■■■■■ | ■■■■■■ |
| • SS-10L | ■■■■■■ | ■■■■■■ | ■■■■■■ | ■■■■■■ | ■■■■■■ | ■■■■■■ | ■■■■■■ | ■■■■■■ | ■■■■■■ |
| • SS-10-24V | ■■■■■■ | ■■■■■■ | ■■■■■■ | ■■■■■■ | ■■■■■■ | ■■■■■■ | ■■■■■■ | ■■■■■■ | ■■■■■■ |
| • SS-10L-24V | ■■■■■■ | ■■■■■■ | ■■■■■■ | ■■■■■■ | ■■■■■■ | ■■■■■■ | ■■■■■■ | ■■■■■■ | ■■■■■■ |
| • SS-20L | ■■■■■■ | ■■■■■■ | ■■■■■■ | ■■■■■■ | ■■■■■■ | ■■■■■■ | ■■■■■■ | ■■■■■■ | ■■■■■■ |
| • SS-20L-24V | ■■■■■■ | ■■■■■■ | ■■■■■■ | ■■■■■■ | ■■■■■■ | ■■■■■■ | ■■■■■■ | ■■■■■■ | ■■■■■■ |



Mechanical Specifications

Wire size #10 AWG (5.2 mm²)

Anodized aluminum case

Marine rated terminals

Epoxy encapsulated

Weight is 8 oz (0.23 kg)

Electrical Specifications

| | 12 Volt | 24 Volt |
|----------------------|--------------|---------|
| Rated Solar Input | 6.5/10/20 A | |
| Rated Load | 6/10/20 A | |
| 25% Current Overload | 5 min. | 5 min. |
| Regulation Voltage: | | |
| Sealed Battery | 14.1 V | 28.2 V |
| Flooded Battery | 14.4 V | 28.8 V |
| Load Disconnect | 11.5 V | 23.0 V |
| LVD Reconnect | 12.6 V | 25.2 V |
| Temp. Comp. (mV/C) | -28 | -56 |
| Self-consumption | 6 to 10 mA | |
| Operating Temp. | -40 to +85°C | |

WARRANTY: Five year warranty period. Contact Morningstar or your authorized distributor for complete terms.

AUTHORIZED MORNINGSTAR DISTRIBUTOR:

Available From



38150 River Frontage Rd.
New Castle CO.
970-984-3750
solarpanelstore.com

 MORNINGSTAR
corporation

1098 Washington Crossing Road
Washington Crossing, PA 18977 USA
Tel: 215-321-4457 Fax: 215-321-4458
E-mail: info@morningstarcorp.com
Website: www.morningstarcorp.com



PRINTED IN USA 2007-01-09



SUNSAVER™ CONTROLADOR SOLAR

Morningstar se complace en presentar el SunSaver de tercera generación. Desde su primera presentación en el mercado en 1996, se han instalado más de 1 millón de controladores SunSaver en más de 73 países para numerosos sistemas de energía solar, entre estos, petróleo/gas, telecomunicaciones e instrumentación, marina y navegación y hogares remotos. Hemos conservado mucho de nuestro diseño existente, por ejemplo, las mismas clasificaciones, el espacio y la interfaz de usuario simple y, además, hemos agregado diversas funciones de alto valor nuevas y avanzadas:

- Protecciones electrónicas completas
- Carga de batería de 4 etapas
- Autodiagnóstico para detectar fallas críticas
- LED de estado multicolor
- 3 LED para el estado de carga de la batería
- Recuperación de batería descargada
- Modo de telecomunicaciones para cargas sensibles
- Límite de carga máxima para cargas sensibles
- Cubierta para proteger los terminales de cables
- Certificaciones adicionales

Características clave y beneficios

■ **Fiabilidad sumamente alta**

- Índice de falla menor que 1 por cada 1.000 enviados (<0,1 %)
- Estado 100 % sólido. Diseño de MOSFET de energía
- Fabricado en una fábrica que cumple con ISO 9000
- Prueba de 100 % de funcionalidad anterior al envío

■ **Baterías con vida útil más larga**

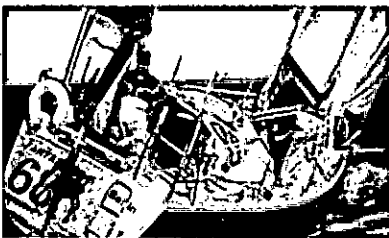
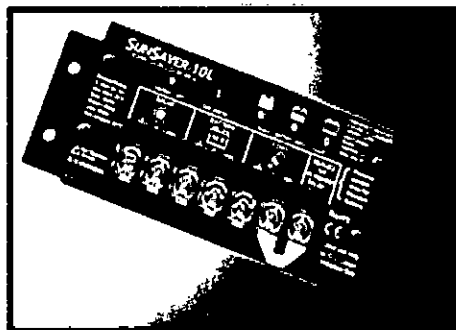
- Carga PWN avanzada
- Diseño de serie (sin derivador de corriente) para un funcionamiento frío
- Carga de 4 etapas: principal, absorción, flotación, compensación
- Puntos de ajuste optimizados para batería sellada o con electrolito líquido
- Carga con compensación de temperatura
- Desconexión de carga de bajo voltaje en diversas versiones

■ **Diseñado para ambientes rigurosos**

- Clasificación de temperatura de -40 °C a +60 °C
- Encapsulación de epoxia para protección contra el ingreso de humedad y polvo
- Protección contra la corrosión: terminales de clasificación marina y carcasa de aluminio anodizada
- Certificado para su uso en ubicaciones peligrosas

■ **Fácil de instalar y de usar**

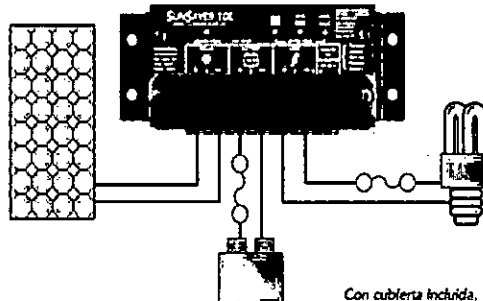
- Gracias a los ajustes previos de fábrica, no se requieren configuraciones de instalación
- Las protecciones electrónicas evitan daños debido a errores de cableado
- Funcionamiento y recuperación de fallas completamente automáticos
- Los LED muestran información extensa acerca del estado, fallas, y condición de la batería



SUNSAVER™ CONTROLADOR SOLAR

Versiones de SunSaver

| | Corriente solar | Corriente de carga | Voltaje del sistema | LVD |
|---------------|-----------------|--------------------|---------------------|-----|
| • SS-6-12 V | 6 A | 6 A | 12 V | No |
| • SS-6L-12 V | 6 A | 6 A | 12 V | Si |
| • SS-10-12 V | 10 A | 10 A | 12 V | No |
| • SS-10L-12 V | 10 A | 10 A | 12 V | Si |
| • SS-10L-24 V | 10 A | 10 A | 24 V | Si |
| • SS-20L-12 V | 20 A | 20 A | 12 V | Si |
| • SS-20L-24 V | 20 A | 20 A | 24 V | Si |



ESPECIFICACIONES TÉCNICAS

Eléctricas

| | |
|--|--|
| • Clasificaciones máx. de carga y fotovoltaica | Según lo anterior |
| • Voltaje del sistema | 12 o 24 voltios |
| • Voltaje mÍn. de la baterÍa | 1 voltio |
| • Voltaje de regulaciÓn | 12 voltios 24 voltios |
| BaterÍa sellada | 14,1 V 28,2 V |
| BaterÍa con electrolito líquido | 14,4 V 28,8 V |
| • Desconexión de carga | 11,5 V 23,0 V |
| • Reconexión DBV | 12,6 V 25,2 V |
| • Voltaje solar mÁx. | |
| BaterÍa de 12 V | 30 voltios |
| BaterÍa de 24 V | 60 voltios |
| • Capacidad de carga precipitada | |
| SunSaver-6 | 45 amperios |
| SunSaver-10 | 65 amperios |
| SunSaver-20 | 140 amperios |
| • Autoconsumo | < 8 mA |
| • Precisión de voltaje | 12 V: +/- 25 mV (común) 24 V: +/- 48 mV (común) |
| • Protección temporal contra sobrevoltaje | 1500 W por conexión |

Mecánicas

| | |
|----------------------|---------------------|
| • Tamaño de cable | 5 mm² / AWG n.º 10 |
| • Peso (desempacado) | 0,23 kg |
| • Dimensiones | 15,2 x 5,5 x 3,4 cm |

Ambientales

| | |
|---------------------------------|--|
| • Temperatura ambiente | -40 °C a +60 °C |
| • Temperatura de almacenamiento | -55 °C a +80 °C |
| • Humedad | 100 % sin condensación |
| • Tropicalización | Encapsulación de epoxia Terminales de clasificación marina Carcasa de aluminio anodizada |

Protecciones electrónicas

- Solar: Sobrecarga, cortocircuito, alto voltaje
- Carga: Sobrecarga, cortocircuito, alto voltaje
- BaterÍa: Alto voltaje
- Todos: Polaridad invertida, alta temperatura, rayos y sobrevoltajes temporales
- Corriente invertida en la noche

Carga de la baterÍa

| | |
|-------------------------------|---|
| • MÉTODO DE CARGA | PWM de la serie de 4 etapas |
| • ETAPAS DE CARGA | Principal, absorción, flotación, compensación |
| • COMPENSACIÓN DE TEMPERATURA | |
| COEFICIENTE | 12 V: -30 mV/°C 24 V: -60 mV/°C |
| MARGEN | -30 °C a +60 °C |
| PUNTOS DE AJUSTE | Absorción, flotación, compensación |

Indicaciones de LED

- LED de estado (1)
- Cargando o no cargando
- Condiciones de error solar
- LED de la baterÍa (3)
- Nivel de la baterÍa
- Etapa de carga

Certificaciones

| | |
|--|---|
| • ETL con clasificación en la lista UL 1741 y CSA C22.2 N.º 107.1-01 | |
| • UBICACIONES PELIGROSAS | Clase 1, División 2, Grupos A,B,C,D CSA C22.2#213 |
| • PAUTAS GENERALES DE EMC | Inmunidad, emisiones, seguridad |
| • FCC | Clase B, Parte 15 |
| • CE | |
| • RoHS | |
| • ISO 9000 | |

GARANTÍA: Período de garantía de cinco años. Comuníquese con Morningstar o con el distribuidor autorizado para conocer los términos completos.

DISTRIBUIDOR DE MORNINGSTAR AUTORIZADO:



8 Pheasant Run
Newtown, PA 18940 EE.UU.
Tel.: +1 215-321-4457 Fax: +1 215-321-4458
Correo electrónico: info@morningstarcorp.com
Sitio web: www.morningstarcorp.com

© 2009-2012 MORNINGSTAR CORPORATION IMPRESO EN EE.UU. 2012-03-05/12

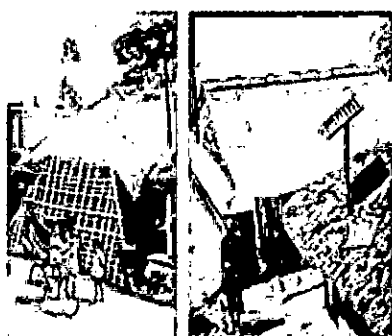
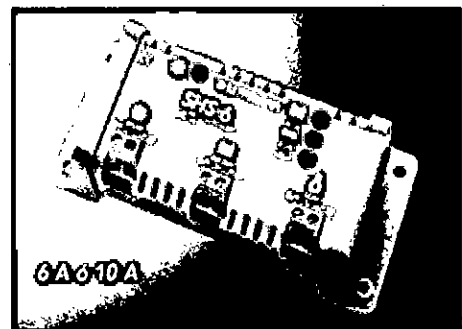




SHS™

PARA SISTEMAS HOGAREÑOS DE ENERGÍA SOLAR DE HASTA 170 VATIOS

La reconocida alta calidad y confiabilidad de los equipos Morningstar ahora están disponibles en un controlador solar de bajo costo. El Controlador SHS es ideal para sistemas de electrificación rural con uno a tres paneles solares. Este controlador cumple con las especificaciones del Banco Mundial y proporciona muchas prestaciones y beneficios.



Beneficios de un Controlador Solar

Es importante incluir un controlador en un sistema de energía solar.

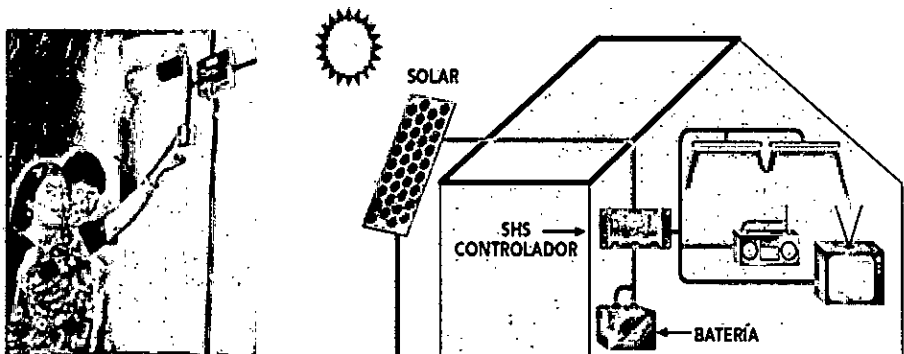
- **Reduce el costo de reemplazo de baterías**
La desconexión por bajo voltaje prolongará la vida útil de la batería. Las cargas son desconectadas automáticamente cuando la batería está baja y son reconectadas después de recargada la batería. La carga completa incrementará la vida útil de la batería y la capacidad de almacenamiento. El controlador maximizará la cantidad de energía solar hacia la batería y evitará que la misma se sequé.
- **Proporciona información de utilidad**
Los LED muestran en pantalla información sobre el estado y el nivel de la batería, lo cual ayuda al usuario a operar mejor el sistema de energía solar.

Ventajas del controlador SHS

El controlador SHS de Morningstar tiene múltiples ventajas en comparación con otros controladores:

- **Bajo Costo**
El SHS fue específicamente diseñado para satisfacer las necesidades del mercado de electrificación rural. El bajo costo es resultado del uso de la última tecnología y de un alto volumen de fabricación.
- **Alta confiabilidad**
Morningstar es un líder mundial en la provisión de controladores de carga solar. Todos nuestros controladores son diseñados para una alta calidad y una alta confiabilidad. El controlador SHS tiene un bajo régimen de fallas y prestará servicio por mucho tiempo.
- **Protecciones electrónicas**
El SHS tiene fusibles electrónicos incluidos que no necesitan reemplazo. Ninguna conexión errónea durante la instalación dañará el controlador.
- **Tropicalización**
La electrónica del SHS está protegida con una cubierta a prueba de humedad que minimiza el daño que podrían causar la humedad y los insectos que eventualmente pudieran anidar en el sistema.
- **Facilidad de uso**
El controlador SHS es completamente automático y no necesita ajustes ni selecciones por parte del usuario.

SHS™ CONTROLADOR SOLAR



INFORMACIÓN TÉCNICA

CAPACIDADES NOMINALES: (TODOS A 12 VOLTIOS)

| | |
|--------|--|
| SHS-6 | 100 W ó 6 A PARA EL SISTEMA DE CARGA SOLAR Y LA CARGA |
| SHS-10 | 170 W ó 10 A PARA EL SISTEMA DE CARGA SOLAR Y LA CARGA |

| | | | |
|--------------------------------|---|---------------------------|--|
| • Punto de regulación | 14.3 V | • Indicaciones de los LED | Verde: en carga Niveles de batería: verde, amarillo y rojo Rojo: advertencia de bajo voltaje y desconexión Los 3 LED destellando — indicación de errores |
| • Desconexión por bajo voltaje | 11.5 V | • Terminales | Para tamaños de cable de hasta 4 mm ² |
| • Reconexión por bajo voltaje | 12.6 V | • Dimensiones | 15.1 x 6.6 x 3.6 cm |
| • Tipo de carga | PWM Serie (modulación de ancho de pulso) 4 etapas: En bruto, PWM, por incremento o "Boost" y flotante Carga compensada en temperatura | • Peso | 113 g |
| • Protecciones electrónicas | Cortocircuito y exceso de corriente — sistema de carga solar y carga Polaridad inversa — en sistema de carga solar, en la carga y en la batería Corriente inversa por la noche Alto voltaje — en la carga Rayos — en sistema solar, en la carga y en la batería | • Consumo propio | 8 mA máximo |
| • Tropicalización | Placa de circuito — recubrimiento según norma Terminales — protegidos contra corrosión | • Temperatura | -25°C a +50°C |
| | | • Humedad | 100% sin condensación |
| | | • Encapsulado | IP 22 |
| | | • Cumple con normas de | CE, Banco Mundial |

GARANTÍA: Período de dos años de garantía. Póngase en contacto con Morningstar o su distribuidor autorizado para conocer los términos completos.

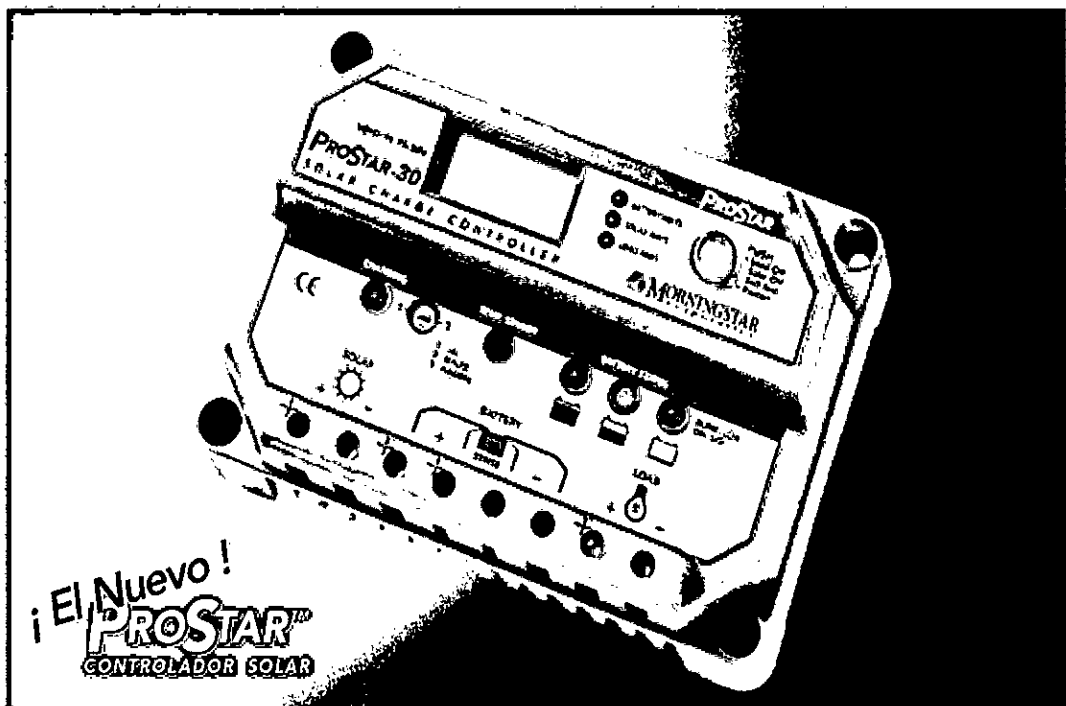
DISTRIBUIDOR MORNINGSTAR AUTORIZADO:

 **MORNINGSTAR**
corporation

1098 Washington Crossing Road
Washington Crossing, PA 18977 EUA
Tel: +1 215-321-4457 Fax: +1 215-321-4458
E-mail: info@morningstarcorp.com
Website: www.morningstarcorp.com

IMPRESO EN LOS ESTADOS UNIDOS 2175-F-2-04





El controlador solar ProStar de Morningstar es el líder mundial en controladores solares de mediano rango, ya sea para aplicaciones profesionales como para el consumidor en general. Esta segunda generación de controladores ProStar ofrece:

- Adiciona nuevas prestaciones y protecciones usando tecnología altamente avanzada
- Proporciona mayor vida útil a la batería y mejora el rendimiento del sistema
- Define nuevos estándares de confiabilidad y genera diagnósticos automáticos

Prestaciones Estándar:

- Versiones disponibles: 15 o 30 amperios 12 / 24 o 48 volts positivo o negativo a tierra
- Vida útil de 15 años (estimado)
- Carga de baterías mediante PWM (sin derivación)
- Selección del tipo de batería: gel, sellada o con líquido
- Controles y medidas muy precisas
- Puente para eliminar el ruido de telecomunicaciones
- Paralelo para hasta 300 amp
- Compensación de temperatura

- Tropicalización: revestimiento de protección, fijadores de acero inoxidable y disipador de calor de aluminio anodizado
- No es necesario conmutación ni medición en la pierna aterrada
- Componentes de estado sólido, 100%
- Caídas de tensión muy pequeñas
- Desconexión por baja tensión (LVD — Low Voltage Disconnect) con compensación de corriente
- Indicación de status y fallas de batería a través de LED
- Capaz de soportar sobrecargas hasta del 25%
- Terminales remotos con sensores de tensión de batería

Protecciones Electrónicas

- Cortocircuito — paneles solares y carga
- Sobrecaiga — paneles solares y carga
- Polaridad invertida
- Corriente invertida por la noche
- Desconexión por alta tensión
- Desconexión por alta temperatura
- Protección contra relámpagos y sobre tensión o transitorios
- Cargas protegidas contra picos de tensión
- Restablecimiento automático de todas las protecciones

PROSTAR™ ESPECIFICACIONES TÉCNICAS

Prestaciones Opcionales del ProStar:

- Medidor digital
 - Visor de tensión y voltaje de alta precisión
 - Bajo consumo propio (1 mA)
 - Incluye botón de desconexión manual
 - Muestra 5 funciones de protección y de condiciones de desconexión
 - El auto-diagnóstico (auto-test) provee una prueba completa del ProStar:
 - Muestra 9 diferentes parámetros de estado del controlador, incluyendo la temperatura
 - Muestra las fallas detectadas
- Positivo a Tierra
- Sensor remoto de temperatura

Carga de la batería optimizada:

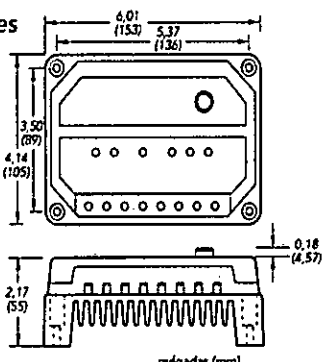
El ProStar tiene 4 etapas de carga de batería, para proporcionar una mayor capacidad y tiempo de vida útil a la batería.



Especificaciones Mecánicas:

Peso:
0,34 kg

Calibre del cable:
6 AWG
(16 mm²)



Versiones del ProStar:

| | PS-15 | PS-30 | PS15M-48V |
|-----------------------------------|--------|--------|-----------|
| Corriente nominal del panel solar | 15A | 30A | 15A |
| Corriente nominal de carga | 15A | 30A | 15A |
| Tensión del sistema | 12/24V | 12/24V | 48V |
| Opciones: | | | |
| Medidor digital | sí | sí | estándar |
| Tierra positiva | no | sí | sí |
| Sensor remoto de temperatura | sí | sí | sí |

Puntos de Ajuste de La Batería*

| | Gel | Sellada | Con líquido |
|------------------------|------|---------|-------------|
| Tensión de regulación | 14,0 | 14,15 | 14,4 |
| Flotante | 13,7 | 13,7 | 13,7 |
| Equalización | n/a | 14,35 | 14,9/15,1 |
| Deconexión de la carga | 11,4 | 11,4 | 11,4 |
| Reconexión de la carga | 12,6 | 12,6 | 12,6 |

Observación: los valores están especificados para 12V.

Use 2X para 24V e 4X para 48V.

Especificaciones Eléctricas:

| | 12V | 24V | 48V |
|-------------------------------------|------------------------|-------|--------|
| Compensación de temperatura (mV/C)* | -30mV | -60mV | -120mV |
| Precisión | 40mV | 60mV | 80mV |
| Mínima temperatura de operación | 8V | 8V | 15V |
| Autoconsumo | 22mA | 25mA | 28mA |
| Coeficiente de corriente LVD** | -20mV | -40mV | -80mV |
| Algoritmo de carga | PWM, tensión constante | | |
| Temperatura de operación | -40°C a +60°C | | |
| Visor digital: | | | |
| Temperatura de funcionamiento | -30°C a +85°C | | |
| Precisión de la tensión | 0,5% | | |
| Precisión de corriente | 2,0% | | |
| Autoconsumo | 1 mA | | |

* Referencia 25°C

** por ampere de carga

GARANTÍA: Cinco años de garantía. Contáctese con Morningstar o con un distribuidor autorizado para obtener los términos completos de la garantía.

DISTRIBUIDOR AUTORIZADO DE MORNINGSTAR:

MORNINGSTAR
corporation

1098 Washington Crossing Road
Washington Crossing, PA 18977 USA
Tel: 215-321-4457 Fax: 215-321-4458
E-mail: Info@morningstarcorp.com
Website: www.morningstarcorp.com



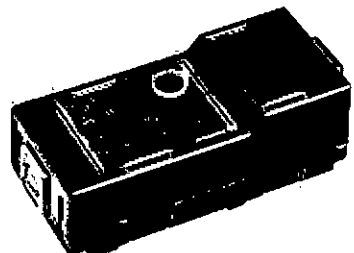
PRINTED IN U.S.A. 2015 P/N JAS



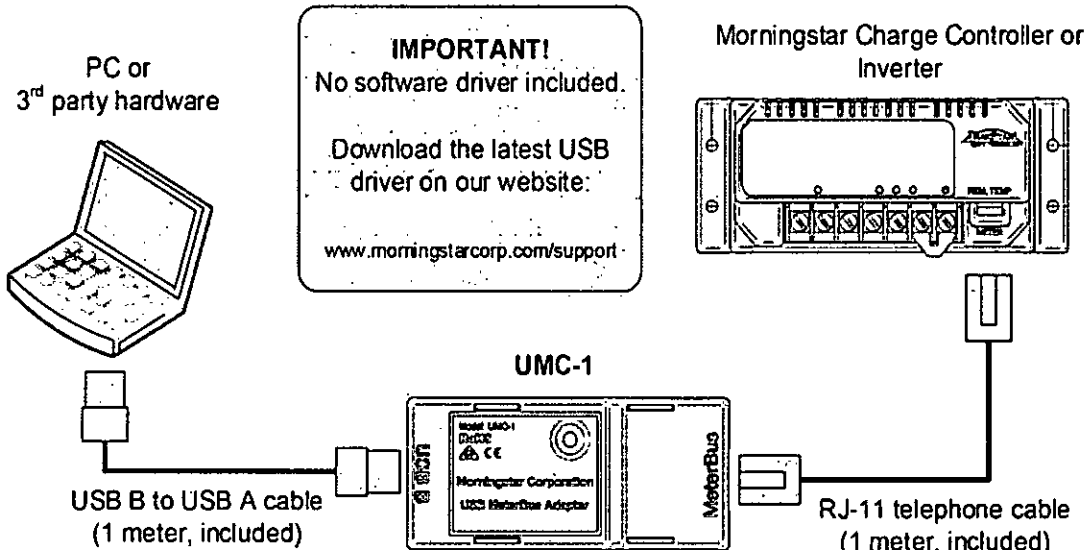
Morningstar USB MeterBus Adapter

The USB MeterBus Adapter (model: UMC-1) converts the Morningstar MeterBus RJ-11 electrical interface to a standard USB 2.0 interface. This allows communication between a PC and Morningstar charge controllers or inverters that have a MeterBus connection, but no serial or other communications port. This includes the SunSaver MPPT, SunSaver DUO, and SureSine products. The UMC-1 is required for:

- Programming custom charging set-points
- Logging data using Morningstar's MSView PC software
- Communication with any 3rd party hardware that supports MODBUS™ communication.



Wiring Diagram



Notes:

- 1) 4-conductor or 6-conductor telephone cord is acceptable
- 2) The UMC-1 is fully opto-isolated. USB electrical ground is NOT the same ground as RJ-11 / controller.

MODBUS documentation including register locations, scaling, and definitions can be found on Morningstar's website at:
www.morningstarcorp.com



APÉNDICES

Apéndice N°1:

Función MATLAB de la simulación del Modelo NARX - Caso 1 de la Hipótesis 1:

```
function [Y,Xf,Af] = myNeuralNetworkFunction(X,Xi,~)
%MYNEURALNETWORKFUNCTION neural network simulation function.
%
% Generated by Neural Network Toolbox function genFunction.
%
% [Y,Xf,Af] = myNeuralNetworkFunction(X,Xi,~) takes these arguments:
%
% X = 2xTS cell, 2 inputs over TS timesteps
% Each X{1,ts} = 2xQ matrix, input #1 at timestep ts.
% Each X{2,ts} = 1xQ matrix, input #2 at timestep ts.
%
% Xi = 2x2 cell 2, initial 2 input delay states.
% Each Xi{1,ts} = 2xQ matrix, initial states for input #1.
% Each Xi{2,ts} = 1xQ matrix, initial states for input #2.
%
% Ai = 2x0 cell 2, initial 2 layer delay states.
% Each Ai{1,ts} = 8xQ matrix, initial states for layer #1.
% Each Ai{2,ts} = 1xQ matrix, initial states for layer #2.
%
% and returns:
% Y = 1xTS cell of 2 outputs over TS timesteps.
% Each Y{1,ts} = 1xQ matrix, output #1 at timestep ts.
%
% Xf = 2x2 cell 2, final 2 input delay states.
% Each Xf{1,ts} = 2xQ matrix, final states for input #1.
% Each Xf{2,ts} = 1xQ matrix, final states for input #2.
%
% Af = 2x0 cell 2, final 0 layer delay states.
% Each Af{1ts} = 8xQ matrix, final states for layer #1.
% Each Af{2ts} = 1xQ matrix, final states for layer #2.
%
% where Q is number of samples (or series) and TS is the number of
% timesteps.

 %#ok<*RPMT0>

% ===== NEURAL NETWORK CONSTANTS =====

% Input 1
x1_step1_xoffset = [1195.41;580.722];
x1_step1_gain = [0.000329044295778576;0.00507518892390769];
x1_step1_ymin = -1;

% Input 2
x2_step1_xoffset = 770.392;
x2_step1_gain = 0.000310155899863066;
x2_step1_ymin = -1;

% Layer 1
```

```

b1 = [2.1976101076066752;1.6130541241746172;0.91061620924865994;-
0.24841312467136586;0.43799883078042101;0.6625319445076101;-
1.4100288485771117;-1.976882292867187];
IW1_1 = [-0.71222803946647806 0.49538072474638889 -0.51365982001143629
0.84212628874877604;-0.3331550600841805 -1.1402990683584766
0.22928393132688291 -0.28812854620643241;-0.54751136218511465 -
1.4006205392095714 0.081698618673350126 -
1.2939704303595698;1.1580947502373342 0.60768326577032938
1.3349725084177686 -0.33556651684747035;1.0693757911506907 -
1.3160082930225789 0.68705496937745236 -0.50893930071404947;-
0.055978723425818715 0.99514926446917507 0.8679065950426349
1.0936546169455572;0.018016552684915005 1.533842347143922 -
0.27277552333310984 1.3592558488262236;-0.96343222094739667
0.34638686578386718 -0.52299379441737071 -0.98858521597655413];
IW1_2 = [0.31167861479598363 1.42722828508356;-1.0529800612588387 -
0.32845454089481968;-0.48201876082301226 -
0.23741392285504365;0.51054827796965407 -
1.143175446832418;0.97796921571786177 -0.71481343755660842;-
1.0211513551280058 -0.024652377050650327;0.2550790592884441 -
0.76539275036122989;-0.99126416089588865 1.1180815779254247];

% Layer 2
b2 = 0.41073254519147062;
LW2_1 = [0.21569138453181319 -0.76321705086200642 0.31392714607486483 -
0.43752143411862016 0.71791107299650692 0.34356590888046978 -
0.14466815656112325 0.41261856538408798];

% Output 1
y1_step1_ymin = -1;
y1_step1_gain = 0.000310155899863066;
y1_step1_xoffset = 770.392;

% ===== SIMULATION =====

% Format Input Arguments
isCellX = iscell(X);
if ~isCellX, X = {X}; end;
if (nargin < 2), error('Initial input states Xi argument needed.'); end

% Dimensions
TS = size(X,2); % timesteps
if ~isempty(X)
    Q = size(X{1},2); % samples/series
elseif ~isempty(Xi)
    Q = size(Xi{1},2);
else
    Q = 0;
end

% Input 1 Delay States
Xd1 = cell(1,3);
for ts=1:2
    Xd1{ts} =
mapminmax_apply(Xi{1,ts},x1_step1_gain,x1_step1_xoffset,x1_step1_ymin);
end

```

```

% Input 2 Delay States
Xd2 = cell(1,3);
for ts=1:2
    Xd2{ts} =
mapminmax_apply(Xi{2,ts},x2_step1_gain,x2_step1_xoffset,x2_step1_ymin);
end

% Allocate Outputs
Y = cell(1,TS);

% Time loop
for ts=1:TS

    % Rotating delay state position
    xdts = mod(ts+1,3)+1;

    % Input 1
    Xd1{xdts} =
mapminmax_apply(X{1,ts},x1_step1_gain,x1_step1_xoffset,x1_step1_ymin);

    % Input 2
    Xd2{xdts} =
mapminmax_apply(X{2,ts},x2_step1_gain,x2_step1_xoffset,x2_step1_ymin);

    % Layer 1
    tapdelay1 = cat(1,Xd1{mod(xdts-[1 2]-1,3)+1});
    tapdelay2 = cat(1,Xd2{mod(xdts-[1 2]-1,3)+1});
    a1 = tansig_apply(repmat(b1,1,Q) + IW1_1*tapdelay1 +
IW1_2*tapdelay2);

    % Layer 2
    a2 = repmat(b2,1,Q) + LW2_1*a1;

    % Output 1
    Y{1,ts} =
mapminmax_reverse(a2,y1_step1_gain,y1_step1_xoffset,y1_step1_ymin);
end

% Final Delay States
finalxts = TS+(1: 2);
xits = finalxts(finalxts<=2);
xts = finalxts(finalxts>2)-2;
Xf = [Xi(:,xits) X(:,xts)];
Af = cell(2,0);

% Format Output Arguments
if ~isCellX, Y = cell2mat(Y); end
end

% ===== MODULE FUNCTIONS =====

% Map Minimum and Maximum Input Processing Function
function y =
mapminmax_apply(x,settings_gain,settings_xoffset,settings_ymin)
y = bsxfun(@minus,x,settings_xoffset);

```

```
y = bsxfun(@times,y,settings_gain);
y = bsxfun(@plus,y,settings_ymin);
end

% Sigmoid Symmetric Transfer Function
function a = tansig_apply(n)
a = 2 ./ (1 + exp(-2*n)) - 1;
end

% Map Minimum and Maximum Output Reverse-Processing Function
function x =
mapminmax_reverse(y,settings_gain,settings_xoffset,settings_ymin)
x = bsxfun(@minus,y,settings_ymin);
x = bsxfun(@rdivide,x,settings_gain);
x = bsxfun(@plus,x,settings_xoffset);
end
```

Apéndice N°2:

Función MATLAB de la simulación del Modelo NARX - Caso 2 de la Hipótesis 1:

```
function [Y,Xf,Af] = myNeuralNetworkFunction(X,Xi,~)
%MYNEURALNETWORKFUNCTION neural network simulation function.
%
% Generated by Neural Network Toolbox function genFunction.
%
% [Y,Xf,Af] = myNeuralNetworkFunction(X,Xi,~) takes these arguments:
%
% X = 2xTS cell, 2 inputs over TS timesteps
% Each X{1,ts} = 2xQ matrix, input #1 at timestep ts.
% Each X{2,ts} = 1xQ matrix, input #2 at timestep ts.
%
% Xi = 2x2 cell 2, initial 2 input delay states.
% Each Xi{1,ts} = 2xQ matrix, initial states for input #1.
% Each Xi{2,ts} = 1xQ matrix, initial states for input #2.
%
% Ai = 2x0 cell 2, initial 2 layer delay states.
% Each Ai{1,ts} = 10xQ matrix, initial states for layer #1.
% Each Ai{2,ts} = 1xQ matrix, initial states for layer #2.
%
% and returns:
% Y = 1xTS cell of 2 outputs over TS timesteps.
% Each Y{1,ts} = 1xQ matrix, output #1 at timestep ts.
%
% Xf = 2x2 cell 2, final 2 input delay states.
% Each Xf{1,ts} = 2xQ matrix, final states for input #1.
% Each Xf{2,ts} = 1xQ matrix, final states for input #2.
%
% Af = 2x0 cell 2, final 0 layer delay states.
% Each Af{1ts} = 10xQ matrix, final states for layer #1.
% Each Af{2ts} = 1xQ matrix, final states for layer #2.
%
% where Q is number of samples (or series) and TS is the number of
% timesteps.

%#ok<*RPMT0>

% ===== NEURAL NETWORK CONSTANTS =====

% Input 1
x1_step1_xoffset = [908.542;601.415];
x1_step1_gain = [0.000338756313782521;0.00544457692914972];
x1_step1_ymin = -1;

% Input 2
x2_step1_xoffset = 595;
x2_step1_gain = 0.000326034241746239;
x2_step1_ymin = -1;

% Layer 1
b1 = [1.5412704999603972;1.2627450136859648;-
1.368240333192204;0.40518198632184654; -0.32132749831659402; -
```

```

0.0075318833803102447;0.68231957061828852;-1.3209805176181491;-
1.728724007593734;-2.0550942240485655];
IW1_1 = [-0.47216602976304856 1.42276068940699 1.4676279132173438
0.74224190217510932;-0.78368890163697547 -0.83806365424710583 -
0.9261065559976257 -0.30450972888063293;1.0140464530085846
0.33753538134195199 -0.57479485153174958 0.15918034937531961;-
1.3942411620882993 0.3352419732966947 -1.1071097702603883 -
0.38196370608612473;0.78679128314248692 1.050191349373073 -
0.8756579055579824 -0.74485924958782035;0.12056601432039388 -
0.9704686096065136 0.98874859990985409 -
0.7111776388040929;0.57798958638740405 0.040057772234592337 -
0.25600170845830433 -1.1653250295907984;-1.3619127651727272 -
0.6082415415202469 0.33139578918095292 -0.89343444717008003;-
0.17961881847812547 0.63643634171858254 -0.9325365398505554 -
0.63969303986933923;-1.3002403818934352 -0.09101297278997561
1.0877044686908792 -0.16178079446573404];
IW1_2 = [-1.4179914468425121 -0.83996704761957841;0.45444738112259031 -
1.0722061267297336;1.0542819067213502 -0.22025187421028533;-
0.19429713200339016 -1.0186341206997891;-0.12793069661103523 -
0.50926368013502765;-0.30153300838293012
0.99667740779170622;1.0035304937986644 0.53927388974524093;-
0.72703766791689006 0.11990711407633331;-1.1488090479153399 -
1.2121548536674875;0.80783102434138498 -0.83727634304106291];

% Layer 2
b2 = -0.41823029562640379;
LW2_1 = [0.093365226552890729 0.60698910714907806 0.022109929277389154 -
0.1937897651454884 0.44739550095088354 -0.33463056456067414
1.0080144170793781 0.23702619516841006 -0.64762558539724369
0.12504208926947497];

% Output 1
y1_step1_ymin = -1;
y1_step1_gain = 0.000326034241746239;
y1_step1_xoffset = 595;

% ===== SIMULATION =====

% Format Input Arguments
isCellX = iscell(X);
if ~isCellX, X = {X}; end;
if (nargin < 2), error('Initial input states Xi argument needed.'); end

% Dimensions
TS = size(X,2); % timesteps
if ~isempty(X)
    Q = size(X{1},2); % samples/series
elseif ~isempty(Xi)
    Q = size(Xi{1},2);
else
    Q = 0;
end

% Input 1 Delay States
Xd1 = cell(1,3);
for ts=1:2

```

```

Xd1{ts} =
mapminmax_apply(Xi{1,ts},x1_step1_gain,x1_step1_xoffset,x1_step1_ymin);
end

% Input 2 Delay States
Xd2 = cell(1,3);
for ts=1:2
    Xd2{ts} =
mapminmax_apply(Xi{2,ts},x2_step1_gain,x2_step1_xoffset,x2_step1_ymin);
end

% Allocate Outputs
Y = cell(1,TS);

% Time loop
for ts=1:TS

    % Rotating delay state position
    xdts = mod(ts+1,3)+1;

    % Input 1
    Xd1{xdts} =
mapminmax_apply(X{1,ts},x1_step1_gain,x1_step1_xoffset,x1_step1_ymin);

    % Input 2
    Xd2{xdts} =
mapminmax_apply(X{2,ts},x2_step1_gain,x2_step1_xoffset,x2_step1_ymin);

    % Layer 1
    tapdelay1 = cat(1,Xd1{mod(xdts-[1 2]-1,3)+1});
    tapdelay2 = cat(1,Xd2{mod(xdts-[1 2]-1,3)+1});
    a1 = tansig_apply(repmat(b1,1,Q) + IW1_1*tapdelay1 +
IW1_2*tapdelay2);

    % Layer 2
    a2 = repmat(b2,1,Q) + LW2_1*a1;

    % Output 1
    Y{1,ts} =
mapminmax_reverse(a2,y1_step1_gain,y1_step1_xoffset,y1_step1_ymin);
end

% Final Delay States
finalxts = TS+(1: 2);
xits = finalxts(finalxts<=2);
xts = finalxts(finalxts>2)-2;
Xf = [Xi(:,xits) X(:,xts)];
Af = cell(2,0);

% Format Output Arguments
if ~isCellX, Y = cell2mat(Y); end
end

% ===== MODULE FUNCTIONS =====

```

```
% Map Minimum and Maximum Input Processing Function
function y =
mapminmax_apply(x,settings_gain,settings_xoffset,settings_ymin)
y = bsxfun(@minus,x,settings_xoffset);
y = bsxfun(@times,y,settings_gain);
y = bsxfun(@plus,y,settings_ymin);
end

% Sigmoid Symmetric Transfer Function
function a = tansig_apply(n)
a = 2 ./ (1 + exp(-2*n)) - 1;
end

% Map Minimum and Maximum Output Reverse-Processing Function
function x =
mapminmax_reverse(y,settings_gain,settings_xoffset,settings_ymin)
x = bsxfun(@minus,y,settings_ymin);
x = bsxfun(@rdivide,x,settings_gain);
x = bsxfun(@plus,x,settings_xoffset);
end
```

Apéndice N°3:

Función MATLAB de la simulación del Modelo NAR - Caso 1 de la Hipótesis 1:

```
function [Y,Xf,Af] = myNeuralNetworkFunction(X,Xi,~)
%MYNEURALNETWORKFUNCTION neural network simulation function.
%
% Generated by Neural Network Toolbox function genFunction.
%
% [Y,Xf,Af] = myNeuralNetworkFunction(X,Xi,~) takes these arguments:
%
% X = 1xTS cell, 1 inputs over TS timesteps
% Each X{1,ts} = 1xQ matrix, input #1 at timestep ts.
%
% Xi = 1x2 cell 1, initial 2 input delay states.
% Each Xi{1,ts} = 1xQ matrix, initial states for input #1.
%
% Ai = 2x0 cell 2, initial 2 layer delay states.
% Each Ai{1,ts} = 10xQ matrix, initial states for layer #1.
% Each Ai{2,ts} = 1xQ matrix, initial states for layer #2.
%
% and returns:
% Y = 1xTS cell of 1 outputs over TS timesteps.
% Each Y{1,ts} = 1xQ matrix, output #1 at timestep ts.
%
% Xf = 1x2 cell 1, final 2 input delay states.
% Each Xf{1,ts} = 1xQ matrix, final states for input #1.
%
% Af = 2x0 cell 2, final 0 layer delay states.
% Each Af{1ts} = 10xQ matrix, final states for layer #1.
% Each Af{2ts} = 1xQ matrix, final states for layer #2.
%
% where Q is number of samples (or series) and TS is the number of
% timesteps.

%#ok<*RPMT0>

% ===== NEURAL NETWORK CONSTANTS =====

% Input 1
x1_step1_xoffset = 770.392;
x1_step1_gain = 0.000307539626096398;
x1_step1_ymin = -1;

% Layer 1
b1 = [6.6136761060591835; 0.70734571667884494;-
4.4159321962505471; 2.8801866772679561;-
0.53354393603651828; 0.010014510506742139;-
0.85353593318317544; 1.1296827082550647; -4.9115727948512005;-
4.9829044434550873];
IW1_1 = [-1.2524980440546549, -6.2894941956551742; -2.1814167406431491
0.22456149199652392; 3.4493179850549973, -4.0052773817962919;-
2.5772139585780001, 0.049055259691554241; -1.6035884055701395
6.0350395290787961; -2.9792597100527369, 3.0432481210465738;-
9.6020081691803529, 0.95137150428656736; 4.8561109853861453 -
```

```

7.845744425928963;-3.1339612922751607
2.9267929263539512;0.52526257297085388 -9.5550585838977504];

% Layer 2
b2 = 0.1979163913772799;
LW2_1 = [-0.17098791909819763 -0.33684810467199505 1.1507254983408597
0.23908397132966924 0.075717774264504933 -0.67651951924276676 -
0.10361183857934901 -0.17372141324671686 -0.99152296822007246 -
0.14160907652271065];

% Output 1
y1_step1_ymin = -1;
y1_step1_gain = 0.000307539626096398;
y1_step1_xoffset = 770.392;

% ===== SIMULATION =====

% Format Input Arguments
isCellX = iscell(X);
if ~isCellX, X = {X}; end;
if (nargin < 2), error('Initial input states Xi argument needed.'); end

% Dimensions
TS = size(X,2); % timesteps
if ~isempty(X)
    Q = size(X{1},2); % samples/series
elseif ~isempty(Xi)
    Q = size(Xi{1},2);
else
    Q = 0;
end

% Input 1 Delay States
Xd1 = cell(1,3);
for ts=1:2
    Xd1{ts} =
mapminmax_apply(Xi{1,ts},x1_step1_gain,x1_step1_xoffset,x1_step1_ymin);
end

% Allocate Outputs
Y = cell(1,TS);

% Time loop
for ts=1:TS

    % Rotating delay state position
    xdts = mod(ts+1,3)+1;

    % Input 1
    Xd1{xdts} =
mapminmax_apply(X{1,ts},x1_step1_gain,x1_step1_xoffset,x1_step1_ymin);

    % Layer 1
    tapdelay1 = cat(1,Xd1{mod(xdts-[1 2]-1,3)+1});
    a1 = tansig_apply(repmat(b1,1,Q) + IW1_1*tapdelay1);

```

```

% Layer 2
a2 = repmat(b2,1,Q) + LW2_1*a1;

% Output 1
Y{1,ts} =
mapminmax_reverse(a2,y1_step1_gain,y1_step1_xoffset,y1_step1_ymin);
end

% Final Delay States
finalxts = TS+(1: 2);
xits = finalxts(finalxts<=2);
xts = finalxts(finalxts>2)-2;
Xf = [Xi(:,xits) X(:,xts)];
Af = cell(2,0);

% Format Output Arguments
if ~isCellX, Y = cell2mat(Y); end
end.

% ===== MODULE FUNCTIONS =====

% Map Minimum and Maximum Input Processing Function
function y =
mapminmax_apply(x,settings_gain,settings_xoffset,settings_ymin)
y = bsxfun(@minus,x,settings_xoffset);
y = bsxfun(@times,y,settings_gain);
y = bsxfun(@plus,y,settings_ymin);
end

% Sigmoid Symmetric Transfer Function
function a = tansig_apply(n)
a = 2 ./ (1 + exp(-2*n)) - 1;
end

% Map Minimum and Maximum Output Reverse-Processing Function
function x =
mapminmax_reverse(y,settings_gain,settings_xoffset,settings_ymin)
x = bsxfun(@minus,y,settings_ymin);
x = bsxfun(@rdivide,x,settings_gain);
x = bsxfun(@plus,x,settings_xoffset);
end

```

Apéndice N°4:

Función MATLAB de la simulación del Modelo NAR - Caso 2 de la Hipótesis 1:

```
function [Y,Xf,Af] = myNeuralNetworkFunction(X,Xi,~)
%MYNEURALNETWORKFUNCTION neural network simulation function.
%
% Generated by Neural Network Toolbox function genFunction.
%
% [Y,Xf,Af] = myNeuralNetworkFunction(X,Xi,~) takes these arguments:
%
% X = 1xTS cell, 1 inputs over TS timesteps
% Each X{1,ts} = 1xQ matrix, input #1 at timestep ts.
%
% Xi = 1x2 cell 1, initial 2 input delay states.
% Each Xi{1,ts} = 1xQ matrix, initial states for input #1.
%
% Ai = 2x0 cell 2, initial 2 layer delay states.
% Each Ai{1,ts} = 10xQ matrix, initial states for layer #1.
% Each Ai{2,ts} = 1xQ matrix, initial states for layer #2.
%
% and returns:
% Y = 1xTS cell of 1 outputs over TS timesteps.
% Each Y{1,ts} = 1xQ matrix, output #1 at timestep ts.
%
% Xf = 1x2 cell 1, final 2 input delay states.
% Each Xf{1,ts} = 1xQ matrix, final states for input #1.
%
% Af = 2x0 cell 2, final 0 layer delay states.
% Each Af{1ts} = 10xQ matrix, final states for layer #1.
% Each Af{2ts} = 1xQ matrix, final states for layer #2.
%
% where Q is number of samples (or series) and TS is the number of
% timesteps.

%#ok<*RPMT0>

% ===== NEURAL NETWORK CONSTANTS =====

% Input 1
x1_step1_xoffset = 595;
x1_step1_gain = 0.00032167316366039;
x1_step1_ymin = -1;

% Layer 1
b1 = [1.0400559613699785;-3.0681664152314436;3.0660355418865275;-
1.0485230979810014;1.0968156760836725;-
2.4646871807893986;3.2247902724100408;3.7872570929404961;3.10132338228417
84;-4.5471389435853649];
IW1_1 = [-2.5281086085192008 0.85939246346337339;-0.44160046902009531 -
5.4437976486301292;-3.4474306546415638 -
2.2422753131704436;2.7940737812393501 -
3.9154682673960783;2.7495730733898158 0.21266701536989618;-
2.3850122872521973 1.856561632704723;3.161140447694391 -
2.6238384405346169;3.6225452895068182
```

```

0.41842083932872842;5.6652266084565648 2.4180823971048886;-
3.5874467521952282 -2.0105472094694332];

% Layer 2
b2 = -0.50333470121868096;
LW2_1 = [-0.71133122893465117 -0.55557282615021686 0.039024642106487685
0.5247080814983095 1.1477087340106378 -0.21468959471452775
0.53743374216492801 0.56281464168455142 -0.95337146193926037
0.43325983847927257];

% Output 1
y1_step1_ymin = -1;
y1_step1_gain = 0.00032167316366039;
y1_step1_xoffset = 595;

% ===== SIMULATION =====

% Format Input Arguments
isCellX = iscell(X);
if ~isCellX, X = {X}; end;
if (nargin < 2), error('Initial input states Xi argument needed.'); end

% Dimensions
TS = size(X,2); % timesteps
if ~isempty(X)
    Q = size(X{1},2); % samples/series
elseif ~isempty(Xi)
    Q = size(Xi{1},2);
else
    Q = 0;
end

% Input 1 Delay States
Xd1 = cell(1,3);
for ts=1:2
    Xd1{ts} =
mapminmax_apply(Xi{1,ts},x1_step1_gain,x1_step1_xoffset,x1_step1_ymin);
end

% Allocate Outputs
Y = cell(1,TS);

% Time loop
for ts=1:TS

    % Rotating delay state position
    xdts = mod(ts+1,3)+1;

    % Input 1
    Xd1{xdts} =
mapminmax_apply(X{1,ts},x1_step1_gain,x1_step1_xoffset,x1_step1_ymin);

    % Layer 1
    tapdelay1 = cat(1,Xd1{mod(xdts-[1 2]-1,3)+1});
    a1 = tansig_apply(repmat(b1,1,Q) + IW1_1*tapdelay1);

```

```

% Layer 2
a2 = repmat(b2,1,Q) + LW2_1*a1;

% Output 1
Y{1,ts} =
mapminmax_reverse(a2,y1_step1_gain,y1_step1_xoffset,y1_step1_ymin);
end

% Final Delay States
finalxts = TS+(1: 2);
xts = finalxts(finalxts<=2);
xts = finalxts(finalxts>2)-2;
Xf = [Xi(:,xts) X(:,xts)];
Af = cell(2,0);

% Format Output Arguments
if ~isCellX, Y = cell2mat(Y); end
end

% ===== MODULE FUNCTIONS =====

% Map Minimum and Maximum Input Processing Function
function y =
mapminmax_apply(x,settings_gain,settings_xoffset,settings_ymin)
y = bsxfun(@minus,x,settings_xoffset);
y = bsxfun(@times,y,settings_gain);
y = bsxfun(@plus,y,settings_ymin);
end

% Sigmoid Symmetric Transfer Function
function a = tansig_apply(n)
a = 2 ./ (1 + exp(-2*n)) - 1;
end

% Map Minimum and Maximum Output Reverse-Processing Function
function x =
mapminmax_reverse(y,settings_gain,settings_xoffset,settings_ymin)
x = bsxfun(@minus,y,settings_ymin);
x = bsxfun(@rdivide,x,settings_gain);
x = bsxfun(@plus,x,settings_xoffset);
end

```

Apéndice N°5:

Función MATLAB de la simulación del Modelo Entrada-Salida no Lineal - Caso 1 de la Hipótesis 1:

```
function [Y,Xf,Af] = myNeuralNetworkFunction(X,Xi,~)
%MYNEURALNETWORKFUNCTION neural network simulation function.
%
% Generated by Neural Network Toolbox function genFunction.
%
% [Y,Xf,Af] = myNeuralNetworkFunction(X,Xi,~) takes these arguments:
%
% X = 1xTS cell, 1 inputs over TS timesteps
% Each X{1,ts} = 1xQ matrix, input #1 at timestep ts.
%
% Xi = 1x2 cell 1, initial 2 input delay states.
% Each Xi{1,ts} = 1xQ matrix, initial states for input #1.
%
% Ai = 2x0 cell 2, initial 2 layer delay states.
% Each Ai{1,ts} = 10xQ matrix, initial states for layer #1.
% Each Ai{2,ts} = 1xQ matrix, initial states for layer #2.
%
% and returns:
% Y = 1xTS cell of 1 outputs over TS timesteps.
% Each Y{1,ts} = 1xQ matrix, output #1 at timestep ts.
%
% Xf = 1x2 cell 1, final 2 input delay states.
% Each Xf{1,ts} = 1xQ matrix, final states for input #1.
%
% Af = 2x0 cell 2, final 0 layer delay states.
% Each Af{1ts} = 10xQ matrix, final states for layer #1.
% Each Af{2ts} = 1xQ matrix, final states for layer #2.
%
% where Q is number of samples (or series) and TS is the number of
% timesteps.

%#ok<*RPMTO>

% ===== NEURAL NETWORK CONSTANTS =====

% Input 1
x1_step1_xoffset = 580.722;
x1_step1_gain = 0.00507518892390769;
x1_step1_ymin = -1;

% Layer 1
b1 = [-4.4268342433427614;-
4.2686257372332852;3.0045228005543949;1.6761866792594473;0.41855266673123
576;0.866195175340293; -1.2253355437262867;2.4217561910729573;-
3.4647391736638933;4.4489603536971405];
IW1_1 = [2.6175535370875584 -3.5709655297628036;4.9786246591544883
0.919389226729312; -3.2572587244690325 2.7660121375226181;-
3.3759659315409554 2.7953417094570705; -0.19077777538521032
4.2442887891368652;4.3002786237181958 0.30297206515849912;-
1.7909865681185688 -4.0785521332557568;1.1579605336241798 -
```

```

4.0868843448066059;-3.3193978177615877 -
2.9107650624546717;2.601249363317514 3.5328331523008352];

% Layer 2
b2 = 0.061576248395335251;
LW2_1 = [0.10869530165624726 0.40689738722440427 -0.47288932223635394
0.20170227563432253 -0.1429013474316958 -0.48879306341568896 -
0.38781677277728793 1.4749694227856101 -0.12334423954418072 -
0.15662642443649111];

% Output 1
y1_step1_ymin = -1;
y1_step1_gain = 0.000310155899863066;
y1_step1_xoffset = 770.392;

% ===== SIMULATION =====

% Format Input Arguments
isCellX = iscell(X);
if ~isCellX, X = {X}; end;
if (nargin < 2), error('Initial input states Xi argument needed.'); end

% Dimensions
TS = size(X,2); % timesteps
if ~isempty(X)
    Q = size(X{1},2); % samples/series
elseif ~isempty(Xi)
    Q = size(Xi{1},2);
else
    Q = 0;
end

% Input 1 Delay States
Xd1 = cell(1,3);
for ts=1:2
    Xd1{ts} =
mapminmax_apply(Xi{1,ts},x1_step1_gain,x1_step1_xoffset,x1_step1_ymin);
end

% Allocate Outputs
Y = cell(1,TS);

% Time loop
for ts=1:TS

    % Rotating delay state position
    xdts = mod(ts+1,3)+1;

    % Input 1
    Xd1{xdts} =
mapminmax_apply(X{1,ts},x1_step1_gain,x1_step1_xoffset,x1_step1_ymin);

    % Layer 1
    tapdelay1 = cat(1,Xd1{mod(xdts-[1 2]-1,3)+1});
    a1 = tansig_apply(repmat(b1,1,Q) + IW1_1*tapdelay1);

```

```

% Layer 2
a2 = repmat(b2,1,Q) + LW2_1*a1;

% Output 1
Y{1,ts} =
mapminmax_reverse(a2,y1_step1_gain,y1_step1_xoffset,y1_step1_ymin);
end

% Final Delay States
finalxts = TS+(1: 2);
xits = finalxts(finalxts<=2);
xts = finalxts(finalxts>2)-2;
Xf = {Xi(:,xits) X(:,xts)};;
Af = cell(2,0);

% Format Output Arguments
if ~isCellX, Y = cell2mat(Y); end
end

% ===== MODULE FUNCTIONS =====

% Map Minimum and Maximum Input Processing Function
function y =
mapminmax_apply(x,settings_gain,settings_xoffset,settings_ymin)
y = bsxfun(@minus,x,settings_xoffset);
y = bsxfun(@times,y,settings_gain);
y = bsxfun(@plus,y,settings_ymin);
end

% Sigmoid Symmetric Transfer Function
function a = tansig_apply(n)
a = 2 ./ (1 + exp(-2*n)) - 1;
end

% Map Minimum and Maximum Output Reverse-Processing Function
function x =
mapminmax_reverse(y,settings_gain,settings_xoffset,settings_ymin)
x = bsxfun(@minus,y,settings_ymin);
x = bsxfun(@rdivide,x,settings_gain);
x = bsxfun(@plus,x,settings_xoffset);
end

```

Apéndice N°6:

Función MATLAB de la simulación del Modelo Entrada-Salida no Lineal - Caso 2 de la Hipótesis 1:

```
function [Y,Xf,Af] = myNeuralNetworkFunction(X,Xi,~)
%MYNEURALNETWORKFUNCTION neural network simulation function.
%
% Generated by Neural Network Toolbox function genFunction.
%
% [Y,Xf,Af] = myNeuralNetworkFunction(X,Xi,~) takes these arguments:
%
% X = 1xTS cell, 1 inputs over TS timesteps
% Each X{1,ts} = 1xQ matrix, input #1 at timestep ts.
%
% Xi = 1x2 cell 1, initial 2 input delay states.
% Each Xi{1,ts} = 1xQ matrix, initial states for input #1.
%
% Ai = 2x0 cell 2, initial 2 layer delay states.
% Each Ai{1,ts} = 10xQ matrix, initial states for layer #1.
% Each Ai{2,ts} = 1xQ matrix, initial states for layer #2.
%
% and returns:
% Y = 1xTS cell of 1 outputs over TS timesteps.
% Each Y{1,ts} = 1xQ matrix, output #1 at timestep ts.
%
% Xf = 1x2 cell 1, final 2 input delay states.
% Each Xf{1,ts} = 1xQ matrix, final states for input #1.
%
% Af = 2x0 cell 2, final 0 layer delay states.
% Each Af{1ts} = 10xQ matrix, final states for layer #1.
% Each Af{2ts} = 1xQ matrix, final states for layer #2.
%
% where Q is number of samples (or series) and TS is the number of
% timesteps.

%#ok<*RPMT0>

% ===== NEURAL NETWORK CONSTANTS =====

% Input 1
x1_step1_xoffset = 601.415;
x1_step1_gain = 0.00544457692914972;
x1_step1_ymin = -1;

% Layer 1
b1 = [-4.4185372514278241;-
5.7524662313411801;5.1392785902416245;0.58488410611332631;0.9296614876830
8388;0.84266884311648094;-2.0896027394607448;4.2375720789085314;-
3.4277607150759342;4.3646878611093189];
IW1_1 = [2.6252430104064919 -3.5639898923245372;8.2291853702562587
5.1241078481084701;-4.880731886649202 -0.82128826439813829;-
5.333830459515875 0.74992923942278999;-0.14672279622324119
4.2603755686136573;4.6129342038930057 0.60471247102564896;-
1.547639317342222 -3.752424159495328;2.9217361677647018 -
```

```

1.7672536917187356;-3.3178342325799575 -
2.9132801994193387;2.6574478434277498 3.6035694898152939];

% Layer 2
b2 = -0.97259584297830914;
LW2_1 = [1.1466773204649348 -0.0082733127937430068 1.0272805515883403
0.4091183648700264 0.91007423399526255 -0.73358391781439802 -
0.057316972549410594 1.8532824447337783 0.067390147106486845
0.022197371010576943];

% Output 1
y1_step1_ymin = -1;
y1_step1_gain = 0.000339400052708828;
y1_step1_xoffset = 595;

% ===== SIMULATION =====

% Format Input Arguments
isCellX = iscell(X);
if ~isCellX, X = {X}; end;
if (nargin < 2), error('Initial input states Xi argument needed.'); end

% Dimensions
TS = size(X,2); % timesteps
if ~isempty(X)
    Q = size(X{1},2); % samples/series
elseif ~isempty(Xi)
    Q = size(Xi{1},2);
else
    Q = 0;
end

% Input 1 Delay States
Xd1 = cell(1,3);
for ts=1:2
    Xd1{ts} =
mapminmax_apply(Xi{1,ts},x1_step1_gain,x1_step1_xoffset,x1_step1_ymin);
end

% Allocate Outputs
Y = cell(1,TS);

% Time loop
for ts=1:TS

    % Rotating delay state position
    xdts = mod(ts+1,3)+1;

    % Input 1
    Xd1{xdts} =
mapminmax_apply(X{1,ts},x1_step1_gain,x1_step1_xoffset,x1_step1_ymin);

    % Layer 1
    tapdelay1 = cat(1,Xd1{mod(xdts-[1 2]-1,3)+1});
    a1 = tansig_apply(repmat(b1,1,Q) + IW1_1*tapdelay1);

```

```

% Layer 2
a2 = repmat(b2,1,Q) + LW2_1*a1;

% Output 1
Y{1,ts} =
mapminmax_reverse(a2,y1_step1_gain,y1_step1_xoffset,y1_step1_ymin);
end

% Final Delay States
finalxts = TS+(1: 2);
xits = finalxts(finalxts<=2);
xts = finalxts(finalxts>2)-2;
Xf = [Xi(:,xits) X(:,xts)];
Af = cell(2,0);

% Format Output Arguments
if ~isCellX, Y = cell2mat(Y); end
end

% ===== MODULE FUNCTIONS =====

% Map Minimum and Maximum Input Processing Function
function y =
mapminmax_apply(x,settings_gain,settings_xoffset,settings_ymin)
y = bsxfun(@minus,x,settings_xoffset);
y = bsxfun(@times,y,settings_gain);
y = bsxfun(@plus,y,settings_ymin);
end

% Sigmoid Symmetric Transfer Function
function a = tansig_apply(n)
a = 2 ./ (1 + exp(-2*n)) - 1;
end

% Map Minimum and Maximum Output Reverse-Processing Function
function x =
mapminmax_reverse(y,settings_gain,settings_xoffset,settings_ymin)
x = bsxfun(@minus,y,settings_ymin);
x = bsxfun(@rdivide,x,settings_gain);
x = bsxfun(@plus,x,settings_xoffset);
end

```

Apéndice N°7:

Función MATLAB de la simulación del Modelo NARX - Caso 1 de la Hipótesis 2:

```
function [Y,Xf,Af] = myNeuralNetworkFunction(X,Xi,~)
%MYNEURALNETWORKFUNCTION neural network simulation function.
%
% Generated by Neural Network Toolbox function genFunction.
%
% [Y,Xf,Af] = myNeuralNetworkFunction(X,Xi,~) takes these arguments:
%
% X = 2xTS cell, 2 inputs over TS timesteps
% Each X{1,ts} = 2xQ matrix, input #1 at timestep ts.
% Each X{2,ts} = 1xQ matrix, input #2 at timestep ts.
%
% Xi = 2x20 cell 2, initial 20 input delay states.
% Each Xi{1,ts} = 2xQ matrix, initial states for input #1.
% Each Xi{2,ts} = 1xQ matrix, initial states for input #2.
%
% Ai = 2x0 cell 2, initial 20 layer delay states.
% Each Ai{1,ts} = 10xQ matrix, initial states for layer #1.
% Each Ai{2,ts} = 1xQ matrix, initial states for layer #2.
%
% and returns:
% Y = 1xTS cell of 2 outputs over TS timesteps.
% Each Y{1,ts} = 1xQ matrix, output #1 at timestep ts.
%
% Xf = 2x20 cell 2, final 20 input delay states.
% Each Xf{1,ts} = 2xQ matrix, final states for input #1.
% Each Xf{2,ts} = 1xQ matrix, final states for input #2.
%
% Af = 2x0 cell 2, final 0 layer delay states.
% Each Af{1ts} = 10xQ matrix, final states for layer #1.
% Each Af{2ts} = 1xQ matrix, final states for layer #2.
%
% where Q is number of samples (or series) and TS is the number of
% timesteps.

%#ok<*RPMT0>

% ===== NEURAL NETWORK CONSTANTS =====

% Input 1
x1_step1_xoffset = [1605029.7;15890000];
x1_step1_gain = [1.11812239699009e-07;2.90275761973875e-07];
x1_step1_ymin = -1;

% Input 2
x2_step1_xoffset = 2564241.8;
x2_step1_gain = 1.29025800947497e-07;
x2_step1_ymin = -1;

% Layer 1
b1 = [-1.5520879373307728;1.1148867949259533;-
0.87118650462377678;0.39956681444911091;-
```

0.10325365419363425; 0.17566549012299923; 0.52693544261515401; 0.81781942132
 070884; -1.108572935150721; -1.3523350213424949];
 IW1_1 = [0.06082718055206051 0.078307249177375429 -0.25856071919307244 -
 0.21115703548897247 -0.076331322060539872 0.29698680244342873
 0.29396543671626779 0.28125633280242684 -0.15837130525443988 -
 0.16721448350328177 -0.38799322257539731 0.33199327917059623 -
 0.14191061772460239 0.21945266985601325 0.11034478532022156
 0.06679419791926873 0.11239835180999899 0.24403832425330368
 0.14170659618630632 0.12852057382492507 0.11040359958669847 -
 0.089533183328134341 0.037166687682168305 -0.0038127530145411334
 0.13693757436483375 -0.2244743057669082 0.19844706736886117 -
 0.03534277501029711 0.20452769060191314 -0.037460193183012871
 0.30505495676565775 0.06490622513487744 -0.18081871446469588 -
 0.022596467686949381 0.01691795303957587 0.08323972331488215
 0.25569652582768854 -0.24653002798016196 0.086628692106487631 -
 0.31450539722455167; -0.32921320627363843 0.15373802974460674 -
 0.30439773322299213 -0.063881808736175605 0.20873442899273018
 0.055166934722323611 -0.023269511451492302 -0.30897923546830247
 0.29744125274250477 -0.30894240639686082 0.30270412806353358
 0.248932472165907 0.33769807833764676 -0.16772398552594533
 0.17882973329704699 0.0136870120707438 -0.15102578877830958 -
 0.035893496553941438 0.18097989239280385 -0.041989705406684334 -
 0.18910111035398267 -0.0048770832613596361 -0.16125646300034427 -
 0.22797891926894986 0.14259713981064184 -0.18706996534229897
 0.046748103692343737 -0.063315275673400395 0.013074020956970037
 0.22139771009198647 0.17252460444183187 -0.018683493645804222 -
 0.2486220704186147 0.34529700005922298 0.19544335689010359
 0.16583992921250343 -0.010490551658000591 0.23511905992562912 -
 0.31808332869034611 -0.0085512764628415117; 0.087211687095037183
 0.080626270662901955 0.09428504589992108 0.055713630380335222
 0.21284683258853834 -0.21635485308723934 0.18838982102204443 -
 0.21418421909674962 0.05325709746858321 0.11946091702591569
 0.1547448479454599 -0.20412348919048623 -0.039421714847857635 -
 0.23046661447164496 -0.11118238108049498 0.26309606688824588
 0.1093485033217957 -0.10181771001564396 -0.3396423774518324 -
 0.086332564671828219 -0.18750405325790734 -0.30788353218364634 -
 0.087706293840556795 0.18060620527264873 0.17253504447324189 -
 0.10672648062034956 0.16504040243376997 0.30259823547195425
 0.1519759089168837 0.04845631516433474 -0.21701678938023203 -
 0.33470215309092577 -0.035977278018216881 0.076270626632791522
 0.03413307834850738 -0.063331490807350371 0.15963768731383324 -
 0.31858536695247791 -0.0068123280340108656 0.046948881645632275; -
 0.2141178401490976 -0.15455001736032603 0.16956771085744893
 0.11136947000963809 0.23922523116279631 0.11911805075537472 -
 0.24621536991734627 0.2505679046513089 0.11907125744446742 -
 0.13241607655516058 -0.14254747596339029 0.28789840544435014
 0.27386935324613243 -0.19375868899749057 -0.089822404809862935
 0.027045213071541958 -0.33484430559236722 -0.27400851987283686 -
 0.37112917170822785 0.19333438613385795 -0.019490090901530317
 0.036151000117928531 0.27220199526847816 -0.16013881091959131 -
 0.18524121817701142 -0.20009506011310674 -0.079353556687283208 -
 0.15789305650854468 0.18126780549535035 0.13760686781699868
 0.17364948843514127 0.077415944910727327 -0.16470298509222986 -
 0.066658150808617367 0.13444823577910256 0.092616243398867551
 0.18814734549570089 -0.082127125024279254 -0.13489362181564465
 0.15969335773421103; 0.16472444208173093 0.21056782382265851
 0.093685323172770577 0.14645810089252836 0.039357428967793776

).065432031381134334 -0.10913467851860048 0.058304743959079475 -
.19244250318070333 0.34096340819512877 0.084861424343334935 -
.17813466738117451 0.27818773625856008 -0.17006536728209332 -
.23776633919444659 0.30843075051136049 -0.1977666684238192
.32753806390311718 -0.23503537296906693 -0.027827018542177236
.0048503512989862725 -0.16274893419815983 -0.034615249287142415 -
.28256269562717551 -0.12896063351997841 -0.36680383045548837 -
.023257200435201703 0.074954334548283208 0.11572816877013761 -
.14847047373413014 0.32518621965743366 -0.063278515292764154 -
.31749386894658793 0.052717824079384232 0.27509097530503868 -
.20120588151838667 0.066375678434573385 0.042078407847653466
.1115150952576377 -0.083880762037163811; 0.014667234313517146
.042862419832865192 0.28243729377854832 0.27700577695390993
.12728289379407942 -0.010870930262297024 0.2198396219041624
.1769529515221617 -0.1513345555583142 -0.24809596349860835
.15930810263711226 0.033403601439090248 0.033700079888018264 -
.023439842813099493 0.077409212378922204 0.19831460768549539 -
.15265595005413099 -0.16343041916986251 0.21198358915602913
.1333479355934474 -0.24849594838639369 -0.11911434810300202 -
.27685452684970852 0.085000390604332787 -0.21036063347101902
.25771932247199847 0.19068023046165083 -0.23544539139155832 -
.23239110996979731 0.15787344695815955 0.089069943343479674 -
.17743736931003853 -0.090486707266998548 0.25252588484760358
.044608011659633122 0.2010044878756137 -0.28002199956521878 -
.016063551225217514 -0.19926641012119928
.25997373068325369; 0.26305970248147298 0.2677954252442416
.040577028454010518 0.25772980621406477 0.14723487094414839 -
.26401839383200354 -0.20860208682097292 0.016054398767051541
.0043547864221353087 -0.2975991436725115 -0.16212240651686949 -
.24718985216937439 0.029478445672426985 0.26653737529898286 -
.26120506131769972 0.13275003630867516 -0.12241964983118067 -
.21114961939302468 0.10025132309363363 0.1847093502403625 -
.24996580246383204 0.052568384730841057 0.19406615012976877 -
.26703287276387 -0.20662353598766883 0.093031106881408893 -
.14541241538659294 -0.0065151029406294971 -0.29130885324408506 -
.17211376142671778 0.17459281921411218 0.17827371331182318
.28002233962582668 -0.15653110950220656 -0.091389964430870496 -
.15407384942717423 -0.088488135100348184 0.27989204847406712 -
.23337353977528649 -0.25398223096946781; 0.23460665905318209
.1399568627735199 0.041064585958026957 0.0063452373942766817
.16739406941259935 -0.19673162238135117 0.006992559156452716
.22061576548893447 0.30901179116726929 0.23668664146519852
.21355338951684366 0.31052465939865753 0.016258787204031254 -
.073319948980799507 -0.11184316522086321 -0.32658769137696436
.0062537171820056846 -0.1304609546301134 0.31844597143411513 -
.17009537007096243 0.048572136935275838 0.22281102113155979 -
.017728626265116981 0.14169281476131135 0.15957097233435494
.30234648680777121 -0.30927784219651672 -0.27743287919723048 -
.012649582120544881 -0.0075438583686070855 0.32883925223533766 -
.02041694492526467 -0.046616646038808635 -0.10852087702678687 -
.012713139991278729 -0.021526599258923265 -0.25607100056548132 -
.15342032084624138 -0.026640664311280524 -0.20602041207688104;-
.12634617654520303 -0.051742896621728214 -0.084321327521019146 -
.086306525804552683 -0.28139197685066836 0.10271936582120177
.19316785732298594 -0.24528376743359351 -0.22745359122510159
.063165806181350079 0.16237111296731355 -0.0038502837371989255
.012055352344274184 0.27080257363414645 -0.22268799521502256 -

0.10298329422678935 -0.10771154433775675 0.15665635283001747 -
 0.28799763984826054 -0.15408004718126217 -0.15823675814930169 -
 0.14665306950318055 0.26183206962339972 -0.09561863033927688 -
 0.12893377311064347 -0.26846441722409253 0.27398707961399288 -
 0.20306729357723124 0.19246514099177461 0.16103508469502778
 7.9043316884418914e-05 -0.20591396226141748 0.29259651065448211 -
 0.20541830510851836 0.050729453509595485 0.24562691483698232 -
 0.2294930551584862 0.27386333405296603 0.19696315378540927
 0.26655296798434158;-0.10893894085004512 -0.020659546700264261
 0.15348865198134135 0.067855875804349486 0.037163909141625186
 0.076338562792652262 -0.18841949282893244 -0.27047351579594192
 0.35423067462294472 0.30735209797043866 -0.010372562423758386
 0.24451726596602008 0.13542849672959367 0.057850887574628633
 0.36231535816507882 0.24114294519230145 -0.18423382905371277
 0.34507473435043245 -0.2455061711793376 0.11555132037174784
 0.32646044512087419 -0.22307337135976499 0.10339274739626735 -
 0.034189548837501922 -0.18379889308588976 -0.13894704476701561 -
 0.32565563466244291 -0.30738775333309815 0.099007807937058392
 0.24800905065775378 -0.10187815860871702 0.11215668849460275 -
 0.28624406943816849 0.081883685216140395 0.1339915268025037
 0.2902033278133701 -0.12255264355799762 0.076495841140432563
 0.17432700730111511 0.19089633325033944];
 IW1_2 = [-0.072035711869076008 -0.18456964566458905 -0.14175600048716458
 0.29929430030803855 -0.050914993997129482 -0.23485438987071217
 0.025705852962362722 0.17077717479576221 -0.0057391440532181953 -
 0.099780929365839086 0.26634397003771737 0.084186036050448637 -
 0.035824713159551234 -0.13814200564573123 0.28255563995329236 -
 0.13225625505914737 -0.18328483931467635 -0.083397550732069128
 0.081769247647721199 0.006651983216155192;-0.19497758718750749 -
 0.018670008263951262 -0.25478434908534675 0.140831456315204 -
 0.20823580738317393 -0.052362542895053855 0.10260759286428003 -
 0.093816553759087068 0.17319752989043952 0.032950567818419832
 0.1279103816459822 0.08970477366438373 0.285000597273183 -
 0.035991529770942554 0.010945409901755838 0.072466131335240103 -
 0.32618454110560635 0.17779943645174709 -0.21263148041377752
 0.0986091386321504;0.12213531088225417 0.19315768959744109 -
 0.20275597493184566 -0.33116748553715408 0.030994209550537985
 0.048978746076945974 -0.041383805126557843 -0.31937858589754126 -
 0.17830166636164158 0.14215303555986356 0.29702160968092439
 0.19689136612212135 0.20160100995493843 -0.15139688502310381 -
 0.30282315741853549 -0.27356531635144449 -0.39685038547757467 -
 0.27070410527247246 0.2803334826174374
 0.18343492349247048;0.26802752037865046 0.27889441760795081 -
 0.016260706857989578 0.28269685298994274 -0.21229973392308538 -
 0.1505701687939642 0.072026864521358022 0.19723135988655283 -
 0.32094784367536944 -0.38492391850646035 0.12047783103915279 -
 0.098768834941799291 0.11783767393642455 0.062638402149948244
 0.028680511430286396 -0.40512936432807162 -0.0084826672900505194
 0.23445257451924534. -0.17225982308752083 -
 0.080823586952474172;0.14220240373901663 0.25952148534994957
 0.14647915807216644 0.17141362830608328 0.21104900840243782
 0.22127086493413556 -0.3110305943642277 -0.12836063443457155 -
 0.025499454887947338 -0.2298334388899807 -0.077102852060702595
 0.19967740932490863 0.20947596894371515 -0.080639237421008411 -
 0.22425748075628951 0.19720314587257096 -0.13627710998604431 -
 0.29214251086553844 0.042947522620736395
 0.027841703873481023;0.20937578566098897 -0.16796100334869857 -

```

0.23869552062224381 0.098016938606450721 0.13429325464490005 -
0.14392068657782298 0.29068906038998693 -0.017572500542058857
0.27405452286620596 0.026677862289058451 0.29615853785642793
0.11990385941150143 -0.29338113385509429 -0.24568626040317829 -
0.077460072577644881 0.23009671700618145 0.15860506433954299
0.21900796043772941 0.26566427871717652 -
0.071137965964199149;0.27987723661988972 0.096116087913082862 -
0.0056208643124116145 0.19223761334450259 -0.17486435629004304
0.05840151089188407 -0.20589185549646652 0.1824415549291182 -
0.20631048326035359 0.058075539580065241 0.09482970465899547
0.10643358284819369 -0.033835620114325768 0.18109982379924616
0.25746814284942476 -0.10519712039331805 -0.15431625916652961 -
0.1644701856297181 -0.0046697963429537812 0.20420550693962436;-
0.18510971308611518 -0.080570073300046771 0.1593250910081315
0.31337995810146702 -0.22283817431919783 0.067606142556269927 -
0.027490551386398158 -0.0077000996533953814 -0.033947513182031194 -
0.13154431682903264 0.16084956292229194 0.25027176006597796
0.21458365311699068 0.18808039824613365 -0.23013481416479376
0.35721821943705939 0.23640634967838769 -0.17322244390340474
0.19408189425458666 0.27265001349406498;-0.24903287999660309
0.19716799240849031 -0.28992143707336049 -0.033889257680873856 -
0.12643130018560556 0.25773090641333946 -0.22135840776481319
0.21930011828862211 -0.08538868081796161 0.055190341760685505
0.19829780391517449 0.0071724344358757245 -0.27934815914635774
0.20464391234074378 -0.28947503591177492 -0.1406676461182034
0.061549541949946038 0.1046849653848213 -0.20845124141170393
0.14455561014149107;0.1305220482213558 -0.027663377805268501 -
0.20780182812982428 0.15774870290399243 0.22301475552996178 -
0.33228632257062263 0.31413475536325453 0.21407526300470064 -
0.068492891329545461 0.042112418860956777 0.20082190682130655 -
0.20310806932607592 0.0019556642890575793 0.025400581698954358 -
0.012865410944657738 -0.11510030847836061 0.31788433404775934
0.2957080061896985 0.28027200004465747 0.022785190028324145];

```

```

% Layer 2
b2 = -0.50874985100164971;
LW2_1 = [-0.5455421007432788 -0.54666157230964285 -0.9602694947595849 -
0.7322504611792634 0.74523054334038863 -0.13801965673335231
0.20616119997043036 0.55989673790410832 0.1435024540071376
0.50143552020021431];

% Output 1
y1_step1_ymin = -1;
y1_step1_gain = 1.29025800947497e-07;
y1_step1_xoffset = 2564241.8;

% ===== SIMULATION =====

% Format Input Arguments
isCellX = iscell(X);
if ~isCellX, X = {X}; end;
if (nargin < 2), error('Initial input states Xi argument needed.'); end

% Dimensions
TS = size(X,2); % timesteps
if ~isempty(X)

```

```

    Q = size(X{1},2); % samples/series
elseif ~isempty(Xi)
    Q = size(Xi{1},2);
else
    Q = 0;
end

% Input 1 Delay States
Xd1 = cell(1,21);
for ts=1:20
    Xd1{ts} =
mapminmax_apply(Xi{1,ts},x1_step1_gain,x1_step1_xoffset,x1_step1_ymin);
end

% Input 2 Delay States
Xd2 = cell(1,21);
for ts=1:20
    Xd2{ts} =
mapminmax_apply(Xi{2,ts},x2_step1_gain,x2_step1_xoffset,x2_step1_ymin);
end

% Allocate Outputs
Y = cell(1,TS);

% Time loop
for ts=1:TS

    % Rotating delay state position
    xdts = mod(ts+19,21)+1;

    % Input 1
    Xd1{xdts} =
mapminmax_apply(X{1,ts},x1_step1_gain,x1_step1_xoffset,x1_step1_ymin);

    % Input 2
    Xd2{xdts} =
mapminmax_apply(X{2,ts},x2_step1_gain,x2_step1_xoffset,x2_step1_ymin);

    % Layer 1
    tapdelay1 = cat(1,Xd1{mod(xdts-[1 2 3 4 5 6 7 8 9 10 11 12 13 14 15
16 17 18 19 20]-1,21)+1}});
    tapdelay2 = cat(1,Xd2{mod(xdts-[1 2 3 4 5 6 7 8 9 10 11 12 13 14 15
16 17 18 19 20]-1,21)+1}});
    a1 = tansig_apply(repmat(b1,1,Q) + IW1_1*tapdelay1 +
IW1_2*tapdelay2);

    % Layer 2
    a2 = repmat(b2,1,Q) + LW2_1*a1;

    % Output 1
    Y{1,ts} =
mapminmax_reverse(a2,y1_step1_gain,y1_step1_xoffset,y1_step1_ymin);
end

% Final Delay States

```

```

finalxts = TS+(1: 20);
xits = finalxts(finalxts<=20);
xts = finalxts(finalxts>20)-20;
Xf = [Xi(:,xits) X(:,xts)];
Af = cell(2,0);

% Format Output Arguments
if ~isCellIX, Y = cell2mat(Y); end
end

% ===== MODULE FUNCTIONS =====

% Map Minimum and Maximum Input Processing Function
function y =
mapminmax_apply(x,settings_gain,settings_xoffset,settings_ymin)
y = bsxfun(@minus,x,settings_xoffset);
y = bsxfun(@times,y,settings_gain);
y = bsxfun(@plus,y,settings_ymin);
end

% Sigmoid Symmetric Transfer Function
function a = tansig_apply(n)
a = 2 ./ (1 + exp(-2*n)) - 1;
end

% Map Minimum and Maximum Output Reverse-Processing Function
function x =
mapminmax_reverse(y,settings_gain,settings_xoffset,settings_ymin)
x = bsxfun(@minus,y,settings_ymin);
x = bsxfun(@rdivide,x,settings_gain);
x = bsxfun(@plus,x,settings_xoffset);
end

```

Apéndice N°8:

Función MATLAB de la simulación del Modelo NARX - Caso 2 de la Hipótesis 2:

```
function [Y,Xf,Af] = myNeuralNetworkFunction(X,Xi,~)
%MYNEURALNETWORKFUNCTION neural network simulation function.
%
% Generated by Neural Network Toolbox function genFunction.
%
% [Y,Xf,Af] = myNeuralNetworkFunction(X,Xi,~) takes these arguments:
%
% X = 2xTS cell, 2 inputs over TS timesteps
% Each X{1,ts} = 2xQ matrix, input #1 at timestep ts.
% Each X{2,ts} = 1xQ matrix, input #2 at timestep ts.
%
% Xi = 2x20 cell 2, initial 20 input delay states.
% Each Xi{1,ts} = 2xQ matrix, initial states for input #1.
% Each Xi{2,ts} = 1xQ matrix, initial states for input #2.
%
% Ai = 2x0 cell 2, initial 20 layer delay states.
% Each Ai{1,ts} = 10xQ matrix, initial states for layer #1.
% Each Ai{2,ts} = 1xQ matrix, initial states for layer #2.
%
% and returns:
% Y = 1xTS cell of 2 outputs over TS timesteps.
% Each Y{1,ts} = 1xQ matrix, output #1 at timestep ts.
%
% Xf = 2x20 cell 2, final 20 input delay states.
% Each Xf{1,ts} = 2xQ matrix, final states for input #1.
% Each Xf{2,ts} = 1xQ matrix, final states for input #2.
%
% Af = 2x0 cell 2, final 0 layer delay states.
% Each Af{1ts} = 10xQ matrix, final states for layer #1.
% Each Af{2ts} = 1xQ matrix, final states for layer #2.
%
% where Q is number of samples (or series) and TS is the number of
% timesteps.

%#ok<*RPMT0>

% ===== NEURAL NETWORK CONSTANTS =====

%
% Input 1
x1_step1_xoffset = [2210195.4;15890000];
x1_step1_gain = [1.11472652843248e-07;2.90275761973875e-07];
x1_step1_ymin = -1;

%
% Input 2
x2_step1_xoffset = 3148039.1;
x2_step1_gain = 1.21336501421296e-07;
x2_step1_ymin = -1;

%
% Layer 1
b1 = [-1.4869352722375;1.1719687397070195;-
0.80657297856194643;0.48428240942157297;-
```

0.15095660100479311;0.17234247117111576;0.49594026782920758;0.76069377460
546028;-1.2210857370125099;1.4396060437219171];
IW1_1 = [0.27266889112110865 -0.12931379163351511 -0.25445475072305324
0.056822040610046649 0.0091146661866676332 0.22199970988976467
0.29796841984890776 0.0037952313274748346 0.02025338355119171
0.073160629703927102 -0.1440020590438886 -0.13122932073155857 -
0.33123780937276065 0.12910793808748308 -0.10444691478879109
0.13703007420948421 0.07954653651892046 0.05204455143416397
0.033696130287570313 -0.34334433878162435 -0.098251250963684658
0.019866303413125938 -0.20993063089273334 -0.1292524162973899 -
0.10294116025841306 0.12936696641700166 0.30981256059509943 -
0.13577281208985764 0.31532893248062305 0.2791755430833458
0.0028741226989034384 0.14198812554616402 0.13311787981469622 -
0.18385432531035761 0.28189056629412229 -0.32324039159633799 -
0.28253916408425983 -0.19882885000808792 0.1900966414319567
0.0040884794622634028;-0.19413307875693303 0.098263638243427376
0.32392476011250004 0.25985151970317638 -0.22840472583927815
0.24734865575529486 -0.25283239704174476 0.19671172968163242
0.22928288424927443 -0.1776175746896255 -0.2115317560554742
0.11872852066947315 0.045432828427564173 -0.29874921266295712 -
0.18737168602210597 0.10871513160768445 0.22084288284202908 -
0.033715798144064044 0.084654493642513443 0.25168503383859547
0.28714992201608747 0.24073491704405725 -0.1721926452602249 -
0.23989378403097272 0.2113542981724722 -0.28699507907026534
0.094170067609639474 0.16216992509525519 -0.077469075226430373
0.076516205366414569 0.15181359800644409 0.22593645883547225 -
0.071073393626341907 0.14751126618327295 0.072847457577009736 -
0.08077673152158385 -0.029921379002979514 -0.17580343123105116 -
0.076428987856516695 -0.19530979600175774;0.28504788730135933
0.19078404715651814 -0.020353069416781326 -0.01324476910679478
0.21801579525763248 0.28368400093044255 0.12307574165902954
0.24088489943394367 0.30759422132186603 0.27024645476946985 -
0.29922126211526612 0.13415304405695735 0.018301262204260694
0.1655756541192013 -0.051388055066906808 0.088817458520982245 -
0.22746475233172433 0.04839841686264082 -0.082939250600021205
0.29079040755350422 0.20954318153417845 -0.0013201369865311673
0.12329223667610414 -0.11912218384250114 -0.29096956632950005 -
0.058765932451047012 -0.27499918405970869 0.21426821219409356
0.072549567330996212 0.0089517879688737322 -0.25391946267337911
0.16019080104888508 -0.081087818369653245 0.24305644503429452 -
0.048243072875148459 0.17687003307345556 -0.17111498443499737 -
0.20748959602299746 0.26179387020931022 0.25722289131850867;-
0.049934580855936481 0.027857019832503077 0.034367116934330873 -
0.10074443365554156 0.23394894654357787 0.10629585702819121 -
0.0090417985363423076 -0.19043901119285891 -0.029501273428549822 -
0.27024665822475002 0.01577400279724523 0.16974074343912321
0.096427224164057107 -0.2842254836152826 -0.22356899363411667 -
0.19064854136662873 -0.12591914981550645 -0.1758506063869496 -
0.16409624529498468 0.32477011747694629 0.38622496779712995
0.21985653273688754 0.21776317347404411 -0.33259886813635653
0.060736448309403508 0.13749386368350139 -0.265738923918396
0.28469713399140956 -0.18085685767795673 -0.12485170882811848
0.30371626357999948 -0.042976184807955904 0.072438812219419696
0.08422727905231811 -0.19477407466250768 0.019562569153320768 -
0.077979011945429319 0.267561549801971 0.053864290643802298 -
0.27433445361701075;0.25315674372891134 0.1307948797313925
0.26177576281965181 -0.16285184405310874 0.19241447306508311

0.12042419070711975 0.041529533045978805 0.12662548699289564 -
 0.22724943796686944 0.22117642021097547 -0.2730945209699106
 0.11057736226041527 -0.13699170870309529 0.22523338591046124 -
 0.26320266156553196 0.074119872281004029 0.21492209405510168 -
 0.33003898731851761 0.0035139443937070997 -0.023235255118980475 -
 0.37806064250129545 0.0035674254577613375 0.21985461544018803 -
 0.1267823325298853 0.31672262882301055 0.29219928973018938
 0.23090626594770305 -0.20974470266795811 -0.083546149646406886 -
 0.086151837064083442 -0.33862425526995693 -0.048551002220175735
 0.035536921103362665 -0.14659337623181729 -0.24036584849064493 -
 0.22996575640649938 -0.20284975655198703 0.13891641429087179 -
 0.26238716558423519 -0.073428928397304249;0.25080582699365561
 0.18750506712107473 0.29512478773964224 0.30921873068470851 -
 0.018379818469487809 -0.22597719321663176 -0.29623186170192611
 0.29410260298230739 0.10533316601215351 0.18072450216647945
 0.18634003952762868 0.046073839168934372 -0.14369877943887274
 0.077811821267515582 -0.10288497770534268 -0.10801114380921228
 0.028135099012645798 -0.036705618339659372 0.0067880867838536647 -
 0.055585542856211957 -0.24397876701534721 0.15145933367096157 -
 0.18849188390361402 0.041493329773134691 -0.0039247232476864137
 0.3004776414561367 0.15562540090268454 0.25286705130712733
 0.022718447476568732 -0.28497279423268973 0.24540265610076897
 0.11947346270218051 -0.059140819820032317 0.21050204672751965 -
 0.30504120548055419 0.1246211260701575 0.18853453090947256 -
 0.28213082187850769 0.24624720556746357 -
 0.22602585622922861;0.16621974415227839 0.14357791080965418 -
 0.1004763093656882 0.13467874098350877 -0.036470116540488456 -
 0.13217628802207251 -0.029462344243977492 -0.13100455101626582
 0.3693051779987086 -0.0080871439626936398 -0.056537834808678203
 0.26482386646897049 0.15434915598701904 0.24604747876309299 -
 0.092263013159111951 -0.20599675311937429 0.17471097899754054
 0.29411129618438042 0.28141899189899544 -0.048605304542853708
 0.15486263903874903 0.13481817422687029 0.070161661292319766
 0.07817780430354454 -0.054838490076334505 0.32599187860115736 -
 0.15827126873707265 0.22200884763240908 -0.34275155333036783
 0.33876293582134615 0.19088841444552412 0.24033633481212222 -
 0.13707203161956999 -0.20409512369188801 0.26196514867343651
 0.13649659327293415 0.029953457557520959 0.17509387427435816 -
 0.20240699333747086 0.12853529719709442;0.12650309591818695 -
 0.029470187799606952 -0.12823641161606281 0.13987405303510159
 0.21939460311639536 0.095397080897433179 0.14141935746286499
 0.22823813297083267 0.2238781785779746 -0.10782390282102133
 0.25161580484821477 0.15649659095367699 -0.071717255275621491
 0.35398289526972981 -0.24118653981353771 0.19776576982143637 -
 0.134108757576893 0.28879507659638376 0.28408623612499506 -
 0.28150541141218721 -0.053674842320406903 -0.003195694991580858 -
 0.10520894093410374 -0.021971954798598162 0.13133970750542209 -
 0.35756038005919299 -0.021704243459868929 -0.33880103372934189
 0.15277580101005767 -0.36636457813243689 0.018697570170966057
 0.24815052376942498 -0.19571961696861367 0.17098988812854682 -
 0.34455312154040457 -0.25646135421801158 0.15200072063482009 -
 0.06402911380337252 -0.097009808088210789 0.22577639138778319;-
 0.34792235600144866 0.28958056378606034 -0.3319135709550961 -
 0.24183905403106362 0.0089106710412215594 0.14922531611598405
 0.028804968395224999 0.1610685023870673 0.22783563137871043 -
 0.0580533446618356 -0.052942569488161804 -0.0073037665353251277 -
 0.17593705324701348 0.18404008743188768 -0.35572593298498073 -

0.12525520435452819 -0.040494721128805561 -0.23749277737770269 -
 0.34178825760559556 -0.24828589010741883 -0.22898738654455339
 0.15952490724661428 -0.12592161673104879 0.13410142967826907
 0.14998358079896773 -0.14219372987879308 0.21640607036620746 -
 0.067792843829566449 0.01536159144270826 -0.24780241430481273 -
 0.0037530492927281235 -0.0015747203342042397 0.062203709921049226
 0.13523853863429905 -0.17450480482487105 -0.11846669396720369
 0.039163635128772113 0.148170322176507 -0.30102215377341751
 0.098921871407522011; 0.12283391077373249 0.030161081246737331 -
 0.03399642300583821 0.15661556061195858 0.15819431509812099 -
 0.032469142076510728 -0.00061927561029236078 -0.17544188043683326
 0.13848252479163181 -0.33412202988033435 0.36920132630646502 -
 0.20818490041149015 0.042088042741640158 -0.0038600404968092625 -
 0.23892508252555822 0.078456066724934284 0.0822508702166794 -
 0.18272309590201019 -0.026497216165652232 -0.081111550249272732 -
 0.078044314005078011 -0.16995457353040078 -0.28594737604154369 -
 0.17399537145811608 -0.093256539581035428 -0.30897416622659046 -
 0.20798949433365169 -0.031520149863955418 0.33322364898451223 -
 0.10084664814983198 0.27895607401111483 -0.19339123516498119 -
 0.27148948338950418 -0.31603231724298669 -0.036209693463756576 -
 0.30127418951266166 0.0072065340097276359 0.029643822563610679
 0.032876938852458404 -0.22743344137941909];
 IW1_2 = [0.075744775792107089 0.24469506737722913 0.042335012629032304 -
 0.31142276997805535 -0.29268187545450186 -0.19007495444740441 -
 0.11552324679713483 -0.10736885478071258 0.037824448455425784
 0.10204324332664386 -0.144756397434117 -0.14071935158103271
 0.13547939583030494 -0.010387356397131125 0.29070916530817686
 0.023086954644600172 0.27045381642665151 -0.24070380163920038 -
 0.12588161444350141 -0.18233180571303909; -0.10133717575627775
 0.098262519230119513 0.13866495811082818 -0.20643753048524324 -
 0.056177170132431231 0.094167105412707827 0.03429511478324436
 0.18704082333072503 0.102921494340034 0.32620123635345244 -
 0.19938109364726994 0.005408312356660446 0.21201143292231928 -
 0.2359565425166085 0.25787948088212753 -0.25910496214134804
 0.084196066989177601 0.22064153833943725 -0.32459350969179418
 0.26656998526964387; 0.20523642630879629 0.13164752982097205
 0.099163762742352668 0.087975303720521272 -0.0018023221486982541 -
 0.18356327240152601 -0.27734583073410274 -0.30337388866024512
 0.24305323611053486 0.20603174056002227 -0.02424651180733918
 0.029323119432221767 0.015623435270304669 -0.26826496799300587
 0.23737760726908388 0.20981743815769852 -0.0034415285761024983
 0.089845176084439746 0.22384989257606441
 0.20013657776181615; 0.28460775614464306 -0.11861489570208543 -
 0.1056087468134564 -0.16014390615229107 -0.2051004290339517 -
 0.08967729341255283 -0.19381141362255089 0.25512511963212875 -
 0.037157956294345311 0.19974668419108058 0.23081765969553181
 0.0014757883764660307 -0.34620536402791369 0.227364516856071134 -
 0.21089539890200337 -0.28247384737062164 -0.063990814507150523
 0.079518241960444047 0.19231579020671591 -0.033545395777425033; -
 0.038334708431429165 -0.043290876633118959 0.074349582072983686
 0.12829682412345128 0.12765437791323267 0.032586569730358603 -
 0.22080881229855231 0.0900341743618438 -0.16446616671931411
 0.013783409988515153 -0.023076236158611221 0.18624328678070051
 0.33147955622473879 -0.12481542375841949 -0.1804234889040873 -
 0.35511335509597863 -0.025992833102527521 0.37692096839901978 -
 0.11271807385109081 -0.25574073246126111; 0.12831198567013943
 0.0570629867885162 -0.050713475446047027 0.12215347286743067 -

```

0.11698768175262154 -0.16600249465889336 0.13490153387600645 -
0.13750268564823034 0.022234855998955836 0.3087273581333958 -
0.15219446215490318 0.055004595692342631 0.09329940085082182
0.23878212514771963 0.2232109274487433 0.31647634641906403
0.19886208607174766 0.21275596361131127 -0.1311199695335673
0.32578804144928958;0.29411758373951757 -0.038257308826790029
0.15584447453752759 -0.34240564878005914 -0.26574598288628676
0.03115733365544382 -0.2695024736721211 0.2441267458074261
0.096193823084528118 0.036282699528308808 -0.0044575431055972337
0.12773564072240567 0.29322938104695712 0.073231842449708692 -
0.10750493022246868 0.17239219090709873 -0.18371319709954612
0.1320502453283198 -0.2513407565282339 -
0.21657822461746593;0.012467422783157473 -0.057186656189578217 -
0.180183498520367 -0.26929250838692687 0.004462870833829298
0.0020632061925099261 -0.23992120258389096 0.10597816906873549
0.10234566785683706 -0.10841932138165736 -0.32293092174041099 -
0.055593667674362107 0.070700603503496509 -0.26532645084600759 -
0.0033932378216301982 0.1171495937110742 -0.43307369922563688 -
0.12175792310598464 -0.1672110435612558 -0.0012638246189508734;-
0.366900164678717 0.20972522152347511 0.12321994237597332
0.099800248861432364 -0.16723677085522359 -0.037170440840006071 -
0.32099375894848597 0.23780748653081188 -0.016054424559782079
0.19743948056905614 -0.22853829108411347 -0.11717198745264848
0.089669569956705192 -0.28467274705031459 -0.25758686530078001 -
0.084981915457818441 -0.050207711210463565 0.19089875435975723
0.25363103158995631 -0.27078187666308456;-0.27888534111967334 -
0.063994268286164613 0.20498156186380884 0.33596983219414805 -
0.21408152654876433 -0.24803562367908993 -0.07398262729539494
0.20465339708971081 0.043981202176371567 0.27008280199390389
0.30754290815643598 -0.010240358869114341 0.068294742576972475
0.2303900905530617 -0.31636086726595958 -0.21818667375586293
0.24801997278520471 0.12132790553341037 0.18613625873390041
0.0064765392156322758];;

% Layer 2
b2 = 0.43816477448948549;
LW2_1 = [0.14619585582057074 0.61068606059325348 0.039103373358984506
0.090333672455856912 -0.62610597440110094 0.10130612071683688 -
0.77861909140035113 0.42469904769615263 0.80638306412723604
0.70456852455588193];;

% Output 1
y1_step1_ymin = -1;
y1_step1_gain = 1.21336501421296e-07;
y1_step1_xoffset = 3148039.1;

% ===== SIMULATION =====

% Format Input Arguments
isCellX = iscell(X);
if ~isCellX, X = {X}; end;
if (nargin < 2), error('Initial input states Xi argument needed.'); end

% Dimensions
TS = size(X,2); % timesteps
if ~isempty(X)

```

```

Q = size(X{1},2); % samples/series
elseif ~isempty(Xi)
    Q = size(Xi{1},2);
else
    Q = 0;
end

% Input 1 Delay States
Xd1 = cell(1,21);
for ts=1:20
    Xd1{ts} =
mapminmax_apply(Xi{1,ts},x1_step1_gain,x1_step1_xoffset,x1_step1_ymin);
end

% Input 2 Delay States
Xd2 = cell(1,21);
for ts=1:20
    Xd2{ts} =
mapminmax_apply(Xi{2,ts},x2_step1_gain,x2_step1_xoffset,x2_step1_ymin);
end

% Allocate Outputs
Y = cell(1,TS);

% Time loop
for ts=1:TS

    % Rotating delay state position
    xdts = mod(ts+19,21)+1;

    % Input 1
    Xd1{xdts} =
mapminmax_apply(X{1,ts},x1_step1_gain,x1_step1_xoffset,x1_step1_ymin);

    % Input 2
    Xd2{xdts} =
mapminmax_apply(X{2,ts},x2_step1_gain,x2_step1_xoffset,x2_step1_ymin);

    % Layer 1
    tapdelay1 = cat(1,Xd1{mod(xdts-[1 2 3 4 5 6 7 8 9 10 11 12 13 14 15
16 17 18 19 20]-1,21)+1}});
    tapdelay2 = cat(1,Xd2{mod(xdts-[1 2 3 4 5 6 7 8 9 10 11 12 13 14 15
16 17 18 19 20]-1,21)+1}});
    a1 = tansig_apply(repmat(b1,1,Q) + IW1_1*tapdelay1 +
IW1_2*tapdelay2);

    % Layer 2
    a2 = repmat(b2,1,Q) + LW2_1*a1;

    % Output 1
    Y{1,ts} =
mapminmax_reverse(a2,y1_step1_gain,y1_step1_xoffset,y1_step1_ymin);
end

% Final Delay States

```

```

finalxts = TS+(1: 20);
xits = finalxts(finalxts<=20);
xts = finalxts(finalxts>20)-20;
Xf = [Xi(:,xits) X(:,xts)];
Af = cell(2,0);

% Format Output Arguments
if ~isCellX, Y = cell2mat(Y); end
end

% ===== MODULE FUNCTIONS =====

% Map Minimum and Maximum Input Processing Function
function y =
mapminmax_apply(x,settings_gain,settings_xoffset,settings_ymin)
y = bsxfun(@minus,x,settings_xoffset);
y = bsxfun(@times,y,settings_gain);
y = bsxfun(@plus,y,settings_ymin);
end

% Sigmoid Symmetric Transfer Function
function a = tansig_apply(n)
a = 2 ./ (1 + exp(-2*n)) - 1;
end

% Map Minimum and Maximum Output Reverse-Processing Function
function x =
mapminmax_reverse(y,settings_gain,settings_xoffset,settings_ymin)
x = bsxfun(@minus,y,settings_ymin);
x = bsxfun(@rdivide,x,settings_gain);
x = bsxfun(@plus,x,settings_xoffset);
end

```

Apéndice N°9:

Función MATLAB de la simulación del Modelo NAR - Caso 1 de la Hipótesis 2:

```
function [Y,Xf,Af] = myNeuralNetworkFunction(X,Xi,~)
%MYNEURALNETWORKFUNCTION neural network simulation function.
%
% Generated by Neural Network Toolbox function genFunction.
%
% [Y,Xf,Af] = myNeuralNetworkFunction(X,Xi,~) takes these arguments:
%
% X = 1xTS cell, 1 inputs over TS timesteps
% Each X{1,ts} = 1xQ matrix, input #1 at timestep ts.
%
% Xi = 1x15 cell 1, initial 15 input delay states.
% Each Xi{1,ts} = 1xQ matrix, initial states for input #1.
%
% Ai = 2x0 cell 2, initial 15 layer delay states.
% Each Ai{1,ts} = 22xQ matrix, initial states for layer #1.
% Each Ai{2,ts} = 1xQ matrix, initial states for layer #2.
%
% and returns:
% Y = 1xTS cell of 1 outputs over TS timesteps.
% Each Y{1,ts} = 1xQ matrix, output #1 at timestep ts.
%
% Xf = 1x15 cell 1, final 15 input delay states.
% Each Xf{1,ts} = 1xQ matrix, final states for input #1.
%
% Af = 2x0 cell 2, final 0 layer delay states.
% Each Af{1ts} = 22xQ matrix, final states for layer #1.
% Each Af{2ts} = 1xQ matrix, final states for layer #2.
%
% where Q is number of samples (or series) and TS is the number of
% timesteps.

%#ok<*RPMT0>

% ===== NEURAL NETWORK CONSTANTS =====

% Input 1
x1_step1_xoffset = 2731068.8;
x1_step1_gain = 1.55558831451703e-07;
x1_step1_ymin = -1;

% Layer 1
b1 = [1.8146912081183186;-1.7358379923432843;1.4345124453239844;-
1.2123521666372314;-
1.1442776472730989;0.91140979813119694;0.72536833164634584;-
0.66177942319772409;0.53527455729726059;0.33179709473038665;0.05957140330
9464283;-
0.1867738754561985;0.25926629008369684;0.40781662709241667;0.562169601070
06464;0.85270620541166431;-
0.95360531363918066;1.0347256622042302;1.2409355674500191;-
1.4875531769371344;-1.482407403859008;1.6622489840839674];
IW1_1 = [-0.26537070906838878 0.071036977152747066 -0.17632766723980903 -
0.23843493723992945 -0.75413786934364069 -0.36367982153623662 -
```

0.7062125724983499 -0.18756945412270618 0.79217289947696379 -
 0.13051884955161991 -0.42104547702152323 0.27795261766312973
 0.64804801033597792 0.33438703566221695 -
 0.32631717279525196; 0.34626382339974615 0.43889495423643704
 0.42569883962596711 -0.59356182146813063 0.33921767495688732
 0.12404815943812179 -0.31498808431200159 0.46774533726877299 -
 0.31006454194253424 0.55912228875202985 -0.029981598815408891
 0.31696652241905915 -0.17511916474754011 0.29498132988360232 -
 0.59510726643749534; -0.49752689273189998 0.51109574496451426
 0.3419836487214849 0.30170345025058415 -0.063000182483047645 -
 0.2967443252987767 0.17357523706378525 -0.12508283658543604
 0.31268453315461253 0.3784219409321013 -0.042992055166307691 -
 0.79109477551099083 0.18746186479419347 0.76687598096076326
 0.78034501401923706; 0.31993537231312646 -0.39263350818998594 -
 0.4791918933040431 0.55323275794667237 0.062691734075752181 -
 0.091617335464554223 0.36181715604116871 -0.74781533972194814
 0.6092566902740586 0.58646757845576325 -0.33185197872236272
 0.38645529111071092 -0.63421631088794683 0.25680123154306039 -
 0.17461967761701513; 0.28533110490508395 -0.62502683714228291 -
 0.42833304140054174 0.31822187152877213 0.57241039688538475 -
 0.44741237322681576 0.049374041518877587 -0.60494656179550332
 0.19208641742181792 -0.18170601265382519 0.64406311556677776 -
 0.36301850763174925 -0.53631416065937254 0.29071257025385117 -
 0.5268787185635686; -0.34455015678674999 0.47388201083621745
 0.36954861382054238 0.12580957409328311 0.46284533500308145 -
 0.4106366690816709 0.69460832167847608 0.31692002594751617
 0.40904649458063885 -0.04551941435491795 -0.43199291481246321
 0.43384280726718094 0.75443378650982729 -0.37753557630365941
 0.5015639206595035; -0.32628161688625723 0.29582206314073672
 0.074704181232771907 -0.36031083025019212 0.032898021368165338 -
 0.68124583000754546 0.74159501382420978 0.60103207245800938
 0.075383759929887495 -0.57011650899717781 -0.39062983505472432
 0.26893485602673639 0.23285331371634863 -0.61259301079427653
 0.55439695974230185; 0.78659487037683484 0.50363838117382997 -
 0.59038337804413099 0.31274802905270699 -0.12649586920607034 -
 0.41091775107558504 0.24320324022357015 0.33564039385143091 -
 0.56957248898053814 -0.43004300779594484 0.4667235084038403 -
 0.51929095115529478 0.046376458303980628 0.18185965906951979
 0.098444130337703911; -0.43017679585608448 -0.080387270093184471
 0.20655575265398085 0.63966187941016717 0.62192238787102694 -
 0.010987843036568835 0.48586962245240617 0.061765014051991113
 0.21617560948343451 0.022130729888673845 0.54272059759716429 -
 0.38609062422590607 0.71635989430357483 0.38367810269365188
 0.77262554955989227; -0.22427042838329753 -0.29176398972979323
 0.71617893022491286 0.72825822284549135 -0.63276935875604934 -
 0.12977035805766143 -0.42072927083978318 -0.25431524272187994 -
 0.35178231854294822 0.57461051427733156 0.039282178086246171
 0.73091066757733003 -0.23238030280161678 0.3923614627185481
 0.39899920963655533; 0.3693239556077057 0.53949625087083175
 0.51800272306068207 0.83765436686457773 -0.43886249076952843
 0.62452502005083976 0.65797104743648149 -0.010387394371553102
 0.13521584512874091 -0.0036496420821401504 -0.058822579423861071
 0.58339707899895221 0.391781316365095 -0.45007174522967647
 0.36274685917999083; -0.12001882516476364 -0.21931322969431144
 0.6064330332253256 0.2325946102153546 -0.22057413939996715 -
 0.60416317507615103 -0.7573891282004892 0.18376528836907882
 0.59356140608118013 -0.1969447737556925 -0.40095987950340484

0.39646166983292203 -0.69677423370863134 0.48093500760486163 -
 0.30547472769968215;0.24534215708217244 0.11012402017403967
 0.66003746360428739 0.32990034542020896 0.26652763827575471 -
 0.65523189952706173 0.40354385518119201 0.54626059080026623 -
 0.65962550799846797 -0.59093500919332309 0.48898762170865195 -
 0.20379116418011084 -0.73319480384803015 0.056937056639656147
 0.1875945055653922;0.65015389233250731 -0.46560109830006274
 0.10892768405435219 0.34100262186716984 0.0906818723673736
 0.5583875150868286 -0.08025493640684174 0.67230289043255531
 0.64180680050544614 0.59743741411877094 0.56879554629218998
 0.24232314934137425 0.50121890831077642 0.088767143994975373 -
 0.033054910514721786;0.275674140239212 0.75662782824748032
 0.33788368099351346 -0.33330802625953593 0.19257019586913199
 0.65156800562232786 -0.79057169160812746 0.34708714918032207
 0.57732469186446367 -0.26507137187346541 -0.08384228828947346 -
 0.11799981935415797 0.6187970010431888 0.21506934790162804
 0.13171609890967412;0.39897139185125408 0.13607218273366192
 0.63996459877119372 0.29872311711621402 -0.20720310697494115 -
 0.34142884371823018 -0.43307810365066063 0.0088354320121882372 -
 0.57641677936536362 0.4072891915729368 0.44235869993660293
 0.34781117753862573 0.80731749134483677 0.34680123430523307
 0.33582299925130266;-0.3397364966625448 -0.61695001449077302
 0.2925514094441739 0.54949665684170734 -0.48620925992386721 -
 0.14110574836147532 0.0053065382816706932 -0.072894241876540478
 0.45518050525092674 0.87771873781762699 0.06320722903604635
 0.24641498577456888 0.54915170409210157 -0.80056781458577653 -
 0.13342969423181461;0.52023400766402228 0.018899737321959289 -
 0.4816901887094569 -0.65194771577762223 -0.35101926435899922
 0.032518713111075653 0.56443114629212221 -0.21678057016416014 -
 0.32686022285345306 -0.17806088449767998 -0.58324619799544375
 0.58216196758287408 -0.53787558482060827 0.62534233528312655 -
 0.31363769875684994;0.51867900790351673 -0.41119298268323257 -
 0.57323663753816168 -0.28729910583738449 -0.6544586212359248
 0.20809176999361095 0.23870150133156648 -0.010674385677203229 -
 0.78283789714613961 -0.37654943660271267 -0.15320154292907612
 0.017571317020428249 -0.57567001666631401 -0.73622692742112961 -
 0.22928208668825417;-0.6528467369158063 0.67575206460378445 -
 0.3599138941749474 -0.37401398252592433 0.44678277299943214
 0.11704139589037786 0.66137897296414283 0.3347625711945732 -
 0.29262158972004571 0.1261071947651215 -0.24709265630066635 -
 0.23720478116244004 0.46454056457746296 -0.39284540448098504 -
 0.25779773237457082;-0.35064565928400349 0.70301257907632819
 0.58707443224457512 -0.73409633820669506 0.72628814826404287
 0.037974052194337291 0.42939483565973074 0.5411742749383488
 0.2681425628664455 0.080218294782859453 -0.3230844799990798 -
 0.5716588884350815 0.079338285192601318 -0.049491938051553164 -
 0.37516631705396919;0.028246259432710238 0.11548968268393964 -
 1.0336840587543266 -0.12656566601921115 0.35613460471611391
 0.88835613709743133 -0.23658143186854499 0.42700441683556262 -
 0.3175312220599365 0.045383494617411681 -0.063395567944430048 -
 0.11566720914884189 0.56179486783618371 0.61829251098149218 -
 0.11460527835793412];

% Layer 2
 b2 = 0.083685415436620392;
 LW2_1 = [-0.73824651164580102 -0.23453358982248268 0.65324265502323131
 0.21352623267498033 -0.69808446325964901 0.20552320957947154 -

```

0.35918958870708501 0.32170570173417856 0.69395119165389574 -
0.59752148865330157 0.77466250051752339 0.47688671839587565 -
0.86143844310712459 -0.30946487234323611 -0.21391458832842009
0.78649489544766527 0.63059919788334784 0.10470457702561406
0.49639697431510915 -0.63504970850624987 0.52175611671920896 -
1.0048703261515455];

% Output 1
y1_step1_ymin = -1;
y1_step1_gain = 1.55558831451703e-07;
y1_step1_xoffset = 2731068.8;

% ===== SIMULATION =====

% Format Input Arguments
isCellX = iscell(X);
if ~isCellX, X = {X}; end;
if (nargin < 2), error('Initial input states Xi argument needed.');

% Dimensions
TS = size(X,2); % timesteps
if ~isempty(X)
    Q = size(X{1},2); % samples/series
elseif ~isempty(Xi)
    Q = size(Xi{1},2);
else
    Q = 0;
end

% Input 1 Delay States
Xd1 = cell(1,16);
for ts=1:15
    Xd1{ts} =
mapminmax_apply(Xi{1,ts},x1_step1_gain,x1_step1_xoffset,x1_step1_ymin);
end

% Allocate Outputs
Y = cell(1,TS);

% Time loop
for ts=1:TS

    % Rotating delay state position
    xdts = mod(ts+14,16)+1;

    % Input 1
    Xd1{xdts} =
mapminmax_apply(X{1,ts},x1_step1_gain,x1_step1_xoffset,x1_step1_ymin);

    % Layer 1
    tapdelay1 = cat(1,Xd1{mod(xdts-[1 2 3 4 5 6 7 8 9 10 11 12 13 14 15]-1,16)+1});
    al = tansig_apply(repmat(b1,1,Q) + IW1_1*tapdelay1);

    % Layer 2

```

```

a2 = repmat(b2,1,Q) + LW2_1*a1;

% Output 1
Y{1,ts} =
mapminmax_reverse(a2,y1_step1_gain,y1_step1_xoffset,y1_step1_ymin);
end

% Final Delay States
finalxts = TS+(1: 15);
xits = finalxts(finalxts<=15);
xts = finalxts(finalxts>15)-15;
Xf = [Xi(:,xits) X(:,xts)];
Af = cell(2,0);

% Format Output Arguments
if ~isCellX, Y = cell2mat(Y); end
end

% ===== MODULE FUNCTIONS =====

% Map Minimum and Maximum Input Processing Function
function y =
mapminmax_apply(x,settings_gain,settings_xoffset,settings_ymin)
y = bsxfun(@minus,x,settings_xoffset);
y = bsxfun(@times,y,settings_gain);
y = bsxfun(@plus,y,settings_ymin);
end

% Sigmoid Symmetric Transfer Function
function a = tansig_apply(n)
a = 2 ./ (1 + exp(-2*n)) - 1;
end

% Map Minimum and Maximum Output Reverse-Processing Function
function x =
mapminmax_reverse(y,settings_gain,settings_xoffset,settings_ymin)
x = bsxfun(@minus,y,settings_ymin);
x = bsxfun(@rdivide,x,settings_gain);
x = bsxfun(@plus,x,settings_xoffset);
end

```

Apéndice N°10:

Función MATLAB de la simulación del Modelo NAR - Caso 2 de la Hipótesis 2:

```
function [Y,Xf,Af] = myNeuralNetworkFunction(X,Xi,~)
%MYNEURALNETWORKFUNCTION neural network simulation function.
%
% Generated by Neural Network Toolbox function genFunction.
%
% [Y,Xf,Af] = myNeuralNetworkFunction(X,Xi,~) takes these arguments:
%
% X = 1xTS cell, 1 inputs over TS timesteps
% Each X{1,ts} = 1xQ matrix, input #1 at timestep ts.
%
% Xi = 1x12 cell 1, initial 12 input delay states.
% Each Xi{1,ts} = 1xQ matrix, initial states for input #1.
%
% Ai = 2x0 cell 2, initial 12 layer delay states.
% Each Ai{1,ts} = 15xQ matrix, initial states for layer #1.
% Each Ai{2,ts} = 1xQ matrix, initial states for layer #2.
%
% and returns:
% Y = 1xTS cell of 1 outputs over TS timesteps.
% Each Y{1,ts} = 1xQ matrix, output #1 at timestep ts.
%
% Xf = 1x12 cell 1, final 12 input delay states.
% Each Xf{1,ts} = 1xQ matrix, final states for input #1.
%
% Af = 2x0 cell 2, final 0 layer delay states.
% Each Af{1ts} = 15xQ matrix, final states for layer #1.
% Each Af{2ts} = 1xQ matrix, final states for layer #2.
%
% where Q is number of samples (or series) and TS is the number of
% timesteps.

%#ok<*RPMT0>

% ===== NEURAL NETWORK CONSTANTS =====

% Input 1
x1_step1_xoffset = 3148039.1;
x1_step1_gain = 1.24954889722874e-07;
x1_step1_ymin = -1;

% Layer 1
b1 = [
1.6676486063921954; 1.5534819761498682; 1.0995033886218719; 0.90280129814959
698;-
0.84201568534067239; 0.46436720731112013; 0.10039050013474686; 0.08367786192
9373348; 0.48304441704556789; 0.47634832458313181; 0.87540290462102155; 0.955
7274594873213; -1.2885982615737113; -1.5627288028464774;-
1.731102052674278];
IW1_1 = [0.68557479475814775 0.26039605709770791 -0.13652143206487705
0.10116536094598916 -0.39923381285144105 -0.75240359981478444 -
0.69671378732294309 0.48031608172861112 0.76053956961754188
0.76846880426941855 -0.6731050882232591 -0.18197190082141362;-
```

0.26667473641349365 0.41272356576196073 0.50270508027680005
 0.058970821458649701 -0.19233562973951226 0.63609399660566845 -
 0.28651759596626009 -0.75117892447371748 0.63233129190388604 -
 0.5137989355822451 0.77262531435902837 0.4425566888264697;-
 0.80191995224234625 -0.8103062400727421 0.38230994265985047
 0.28769212610084849 0.44552887003790997 0.54741134978088712 -
 0.52252599042617465 0.17431611046489598 0.81853925576939723
 0.61667955138751418 -0.49059253301184158 0.19002789448933127;-
 0.55983764595805441 -0.46311283914631002 -0.56950982282151319 -
 0.69703569282243671 0.091137946545867113 -0.12469212245860757 -
 0.69627174133368019 0.076617507208714838 0.33377895847322031 -
 0.48386934499747136 0.49788204712566192
 0.77288853340179353;0.24020059785241152 0.18015259737467776
 0.24946413525947847 0.50236209518475239 -0.16696950225897325 -
 0.51111374264757059 -0.63438012928156573 -1.0141256986676348
 0.40046598195795868 -0.68923011163103132 0.11892053064655199 -
 0.48175071934637198;-0.47826920343598034 0.40003673986505578 -
 0.37287256972154026 0.89350968453268043 0.76268506392286306 -
 0.35350061487483148 0.25841846317956185 0.032446178083262701
 0.11689360502514987 0.60155567285339995 0.7999417359076626 -
 0.11217666068843793;-0.012824698213497064 -0.40814677885577516
 0.13354628646395866 -0.19111037559036301 0.45761101093384765
 0.33301132169038411 0.19706840715299304 -0.62537805764266408
 0.95335093787634062 0.73436541203975658 -0.87961242392872396 -
 0.21691272817398913;0.19285628839311739 -0.4875921615984205
 0.4052563809907675 -0.0015706994989473293 -0.16237834072034249 -
 0.84096302051656502 -1.0942530612132086 0.62148097728324658
 0.039765831089103344 0.38788930088985679 0.59423423128013098 -
 0.26924343269196943;0.88033490412231852 -0.49683201647589054 -
 0.069812948916844003 0.99750927940265566 0.096458652077113002 -
 0.19024629555721936 -0.11515994602540082 -0.22930300344283061 -
 0.09713795925677135 0.62252366132730574 -0.70193348259753863
 0.66642928947705893;0.40442642188054923 -0.097137639296525011 -
 0.19302831876206605 0.20573661469376725 0.61140057680858184
 0.75919908647841727 -0.055072106697475171 0.52132426845429003
 0.80229579239500892 -0.79601191842503005 -0.12878063947495602
 0.58733528403060264;0.54389534704043241 -0.30380172256568783 -
 0.19329564459954771 0.54597727409410779 0.74760665855793407 -
 0.16198311803457588 -0.10343719593796978 0.475465413256355
 0.9813635980091725 -0.2678604142971685 0.45094980610383828
 0.49438223920098551;-0.010797242033502047 -0.27767371695474558
 0.41103089388078373 0.21631516073996365 0.71532227702145024 -
 0.3715450649202221 -0.93324359295320658 -0.34958474714865861 -
 0.15244556198625708 0.49469691416174494 -0.022545795982053793
 0.96091060483434654;-0.652186300160979 -0.47108626787231145
 0.58615113247070727 -0.75540884424174559 -0.026002219989492575
 0.26192884596309673 0.25117668723158165 0.094833986552822616 -
 0.83337010657049537 0.48459353175030645 0.80900827950891041 -
 0.27727506144120423;-1.004937205190336 0.40920822010593949 -
 0.6033966512366532 -0.35568040024559611 0.1780129050911867 -
 0.73286692627143446 -0.072290934427159115 0.71085266208492215
 0.31270870208255247 0.28422754350270224 -0.13173022744737073 -
 0.44159819274949874;-0.38380550741572106 -0.37437962171575639
 0.1234968810699674 0.47460689053146726 -0.31383182413225053
 0.75546443145416742 0.792672320715895 -0.077198920791361772
 0.53168713492002062 -0.85821093873366094 0.76906842857848579 -
 0.33593989808161773];

```

% Layer 2
b2 = -0.2635772801853869;
LW2_1 = [-0.64849673887764248 -0.18312865217976862 -0.65971760040687921
0.0047038426721278219 0.00019940577965361916 -0.45574413839996564
0.30809931136515667 0.29507303741446916 0.48222637331464113
0.25865297440437068 0.40200039480230843 -0.35919512527073494 -
0.73186661850673085 0.45081452666955368 -0.52116617554460376];

% Output 1
y1_step1_ymin = -1;
y1_step1_gain = 1.24954889722874e-07;
y1_step1_xoffset = 3148039.1;

% ===== SIMULATION =====

% Format Input Arguments
isCellX = iscell(X);
if ~isCellX, X = {X}; end;
if (nargin < 2), error('Initial input states Xi argument needed.'); end

% Dimensions
TS = size(X,2); % timesteps
if ~isempty(X)
    Q = size(X{1},2); % samples/series
elseif ~isempty(Xi)
    Q = size(Xi{1},2);
else
    Q = 0;
end

% Input 1 Delay States
Xd1 = cell(1,13);
for ts=1:12
    Xd1(ts) =
mapminmax_apply(Xi{1,ts},x1_step1_gain,x1_step1_xoffset,x1_step1_ymin);
end

% Allocate Outputs
Y = cell(1,TS);

% Time loop
for ts=1:TS

    % Rotating delay state position
    xdts = mod(ts+11,13)+1;

    % Input 1
    Xd1{xdts} =
mapminmax_apply(X{1,ts},x1_step1_gain,x1_step1_xoffset,x1_step1_ymin);

    % Layer 1
    tapdelay1 = cat(1,Xd1{mod(xdts-[1 2 3 4 5 6 7 8 9 10 11 12]-
1,13)+1});
    a1 = tansig_apply(repmat(b1,1,Q) + IW1_1*tapdelay1);

```

```

% Layer 2
a2 = repmat(b2,1,Q) + LW2_1*a1;

% Output 1
Y{1,ts} =
mapminmax_reverse(a2,y1_step1_gain,y1_step1_xoffset,y1_step1_ymin);
end

% Final Delay States
finalxts = TS+(1: 12);
xits = finalxts(finalxts<=12);
xts = finalxts(finalxts>12)-12;
Xf = [Xi(:,xits) X(:,xts)];
Af = cell(2,0);

% Format Output Arguments
if ~isCellX, Y = cell2mat(Y); end
end

% ===== MODULE FUNCTIONS =====

% Map Minimum and Maximum Input Processing Function
function y =
mapminmax_apply(x,settings_gain,settings_xoffset,settings_ymin)
y = bsxfun(@minus,x,settings_xoffset);
y = bsxfun(@times,y,settings_gain);
y = bsxfun(@plus,y,settings_ymin);
end

% Sigmoid Symmetric Transfer Function
function a = tansig_apply(n)
a = 2 ./ (1 + exp(-2*n)) - 1;
end

% Map Minimum and Maximum Output Reverse-Processing Function
function x =
mapminmax_reverse(y,settings_gain,settings_xoffset,settings_ymin)
x = bsxfun(@minus,y,settings_ymin);
x = bsxfun(@rdivide,x,settings_gain);
x = bsxfun(@plus,x,settings_xoffset);
end

```

0.22687229209214554 0.15467534701892738 -0.35384557045132992 -
 0.2007866081638699 -0.3957073421495414 0.35226596084761591 -
 0.36331514904261125 -0.1318162293379935 0.38581113262613237 -
 0.4003559606855398 -0.41557557736464051 -0.43697189849170115 -
 0.11292910588803641 0.20094312362686984 -
 0.43972838504280043; 0.44318277899812464 -0.034452175622409577
 0.29696655615078582 -0.011448815552457286 -0.055022549261140488 -
 0.095456392245175006 -0.043337842472397373 -0.35628272577147824
 0.031047979859337119 0.46952748994162252 -0.18585122887971844
 0.1018058776012041 -0.44441921025547643 0.061008114394118691 -
 0.42075389961468174 -0.038506958918739342 -0.21530228568106252
 0.26820973244909413 0.44834514135859738 0.71784500310708266
 0.1948049530316423 -0.61596066779730396 0.3639132678351229
 0.098825241649961454; 0.092675643185261405 -0.16790727628888402
 0.63119019612972083 -0.2501606086032041 -0.079460565325210619
 0.51474036313765836 0.36175798299365425 -0.34086738615793327
 0.33316463481871089 -0.142797492096776 -0.4993877280325445
 0.48354959517694418 0.25631662002735589 0.11824248941108366
 0.34233544998417936 -0.20212588726124503 0.62071305883041095 -
 0.38810997574537515 0.30977032521066766 -0.50043761783145513
 0.19697773316440981 0.098683375091958681 0.35935231011070518 -
 0.1013231034472469; 0.081096278043653588 0.39505009601163432 -
 0.026404304163730182 0.3597534132337683 -0.31990123570890061 -
 0.16710230727640049 0.089097749650865893 0.44251511945375499
 0.20737218653580944 -0.38130125946892568 0.28650021741632814 -
 0.50977444102791736 -0.36380702266112097 -0.069574240745886903
 0.20950037302748717 0.067023102198455628 0.190703775827407
 0.24928928962667479 0.25175757177084568 0.30784419477935776
 0.44880912157396663 -0.55308951673669393 0.10796741717515033 -
 0.34413078416324983; -0.10484526777690278 0.34962899266004377 -
 0.22684503926992802 -0.396288311821623 -0.50278782897155927 -
 0.14627765542475513 0.44661087747485029 -0.018945707129450734 -
 0.038921325826060803 0.19460587737665994 0.55771965277807578
 0.45978800593572566 -0.36632993252681079 -0.38989475178678801
 0.070429414585879271 0.18579714462635297 -0.52563906940249061 -
 0.091284439939026282 0.20376230294852829 -0.22132359692260686 -
 0.27001353254662924 -0.010761368979532083 0.21736303433550949
 0.45151433171264244; 0.28456141762497345 -0.0057679561571230605 -
 0.35032813296104126 0.60439197022665347 -0.32031817953182873 -
 0.46426325174635685 0.036043160323388661 -0.21872629064279742 -
 0.10980499818496492 0.068124622191489251 0.056289145169180835 -
 0.55399789180121151 0.023824572797068073 -0.33042188664150512 -
 0.20699564159846942 0.60197693203506719 0.17569070991446534 -
 0.27066625144707468 -0.48803100949847339 -0.060843207808728809 -
 0.11608632433444251 0.33981821164457215 0.034599052502823191 -
 0.64897133966365761; -0.45305825153292706 -0.14723904350550393
 0.34292350534807625 0.041592806265682535 -0.50194340032031903 -
 0.42785667858093795 0.15485305762349552 -0.34161799924782027
 0.31203992787037471 -0.36714911753258478 0.12450586520397411
 0.037250351328356107 0.024642675831941751 -0.025735943023051794
 0.30358005323803494 0.29973904006325103 -0.48526667577131088 -
 0.50052410626286892 -0.54695995993112423 -0.17334014653502988 -
 0.23597049684181198 0.12001554562519481 -0.51380995616163516
 0.14311232581381966; 0.18642054544493047 -0.073268502626386525 -
 0.081763865285156848 -0.55374222961700847 -0.22479555125911838
 0.13637451859537186 -0.43559674239979645 -0.27803312006766168 -
 0.57741900398471091 0.13617811804879226 0.39305011747495983 -

0.40012591176055778 0.33087863699955317 0.50662228712501323
 0.043274623581419647 0.27555751758782449 0.36146378737439877
 0.3039887787475465 -0.30501086444475151 -0.22169217644153558
 0.019233101166107866 -0.43197677077567231 0.38834429077575477 -
 0.056666552786341237;-0.12106209812668346 0.39165306260582661 -
 0.51300343911604385 -0.50238170708837493 -0.26949904219136245
 0.49525461884082927 -0.070923061213096494 0.0040729481779051037
 0.25690625536111389 0.31026174500639025 -0.067803880032268851
 0.028088843884823904 0.16761781397169565 -0.43807742011725792
 0.0020523983807332283 -0.48125164379201257 0.16483545489064566
 0.44105010167357905 0.073972278945463918 0.40880830746852242
 0.2941836702924927 -0.23677782411087547 0.48319039866277419
 0.36552621875430152;0.38846540539257679 -0.43619004210541967
 0.4573217930008534 -0.43206509593719816 0.41636592781870407
 0.38230452979727148 -0.45524058821800711 -0.31022932295702749 -
 0.3861444461337622 -0.1096907575390086 0.21713319686649263 -
 0.17127953704996943 -0.062220465157909702 0.076498476859368877 -
 0.0038511928475311614 -0.091081531656317272 -0.43967908541151646 -
 0.38640660686611639 0.42089522571563764 0.26177615254057457
 0.30077500055148776 -0.21997697596751273 -0.32627354930894925
 0.39061304949834452;0.17459610547319426 -0.34441831136096762 -
 0.46668784724370038 0.19067911627701503 -0.32526482321060735
 0.10557787848586375 0.24212335979747973 -0.47498658447166187
 0.28574463462915706 -0.5148342334959396 -0.32979945746944883 -
 0.47844642884300209 0.30023504171474624 -0.32827922009652211
 0.0071322953762685513 -0.12962317240361618 -0.23533423737974751 -
 0.25231750826967736 -0.47312076594601254 -0.20741833609425972
 0.12422854954579643 -0.11631732185571193 0.45880747338842998
 0.42063867581699133;0.49705117872809829 -0.026684662707430432
 0.24599944233875595 0.15043079528202374 -0.15382267453579168 -
 0.16619734941991399 0.39734970742461867 -0.50511180651551724
 0.40810305723762041 -0.048574543240191233 -0.24719174485903833 -
 0.21058444000887017 -0.091057416753695414 0.5774659338944762 -
 0.3763198915658561 0.29924147907059773 0.19288661279553243
 0.3003299867208043 -0.3479318010468907 0.1987864445878392 -
 0.033892720097729617 0.52857919026552114 0.089988172178122175
 0.56502239326994785;-0.27283163684335565 -0.27388963009289558 -
 0.20266032321569732 -0.029773408683726091 -0.25907812188438556
 0.05595044756672448 0.2482605409328969 -0.72240186088799274 -
 0.13639862421649512 -0.61155728606622817 -0.48787384028563963 -
 0.10541836786186108 0.42050821346895056 -0.24195929586300996 -
 0.0011882640406094096 0.52460110503410629 0.0011207266627349423 -
 0.14779539945141595 -0.14117383698876365 0.47303070253386242
 0.5532527418859986 -0.0038197226284434772 -0.32889701371107383 -
 0.54567021497585833;-0.022139671067595651 -0.57398484298072738
 0.021870786275099228 -0.47329474448007164 0.29673204310291085
 0.34105335765430311 0.45504767970465815 0.21817670749901696
 0.17179366414613736 0.18869224028002959 -0.30581350486589254 -
 0.37918097963627451 -0.43764851200346805 0.20339414815356444 -
 0.25243640632331305 0.0023043096116929958 0.34847885302934395 -
 0.11991006986669354 -0.51344086437051073 0.20787937406708396 -
 0.10819040174368971 0.36589838676978359 0.45364848893647686 -
 0.17095838554853121;-0.58075555642386478 -0.067851052318790045 -
 0.36536105786529793 -0.0056336081375057134 0.1180879771937885 -
 0.53216300269304184 0.0023919754563750742 -0.081397937345573962
 0.26180246311630584 -0.18451754157596256 0.10496755378214358 -
 0.11176219951999872 0.082001750715190821 -0.51882997329059699

```

0.34309622833446329 0.47664401161136233 0.59084629115056442
0.016195056690262995 0.067440630059719411 0.46434800014845506 -
0.21260077418014711 -0.055137053958229432 -0.32728535823870719
0.4559892038395868;-0.47434172293052274 0.2063363457057642 -
0.34970091218161781 0.52566381643736404 -0.26413240411704114
0.20253917793831766 -0.21088069556213085 0.027909472192923855
0.21179795277454566 -0.30055036465232166 0.37326015139740809 -
0.46436483244220994 -0.30724439442983537 0.066529638342686659 -
0.25065034661149166 -0.24822522609426062 0.52486344515400729
0.015823915331154709 -0.028462848421921157 0.14454001219295998 -
0.45262765796203869 -0.24846581785939301 0.54898829760813961 -
0.22239733623108421;0.41823130344872539 0.49255106793497616 -
0.29816032343774662 -0.47140549251469138 -0.26542976644435928 -
0.20267382626481925 0.082756761804965245 0.44662471687192989
0.23423863972825368 -0.3094788478923024 -0.29544475761760502
0.10447640046978186 -0.3768293711426195 0.29849355202368233 -
0.41053358649824012 0.2487939553970763 0.038240919390579324
0.27513510093457627 0.28131375736832109 -0.42166029937412508
0.1090703670216005 0.36355528745295279 0.41221237386488074
0.063538734540839539;-0.60833768917869724 -0.14246582406156788 -
0.47339305004420995 -0.40046386506884901 -0.31927127219642043 -
0.40971242387963253 0.61803820599668835 0.30566721624648008 -
0.10124913847513012 0.04300588133047975 -0.41711680399417705 -
0.35462136354629992 0.34206968467993681 0.14315168176691723 -
0.18124003649021697 0.1310081888407213 -0.34819559896503771
0.48068624114091468 0.29847866756592967 -0.154326376245146
0.35952450121518287 -0.24630960447239203 -0.047115860773105853 -
0.33319917807980987];

```

```

% Layer 2
b2 = 0.42802313145188808;
LW2_1 = [0.63106932903118251 0.67210575349209012 -0.50486353566597697
0.029216677503441695 0.19796702417397966 -0.4165576734716554 -
0.28061977520613091 0.3863121235866469 0.23541033574776007
0.26167352421045087 -0.050217186450375151 0.57075685217605687 -
0.55381958345294036 0.34287622304408893 -0.2136720840515311
0.1270004173619797 0.42859304740513043 0.74134814953241501];

% Output 1
y1_step1_ymin = -1;
y1_step1_gain = 1.55558831451703e-07;
y1_step1_xoffset = 2731068.8;

% ===== SIMULATION =====

% Format Input Arguments
isCellX = iscell(X);
if ~isCellX, X = {X}; end;
if (nargin < 2), error('Initial input states Xi argument needed.'); end

% Dimensions
TS = size(X,2); % timesteps
if ~isempty(X)
    Q = size(X{1},2); % samples/series
elseif ~isempty(Xi)
    Q = size(Xi{1},2);
end

```

```

else
    Q = 0;
end

% Input 1 Delay States
Xd1 = cell(1,25);
for ts=1:24
    Xd1{ts} =
mapminmax_apply(Xi{1,ts},x1_step1_gain,x1_step1_xoffset,x1_step1_ymin);
end

% Allocate Outputs
Y = cell(1,TS);

% Time loop
for ts=1:TS

    % Rotating delay state position
    xdts = mod(ts+23,25)+1;

    % Input 1
    Xd1{xdts} =
mapminmax_apply(X{1,ts},x1_step1_gain,x1_step1_xoffset,x1_step1_ymin);

    % Layer 1
    tapdelay1 = cat(1,Xd1{mod(xdts-[1 2 3 4 5 6 7 8 9 10 11 12 13 14 15
16 17 18 19 20 21 22 23 24]-1,25)+1});
    a1 = tansig_apply(repmat(b1,1,Q) + IW1_1*tapdelay1);

    % Layer 2
    a2 = repmat(b2,1,Q) + LW2_1*a1;

    % Output 1
    Y{1,ts} =
mapminmax_reverse(a2,y1_step1_gain,y1_step1_xoffset,y1_step1_ymin);
end

% Final Delay States
finalxts = TS+(1: 24);
xits = finalxts(finalxts<=24);
xts = finalxts(finalxts>24)-24;
Xf = [Xi(:,xits) X(:,xts)];
Af = cell(2,0);

% Format Output Arguments
if ~isCellX, Y = cell2mat(Y); end
end

% ===== MODULE FUNCTIONS =====

% Map Minimum and Maximum Input Processing Function
function y =
mapminmax_apply(x,settings_gain,settings_xoffset,settings_ymin)
y = bsxfun(@minus,x,settings_xoffset);
y = bsxfun(@times,y,settings_gain);

```

Apéndice N°12:

Función MATLAB de la simulación del Modelo Entrada-Salida no Lineal - Caso 2 de la Hipótesis 2:

```
function [Y,Xf,Af] = myNeuralNetworkFunction(X,Xi,~)
%MYNEURALNETWORKFUNCTION neural network simulation function.
%
% Generated by Neural Network Toolbox function genFunction.
%
% [Y,Xf,Af] = myNeuralNetworkFunction(X,Xi,~) takes these arguments:
%
% X = 1xTS cell, 1 inputs over TS timesteps
% Each X{1,ts} = 1xQ matrix, input #1 at timestep ts.
%
% Xi = 1x24 cell 1, initial 24 input delay states.
% Each Xi{1,ts} = 1xQ matrix, initial states for input #1.
%
% Ai = 2x0 cell 2, initial 24 layer delay states.
% Each Ai{1,ts} = 18xQ matrix, initial states for layer #1.
% Each Ai{2,ts} = 1xQ matrix, initial states for layer #2.
%
% and returns:
% Y = 1xTS cell of 1 outputs over TS timesteps.
% Each Y{1,ts} = 1xQ matrix, output #1 at timestep ts.
%
% Xf = 1x24 cell 1, final 24 input delay states.
% Each Xf{1,ts} = 1xQ matrix, final states for input #1.
%
% Af = 2x0 cell 2, final 0 layer delay states.
% Each Af{1ts} = 18xQ matrix, final states for layer #1.
% Each Af{2ts} = 1xQ matrix, final states for layer #2.
%
% where Q is number of samples (or series) and TS is the number of
% timesteps.

%#ok<*RPMT0>

% ===== NEURAL NETWORK CONSTANTS =====

% Input 1
x1_step1_xoffset = 15890000;
x1_step1_gain = 2.90275761973875e-07;
x1_step1_ymin = -1;

% Layer 1
b1 = [1.5451762202016199;-
1.3915130861469709;1.3185196894276738;1.0637955681437246;-
0.82877663001322366;-0.55877260636983628;-
0.39058006768547099;0.32030913064999927;-0.077052561416642018;-
0.14555715789655774;0.2008216031218829;-0.39101957266823634;-
0.69284543970019929;0.77196667397044982;1.175127006791532;-
1.236135092033156;-1.3488375634507692;1.5602119379245054];
IW1_1 = [-0.15547090900239566 -0.044267621917392357 -0.094909949830335169
-0.17988024610586764 0.19728130830411192 -0.53028978271815386
0.13316139889712869 0.49739607479120063 0.6035756822477365
```

0.19596903171427837 -0.31120121467471912 -0.15390466580193718
0.31339224525908271 -0.19575941884911738 -0.45241211425743189
0.074539594214035498 -0.33837015148409527 -0.35732040088327333 -
0.35884158247283349 -0.42613266513547932 0.085641638846021967 -
0.062123306866285088 0.54033291490527224
0.49383590979462205;0.16405336825007497 0.44170664623076433 -
0.2811861531774103 -0.26587161741589249 -0.026475440191146126 -
0.43388353922497158 0.40031230184543359 -0.59797042071641282 -
0.39545104754993904 0.52617870323668925 -0.069190916025033813 -
0.12861553847248322 0.26238061661481443 -0.1225223367770953 -
0.40535318961634609 -0.025604441135574613 0.12014806065200696
0.2507721309965556 -0.29959918613527159 -0.041601191479613948
0.36117606534355823 0.22107757782371229 -0.53610651925862429
0.27477202005984291;-0.042601844355885529 0.29652196805799713
0.35669255973541203 -0.16858123218139734 -0.15406467739818211
0.26581263674635391 0.049213421838899922.0.01516881327874336
0.48845991397591687 -0.46382787452916663 -0.21705216500874019
0.25127239790565586 -0.17787667213220287 0.15976437087855191
0.61947466377721749 0.12662030124092108 0.19336123708367497 -
0.20747177959872201 -0.45290809539279708 -0.12314830734165375
0.22264982742006179 -0.33673475009306303 0.55979768696314336
0.5495213764187824;-0.22322887370135161 -0.23343871325335983 -
0.25247241410089055 0.19726643760209847 -0.47472879092710046 -
0.0046114285659465109 0.47689203574483757 0.14937079100482839
0.4564353542911761 0.24570817706151152 0.25647482123346854 -
0.34234451189003962 0.141479604652366 0.02683332441732798
0.057215472198979385 0.39053573400525354 0.04875727539695205 -
0.34475086985588493 0.13384876161747769 -0.43943986714054534 -
0.29516145978477537 0.24813448906142976 0.54995077293765948 -
0.50252184372389896;0.44467381607812234 -0.072431444847523632 -
0.018487692698196615 -0.26310062682969088 0.4402340817858697
0.56026708607527553 0.28410550691851344 0.29941096741161866 -
0.21449142084999739 -0.02302493160844166 -0.26374777407528938
0.35768467193855807 0.23002690284736976 0.21539206329262878
0.017221038405185483 0.45886634127670634 -0.52757052153110684
0.1779592303533486 0.23559117882885786 0.20729240096265383 -
0.60460585085937812 -0.085862604860184669 -0.4562067968976144 -
0.094136589206029422;0.082019188108672439 0.5069040097130445 -
0.034344605966973592 0.25032325644242365 -0.31075271957217715 -
0.50975087736662439 -0.0038100668997793257 -0.45879206938962319
0.49270423216272313 -0.022100035175008949 -0.10654005884428469 -
0.33940684363506363 0.16371655460748863 -0.098204038565225499 -
0.38902456049605877 0.33926344907864353 0.37301350166910169
0.0021757477053479428 -0.16633950578094736 -0.48897275197131157 -
0.43024862130394176 0.26239297429378522 0.4499023507187529 -
0.47542088048246067;0.1359916405741261 0.31502394816099405 -
0.37746670788768655 0.16055255714093172 0.126951763113376
0.30359979931092312 -0.49961877039896024 0.29639051820857532
0.47562036596175411 0.024924805452670919 0.14662455874595809
0.42012366549972885 -0.18525069350421194 0.38583967765580218 -
0.075758337456759778 -0.39939466433430798 0.44611432033627774 -
0.14019649829994429 0.21561768957594257 0.38074593775237131
0.33415754300554695 0.57415752931261632 -0.18234330569498228
0.31666789561161363;-0.42078220078164436 0.11082183332724579
0.35483725338386268 0.023632474195192113.0.32343288561185024
0.49501427685665295 0.34281994337487987 0.18969739515388842 -
0.081210161020997151 -0.49801593600274485 0.24256029155589645 -

0.12418772303241613 0.11894523827371356 -0.34808645798544546 -
 0.54086986120859404 -0.11453271817022131 -0.30315661231767022 -
 0.52419024602121478 0.14438250698969385 0.27628191513392802
 0.43355117975459045 -0.21397355140859181 0.10140256907520345
 0.49710886671158083; 0.28506182180886536 0.45701741531350898
 0.42364673149450238 -0.3849205643395201 -0.15137000352030572
 0.27319465193224168 -0.16069057682200868 0.33619544291300857
 0.44215528558997869 0.219937101230752 -0.27489558817172127 -
 0.26192656865250308 -0.39024697468091007 -0.28818536496047309 -
 0.43811953630512462 -0.14814228599878967 -0.13658528495008923
 0.24682040309906164 0.095506389484344797 0.41270634069588485 -
 0.34181084022837438 0.07623438880921822 -0.34261613413353548
 0.47818881947859448; -0.37972325455472522 0.21764620567932152
 0.28066963088199159 -0.19721689232088271 -0.12751477656621588
 0.23030329160464746 -0.20723802673924757 -0.12039911575321602 -
 0.031273400118646218 0.45379059633477442 0.50851497163532711
 0.33757339361041216 0.057639137847124808 -0.50835950021495735 -
 0.51510024587838565 -0.37500356890230846 0.07687539210500266
 0.50945529440117243 -0.18159325442742108 0.31523573314320025
 0.4124193423002594 -0.44323749590767964 -0.20761289265996646
 0.31069235300956255; 0.27997063243425419 0.045319394230605117
 0.19249915375664994 0.10906495883242333 0.14593420272892385 -
 0.38860378667161888 -0.34301844710700108 0.37198559653650448
 0.10139755856152588 0.034488060183570486 0.059386148888043999 -
 0.51974122107254228 -0.1538137841323183 0.64031198129694344 -
 0.33227005085201189 0.20524404413228992 -0.59489602691983334
 0.52027129535937866 0.25714948418429173 0.37694542173691126 -
 0.45012898738333951 -0.49608889931484684 -0.40102293990189886 -
 0.15589389077536395; -0.365131172955316 0.26341294931503717
 0.066882641138405169 -0.26171894343960184 -0.33504218806432473 -
 0.022147483596647879 -0.14287607145997377 -0.362672910792048 -
 0.51059552489549231 0.52032086451687565 0.38786173489462494
 0.17216429523965915 -0.1195194723573837 0.22934599298645808
 0.445206311073507 -0.40304710261834731 -0.042172427479825005 -
 0.45351563182478316 0.37235820610834508 -0.023646570007508728
 0.32050619634574695 0.070972361903247197 -0.059343514163085434 -
 0.014230254981285021; -0.32486205763914422 0.19954868655742491
 0.15728508769433905 -0.066520141597613186 0.39172818643028195
 0.57666851782648187 -0.024832332874695179 0.21050998839395643 -
 0.35972928060244147 0.36029600931019934 0.19284607778914076
 0.49914924397989102 -0.55789316005983547 0.070927317336457324
 0.10309778279208508 0.14083493852732187 -0.22681543652891992
 0.30510240023945434 0.05215022615448274 -0.27508124432109171 -
 0.51243372769765805 -0.54914732604184813 0.13706650105879076
 0.053601506758626266; 0.40871451976705853 -0.066144233056998833 -
 0.21744991959936066 -0.69087158347929212 0.50396256271799666 -
 0.48180454515900217 0.23379046607564699 0.21150145849895852 -
 0.14365445775474042 0.14181031003137798 0.42790580719337307
 0.028163041659229875 -0.61030245040560105 0.15479523396043551
 0.051726475903540479 -0.52588635066332701 -0.36276817280396217 -
 0.14118375989316673 -0.30205147949976568 -0.3954800126084656
 0.034177341946023169 0.38803028123450028 -0.24340447531794165
 0.35637516744905468; 0.28724024015465793 0.099110339141882414
 0.52572011580418276 0.48398587864962606 0.0068007433687931676
 0.27281468622968469 0.42135234894580426 -0.48585215028921613
 0.41859948131020019 -0.31977077184683073 -0.025544333011133128 -
 0.26132995241528606 0.028395298464485155 -0.081179048482783497

```

0.04282126017252081 0.42546042458391853 -0.23772042976477056 -
0.4459658257357878 -0.22010343352364301 0.14339590735801153 -
0.011726322795514341 0.40348952188110349 0.24420042137122683
0.015058271745652892;-0.47317206955574109 -0.17823970370454756
0.39613362589989992 -0.34346110206766378 -0.51071168143071244 -
0.015656371384790476 0.25317522884504934 -0.052711680218672605
0.1528599488237562 -0.2989864962508707 -0.45161929838096149
0.53676105101294813 -0.076482827056529284 0.26209021561230772 -
0.31698920012784831 -0.25239749533192002 0.30377663419078288 -
0.17107603673306396 0.047743425537138194 0.44261509623361306 -
0.24402133470561377 -0.56116956362371695 -0.11893516546148207 -
0.24421799158037816;-0.36467177896303798 -0.059113222509824086 -
0.25524684718699281 0.25473439351689225 -0.17991083305434025 -
0.20557198027391629 -0.44589064898116232 -0.18683851892047129
0.51637569536954975 0.57141464091924599 0.011719205061256677 -
0.51082521861461738 0.35209235832204228 -0.19219504176424798
0.24806815257038323 -0.47790950303285212 -0.11590015076502048 -
0.49255746293818159 0.11186910442629323 -0.28882781204159991 -
0.53418603929108122 -0.22128769048033028 -0.02552237063414408
0.10547065848470201;0.33348610134139373 0.35156274431519813 -
0.36916362263262259 0.28966367381613539 0.19861874695912862
0.31681794082127124 0.17882196151955981 -0.061468576700546368 -
0.31269975524475552 -0.17557991779635626 0.46853753952082233
0.43320718968479577 -0.11784719510607465 -0.26469801076450966
0.44182349686607647 -0.47722332124007527 -0.42236359485413894
0.33030999089427343 0.12597287565201973 -0.44812673678475479 -
0.24234376455751191 -0.38064914783342396 0.21474351283680873 -
0.40236848123019048];

```

% Layer 2

```

b2 = 0.02037303801819848;
LW2_1 = [0.58832411492249992 0.058252691413745485 -0.73879047213177063
0.03351592078932903 0.28680469303973116 -0.55954090496645881 -
0.39341930247530571 -0.23211331625226519 0.32709928414758194
0.38467556573706713 0.69729865649640566 -0.35368004982007595 -
0.19667871056141745 0.66096136110051029 0.64212832363376227
0.69216565736727498 -0.39322323722279484 0.18383380884758113];

```

% Output 1

```

y1_step1_ymin = -1;
y1_step1_gain = 1.24954889722874e-07;
y1_step1_xoffset = 3148039.1;

```

% ===== SIMULATION ======

% Format Input Arguments

```

isCellX = iscell(X);
if ~isCellX, X = {X}; end;
if (nargin < 2), error('Initial input states Xi argument needed.'), end

```

% Dimensions

```

TS = size(X,2); % timesteps
if ~isempty(X)
    Q = size(X{1},2); % samples/series
elseif ~isempty(Xi)
    Q = size(Xi{1},2);

```

```

else
    Q = 0;
end

% Input 1 Delay States
Xd1 = cell(1,25);
for ts=1:24
    Xd1{ts} =
mapminmax_apply(Xi{1,ts},x1_step1_gain,x1_step1_xoffset,x1_step1_ymin);
end

% Allocate Outputs
Y = cell(1,TS);

% Time loop
for ts=1:TS

    % Rotating delay state position
    xdts = mod(ts+23,25)+1;

    % Input 1
    Xd1{xdts} =
mapminmax_apply(X{1,ts},x1_step1_gain,x1_step1_xoffset,x1_step1_ymin);

    % Layer 1
    tapdelay1 = cat(1,Xd1{mod(xdts-[1 2 3 4 5 6 7 8 9 10 11 12 13 14 15
16 17 18 19 20 21 22 23 24]-1,25)+1}});
    a1 = tansig_apply(repmat(b1,1,Q) + LW1_1*tapdelay1);

    % Layer 2
    a2 = repmat(b2,1,Q) + LW2_1*a1;

    % Output 1
    Y{1,ts} =
mapminmax_reverse(a2,y1_step1_gain,y1_step1_xoffset,y1_step1_ymin);
end

% Final Delay States
finalxts = TS+(1: 24);
xits = finalxts(finalxts<=24);
xts = finalxts(finalxts>24)-24;
Xf = [Xi(:,xits) X(:,xts)];
Af = cell(2,0);

% Format Output Arguments
if ~isCellX, Y = cell2mat(Y); end
end

% ===== MODULE FUNCTIONS =====

% Map Minimum and Maximum Input Processing Function
function y =
mapminmax_apply(x,settings_gain,settings_xoffset,settings_ymin)
y = bsxfun(@minus,x,settings_xoffset);
y = bsxfun(@times,y,settings_gain);

```

```
y = bsxfun(@plus,y,settings_ymin);
end

% Sigmoid Symmetric Transfer Function
function a = tansig_apply(n)
a = 2 ./ (1 + exp(-2*n)) - 1;
end

% Map Minimum and Maximum Output Reverse-Processing Function
function x =
mapminmax_reverse(y,settings_gain,settings_xoffset,settings_ymin)
x = bsxfun(@minus,y,settings_ymin);
x = bsxfun(@rdivide,x,settings_gain);
x = bsxfun(@plus,x,settings_xoffset);
end
```

Apéndice N°13:

Función MATLAB de la simulación del Modelo NARX - Caso 1 de la Hipótesis 3:

```
function [Y,Xf,Af] = myNeuralNetworkFunction(X,Xi,~)
%MYNEURALNETWORKFUNCTION neural network simulation function.
%
% Generated by Neural Network Toolbox function genFunction.
%
% [Y,Xf,Af] = myNeuralNetworkFunction(X,Xi,~) takes these arguments:
%
% X = 2xTS cell, 2 inputs over TS timesteps
% Each X{1,ts} = 2xQ matrix, input #1 at timestep ts.
% Each X{2,ts} = 1xQ matrix, input #2 at timestep ts.
%
% Xi = 2x2 cell 2, initial 2 input delay states.
% Each Xi{1,ts} = 2xQ matrix, initial states for input #1.
% Each Xi{2,ts} = 1xQ matrix, initial states for input #2.
%
% Ai = 2x0 cell 2, initial 2 layer delay states.
% Each Ai{1,ts} = 1xQ matrix, initial states for layer #1.
% Each Ai{2,ts} = 1xQ matrix, initial states for layer #2.
%
% and returns:
% Y = 1xTS cell of 2 outputs over TS timesteps.
% Each Y{1,ts} = 1xQ matrix, output #1 at timestep ts.
%
% Xf = 2x2 cell 2, final 2 input delay states.
% Each Xf{1,ts} = 2xQ matrix, final states for input #1.
% Each Xf{2,ts} = 1xQ matrix, final states for input #2.
%
% Af = 2x0 cell 2, final 0 layer delay states.
% Each Af{1ts} = 1xQ matrix, final states for layer #1.
% Each Af{2ts} = 1xQ matrix, final states for layer #2.
%
% where Q is number of samples (or series) and TS is the number of
% timesteps.

%#ok<*RPMT0>

% ===== NEURAL NETWORK CONSTANTS =====

% Input 1
x1_step1_xoffset = [5080;61.92];
x1_step1_gain = [0.000134989200863931;0.0104624398409709];
x1_step1_ymin = -1;

% Input 2
x2_step1_xoffset = 7348;
x2_step1_gain = 0.00015938795027096;
x2_step1_ymin = -1;

% Layer 1
b1 = 0.74352398191254077;
IW1_1 = [0.87574643226283022 1.2308287914017941 0.25549752189564306
1.9782986483504637];
```

```

IW1_2 = [-0.73931650895423129 -1.9230308808120398];

% Layer 2
b2 = -0.4453406177951218;
LW2_1 = 1.3377370053521966;

% Output 1
y1_step1_ymin = -1;
y1_step1_gain = 0.00015938795027096;
y1_step1_xoffset = 7348;

% ===== SIMULATION =====

% Format Input Arguments
isCellX = iscell(X);
if ~isCellX, X = {X}; end;
if (nargin < 2), error('Initial input states Xi argument needed.'); end

% Dimensions
TS = size(X,2); % timesteps
if ~isempty(X)
    Q = size(X{1},2); % samples/series
elseif ~isempty(Xi)
    Q = size(Xi{1},2);
else
    Q = 0;
end

% Input 1 Delay States
Xd1 = cell(1,3);
for ts=1:2
    Xd1{ts} =
mapminmax_apply(Xi{1,ts},x1_step1_gain,x1_step1_xoffset,x1_step1_ymin);
end

% Input 2 Delay States
Xd2 = cell(1,3);
for ts=1:2
    Xd2{ts} =
mapminmax_apply(Xi{2,ts},x2_step1_gain,x2_step1_xoffset,x2_step1_ymin);
end

% Allocate Outputs
Y = cell(1,TS);

% Time loop
for ts=1:TS

    % Rotating delay state position
    xdts = mod(ts+1,3)+1;

    % Input 1
    Xd1{xdts} =
mapminmax_apply(X{1,ts},x1_step1_gain,x1_step1_xoffset,x1_step1_ymin);

```

```

% Input 2
Xd2{xdts} =
mapminmax_apply(X{2,ts},x2_step1_gain,x2_step1_xoffset,x2_step1_ymin);

% Layer 1
tapdelay1 = cat(1,Xd1{mod(xdts-[1 2]-1,3)+1});
tapdelay2 = cat(1,Xd2{mod(xdts-[1 2]-1,3)+1});
a1 = tansig_apply(repmat(b1,1,Q) + IW1_1*tapdelay1 +
IW1_2*tapdelay2);

% Layer 2
a2 = repmat(b2,1,Q) + LW2_1*a1;

% Output 1
Y{1,ts} =
mapminmax_reverse(a2,y1_step1_gain,y1_step1_xoffset,y1_step1_ymin);
end

% Final Delay States
finalxts = TS+(1: 2);
xits = finalxts(finalxts<=2);
xts = finalxts(finalxts>2)-2;
Xf = [Xi(:,xits) X(:,xts)];
Af = cell(2,0);

% Format Output Arguments
if ~isCellX, Y = cell2mat(Y); end
end

% ===== MODULE FUNCTIONS =====

% Map Minimum and Maximum Input Processing Function
function y =
mapminmax_apply(x,settings_gain,settings_xoffset,settings_ymin)
y = bsxfun(@minus,x,settings_xoffset);
y = bsxfun(@times,y,settings_gain);
y = bsxfun(@plus,y,settings_ymin);
end

% Sigmoid Symmetric Transfer Function
function a = tansig_apply(n)
a = 2 ./ (1 + exp(-2*n)) - 1;
end

% Map Minimum and Maximum Output Reverse-Processing Function
function x =
mapminmax_reverse(y,settings_gain,settings_xoffset,settings_ymin)
x = bsxfun(@minus,y,settings_ymin);
x = bsxfun(@rdivide,x,settings_gain);
x = bsxfun(@plus,x,settings_xoffset);
end

```

Apéndice N°14:

Función MATLAB de la simulación del Modelo NARX - Caso 2 de la Hipótesis 3:

```
function [Y,Xf,Af] = myNeuralNetworkFunction(X,Xi,~) %  
%MYNEURALNETWORKFUNCTION neural network simulation function.  
%  
% Generated by Neural Network Toolbox function genFunction.  
%  
% [Y,Xf,Af] = myNeuralNetworkFunction(X,Xi,~) takes these arguments:  
%  
% X = 2xTS cell, 2 inputs over TS timesteps  
% Each X{1,ts} = 2xQ matrix, input #1 at timestep ts.  
% Each X{2,ts} = 1xQ matrix, input #2 at timestep ts.  
%  
% Xi = 2x1 cell 2, initial 1 input delay states.  
% Each Xi{1,ts} = 2xQ matrix, initial states for input #1.  
% Each Xi{2,ts} = 1xQ matrix, initial states for input #2.  
%  
% Ai = 2x0 cell 2, initial 1 layer delay states.  
% Each Ai{1,ts} = 1xQ matrix, initial states for layer #1.  
% Each Ai{2,ts} = 1xQ matrix, initial states for layer #2.  
%  
% and returns:  
% Y = 1xTS cell of 2 outputs over TS timesteps.  
% Each Y{1,ts} = 1xQ matrix, output #1 at timestep ts.  
%  
% Xf = 2x1 cell 2, final 1 input delay states.  
% Each Xf{1,ts} = 2xQ matrix, final states for input #1.  
% Each Xf{2,ts} = 1xQ matrix, final states for input #2.  
%  
% Af = 2x0 cell 2, final 0 layer delay states.  
% Each Af{1ts} = 1xQ matrix, final states for layer #1.  
% Each Af{2ts} = 1xQ matrix, final states for layer #2.  
%  
% where Q is number of samples (or series) and TS is the number of  
timesteps.  
  
##ok<*RPMT0>  
  
% ===== NEURAL NETWORK CONSTANTS =====  
  
% Input 1  
x1_step1_xoffset = [6760;62.61];  
x1_step1_gain = [0.000180131495992074;0.00997755051134946];  
x1_step1_ymin = -1;  
  
% Input 2  
x2_step1_xoffset = 6083;  
x2_step1_gain = 0.000173385348938015;  
x2_step1_ymin = -1;  
  
% Layer 1  
b1 = -0.06993616291141988;  
IW1_1 = [-6.7558870056717684 -7.4368637547606502];  
IW1_2 = 2.1144373715347933;
```

```

% Layer 2
b2 = -0.1519903398508014;
LW2_1 = -0.84754737782153355;

% Output 1
y1_step1_ymin = -1;
y1_step1_gain = 0.000173385348938015;
y1_step1_xoffset = 6083;

% ===== SIMULATION =====

% Format Input Arguments
isCellX = iscell(X);
if ~isCellX, X = {X}; end;
if (nargin < 2), error('Initial input states Xi argument needed.');

% Dimensions
TS = size(X,2); % timesteps
if ~isempty(X)
    Q = size(X{1},2); % samples/series
elseif ~isempty(Xi)
    Q = size(Xi{1},2);
else
    Q = 0;
end

% Input 1 Delay States
Xd1 = cell(1,2);
for ts=1:1
    Xd1{ts} =
mapminmax_apply(Xi{1,ts},x1_step1_gain,x1_step1_xoffset,x1_step1_ymin);
end

% Input 2 Delay States
Xd2 = cell(1,2);
for ts=1:1
    Xd2{ts} =
mapminmax_apply(Xi{2,ts},x2_step1_gain,x2_step1_xoffset,x2_step1_ymin);
end

% Allocate Outputs
Y = cell(1,TS);

% Time loop
for ts=1:TS

    % Rotating delay state position
    xdts = mod(ts+0,2)+1;

    % Input 1
    Xd1{xdts} =
mapminmax_apply(X{1,ts},x1_step1_gain,x1_step1_xoffset,x1_step1_ymin);

    % Input 2

```

```

Xd2{xdts} =
mapminmax_apply(X{2,ts},x2_step1_gain,x2_step1_xoffset,x2_step1_ymin);

% Layer 1
tapdelay1 = cat(1,Xd1{mod(xdts-1-1,2)+1});
tapdelay2 = cat(1,Xd2{mod(xdts-1-1,2)+1});
a1 = tansig_apply(repmat(b1,1,Q) + IW1_1*tapdelay1 +
IW1_2*tapdelay2);

% Layer 2
a2 = repmat(b2,1,Q) + LW2_1*a1;

% Output 1
Y{1,ts} =
mapminmax_reverse(a2,y1_step1_gain,y1_step1_xoffset,y1_step1_ymin);
end

% Final Delay States
finalxts = TS+(1: 1);
xits = finalxts(finalxts<=1);
xts = finalxts(finalxts>1)-1;
Xf = [Xi(:,xits) X(:,xts)];
Af = cell(2,0);

% Format Output Arguments
if ~isCellX, Y = cell2mat(Y); end
end

% ===== MODULE FUNCTIONS =====

% Map Minimum and Maximum Input Processing Function
function y =
mapminmax_apply(x,settings_gain,settings_xoffset,settings_ymin)
y = bsxfun(@minus,x,settings_xoffset);
y = bsxfun(@times,y,settings_gain);
y = bsxfun(@plus,y,settings_ymin);
end

% Sigmoid Symmetric Transfer Function
function a = tansig_apply(n)
a = 2 ./ (1 + exp(-2*n)) - 1;
end

% Map Minimum and Maximum Output Reverse-Processing Function
function x =
mapminmax_reverse(y,settings_gain,settings_xoffset,settings_ymin)
x = bsxfun(@minus,y,settings_ymin);
x = bsxfun(@rdivide,x,settings_gain);
x = bsxfun(@plus,x,settings_xoffset);
end

```

Apéndice N°15:

Función MATLAB de la simulación del Modelo NAR - Caso 1 de la Hipótesis 3:

```
function [Y,Xf,Af] = myNeuralNetworkFunction(X,Xi,~)
%MYNEURALNETWORKFUNCTION neural network simulation function.
%
% Generated by Neural Network Toolbox function genFunction.
%
% [Y,Xf,Af] = myNeuralNetworkFunction(X,Xi,~) takes these arguments:
%
% X = 1xTS cell, 1 inputs over TS timesteps
% Each X{1,ts} = 1xQ matrix, input #1 at timestep ts.
%
% Xi = 1x4 cell 1, initial 4 input delay states.
% Each Xi{1,ts} = 1xQ matrix, initial states for input #1.
%
% Ai = 2x0 cell 2, initial 4 layer delay states.
% Each Ai{1,ts} = 6xQ matrix, initial states for layer #1.
% Each Ai{2,ts} = 1xQ matrix, initial states for layer #2.
%
% and returns:
% Y = 1xTS cell of 1 outputs over TS timesteps.
% Each Y{1,ts} = 1xQ matrix, output #1 at timestep ts.
%
% Xf = 1x4 cell 1, final 4 input delay states.
% Each Xf{1,ts} = 1xQ matrix, final states for input #1.
%
% Af = 2x0 cell 2, final 0 layer delay states.
% Each Af{1ts} = 6xQ matrix, final states for layer #1.
% Each Af{2ts} = 1xQ matrix, final states for layer #2.
%
% where Q is number of samples (or series) and TS is the number of
% timesteps.

%#ok<*RPMT0>

% ===== NEURAL NETWORK CONSTANTS =====

% Input 1
x1_step1_xoffset = 5080;
x1_step1_gain = 0.000134989200863931;
x1_step1_ymin = -1;

% Layer 1
b1 = [-2.1202041168506329;1.5071110241772929;-
0.52124912844837601;1.0792824978631184;0.56906387712726181;2.338237931103
4844];
IW1_1 = [1.3845325774410404 -0.87278901060014713 -1.2756352077383226
0.82980220725849352;-1.8203411945585852 -2.0358876691378871
1.0543752682497556 0.84458098455882624;1.5173177512046205
0.80049721304123589 0.90484830094126623 -
1.2446316055279238;0.79471261222123035 0.72748528899160281
1.2531171227046467 -1.1310843784273099;0.047601769316948789
2.3260549545397655 1.0359943620556784
```

```

0.15697286056306736;0.82397999161329549 -1.415029719651645 -
1.2668492437912433 -0.977212396403767];

% Layer 2
b2 = 0.74676705006760646;
LW2_1 = [-0.18977331562606173 -1.0663854738218224 -0.26732227465428815
0.7313360676710261 -0.9143253075473925 -0.90489552118376615];

% Output 1
y1_step1_ymin = -1;
y1_step1_gain = 0.000134989200863931;
y1_step1_xoffset = 5080;

% ===== SIMULATION =====

% Format Input Arguments
isCellX = iscell(X);
if ~isCellX, X = {X}; end;
if (nargin < 2), error('Initial input states Xi argument needed.');

% Dimensions
TS = size(X,2); % timesteps
if ~isempty(X)
    Q = size(X{1},2); % samples/series
elseif ~isempty(Xi)
    Q = size(Xi{1},2);
else
    Q = 0;
end

% Input 1 Delay States
Xdl = cell(1,5);
for ts=1:4
    Xdl{ts} =
mapminmax_apply(Xi{1,ts},x1_step1_gain,x1_step1_xoffset,x1_step1_ymin);
end

% Allocate Outputs
Y = cell(1,TS);

% Time loop
for ts=1:TS

    % Rotating delay state position
    xdts = mod(ts+3,5)+1;

    % Input 1
    Xdl{xdts} =
mapminmax_apply(X{1,ts},x1_step1_gain,x1_step1_xoffset,x1_step1_ymin);

    % Layer 1
    tapdelay1 = cat(1,Xdl{mod(xdts-[1 2 3 4]-1,5)+1});
    al = tansig_apply(repmat(b1,1,Q) + IW1_1*tapdelay1);

    % Layer 2

```

```

a2 = repmat(b2,1,Q) + LW2_1*a1;

% Output 1
Y{1,ts} =
mapminmax_reverse(a2,y1_step1_gain,y1_step1_xoffset,y1_step1_ymin);
end

% Final Delay States
finalxts = TS+(1: 4);
xits = finalxts(finalxts<=4);
xts = finalxts(finalxts>4)-4;
Xf = [Xi(:,xits) X(:,xts)];
Af = cell(2,0);

% Format Output Arguments
if ~isCellX, Y = cell2mat(Y); end
end

% ===== MODULE FUNCTIONS =====

% Map Minimum and Maximum Input Processing Function
function y =
mapminmax_apply(x,settings_gain,settings_xoffset,settings_ymin)
y = bsxfun(@minus,x,settings_xoffset);
y = bsxfun(@times,y,settings_gain);
y = bsxfun(@plus,y,settings_ymin);
end

% Sigmoid Symmetric Transfer Function
function a = tansig_apply(n)
a = 2 ./ (1 + exp(-2*n)) - 1;
end

% Map Minimum and Maximum Output Reverse-Processing Function
function x =
mapminmax_reverse(y,settings_gain,settings_xoffset,settings_ymin)
x = bsxfun(@minus,y,settings_ymin);
x = bsxfun(@rdivide,x,settings_gain);
x = bsxfun(@plus,x,settings_xoffset);
end

```

Apéndice N°16:

Función MATLAB de la simulación del Modelo NAR - Caso 2 de la Hipótesis 3:

```
function [Y,Xf,Af] = myNeuralNetworkFunction(X,Xi,~)
%MYNEURALNETWORKFUNCTION neural network simulation function.
%
% Generated by Neural Network Toolbox function genFunction.
%
% [Y,Xf,Af] = myNeuralNetworkFunction(X,Xi,~) takes these arguments:
%
% X = 1xTS cell, 1 inputs over TS timesteps
% Each X{1,ts} = 1xQ matrix, input #1 at timestep ts.
%
% Xi = 1x4 cell 1, initial 4 input delay states.
% Each Xi{1,ts} = 1xQ matrix, initial states for input #1.
%
% Ai = 2x0 cell 2, initial 4 layer delay states.
% Each Ai{1,ts} = 6xQ matrix, initial states for layer #1.
% Each Ai{2,ts} = 1xQ matrix, initial states for layer #2.
%
% and returns:
% Y = 1xTS cell of 1 outputs over TS timesteps.
% Each Y{1,ts} = 1xQ matrix, output #1 at timestep ts.
%
% Xf = 1x4 cell 1, final 4 input delay states.
% Each Xf{1,ts} = 1xQ matrix, final states for input #1.
%
% Af = 2x0 cell 2, final 0 layer delay states.
% Each Af{1ts} = 6xQ matrix, final states for layer #1.
% Each Af{2ts} = 1xQ matrix, final states for layer #2.
%
% where Q is number of samples (or series) and TS is the number of
% timesteps.

%#ok<*RPMT0>

% ===== NEURAL NETWORK CONSTANTS =====

% Input 1
x1_step1_xoffset = 6083;
x1_step1_gain = 0.000169779286926995;
x1_step1_ymin = -1;

% Layer 1
b1 = [
2.1078243078242203; 2.0300249403593797; 0.56246486977812382; 0.4436128196305
3717; 1.5313343197549605; 1.956422364438561];
IW1_1 = [0.755742830910348 1.417135197349999 1.9206109516701013
0.54024055756663092; -0.51701994254991968 -1.4242653547733286 -
0.46561830695321615 -0.61123044288973527; -1.0016208812928762 -
1.0608174893915119 1.5481377224716495
0.88827008324159062; 1.1680524176099916 -0.32987070881051017 -
1.687289847142138 -0.60213578854045979; 0.9571682496536017 -
0.79111397496989277 2.0125823788118251 -
```

```

0.56543564459952944;0.8608313978152895 0.90014010746128503 -
1.1099431603415266 1.8348344385058264];

% Layer 2
b2 = 0.44050780825048919;
LW2_1 = [0.63271031919750831 0.054207503121442069 -0.64077298092274737
0.3465245942631815 0.96076775419999394 -0.8767262804520165];

% Output 1
y1_step1_ymin = -1;
y1_step1_gain = 0.000169779286926995;
y1_step1_xoffset = .6083;

% ===== SIMULATION =====

% Format Input Arguments
isCellX = iscell(X);
if ~isCellX, X = {X}; end;
if (nargin < 2), error('Initial input states Xi argument needed.'); end

% Dimensions
TS = size(X,2); % timesteps
if ~isempty(X)
    Q = size(X{1},2); % samples/series
elseif ~isempty(Xi)
    Q = size(Xi{1},2);
else
    Q = 0;
end

% Input 1 Delay States
Xd1 = cell(1,5);
for ts=1:4
    Xd1{ts} =
mapminmax_apply(Xi{1,ts},x1_step1_gain,x1_step1_xoffset,x1_step1_ymin);
end

% Allocate Outputs
Y = cell(1,TS);

% Time loop
for ts=1:TS

    % Rotating delay state position
    xdts = mod(ts+3,5)+1;

    % Input 1
    Xd1{xdts} =
mapminmax_apply(X{1,ts},x1_step1_gain,x1_step1_xoffset,x1_step1_ymin);

    % Layer 1
    tapdelay1 = cat(1,Xd1{mod(xdts-[1 2 3 4]-1,5)+1});
    a1 = tansig_apply(repmat(b1,1,Q) + IW1_1*tapdelay1);

    % Layer 2

```

```

a2 = repmat(b2,1,Q) + LW2_1*a1;

% Output 1
Y{1,ts} =
mapminmax_reverse(a2,y1_step1_gain,y1_step1_xoffset,y1_step1_ymin);
end

% Final Delay States
finalxts = TS+(1: 4);
xits = finalxts(finalxts<=4);
xts = finalxts(finalxts>4)-4;
Xf = [Xi(:,xits) X(:,xts)];
Af = cell(2,0);

% Format Output Arguments
if ~isCellX, Y = cell2mat(Y); end
end

% ===== MODULE FUNCTIONS =====

% Map Minimum and Maximum Input Processing Function
function y =
mapminmax_apply(x,settings_gain,settings_xoffset,settings_ymin)
y = bsxfun(@minus,x,settings_xoffset);
y = bsxfun(@times,y,settings_gain);
y = bsxfun(@plus,y,settings_ymin);
end

% Sigmoid Symmetric Transfer Function
function a = tansig_apply(n)
a = 2 ./ (1 + exp(-2*n)) - 1;
end

% Map Minimum and Maximum Output Reverse-Processing Function
function x =
mapminmax_reverse(y,settings_gain,settings_xoffset,settings_ymin)
x = bsxfun(@minus,y,settings_ymin);
x = bsxfun(@rdivide,x,settings_gain);
x = bsxfun(@plus,x,settings_xoffset);
end

```

Apéndice N°17:

Función MATLAB de la simulación del Modelo Entrada-Salida no Lineal - Caso 1 de la Hipótesis 3:

```
function [Y,Xf,Af] = myNeuralNetworkFunction(X,Xi,~)
%MYNEURALNETWORKFUNCTION neural network simulation function.
%
% Generated by Neural Network Toolbox function genFunction.
%
% [Y,Xf,Af] = myNeuralNetworkFunction(X,Xi,~) takes these arguments:
%
% X = 1xTS cell, 1 inputs over TS timesteps
% Each X{1,ts} = 1xQ matrix, input #1 at timestep ts.
%
% Xi = 1x2 cell 1, initial 2 input delay states.
% Each Xi{1,ts} = 1xQ matrix, initial states for input #1.
%
% Ai = 2x0 cell 2, initial 2 layer delay states.
% Each Ai{1,ts} = 4xQ matrix, initial states for layer #1.
% Each Ai{2,ts} = 1xQ matrix, initial states for layer #2.
%
% and returns:
% Y = 1xTS cell of 1 outputs over TS timesteps.
% Each Y{1,ts} = 1xQ matrix, output #1 at timestep ts.
%
% Xf = 1x2 cell 1, final 2 input delay states.
% Each Xf{1,ts} = 1xQ matrix, final states for input #1.
%
% Af = 2x0 cell 2, final 0 layer delay states.
% Each Af{1ts} = 4xQ matrix, final states for layer #1.
% Each Af{2ts} = 1xQ matrix, final states for layer #2.
%
% where Q is number of samples (or series) and TS is the number of
% timesteps.

%#ok<*RPMT0>

% ===== NEURAL NETWORK CONSTANTS =====

% Input 1
x1_step1_xoffset = 61.92;
x1_step1_gain = 0.0104624398409709;
x1_step1_ymin = -1;

% Layer 1
b1 = [4.1824996628798257;-0.85177184554677199;-
0.33961649305376296;2.9390733389654828];
IW1_1 = [0.37956665886628788 2.7062848309304615;1.6171460257123047 -
2.3043035585918732;-2.9204402380470174
0.33300641508406964;1.4343348537491294 -2.4456213796729216];

% Layer 2
b2 = -0.063899380903141817;
LW2_1 = [0.23379430412390401 0.2715842635192634 -0.84865407545927685
0.059240319934008079];
```

```

% Output 1
y1_step1_ymin = -1;
y1_step1_gain = 0.00015938795027096;
y1_step1_xoffset = 7348;

% ===== SIMULATION =====

% Format Input Arguments
isCellX = iscell(X);
if ~isCellX, X = {X}; end;
if (nargin < 2), error('Initial input states Xi argument needed.');

% Dimensions
TS = size(X,2); % timesteps
if ~isempty(X)
    Q = size(X{1},2); % samples/series
elseif ~isempty(Xi)
    Q = size(Xi{1},2);
else
    Q = 0;
end

% Input 1 Delay States
Xd1 = cell(1,3);
for ts=1:2
    Xd1{ts} =
mapminmax_apply(Xi{1,ts},x1_step1_gain,x1_step1_xoffset,x1_step1_ymin);
end

% Allocate Outputs
Y = cell(1,TS);

% Time loop
for ts=1:TS

    % Rotating delay state position
    xdts = mod(ts+1,3)+1;

    % Input 1
    Xd1{xdts} =
mapminmax_apply(X{1,ts},x1_step1_gain,x1_step1_xoffset,x1_step1_ymin);

    % Layer 1
    tapdelay1 = cat(1,Xd1{mod(xdts-[1 2]-1,3)+1});
    a1 = tansig_apply(repmat(b1,1,Q) + IW1_1*tapdelay1);

    % Layer 2
    a2 = repmat(b2,1,Q) + LW2_1*a1;

    % Output 1
    Y{1,ts} =
mapminmax_reverse(a2,y1_step1_gain,y1_step1_xoffset,y1_step1_ymin);
end

```

```

% Final Delay States
finalxts = TS+(1: 2);
xits = finalxts(finalxts<=2);
xts = finalxts(finalxts>2)-2;
Xf = [Xi(:,xits) X(:,xts)];
Af = cell(2,0);

% Format Output Arguments
if ~isCellX, Y = cell2mat(Y); end
end

% ===== MODULE FUNCTIONS =====

% Map Minimum and Maximum Input Processing Function
function y =
mapminmax_apply(x,settings_gain,settings_xoffset,settings_ymin)
y = bsxfun(@minus,x,settings_xoffset);
y = bsxfun(@times,y,settings_gain);
y = bsxfun(@plus,y,settings_ymin);
end

% Sigmoid Symmetric Transfer Function
function a = tansig_apply(n)
a = 2 ./ (1 + exp(-2*n)) - 1;
end

% Map Minimum and Maximum Output Reverse-Processing Function
function x =
mapminmax_reverse(y,settings_gain,settings_xoffset,settings_ymin)
x = bsxfun(@minus,y,settings_ymin);
x = bsxfun(@rdivide,x,settings_gain);
x = bsxfun(@plus,x,settings_xoffset);
end

```

Apéndice N°18:

Función MATLAB de la simulación del Modelo Entrada-Salida no Lineal - Caso 2 de la Hipótesis 3:

```
function [Y,Xf,Af] = myNeuralNetworkFunction(X,Xi,~)
%MYNEURALNETWORKFUNCTION neural network simulation function.
%
% Generated by Neural Network Toolbox function genFunction.
%
% [Y,Xf,Af] = myNeuralNetworkFunction(X,Xi,~) takes these arguments:
%
% X = 1xTS cell, 1 inputs over TS timesteps
% Each X{1,ts} = 1xQ matrix, input #1 at timestep ts.
%
% Xi = 1x2 cell 1, initial 2 input delay states.
% Each Xi{1,ts} = 1xQ matrix, initial states for input #1.
%
% Ai = 2x0 cell 2, initial 2 layer delay states.
% Each Ai{1,ts} = 4xQ matrix, initial states for layer #1.
% Each Ai{2,ts} = 1xQ matrix, initial states for layer #2.
%
% and returns:
% Y = 1xTS cell of 1 outputs over TS timesteps.
% Each Y{1,ts} = 1xQ matrix, output #1 at timestep ts.
%
% Xf = 1x2 cell 1, final 2 input delay states.
% Each Xf{1,ts} = 1xQ matrix, final states for input #1.
%
% Af = 2x0 cell 2, final 0 layer delay states.
% Each Af{lts} = 4xQ matrix, final states for layer #1.
% Each Af{2ts} = 1xQ matrix, final states for layer #2.
%
% where Q is number of samples (or series) and TS is the number of
% timesteps.

%#ok<*RPMTO>

% ===== NEURAL NETWORK CONSTANTS =====

% Input 1
x1_step1_xoffset = 62.61;
x1_step1_gain = 0.00997755051134946;
x1_step1_ymin = -1;

% Layer 1
b1 = [2.2493945309086008;0.96438767080615206;-0.021021960978914567;-
4.5926757070597475];
IW1_1 = [-3.369198896968336 -0.43069562891659618;-0.61551162955736172 -
3.0047164622884734;-2.8924027748858321 0.72820118592953453;-
0.82905667355520463 -1.4659806443923187];

% Layer 2
b2 = 0.28153343093614791;
LW2_1 = [0.50336923510510845 -0.11410031275011209 -1.0648478573360045
0.52528723600816041];
```

```

% Output 1
y1_step1_ymin = -1;
y1_step1_gain = 0.000173385348938015;
y1_step1_xoffset = 6083;

% ===== SIMULATION =====

% Format Input Arguments
isCellX = iscell(X);
if ~isCellX, X = {X}; end;
if (nargin < 2), error('Initial input states Xi argument needed.'); end

% Dimensions
TS = size(X,2); % timesteps
if ~isempty(X)
    Q = size(X{1},2); % samples/series
elseif ~isempty(Xi)
    Q = size(Xi{1},2);
else
    Q = 0;
end

% Input 1 Delay States
Xd1 = cell(1,3);
for ts=1:2
    Xd1{ts} =
mapminmax_apply(Xi{1,ts},x1_step1_gain,x1_step1_xoffset,x1_step1_ymin);
end

% Allocate Outputs
Y = cell(1,TS);

% Time loop
for ts=1:TS

    % Rotating delay state position
    xdts = mod(ts+1,3)+1;

    % Input 1
    Xd1{xdts} =
mapminmax_apply(X{1,ts},x1_step1_gain,x1_step1_xoffset,x1_step1_ymin);

    % Layer 1
    tapdelay1 = cat(1,Xd1{mod(xdts-[1 2]-1,3)+1});
    a1 = tansig_apply(repmat(b1,1,Q) + IW1_1*tapdelay1);

    % Layer 2
    a2 = repmat(b2,1,Q) + LW2_1*a1;

    % Output 1
    Y{1,ts} =
mapminmax_reverse(a2,y1_step1_gain,y1_step1_xoffset,y1_step1_ymin);
end

```

```

% Final Delay States
finalxts = TS+(1: 2);
xits = finalxts(finalxts<=2);
xts = finalxts(finalxts>2)-2;
Xf = [Xi(:,xits) X(:,xts)];
Af = cell(2,0);

% Format Output Arguments
if ~isCellX, Y = cell2mat(Y); end
end

% ===== MODULE FUNCTIONS =====

% Map Minimum and Maximum Input Processing Function
function y =
mapminmax_apply(x,settings_gain,settings_xoffset,settings_ymin)
y = bsxfun(@minus,x,settings_xoffset);
y = bsxfun(@times,y,settings_gain);
y = bsxfun(@plus,y,settings_ymin);
end

% Sigmoid Symmetric Transfer Function
function a = tansig_apply(n)
a = 2 ./ (1 + exp(-2*n)) - 1;
end

% Map Minimum and Maximum Output Reverse-Processing Function
function x =
mapminmax_reverse(y,settings_gain,settings_xoffset,settings_ymin)
x = bsxfun(@minus,y,settings_ymin);
x = bsxfun(@rdivide,x,settings_gain);
x = bsxfun(@plus,x,settings_xoffset);
end

```